

Федеральное государственное бюджетное образовательное учреждение высшего профессионального образования «Нижегородский государственный университет им. Н.И. Лобачевского»

На правах рукописи

Семиков Сергей Александрович

**Методы экспериментальной проверки
баллистической теории света**

01.04.03 – Радиофизика

ДИССЕРТАЦИЯ

на соискание учёной степени

кандидата физико-математических наук

Научный руководитель

д. ф.-м. н., проф.

Бакунов Михаил Иванович

Нижний Новгород – 2014

Содержание

ВВЕДЕНИЕ	4
ГЛАВА 1. ИСПОЛЬЗОВАНИЕ АСТРОНОМИЧЕСКИХ НАБЛЮДЕНИЙ ДЛЯ ПРОВЕРКИ БАЛЛИСТИЧЕСКОЙ ТЕОРИИ	11
§ 1.0. Статистика двойных звёзд и эффект Барра как критерий проверки постоянства скорости света ...	11
§ 1.0. Эффект Ритца как причина красного смещения и закона Хаббла	24
§ 1.0. Эффект абберации звёздного света и его аномалии.....	35
§ 1.0. Аномалии экзопланет как следствие вариаций скорости света	36
§ 1.0. Переменные звёзды как следствие баллистической теории	43
§ 1.0. Рентгеновские пульсары, радиопульсары, барстеры, новые и сверхновые звёзды – критерии проверки баллистической теории	58
§ 1.0. Эффект Ритца как механизм генерации гиролиний рентгеновских пульсаров, радиоизлучения квазаров, радиопульсаров и космических мазеров.....	68
§ 1.0. Искажение видимой структуры изображений звёзд, планет и галактик.....	70
§ 1.0. Невязки планетной радиолокации и их баллистическая коррекция	80
§ 1.10. Ошибки радиолокации АМС, GPS, ГЛОНАСС и баллистические поправки	84
§ 1.11. Невязки лазерной локации и переменность скорости света как причина «неравномерности» вращения Луны и Земли	90
§ 1.12. Выводы	92
ГЛАВА 2. ОПТИЧЕСКИЕ ЭКСПЕРИМЕНТЫ ПО НАБЛЮДЕНИЮ СЛЕДСТВИЙ БАЛЛИСТИЧЕСКОЙ ТЕОРИИ	93
§ 2.1. Опыт Саньяка, лазерный гироскоп и роль вращения зеркал или стёкл	93
§ 2.2. Опыты с движущимися средами – опыты Физо, Кантора и Дуплищева	95
§ 2.3. Проверка постоянства скорости света фемтосекундными лазерами	97
§ 2.4. Схемы опытов по проверке эффекта Ритца в лазерной физике.....	98
§ 2.5. Эффект генерации гармоник при модуляции скорости света	104
§ 2.6. Поперечный эффект Доплера в баллистической теории	106
§ 2.7. Сопоставление электродинамических характеристик излучения элементарных излучателей с предсказаниями теории Ритца	109
§ 2.8. Опыты с эффектом Мёссбауэра и влияние тяготения на ход времени	112
§ 2.9. Выводы	114
ГЛАВА 3. БАЛЛИСТИЧЕСКИЕ ЭФФЕКТЫ ПРИ ИЗЛУЧЕНИИ СВЕТА ДВИЖУЩИМИСЯ РЕЛЯТИВИСТСКИМИ ЧАСТИЦАМИ	115
§ 3.1. Опыты с движущимися мезонами и ядрами	115

§ 3.2. Измерения скорости аннигиляционного излучения	118
§ 3.3. Опыты с синхротронным излучением (Мазманишвили, Александров).....	119
§ 3.4. Механизм генерации синхротронного излучения в баллистической теории	123
§ 3.5. Механизм генерации и свойства черенковского излучения.....	126
§ 3.6. Свойства ондуляторного излучения в баллистической теории.....	130
§ 3.7. Квантовые эффекты в баллистической электродинамике.....	131
§ 3.8. Аномалии и статистические характеристики космических лучей	134
§ 3.9. Выводы	138
ЗАКЛЮЧЕНИЕ	139
Литература.....	140
Список публикаций по теме диссертации.....	148
Доклады и выступления на семинарах и чтениях	150

ВВЕДЕНИЕ

В настоящее время в свете экспериментов, обнаруживших распространение электромагнитных волн в космосе и в земных средах с групповой скоростью выше скорости света c [14, 262], особенно актуальной представляется проблема точного измерения скорости света, а также влияния на эту скорость скорости источника. Об актуальности данной темы свидетельствует ряд экспериментов и статей, опубликованных в последнее десятилетие академиком РАН Е.Б. Александровым, Г.Б. Малыкиным, А.С. Мазманишвили и др. [9, 11, 105–107, 261]. Из их работ следует, что принятое в течение века мнение, будто скорость света не зависит от скорости источника, фактически не подтверждено экспериментами. И лишь в последние годы стали проводиться прямые эксперименты, в том числе с использованием синхротронного излучения, способные дать однозначный ответ на вопрос о постоянстве скорости света. Как отмечено [9, 105, А2, А5], прежние аргументы, основанные на наблюдении двойных звёзд, пульсаров и измерениях скорости излучения от релятивистских элементарных частиц и ядер, не имеют доказательной силы. Актуальность исследования степени влияния скорости источника на скорость света, впервые предсказанного в баллистической теории Ритца, диктуется и тем, что из неё следует эффект преобразования частоты света при ускорении источника. В случае подтверждения данный эффект позволит плавно трансформировать частоту оптического излучения, переводя его в любой диапазон электромагнитных волн. Учёт этого эффекта в космосе объясняет ряд открытых в последние годы аномалий, обнаруженных при исследовании внегалактических и галактических объектов, в том числе экзопланет. Из баллистической теории следуют электродинамические соотношения, отличные от полученных в рамках электродинамики Максвелла. Подтверждение баллистической теории позволит точнее рассчитывать электродинамические характеристики и строить более совершенные приборы, например, более эффективные ускорители элементарных частиц [А37, А45].

Баллистическая теория света была выдвинута в 1908 г. швейцарским физиком Вальтером Ритцем [1] в качестве классической альтернативы специальной теории относительности (СТО) и теории эфира. В 1909–1911 гг. баллистические гипотезы независимо выдвинули также Д.Ф. Комсток, Дж. Кунц, Р. Толмен, О.М. Стюарт и Дж.Дж. Томсон [2]. Согласно баллистической теории, электромагнитные воздействия, свет, распространяются, как в корпускулярной теории Ньютона, аналогично потоку частиц, испущенных относительно источника с номинальной скоростью света c . При движении источника со скоростью v она механически добавляется к c , и скорость света c' в системе наблюдателя равна векторной сумме

$$c' = c + v, \quad (1)$$

словно у снарядов из подвижного орудия (отсюда название теории). Эта механическая модель электромагнитных воздействий удовлетворяла принципу относительности Галилея, объясняя аберрацию звёздного света и результат опытов Майкельсона, Кеннеди-Торндайка, Трутона-Нобла и других попыток выявить инерциальное движение Земли [2, 263]. В рамках теории Ритц объяснил и волновые свойства света [1, А48], а Дж.Дж. Томсон вывел верные выражения для полей \mathbf{E} и \mathbf{H} колеблющегося заряда [3]. Этот изящный вывод, основанный на баллистической теории, до сих пор приводят в современных курсах физической оптики [4].

Основное содержание баллистической теории Ритца, как отметил академик М.А. Ельяшевич [5, 6], составляет бесполовой домаквеллов подход в электродинамике, восходящий к работам Вебера, Гаусса и Римана. В рамках этого подхода электромагнитные воздействия рассматривались лишь как функции относительных положений, скоростей и ускорений зарядов, а не пустого пространства меж ними. По сути, для их описания Ритц разработал, задолго до создания Фейнманом квантовой электродинамики, представление о квантах электрического поля – переносящих электрическое воздействие элементарных частицах (*перонах* [1, А20]), постоянно испускаемых электронами (и другими заряженными частицами) со скоростью света c и поглощаемых другими электронами, зарядами в ходе обменного взаимодействия. Поток этих частиц, перенося механический импульс, и создаёт при ударах частиц о другие электроны электрическое отталкивание. Механическое добавление скорости

электронов и источника к скорости испущенных ими квантов электромагнитного поля и порождает зависимость (1) скорости электрических воздействий и света от скорости источника.

Магнитные, индукционные и гравитационные силы в теории Ритца получались в качестве малых поправок к электрической силе, вызванных взаимным движением зарядов. Ритц описал все электродинамические эффекты и классически объяснил релятивистские эффекты, включая рост массы быстрых электронов и смещение перигелия Меркурия, ещё в 1908 г. верно предсказав смещения перигелиев других планет [1] и получив для них формулу, совпавшую с найденной спустя 7 лет Эйнштейном в рамках общей теории относительности [7].

Таким образом, теория Ритца – это фундаментальная теория, охватывающая широкий круг явлений и классически объяснившая ряд эффектов, открытых на рубеже XIX-XX вв., но якобы противоречивших классической физике. Тем самым теория Ритца составила серьёзную классическую альтернативу СТО, без коренной ломки классических представлений.

Однако век назад, в 1913–1914 гг., теорию Ритца отклонили. Тем не менее, как показано в [8–11], критерии проверки, по которым отклонили теорию, – несостоятельны. Например, один из первых аргументов, выдвинутый Де Ситтером против теории Ритца в 1913 г. и основанный на астрономических наблюдениях искажений в движении двойных звёзд, от влияния их орбитальной скорости на скорость испущенного ими света, как показал Дж. Фокс [8], не имеет доказательной силы. Если учесть переизлучение света межзвёздной средой, которая в качестве вторичного источника излучения заставляет свет двигаться со скоростью c уже относительно среды, т.е. нивелирует отклонения скорости света от номинального значения c , то наблюдаемые искажения окажутся крайне малыми, в согласии с наблюдениями. Эти остаточные отклонения реально наблюдаются в форме эффекта Барра, который будет подробно рассмотрен в § 1.1. То же относится к другим астрономическим наблюдениям, приводимым в качестве опровержений теории Ритца. В том числе это эксперимент со светом звёзд, выполненный Р. Томашеком по схеме Майкельсона [2] и опыт А.М. Бонч-Бруевича [68], где сравнивали скорости движущихся краёв Солнца. Аналогично все другие эксперименты по сравнению скоростей света, прошедшего сквозь межзвёздные или земные среды, не могут служить достоверными критериями проверки баллистической теории. Как показано в ряде работ [8, 101–103, А2], опыты в области физики высоких энергий, где измерялась скорость света релятивистских частиц, фактически не противоречат баллистической теории.

Таким образом, несмотря на вековую историю проверок баллистической теории и постоянства скорости света, до сих пор нет экспериментов, однозначно доказывающих ошибочность теории Ритца и независимость скорости света от скорости источника. Но, как покажем в данной работе, есть ряд косвенных свидетельств в пользу непостоянства скорости света и влияния на неё скорости источников. Поэтому требуются новые, уточнённые эксперименты для однозначной проверки постоянства скорости света в вакууме, в том числе с помощью радиолокации, лазерной локации и фемтосекундных лазеров. Также это могут быть эксперименты по проверке вытекающих из баллистической теории эффектов преобразования частоты света и длительности лазерных импульсов. Ниже рассмотрим классические и современные опыты и критерии по проверке теории Ритца и предложим новые. Постановка таких экспериментов и реализация новых методов проверки баллистической теории позволит, с одной стороны, получить уточнённое значение скорости света в вакууме, а с другой – однозначно проверить её постоянство и независимость от скорости источника и других факторов, дабы окончательно прояснить этот всё ещё не решённый вопрос оптики и электродинамики.

В диссертационной работе проведён подробный анализ накопленных экспериментальных данных по проверке баллистической теории в космосе, в оптических экспериментах и в физике высоких энергий, предложен ряд новых методов и критериев проверки.

Научная новизна проведённых исследований заключается в следующем:

1. Впервые рассмотрены эффекты баллистической теории для экзопланет (искажение графика лучевых скоростей, инверсия направления орбитального движения, формирование гармоник орбитального периода на кривой лучевых скоростей и т.д.). На примере конкретных экзопланетных систем и статистики экзопланет показано, что такие эффекты, не находящие объяснения в рамках современной астрофизики, реально наблюдаются, находя наиболее простое объяснение в рамках теории Ритца.

2. Показано, что из баллистической теории следует эффект преобразования длины волны от ускоренно движущегося источника (эффект Ритца). Впервые на основе этого эффекта качественно и количественно объяснён Хаббловский закон красного смещения галактик в рамках модели стационарной Вселенной. Впервые рассчитано теоретическое значение постоянной Хаббла близкое к измеренному. Объяснены все парадоксы закона Хаббла, не находившие объяснения в рамках стандартной космологической модели. В частности эффект Ритца объясняет разницу красных смещений у парных галактик, избыточное красное смещение квазаров и других аномальных объектов. Объяснён дефицит красного смещения у самых далёких галактик без гипотезы об ускоренном расширении Вселенной и тёмной энергии.
3. Впервые в рамках баллистической теории объяснены все характерные свойства и аномалии пульсаров, цефеид и других переменных звёзд: эффект Блажко, регулярные изменения формы и периода кривой блеска, вариации спектра и т.д. Показано, что все эти свойства предсказываются баллистической теорией.
4. Подробно рассмотрены результаты космической радиолокации. Показано, что данные радиолокации Венеры лучше соответствуют гипотезе о влиянии скорости источника на скорость света, а не постулату о её постоянстве. Впервые с позиций баллистической теории рассмотрены результаты радиолокации таких АМС как «Пионер-11, 12», «Кассини» и показано, что аномальное ускорение этих аппаратов по величине и направлению соответствует предсказанному баллистической теорией. Впервые с позиций баллистической теории объяснена Flyby-аномалия космических аппаратов, пролетающих мимо Земли по гиперболической траектории.
5. Впервые предложен ряд новых методов проверки баллистической теории с помощью космической радиолокации, лазерной локации и визуальных наблюдений. Показано, что проверочным критерием влияния скорости источника на скорость света может стать сопоставление результатов измерений разными методами.
6. Предложен ряд новых схем оптических экспериментов, в том числе с применением фемтосекундных лазеров, для прямого уточнённого измерения скорости света от движущегося источника и сравнения её со скоростью от неподвижного источника.
7. Впервые предложена схема эксперимента по проверке эффекта Ритца в земных условиях, которая в случае подтверждения эффекта позволит преобразовывать лазерное оптическое излучение источника в любые другие частотные диапазоны.
8. Построена теория генерации гармоник несущей частоты лазерного излучения при воздействии на атомы газа или наночастицы, основанная на гипотезе влияния скорости рассеивающих частиц на скорость света, так что осцилляции светового давления приводят к осцилляциям скорости света и искажению профиля волны.
9. Построена теория генерации черенковского, синхротронного и ондуляторного излучения в рамках баллистической теории. Показано, что наблюдаемые характеристики этих типов излучений согласуются с баллистической теорией.
10. Впервые показано, что результаты опытов Мазманишвили и Александрова по измерению скорости синхротронного излучения не противоречат баллистической теории, а косвенно свидетельствуют в её пользу. Предложено дополнение к методике постановки такого рода опытов в форме прямого измерения скорости частиц и света, позволяющее осуществить однозначную проверку теории Ритца.

Во введении обоснована актуальность работы, формулируются её цели, кратко изложено содержание диссертации, приведены основные положения, выносимые на защиту.

В первой главе рассмотрены результаты тестирования баллистической теории света в космосе, т.к. именно космические наблюдения предоставили первые критерии её проверки.

В § 1.1 рассмотрен эффект искажения в движении двойных звёзд, согласно баллистической теории обусловленный влиянием их орбитальной скорости на скорость света. Отмечено, что такой эффект реально имеет место в виде эффекта Барра, то есть преобладания двойных звёзд с орбитами, вытянутыми к Земле, т.е. с долготами периастра группирующимися возле значения $\omega = 90^\circ$. Предложены критерии, позволяющие проверить связь эффекта Барра с переменностью скорости света. Показано, что все приведённые критерии удовлетворяются.

В § 1.2 показано, что из баллистической теории следует эффект Ритца – преобразование длины волны λ света от источника, расположенного на расстоянии L и движущегося с ускорением a , направленным в сторону от наблюдателя, так что изменённая длина волны $\lambda' = \lambda(1 + La/c^2)$. Показано, что эффект Ритца позволяет в рамках модели стационарной Вселенной вывести хаббловский закон красного смещения галактик $\lambda' = \lambda(1 + LH/c)$ и рассчитать по известным центростремительным ускорениям a звёзд в ядрах галактик теоретическое значение постоянной Хаббла $H = a/c$, близкое к измеренному. На ряде примеров продемонстрировано, что эффект позволяет объяснить все парадоксы красного смещения и закона Хаббла.

В § 1.3 показано, что эффект аберрации звёздного света впервые был объяснён открывшим эффект Дж. Брадлеем в рамках баллистического принципа и может рассматриваться как одно из современных подтверждений баллистической теории. Показано, что равенство абберационных углов для света галактик и звёзд не противоречит баллистической теории, если считать красное смещение вызванным эффектом Ритца а не расширением Вселенной.

В § 1.4 рассмотрена статистика экзопланет и конкретные экзопланетные системы с аномальными свойствами (обратным вращением, аномальными плотностями и т.д.), а также нетипичными для планет орбитами (высокий эксцентриситет, избирательная ориентация орбит, аномально малые и большие полуоси орбит). Показано, что все эти аномалии предсказаны баллистической теорией и получают наиболее естественное объяснение в её рамках.

В § 1.5 подробно проанализированы следствия баллистической теории и эффекта Ритца для двойных звёзд, в том числе колебания блеска и спектра двойных звёзд, обусловленные влиянием орбитальной скорости. Обоснована гипотеза Ла Розы-Секерина, согласно которой физически переменные звёзды, цефеиды могут быть двойными звёздами, меняющими свою яркость по эффекту Ритца. В рамках этой гипотезы объяснены аномальные свойства переменных звёзд, включая плавные и скачкообразные вариации периодов, амплитуд кривой блеска, эффект Блажко и т.д. Предложены критерии проверки гипотезы Ла Розы-Секерина.

В § 1.6 рассмотрен известный аргумент Брэчера [120, 121], согласно которому наблюдения рентгеновских пульсаров и барстеров противоречат баллистической теории. Показано, что фактически, при учёте переизлучения межзвёздной средой, противоречие снимается. Продемонстрировано, что ряд аномалий пульсаров и барстеров наиболее естественно и точно объясняется в рамках баллистической теории.

В § 1.7 показано, что эффект Ритца предсказывает эффект генерации рентгеновских линий и радиолиний излучения космических мазеров, а также радио- и рентгеновского излучения квазаров, радиогалактик, взрывающихся и сейфертовских галактик, лацертид. Кроме того, эффект Ритца объясняет быстрые вариации его интенсивности.

В § 1.8 рассмотрены возможные эффекты, возникающие в ходе искажения и размножения изображений звёзд и галактик, вызванные их вращением и движением по орбитам. Предсказанные баллистической теорией искажения сопоставлены с наблюдаемыми искажениями формы галактик и звёзд, в первую очередь, с результатами наблюдений посредством оптических интерферометров, дающих наиболее высокие угловые разрешения изображений.

В § 1.9 исследованы результаты планетной радиолокации, в первую очередь, результаты радиолокации Венеры. Дополнительно обоснована аргументация Б. Уоллеса и В.П. Селезнёва, объяснявших невязки планетной радиолокации неучётом влияния скорости планет на скорость излучённого и отражённого радиосигнала. Учёт баллистического принципа снижает невязки, позволяя уточнить радарные замеры орбитальных элементов планет.

В § 1.10 произведён анализ ошибок навигации космических аппаратов, включая АМС «Пионер-11, 12» и «Кассини». В рамках теории Ритца эти ошибки интерпретируются не как результат аномального ускорения аппаратов в направлении Солнца, но как результат неучёта зависимости скорости их радиосигнала от скорости АМС. Из баллистической теории следует также объяснение Flyby-аномалии у АМС, летящих по гиперболической траектории.

В § 1.11 проанализированы результаты лазерной локации Луны и космических аппаратов. Показано, что невязки данных лазерной локации и эфемерид, построенных на основе астрономических наблюдений устраняются путём учёта влияния скорости Земли и Луны на скорость света. Продемонстрировано, что учёт переменности скорости света устраняет также

некоторые неравномерности в движении Луны и Земли. Предложены критерии, позволяющие проверить эту гипотезу и влияние скорости источника на скорость света в космосе.

Во второй главе рассмотрены результаты оптических экспериментов по проверке баллистической теории и предложены новые эксперименты и критерии для прямой уточнённой проверки влияния скорости источника на скорость света и для проверки эффекта Ритца.

В § 2.1 исследованы результаты опытов с вращающимися зеркалами и стеклянными пластинками, в том числе опыт Саньяка, опыт Харреса, принципы работы лазерных гироскопов. Вопреки распространённому мнению, показано, что эти опыты и приборы не противоречат баллистической теории, которая предсказывает верное значение для величины сдвига интерференционных полос. Предложены схемы установок, позволяющих так видоизменить эксперимент, чтобы сделать возможной однозначную проверку баллистической теории.

В § 2.2 в рамках баллистической теории произведён расчёт скорости света от подвижного источника в неподвижной среде, а также для скорости света неподвижного источника в движущейся среде. Показано, что полученный результат соответствует результату опыта Физо и аналогичных опытов, а также результатам опытов У. Кантора и М.И. Дуплишева.

В § 2.3 предложены схемы экспериментов с использованием лазеров, в частности фемтосекундных лазеров, для прямого измерения скорости света от движущегося источника. Показано, что современная лазерная техника в принципе позволяет напрямую выявлять вариации скорости света, вызванные движением источника.

В § 2.4 разработаны схемы лазерных установок по проверке эффекта Ритца, в которых оптическое лазерное излучение частоты f , после рассеяния на ускоренно движущихся частицах, преобразуется в излучение на изменённой частоте $f' = f(1 - La/c^2)$, и даже в излучение других частотных диапазонов. Оцененная критическая величина ускорения $a \sim 10^{17}$ м/с², требуемая для преобразования частоты света в разы и на порядки, как показано, вполне достижима в электрических и магнитных полях для электронов, атомов и наночастиц, служащих переизлучающими центрами. Рассчитаны теоретические характеристики выходного излучения – несущая частота, мощность, длительность импульса излучения в зависимости от характеристик рассеивающей среды, от угла рассеяния и пройденной светом дистанции. Установка, сконструированная по рассмотренной схеме, позволит не только однозначно проверить эффект Ритца, но и позволит, в случае его подтверждения, трансформировать частоту света.

В § 2.5 построена теория генерации гармоник лазерного излучения, рассеянного на атомах или наночастицах. Показано, что быстрые осцилляции светового давления, модулируя скорость частиц и скорость переизлучённого ими света, приводят к искажению гармонического сигнала и, как следствие, к генерации его гармоник. Показано, что этот эффект позволяет объяснить ряд свойств аттосекундных импульсов, генерируемых как раз при воздействии лазерного излучения на атомы газа или плазму, образованную при абляции твёрдой поверхности. Предложены критерии, позволяющие сделать вывод о природе доминирующего механизма генерации гармоник и о его связи с модуляцией скорости света.

В § 2.6 произведён расчёт величины поперечного эффекта Доплера и квадратичного эффекта Доплера в рамках баллистической теории. Показано, что выводы баллистической теории, во-первых, не противоречат результатам опытов по измерению квадратичного эффекта Доплера, во-вторых, в ряде случаев лучше согласуются с данными опытов, чем прогнозы специальной теории относительности. С этим, в частности, может быть связана Flyb-аномалия, обнаруженная в рамках релятивистской космической навигации.

В § 2.7 произведён анализ электродинамических характеристик излучения от простейших типов излучателей электромагнитных волн (диполь Герца, вращающийся заряд и т.д.) с позиций баллистической теории. Показано, что предсказанные баллистической электродинамикой характеристики вполне согласуются с наблюдаемыми и измеренными.

В § 2.8 исследованы проявления эффекта Ритца для γ -источников, установленных на разной высоте или на вращающихся дисках, что позволяет выявлять сдвиги частоты по эффекту Мёссбауэра. Показано, что наблюдаемый по эффекту Мёссбауэра сдвиг частоты полностью согласуется с предсказаниями теории Ритца, если учтён эффект переизлучения. В случае отсутствия переизлучения предсказания теории Ритца согласуются с измеренным из-

менением длины волны излучения. Аналогично показано, что сдвиг частоты γ -источника в гравитационном поле тоже может быть истолкован по эффекту Ритца.

В третьей главе рассмотрены эксперименты по измерению и сравнению скорости излучения от движущихся релятивистских частиц. Продемонстрировано, что результаты всех подобных экспериментов не противоречат баллистической теории.

В § 3.1 рассмотрены опыты с летящими протонами, ядрами и мезонами, в том числе опыт Альвагера. Показано, что результаты перечисленных опытов не вступают в противоречие с баллистической теорией, если учесть эффект переизлучения, которым пренебрегают в опытах с гамма-излучением от релятивистских частиц. Предложены уточнённые методы и критерии проверки баллистической теории в экспериментах подобного типа.

В § 3.2 проанализированы результаты опыта Саде [99] по сравнению скорости аннигиляционного γ -излучения от электрон-позитронных пар, а также аргументы М. Ло Савио [101] и А.Г. Баранова [102], согласно которым опыт не противоречит баллистической теории, т.к. напрямую не измерена ни величина скорости аннигилирующих частиц, ни её направление, что делает результат опыта неоднозначным. Предложено видоизменение схемы установки с различными пролётными длинами, для непосредственного измерения скорости гамма-лучей.

В § 3.3 произведён анализ опытов Мазманишвили и Александрова по измерению скорости синхротронного излучения релятивистских электронов, которые принято рассматривать в качестве противоречащих баллистической теории. Вскрыты основные недочёты подобных опытов – отсутствие экспериментальных и теоретических оценок длины переизлучения в стекле для релятивистских скоростей, а также отсутствие прямых измерений скорости излучающих частиц, что делает результаты опытов неоднозначными. Предложены усовершенствования эксперимента и методики измерений для устранения этой неоднозначности и для точной проверки баллистической теории. Показано, что отдельные результаты эксперимента могут рассматриваться в качестве косвенного подтверждения баллистической теории.

В § 3.4 в рамках баллистической теории построена классическая теория синхротронного излучения. Показано, что предсказанные баллистической теорией характеристики синхротронного излучения (угловое распределение, спектр и длительность импульса) согласуются с экспериментальными, вопреки известному аргументу Ньюбурга [135]. А ряд свойств синхротронного излучения, например, влияние длины канала вывода на спектр излучения, как показано, лучше согласуется с предсказанием баллистической теории, чем с прогнозами СТО.

В § 3.5 на основе баллистической теории построена теория черенковского излучения от быстро движущихся частиц в среде. Продемонстрировано, что наблюдаемые характеристики черенковского излучения согласуются с предсказанными баллистической теорией, при классической оценке скорости частиц и учёте коэффициента увлечения Френеля. В рамках этой теории объяснены некоторые свойства черенковского излучения, открытые А.А. Тяпкиным и не находившие объяснений в рамках релятивистской теории.

В § 3.6 в рамках баллистической теории построена теория ондуляторного излучения. Продемонстрировано, что эта теория тоже согласуется с наблюдаемыми характеристиками ондуляторного излучения. А экспериментальные измерения длительности импульсов ондуляторного излучения, которые приводились в качестве противоречащих баллистической теории, фактически, как показано, полностью соответствуют ей.

В § 3.7 рассмотрены квантовые эффекты баллистической теории. В частности, именно в баллистической теории были впервые предсказаны кванты электрического поля (*реоны*) удары которых об электроны приводили бы к их хаотическому движению [1, 113]. Именно такой эффект наблюдался в ондуляторе на установке ВЭПП-3. Показано, что это хаотическое движение электронов в регулярных полях служит косвенным подтверждением реальности реонов. Кроме того, по наблюдаемым характеристикам хаотического движения электронов можно определить массу и частоту ударов и испускания реонов.

В § 3.8 исследованы свойства и статистические характеристики космических лучей экстремальных энергий, в частности зенитно-угловое распределение. Показано, что эти свойства согласуются с классическими оценками скорости частиц и баллистической теорией, но не находят объяснения в рамках релятивистской теории. Продемонстрировано, что прямое из-

мерение величин и направлений скорости частиц из космических лучей и ускорителей может стать наиболее простым и убедительным тестом для проверки баллистической теории.

В заключении кратко сформулированы основные результаты диссертации.

На защиту выносятся следующие **основные научные положения**

1. Результаты накопленных за век данных астрономических наблюдений и лабораторных экспериментов не противоречат баллистической теории, а данные космической радиолокации, наблюдений двойных звёзд и ряда опытов косвенно подтверждают баллистическую теорию. Таким образом, вопрос о влиянии скорости источника на скорость света остаётся открытым и требует для решения дополнительных уточнённых экспериментов.
2. Результаты космической радиолокации и лазерной локации подтверждают влияние скорости источника и отражающего сигналы небесного тела на скорость света. Уточнённое измерение скорости, положений, орбит небесных тел и космических аппаратов разными методами и сопоставление их результатов служит критерием проверки теории Ритца.
3. Из баллистической теории следует эффект преобразования частоты света, длительности и мощности световых импульсов от ускоренно движущегося источника, причём сдвиг частоты пропорционален ускорению источника и дистанции, пройденной светом в вакууме.
4. Данный эффект (эффект Ритца) качественно и количественно объясняет хаббловский закон красного смещения галактик, без гипотезы о расширении Вселенной. Также эффект объясняет парадоксы красного смещения, в том числе парные галактики Арпа, несовпадение красных смещений в разных группах линий, дефицит красного смещения на больших дистанциях и т.д. Реликтовое излучение в таком случае следует рассматривать как равновесное излучение межгалактического газа, нагретого излучением окружающих галактик.
5. Ряд свойств пульсаров, цефеид и других переменных звёзд находит простое объяснение в рамках баллистической теории. В том числе простое объяснение получает спектр переменных звёзд, а также вариации периода, амплитуды и формы их кривой блеска.
6. Эффект Ритца может быть проверен в лабораторных условиях, при сообщении переизлучающим частицам критического ускорения. Косвенными проявлениями этого эффекта могут стать некоторые свойства синхротронного излучения и аттосекундных импульсов.
7. Влияние скорости источника на скорость света может быть непосредственно проверено в предложенных схемах установок на основе фемтосекундных лазеров и генераторов непрерывного лазерного излучения.
8. При действии лазерного излучения на атомы газа или наночастицы, быстрые осцилляции светового давления и ускорения частиц приведут по эффекту Ритца к искажению профиля переизлучённой частицами волны и, как следствие, к генерации гармоник несущей частоты. Это явление служит дополнительным критерием проверки эффекта и теории Ритца.
9. Баллистическая теория Ритца качественно и количественно объясняет все свойства синхротронного, ондуляторного и черенковского излучения в рамках классической физики. А отдельные свойства этих излучений получают более естественное и точное описание в рамках баллистической теории, а не теории относительности.
10. Эксперименты А.С. Мазманишвили и Е.Б. Александрова по измерению скорости синхротронного излучения не противоречат баллистической теории, в случае определения скорости электронов по формулам классической физики.
11. Прямое измерение скорости частиц в ускорителях и космических лучах пролётно-импульсным методом и сравнение измеренного значения с предсказаниями классической физики и теории относительности является наиболее простым критерием проверки баллистической теории и позволит уточнить направления прихода космических лучей для составления небесной карты распределения источников космических лучей.

Благодарности

Автор выражает благодарность своему научному руководителю профессору Бакунову Михаилу Ивановичу за конструктивные дискуссии, за ценные советы и помощь в подготовке диссертации. Также автор благодарит профессора Степанова Николая Сергеевича за ряд интересных замечаний, консультаций и акцентирование внимания на ряде эффектов, следующих из баллистической теории и доступных для экспериментальной проверки.

Глава 1. Использование астрономических наблюдений для проверки баллистической теории

Исторически первой стала проверка баллистической теории света в космосе (*мегамире*). Сравнительно высокие скорости Земли, звёзд и космических аппаратов ($V \sim 10^4$ м/с), астрономические пролётные дистанции ($L \sim 10^7$ – 10^{18} м) и космический вакуум (исключающий переизлучение) значительно упрощают обнаружение влияния скорости источника на скорость света, по сравнению с земными условиями и лабораторными экспериментами.

Фактически, первым астрономическим тестом баллистической теории света (по сути, *корпускулярной теории света Ньютона*) можно считать открытие Дж. Брадлеем в 1725 г. аберрации звёздного света, то есть отклонения направлений лучей света звёзд для земного наблюдателя за счёт движения Земли [18]. Звёздная аберрация впервые продемонстрировала относительный характер движения света и уже Брадлеем интерпретировалась на основе корпускулярной теории света: свет вёл себя как поток корпускул, относительная скорость c' которого зависела от скорости наблюдателя V . Поэтому направление скорости c' менялось в зависимости от скорости Земли, что на протяжении двух веков служило основным аргументом в пользу корпускулярной, а не волновой теории света. Но изменение направления скорости света при звёздной аберрации предсказывает и специальная теория относительности.

Для проверки влияния скорости источника на величину скорости света предлагали применить наблюдения двойных звёзд, орбитальная скорость которых, меняя скорость света, искажала бы видимые движения звёзд. Именно этот тест исторически стал первым критерием выбора между баллистической теорией Ритца и теорией относительности, так что в разных вариациях применяется для её проверки вплоть до настоящего времени.

Основные результаты главы опубликованы в работах [A1–A50].

§ 1.1. Статистика двойных звёзд и эффект Барра как критерий проверки постоянства скорости света

Уже в 1909–1910 гг. Д.Ф. Комсток обратил внимание на эффекты двойных звёзд, возникающие при сложении скорости света со скоростью источника-звезды [123]. Звезда-спутник, летящая вокруг главной звезды со скоростью v по круговой орбите (*пунктир* на Рис. 1.1), при сближении посылает свет к Земле со скоростью $c + v$, и он достигал бы Земли за меньшее время, чем свет, испущенный со скоростью $c - v$ в момент удаления. В итоге видимое движение звезды (*сплошная линия* на Рис. 1.2) в двойной системе искажилось бы так, словно звезда летит быстрее, когда находится дальше от Земли (за картинной плоскостью), и медленнее, когда находится ближе (перед картинной плоскостью) [124]. Движение звезды показалось бы идущим по орбите, вытянутой к Земле. Как отметил в 1913 г. голландский астроном В. Де Ситтер, ряд звёзд, включая спектрально-двойные, по наблюдениям имеют почти круговые орбиты без этих искажений, вопреки баллистической теории [125]. Именно этот аргумент приводят в качестве основного противоречия баллистической теории [18, 164].

Однако в том же 1913 г. астрономы П. Гутник [126] и Э. Фрейндлих [127] отметили спорность данного аргумента. Изучив статистику двойных звёзд, они показали, что у большинства звёзд орбиты всё же вытянуты, и в основном именно в сторону Земли (долготы периастров ω группируются возле значения $\omega = 90^\circ$), в согласии с предсказанием теории Ритца [123]. Этот эффект преимущественной вытянутости орбит звёзд к Земле, открытый в 1908 г. канадским астрономом Дж.М. Барром [128], подтверждённый современными астрономами [129], включая отечественных [130], и называемый эффектом Барра, до сих пор не объяснён однозначно. Поэтому его интерпретация в баллистической теории заслуживает внимания [7].

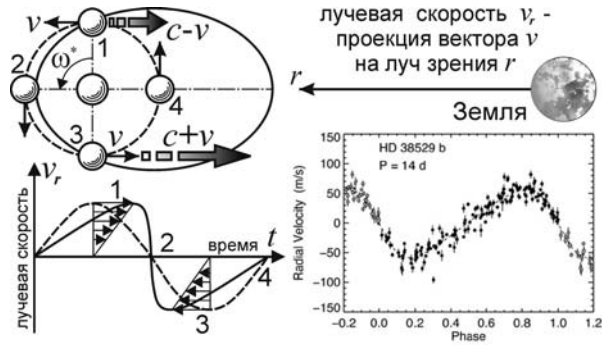


Рис. 1.1. Схема движения звезды по круговой орбите (пунктир) и кривая её лучевой скорости $v_r(t)$ (пунктир внизу). Добавление скорости звезды v к скорости света искажает график $v_r(t)$ и видимое движение звезды (сплошная линия), соответствующие орбите, вытянутой к Земле. Справа – типичная для экзопланет асимметричная кривая $v_r(t)$ ($e = 0,25$, $\omega^* = 95^\circ$).

Как показал Гутник [126], если видимое искажение движения звезды невелико, это движение не будет заметно отклоняться от законов Кеплера. Покажется лишь, что звезда движется не по круговой, а по вытянутой эллиптической орбите, т.е. у неё появится кажущийся избыточный эксцентриситет. С точки зрения современной астрономии этот вывод особенно интересен, поскольку позволяет объяснить аномально высокие эксцентриситеты орбит экзопланет [131], см. § 1.4. Не исключено, что реальные орбиты экзопланет, подобно орбитам планет Солнечной системы, почти круговые, но приобретают мнимые эксцентриситеты от искажения их видимого движения. Как отметил Фрейндлих [2, 127], видимые искажения невелики, если на пути света к Земле зависимость его скорости от скорости источника по каким-то причинам ослаблена, и оцениваемая по искажениям скорость света имеет вид

$$c' = c + kv, \quad (1.1)$$

где $k \ll 1$ и составляет по оценкам Де Ситтера $k < 0,002$ [2, 125].

Причину снижения влияния скорости источника на скорость света указал в 1965 г. Дж.Г. Фокс [8]. Поскольку тесные двойные системы, как показывает спектральный анализ, окружены атмосферами межзвёздного газа, который в ничтожной концентрации присутствует также на всём пути света к Земле, то по теореме погашения (экстинкции) Эвальда-Озеена [132] исходный свет звезды постепенно гасится облаками газа и переизлучается ими уже со скоростью c относительно облаков. Это ведёт к постепенному выравниванию скоростей света, испущенных звездой в разные моменты, и основную часть пути лучи света движутся с одинаковой скоростью. Тогда выражение (1.1) имеет смысл средней скорости света на пути r от звезды к Земле, а коэффициент k приобретёт смысл относительной доли $k = l/r$ пути l , на котором свет звезды, ещё не будучи переизлучён, движется со скоростью близкой к $c + v$. На этом пути l и набирается разность хода лучей, искажающая видимое движение звёзд. Оставшуюся часть пути $(1 - k)r$ переизлучённый свет движется со скоростью близкой к c . По известным оценкам концентрации атомов водорода ($N_H \sim 1 \text{ см}^{-3}$) и показателя преломления n межзвёздного газа в Галактике, Фокс оценил в один световой год эту характерную длину

$$l = \lambda/2\pi(n - 1), \quad (1.2)$$

на которой переизлучение в 2,718 раз снижает амплитуду исходной волны длины λ [8].

Ту же оценку получил К. Брэчер [120], выразив показатель преломления межзвёздной плазмы через плазменную частоту, и получив для длины переизлучения

$$l = (\lambda r_0 N)^{-1} \quad (1.2.a)$$

порядка двух световых лет, где $r_0 = e^2/mc^2 \approx 2,82 \cdot 10^{-15} \text{ м}$ – классический радиус электрона r_0 .

Произведём независимую оценку l . Если показатель преломления водорода $n = 1 + \delta$ (где $\delta \ll 1$), то δ пропорционально его концентрации N_H . Соответственно, длина переизлучения $l = \lambda/2\pi\delta$ обратно пропорциональна N_H . Поскольку при нормальных условиях показатель преломления водорода $n = 1,00013$ ($\delta = 1,3 \cdot 10^{-4}$), а содержание атомов в 1 см^3 равно числу Лошмидта $2,69 \cdot 10^{19}$ ($N = 2,69 \cdot 10^{19} \text{ см}^{-3}$), то в космосе, где $N_H \sim 1 \text{ см}^{-3}$, пропорционально снизится $\delta = 1,3 \cdot 10^{-4} \cdot N_H/N = 4,8 \cdot 10^{-24}$. Отсюда $l = \lambda/2\pi\delta \approx 3,3 \cdot 10^{16} \text{ м} \approx 3,5$ световых лет, что по порядку величины совпадает с оценкой Фокса. Величину l того же порядка можно получить,

исходя из того, что межзвёздная среда представляет собой водородную плазму с концентрацией ионов водорода и электронов $N \sim 1 \text{ см}^{-3}$, на основе выражения для показателя преломления плазмы [116], см. формулу (1.38). Таким образом, у большинства двойных звёзд свет переизлучается на дистанции порядка светового года или менее (т.к. тесные двойные звёзды погружены в общую атмосферу с ещё большей концентрацией газа). Поскольку расстояния r до исследованных двойных систем – порядка сотен световых лет, отношение $k = l/r$ составит как раз порядка тысячных долей. То есть ожидаемые по теории Ритца искажения малы и наблюдаются в форме эффекта Барра, а аргумент де Ситтера не имеет доказательной силы [8].

Эффект Барра был открыт в 1908 г. канадским астрономом Дж. Миллером Барром [128] при анализе статистики орбитальных элементов спектрально-двойных звёзд. История этого открытия и его обсуждения подробно описана в работе [141]. Статистика, изученная Барром, показала, что у большинства спектрально-двойных звёзд орбиты вытянуты преимущественно в сторону Земли, то есть периастры звёзд чаще расположены за картинной плоскостью: долготы периастров ω преобладают в диапазоне $0^\circ \leq \omega < 180^\circ$ (Рис. 1.2). Этот эффект был позднее многократно подтверждён физиками [8] и астрономами [129, 130, 141, 286–287], в том числе отечественными [130, 142–144, 145], предложившими для эффекта Барра термин «В-эффект» [143].

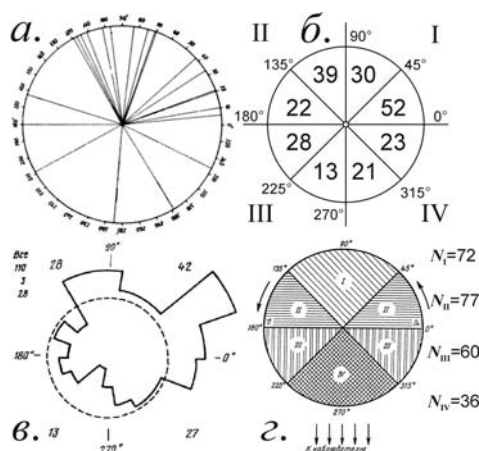


Рис. 1.2. Асимметричные угловые распределения периастров звёзд по долготам ω (числа указывают количество звёзд N_i с периастрами в данном секторе) как иллюстрация эффекта Барра, по данным разных авторов: а) Барр [128], б) Фокс [8], в) Бэттен [129], г) Бражникова [142].

В силу принципа Коперника, трудно допустить, что Земля и Солнце выделены среди других планет и звёзд (противное означало бы возврат к геоцентризму [141]). Поэтому, как отметил сам Барр, эффект вызван искажением графиков лучевых скоростей звёзд $V_r(t)$, по которым определялась долгота периастра ω , эксцентриситет e и другие орбитальные элементы. Это нелинейное искажение проявляется таким образом, что график $V_r(t)$, соответствующий круговой орбите, преобразуется в график $V_r(t)$, которому соответствует эллиптическая орбита, вытянутая к Земле. Иначе говоря, у двойных звёзд появляется избыточный кажущийся эксцентриситет e' , а долготы их периастров группируются возле значения $\omega = 90^\circ$ (Рис. 1.2). У звёздных орбит, ориентированных случайным образом и обладающих истинными эксцентриситетами e , при добавлении к ним кажущихся эксцентриситетов e' , создаётся иллюзия неравномерного распределения орбит $N(\omega)$ по долготам периастров ω . В итоге звёзды с $0^\circ \leq \omega < 180^\circ$ преобладают над звёздами с $180^\circ \leq \omega < 360^\circ$. Аналогичная аномалия обнаружена в последние годы у экзопланет, причём у них тоже наблюдается избыточный эксцентриситет, который не удаётся объяснить в рамках существующих теорий [A43, A49]. Поскольку эффект Барра не получил пока окончательного и однозначного объяснения, рассмотрим его известные интерпретации и исследуем условия проявления эффекта.

Переисчислим гипотезы о природе эффекта Барра (в скобках указаны авторы гипотез):

1) приливное искажение формы звёзд, вызывающее в ходе их синхронного вращения искажение графика лучевых скоростей (Барр [128]);

- 2) действительная вытянутость орбит звёзд в направлении Земли за счёт преимущественной ориентации орбит звёзд в Галактике (Барр [128]);
- 3) наблюдательная селекция, обусловленная упрощённым выявлением эксцентричных орбит, вытянутых к Земле (Бражникова [143]);
- 4) искажение кривой лучевых скоростей потоками газа и атмосферами, вращающимися вокруг двойных звёзд (Струве [146]);
- 5) разница скоростей света, испущенного звездой в разные моменты, за счёт движения звезды по орбите (Гутник [126], Фрейндлих [127]).

Рассмотрим перечисленные гипотезы по порядку.

1°. Первая гипотеза, выдвинутая самим Барром в 1908 г. [128], объясняет эффект Барра формированием у звёзд, образующих двойную систему, приливных горбов, которые синхронно вращаются с периодом равным орбитальному. Если высота ΔR прилива велика и сопоставима с радиусом R звезды (т.е. форма звезды заметно искажена), то участки звезды в точках прилива и отлива, расположенные на разном удалении от центра звезды, обладают по теореме фон Цайпеля разной яркостью, и дают спектральные линии разной интенсивности. Таким образом, определяющим для доплеровского смещения и найденных по нему кривых лучевых скоростей будет не скорость звезды, а скорость наиболее ярких участков, которая, за счёт вращения звезды, отлична от орбитальной и меняется более сложным образом в ходе изменения видимой площади ярких участков. Согласно Барру, это и вносит искажения в кривую лучевых скоростей. Однако этот механизм не был им рассмотрен подробно. Кроме того, асимметрия носила бы более сложный характер и вела бы к искажениям противоположным, нежели наблюдаемые в эффекте Барра: преобладали бы долготы периастра $\omega = 270^\circ$, а не $\omega = 90^\circ$ [147]. Наконец, согласно наблюдениям, эффект Барра выражается не только в искажении графиков лучевых скоростей $V_r(t)$, но и в искажении видимых движений звёзд, скажем, в затменных системах, у большинства которых орбиты, рассчитанные по кривой блеска, тоже вытянуты преимущественно в сторону Земли. Также эффект наблюдался у широких пар звёзд, компоненты которых достаточно далеки друг от друга [148, 149]. Поскольку в этих случаях приливные эффекты и яркие участки на поверхности звезды не могут вести к искажениям, очевидно, эффект имеет иную природу, и первая гипотеза отпадает.

2°. Вторая гипотеза, выдвинутая Барром в 1908 г. [128], предполагает, что большие оси орбит двойных звёзд преимущественно ориентированы в направлении галактического центра. В таком случае при наблюдении с Земли у орбит обнаружилась бы преимущественная ориентация. Сам Барр, пока положение Солнца в Галактике не было точно известно, предполагал, что Солнце расположено возле центра Галактики, что объясняло бы такую ориентацию. Впоследствии выяснилось, что Солнечная система расположена в спиральных рукавах, на периферии Галактики. Но и в этом случае у ближайшего окружения Земли обнаружится рассмотренный эффект преимущественной ориентации орбит. В среднем большие оси орбит ориентированы под случайными углами к линии визирования. Однако у звёзд, лежащих между Солнцем и центром Галактики, то есть наиболее многочисленных и легко открываемых, орбиты окажутся вытянуты в среднем в направлении Земли. Возможные механизмы ориентации орбит в Галактике были подробно рассмотрены Э.Ф. Бражниковой и др. [144]. Данное объяснение эффекта Барра сомнительно по ряду причин. Во-первых, как показал ещё А.А. Белопольский [76], орбиты двойных звёзд в тесных системах испытывают вековое вращение под влиянием возмущений, что исключает возможность постоянной ориентации их больших полуосей к центру Галактики или в ином избранном направлении. Во-вторых, у орбит звёзд-компонентов, входящих в двойную систему, долготы периастров орбит отличаются на 180° , то есть не могут создать асимметричного распределения по ω . Поэтому допускают существование дополнительных механизмов, вызывающих преимущественную ориентацию орбит более ярких компонент, которые проще открыть [144]. В-третьих, ряд фактов свидетельствует, что реальные орбиты звёзд ориентированы случайным образом, и эффект Барра вызван именно искажением видимого движения звёзд и графиков $V_r(t)$. Эти факты подробно рассмотрены в монографии А. Бэттена [129], где на ряде примеров показано, что имеет место именно искажение расчётных орбитальных элементов неизвестным эффектом, а не реальная вытянутость орбит в заданном направлении. Подробнее эти факты будут рассмотрены ниже.

3°. Третья гипотеза – гипотеза наблюдательной селекции – объясняет эффект Барра тем, что по неким причинам проще открыть двойные системы, в которых орбиты ярких компонент вытянуты в направлении Земли, а не в обратном, тогда как в целом у звёзд Галактики орбиты ориентированы случайным образом. Эта гипотеза была подробно разработана Бражниковой [130, 143], изучившей возможные механизмы наблюдательной селекции. Не останавливаясь подробно на этих механизмах, ещё нуждающихся в обосновании, отметим, что данная гипотеза сталкивается с тем же возражением, что и предыдущая. То есть, открыты двойные звёзды, для которых надёжно установлены круговые орбиты компонент, тогда как график лучевой скорости $V_r(t)$ соответствует эксцентрической орбите, вытянутой к Земле или в близком направлении. Такова затменная звезда U Цефея, у которой кривая блеска свидетельствует о круговой орбите, а кривая лучевых скоростей – об эллиптической орбите [129]. Другой пример – двойная звезда RX Кассиопеи, у которой кривая лучевых скоростей одного компонента соответствует круговой орбите, а второго – эллиптической. Поскольку орбиты должны иметь одинаковый эксцентриситет, очевидно, график лучевых скоростей одного из компонентов искажён. Эти примеры доказывают, что причина эффекта Барра состоит не в истинной вытянутости орбит звёзд, выявленных благодаря эффекту наблюдательной селекции, а – в эффекте искажения графиков лучевых скоростей неким неизвестным эффектом.

4°. Четвёртая гипотеза, предложенная Струве и Хуангом [146], объясняет эффект Барра как раз искажением графиков лучевых скоростей спектрально-двойных звёзд. По гипотезе Струве, это искажение вызвано потоками газа околозвёздных атмосфер, в ходе вращения создающих линии поглощения, смещённые по эффекту Доплера от положений, соответствующих орбитальному движению звёзд. Это якобы и ведёт к искажению графиков лучевых скоростей. Отметим, что и в этом случае не вполне ясно, почему искажения носят наблюдаемый характер и ведут к концентрации расчётных долгот периастров возле избранных значений. Как показано в работах [148, 149], и эта гипотеза не выдерживает критики, поскольку общие атмосферы свойственны тесным парам звёзд, тогда как эффект Барра обнаружен и у широких пар звёзд, разнесённых на дистанции много больших размеров звёзд, не имеющих общих атмосфер. В таких случаях искажения, вносимые атмосферами, – маловероятны. Ряд несоответствий гипотезы Струве – наблюдениям перечислен в монографии Бэттена [129]. Наконец, следует отметить, что эффект Барра наблюдается не только в форме искажения графиков лучевых скоростей, но и в искажении видимого движения звёзд и кривой блеска в затменных системах [149]. Всё это приводит к мысли, что искажения, во-первых, реально имеют место, а во-вторых, вызваны каким-то более общим оптическим эффектом (затрагивающим как спектр, так и видимое движение звёзд), природу которого предстоит выяснить.

5°. Пятая гипотеза, предложенная Гутником [126] и развитая Фрейндлихом [127] в 1913 г. (вскоре после открытия эффекта Барра), основана как раз на идее такого оптического эффекта. Согласно их гипотезе, эффект обусловлен тем, что свет звезды из разных положений на орбите достигает Земли с разной скоростью, вызывая искажение видимого движения звезды и графика лучевых скоростей. Эта гипотеза не только стала одним из первых объяснений эффекта Барра (будучи выдвинута спустя пять лет после его открытия), но и позволила естественно истолковать все особенности эффекта Барра, противоречащие другим гипотезам. Природа различия скоростей света, испущенного звездой в разные моменты, может быть разной. Например, в момент приближения звезды её спектральные линии смещены в синюю область, и за счёт дисперсии в межзвёздном газе свет соответствующей частоты движется чуть медленней, чем свет, испущенный звездой при удалении, когда её линии смещены в красную область. Однако, при типичной плотности межзвёздного газа, дисперсия мала для создания заметных искажений. Кроме того, при нормальной дисперсии (отставании синих лучей от красных) эффект имел бы обратный знак, чем эффект Барра. Долготы периастров, как покажем в § 1.4, концентрировались бы возле $\omega = 270^\circ$, а не $\omega = 90^\circ$. Гутник и Фрейндлих допускали, что скорости лучей света различаются и в вакууме за счёт влияния скорости звезды на скорость её света, согласно баллистической теории [123], выдвинутой в 1908 г. (в один год с открытием эффекта Барра [128]) и предсказавшей отмеченные искажения до широкой огласки об их обнаружении [125, 47]. Подробный анализ этой гипотезы и произведём далее.

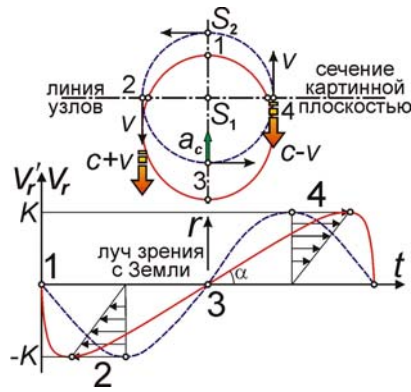


Рис. 1.3. Схема искажения видимого движения звезды по орбите с эксцентриситетом $e = 0$ и наклоном $i = 90^\circ$. У звезды, летящей по круговой орбите (пунктирная линия), влияние орбитальной скорости V на скорость света c ведёт к перекосу графика лучевых скоростей (сплошная линия), т.е. к появлению мнимого эксцентриситета e' и В-эффекта.

Согласно баллистической теории Ритца [1], свет испускается относительно источника со стандартной скоростью света c , а в системе, относительно которой источник движется со скоростью V , свет дополнительно приобретает скорость источника (подобно тому, как в баллистике скорость подвижного орудия добавляется к скорости выпущенного им снаряда, отсюда название теории). В итоге скорость света равна векторной сумме $c' = c + V$. Уже в работе 1908 г. Ритц обратил внимание на возможные астрономические проявления переменной скорости света и на критерии проверки этого эффекта [123]. В 1909-1910 гг. Д.Ф. Комсток [125] впервые проанализировал возможные искажения в движении двойных звёзд, возникающие при влиянии орбитальной скорости звезды на скорость испущенного ей света. Если для удобства рассмотрим звезду-спутник, летящую вокруг главной звезды со скоростью V по круговой орбите (пунктир на Рис. 1.3), лежащей в одной плоскости с лучом зрения (наклонение орбиты $i = 90^\circ$), то в момент приближения звезда посылала бы к Земле свет со скоростью $c + V$, и он доходил бы за меньшее время, чем свет, испущенный со скоростью $c - V$ при удалении звезды. В итоге, видимое движение звезды (сплошная линия на Рис. 1.3) в двойной системе исказилось бы так, словно звезда летит быстрее, находясь дальше от Земли (за картинной плоскостью), и медленнее, находясь ближе (перед картинной плоскостью) [125]. Тогда равномерное движение звезды покажется неравномерным, идущим по эллиптической орбите, вытянутой к Земле. Фактически, Комсток на основе баллистической теории предсказал эффект Барра, не будучи знаком с его работой [128], вышедшей в 1908 г., за год до представления статьи Комстока на съезде Физического Общества в Принстоне, в 1909 г. [125].

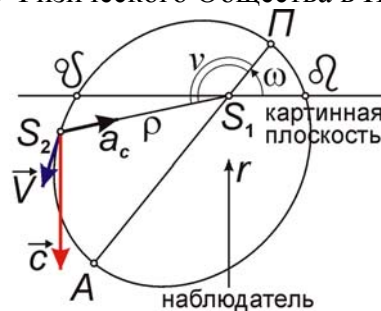


Рис. 1.4. Орбитальные элементы и схема расположения орбиты двойной звезды по отношению к наблюдателю: S_1 – главная звезда, S_2 – спутник, P – периастр, A – апоастр, δ – восходящий узел, v – истинная аномалия, r – луч зрения.

Итак, влияние орбитальной скорости звезды на скорость испущенного ей света теоретически может быть причиной эффекта Барра. Равномерное движение звёзд по круговой орбите покажется тогда неравномерным, идущим по вытянутой орбите. Причём искажения, в согласии с наблюдениями, затронут и видимое движение, и кривую лучевых скоростей.

Оценим величину этих искажений и мнимого эксцентриситета. Рассмотрим двойную звезду на расстоянии r от Земли. Пусть луч зрения r лежит в плоскости орбиты двойной

звезды (Рис. 1.3), а звезда-спутник движется по круговой орбите с орбитальной скоростью V и периодом P . График лучевых скоростей $V_r(t)$ звезды-спутника S_2 имеет форму синусоиды

$$V_r = -K \sin\left(\frac{2\pi t}{P}\right),$$

где $K = V$ – полуамплитуда лучевой скорости, а за начало отсчёта времени t принят момент, когда звезда проходит дальнюю от Земли точку орбиты 1.

Согласно баллистическому принципу, из точки 2 звезда испускает свет со скоростью $c + K$, а из точки 4 – со скоростью $c - K$. То есть, из положений 2 и соседних с ним, свет звезды приходит раньше расчётного времени (в рамках СТО), а из положений 4 – запаздывает, искажая график лучевых скоростей (Рис. 1.2). Из промежуточных точек орбиты звезда в направлении Земли испускает свет со скоростью $c - V_r$, где V_r – лучевая скорость звезды (проекция скорости V на луч зрения \mathbf{r}). Тогда свет из этих точек будет приходить позже на время

$$\Delta t = \frac{l}{c - V_r} - \frac{l}{c} \approx \frac{lV_r}{c^2},$$

где l – эффективный путь (порядка длины переизлучения), на котором у световых лучей набирается разность хода. Все точки графика $V_r(t)$ сместятся пропорционально их лучевой скорости V_r и пути l , ведя к перекосу графика лучевых скоростей. Такое постепенное искажение профиля волны $V_r(t)$ аналогично эволюции волнового цуга, подчиняющегося уравнению простой волны, или других волн в нелинейных средах, где скорость зависит от смещения, амплитуды [248]. Поэтому, с точки зрения баллистической теории, световая волна аналогична кинематической волне в клистроне, где поток электронов, модулированный по скорости, по мере движения меняет профиль волнового распределения электронов по скоростям [A48].

Выведем уравнение графика лучевых скоростей звёзд из условия запаздывания

$$t' = t(V_r) + \Delta t = \frac{P}{2\pi} \left(\arcsin\left(-\frac{V_r}{K}\right) + \frac{2\pi l V_r}{P c^2} \right).$$

Поскольку из этого уравнения нельзя получить в явном виде зависимость $V_r(t)$, то из условия

$$V_r = -K \sin\left(\frac{2\pi(t - \Delta t)}{P}\right), \quad (1.3)$$

получим в приближении, в котором параметр $e' = \pi l K / P c^2 \ll 1$, зависимость

$$V_r \approx -K \left(\sin\left(\frac{2\pi t}{P}\right) + e' \sin\left(\frac{4\pi t}{P}\right) + \frac{3}{2} e'^2 \sin\left(\frac{6\pi t}{P}\right) \right), \quad (1.4)$$

где при разложении в ряд ограничились членами порядка e'^2 .

В то же время кривая лучевых скоростей звезды, движущейся по эллиптической орбите с долготой периастра ω и эксцентриситетом e , задаётся через цепочку уравнений

$$V_r = K(\cos(\omega + \nu) + e \cos \omega) + V_0 = V_r' + V_r'', \quad (1.5)$$

$$\operatorname{tg}\left(\frac{\nu}{2}\right) = \frac{1}{b} \operatorname{tg}\left(\frac{E}{2}\right), \text{ где } b = \sqrt{\frac{1-e}{1+e}},$$

$$t = \frac{P}{2\pi} (E - e \sin E),$$

где ν – истинная аномалия звезды (её угловое расстояние PS_1S_2 от периастра), E – эксцентрическая аномалия, $V_r' = K \cos(\omega + \nu)$ – зависящая от времени часть лучевой скорости, $V_r'' = K e \cos \omega + V_0$ – постоянная часть лучевой скорости. Из (1.5) тоже нельзя получить в явном виде зависимость $V_r(t)$. Поэтому снова ограничимся зависимостью $t(V_r')$

$$t = \frac{P}{2\pi} \left(2 \operatorname{arctg} \left(b \operatorname{tg} \left(\frac{1}{2} \arccos \left(\frac{V_r'}{K} \right) - \frac{\omega}{2} \right) \right) - e \sin \left(2 \operatorname{arctg} \left(b \operatorname{tg} \left(\frac{1}{2} \arccos \left(\frac{V_r'}{K} \right) - \frac{\omega}{2} \right) \right) \right) \right). \quad (1.6)$$

Для $\omega = 90^\circ$, после преобразований и разложения в ряд Тейлора при ограничении членами первого порядка малости $e \ll 1$ (когда $b \approx 1 - e$), найдём

$$t = \frac{P}{2\pi} \left(\arcsin\left(-b \frac{V_r}{K}\right) + eb \frac{V_r}{K} \right) \approx \frac{P}{2\pi} \left(\arcsin\left(-\frac{V_r}{K}\right) + e \frac{V_r}{K} \left(1 + \frac{1}{\sqrt{1 - V_r^2/K^2}}\right) \right). \quad (1.7)$$

Сравнивая (1.2) и (1.7), можно видеть, что они дают сходные зависимости времени от лучевой скорости при $e = e' = \pi K/Pc^2 = la_c/2c^2$. Ту же величину мнимого эксцентриситета вычислил К. Брэчер [120], вслед за Э. Фрейндлихом предложивший термин «кажущийся эксцентриситет». Отклонения заметны лишь при высоких эксцентриситетах и лучевой скорости близкой к экстремальным значениям $V_r' \approx \pm K$. Для такого приближения тоже можно получить

$$V_r \approx -K \left(\sin\left(\frac{2\pi t}{P}\right) + 2e \sin\left(\frac{4\pi t}{P}\right) + e^2 \sin\left(\frac{6\pi t}{P}\right) \right). \quad (1.8)$$

Отсюда находим, что искажённая кривая лучевых скоростей (1.3) в первом приближении, действительно (как отмечено Фрейндлихом и Гутником), соответствует кривой лучевых скоростей (1.8) для вытянутой к Земле эллиптической орбиты с эксцентриситетом $e = e' = \pi K/Pc^2 = la_c/c^2$, где a_c – центростремительное ускорение звезды, летящей по круговой орбите.

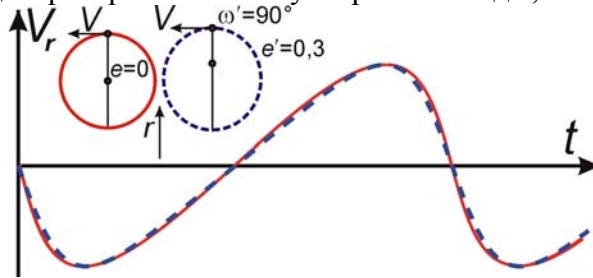


Рис. 1.5. Сравнение искажённой кривой лучевых скоростей $V_r'(t)$ для круговой орбиты с $e' = \pi K/Pc^2 = 0,3$ (сплошная линия) и кривой лучевых скоростей $V_r(t)$ для орбиты с эксцентриситетом $e' = 0,3$ (пунктирная линия).

В общем случае, для орбиты, обладающей истинным эксцентриситетом e и долготой периастра ω можно получить

$$t = \frac{P}{2\pi} \left(2 \arctg \left(b \operatorname{tg} \left(\frac{1}{2} \arccos \left(\frac{V_r'}{K} \right) - \frac{\omega}{2} \right) \right) - e \sin \left(2 \arctg \left(b \operatorname{tg} \left(\frac{1}{2} \arccos \left(\frac{V_r'}{K} \right) - \frac{\omega}{2} \right) \right) \right) + \frac{2\pi l V_r'}{Pc^2} \right)$$

Отметим, что и в этом случае при малости искажений кривая лучевых скоростей будет соответствовать в первом приближении кеплеровой орбите, но с изменёнными элементами $e' = e + \Delta e$ и $\omega' = \omega + \Delta \omega$, где Δe – поправка к эксцентриситету, вносимая искажениями (мнимым эксцентриситетом), а $\Delta \omega$ – поправка к долготе периастра.

Выяснить, вызван ли эффект Барра влиянием орбитальной скорости звезды на скорость испущенного ей света, можно, рассмотрев 8 основных критериев, выдвинутых в [A51]:

- 1) Искажение графиков лучевых скоростей от вариаций скорости света (1.1) приведёт к кажущемуся преобладанию орбит с $0^\circ \leq \omega < 180^\circ$ над орбитами с $180^\circ \leq \omega < 360^\circ$;
- 2) Высокие мнимые эксцентриситеты преобладают у звёзд с наивысшим отношением K/P – у них асимметрия в распределении по ω и эффект Барра наиболее отчётливы;
- 3) Эффект Барра должен быть мал у близких звёзд ($r \sim 10$ св. лет) и велик для далёких звёзд ($r \sim 100-1000$ св. лет) с отрицательной лучевой скоростью центра масс $V_0 < 0$;
- 4) Лучевые скорости компонент с разными амплитудами K колебались бы не в противофазе: им отвечали бы разные эксцентриситеты и скорости центра масс системы;
- 5) Долготы периастров компонент двойных звёзд, в которых наблюдается эффект Барра, должны отличаться менее чем на 180° ;
- 6) Эксцентриситет орбиты, определённый астрометрическим или фотометрическим методами (по колебаниям яркости при затмениях), должен отличаться от эксцентриситета орбиты, измеренного спектроскопически по кривой лучевых скоростей;
- 7) Для высоких мнимых эксцентриситетов наблюдались бы отклонения от теоретической кривой лучевых скоростей, имеющие вид гармоник орбитального периода;

- 8) Эксцентриситет и полуамплитуда колебаний лучевой скорости, определённые по разным группам линий, могут различаться для одной и той же орбиты. Также могут различаться эксцентриситеты, измеренные по линиям разных компонентов.

Рассмотрим, откуда следуют эти критерии, и соответствует ли эффект Барра и наблюдаемые аномалии орбит звёзд этим критериям.

1°. Первый критерий следует из того, что искажения, обусловленные влиянием скорости источника на скорость света, ведут к одному и тому же типу асимметрии, вызывая мнимое вытягивание расчётных орбит в сторону Земли. Как отмечено выше, этот критерий, действительно, выполняется, согласно анализу самого Барра и других астрономов (Рис. 1.2).

Был рассмотрен простейший случай круговой орбиты двойных звёзд. Действительные орбиты обладают, как правило, ненулевыми истинными эксцентриситетами e , к которым добавляются кажущиеся эксцентриситеты Δe , обусловленные искажением кривой лучевых скоростей, так что измеренный мнимый эксцентриситет $e' = e + \Delta e$. Это ведёт к искажению действительного эксцентриситета орбиты и долготы её периастра, на что ещё в 1913 г. обратил внимание Кортевег [125], – автор уравнения Кортевега-ДеВриза, как раз описывающего нелинейные искажения волн при распространении [248]. В итоге, у орбит с $0^\circ \leq \omega < 180^\circ$ расчётный эксцентриситет e' нарастает по сравнению с реальным e , а расчётная долгота периастра ω' приближается к 90° . Напротив, у звёзд с $180^\circ \leq \omega < 360^\circ$ расчётный эксцентриситет e' снижается, и ω' может попасть в интервал $0^\circ \leq \omega < 180^\circ$. При исходно однородном распределении $N(\omega)$, из-за наличия истинных эксцентриситетов e , в расчётном распределении долгот периастров $N'(\omega)$ нет резкого максимума при $\omega = 90^\circ$, но наблюдается преобладание орбит с ω возле данного значения в диапазоне $0^\circ \leq \omega < 180^\circ$. Степень этой асимметрии в распределении $N(\omega)$ будем в дальнейшем характеризовать предложенным Дж. Фоксом [8] параметром асимметрии

$$R = \frac{N(0^\circ \leq \omega < 180^\circ)}{N(180^\circ \leq \omega < 360^\circ)},$$

то есть, отношением числа звёздных орбит с периастром в I и II квадрантах к числу звёздных орбит с периастром в III и IV квадрантах (Рис. 1.2).

Для равномерного случайного распределения $R \approx 1$, среднеквадратичное отклонение для $N(0^\circ \leq \omega < 180^\circ)$ от $N/2$ равно $\sigma = N^{1/2}/2$, и статистически ожидаемое $N(0^\circ \leq \omega < 180^\circ) \leq N/2 + \sigma = N/2 + N^{1/2}/2$. Если $R > 1$ более чем на σ/N , то 1°-ый критерий удовлетворяется. Критерий можно считать статистически подтверждённым, если измеренные отклонения превышают 3σ , то есть при

$$R > \frac{0,5N + 1,5\sqrt{N}}{0,5N} = 1 + \frac{3}{\sqrt{N}}.$$

Для всех рассмотренных случаев и выборок [1, 8, 129, 142] этот критерий удовлетворяет наблюдениям. Так, для относительно недавних данных, приводимых Бэттенем, $R = 1,75$ (Рис. 1.2). В то время как для рассмотренного числа систем $N = 110$ при учёте возможных флуктуаций величина R практически не может быть выше значения $1 + 3N^{-1/2} \approx 1,29$. Сравнение аналогичных величин для распределений, построенных Фоксом и Бражниковой, приведены в Таблице 1.1.

автор	измеренная асимметрия R	общее число систем N	допустимая асимметрия $1 + 3N^{-1/2}$
Барр [1]	6,5	30	1,55
Бэттен [129]	1,75	110	1,29
Фокс [8]	1,68	228	1,20
Бражникова [142]	1,55	245	1,19

Таблица 1.1. Коэффициенты асимметрии распределений $N(\omega)$, построенных разными авторами.

2°. Второй критерий следует из того, что мнимый эксцентриситет $e' = \pi l K / P c^2$ растёт при увеличении полуамплитуды лучевой скорости K и уменьшении орбитального периода P звезды, тогда как эффективная длина l , составляя порядка светового года, слабо различается для систем, расположенных на разных дистанциях r . Поэтому эффект Барра сильнее всего проявился бы для двойных звёзд с наивысшим отношением K/P . Этот критерий был впервые предложен Дж. Фоксом [8], который произвёл статистический анализ элементов двойных звёзд, приведённых в звёздных каталогах. Анализ показал, что у звёзд с отношением $K/P \geq 3$ (км/с)/сут наблюдается заметная асимметрия в распределении долгот периастров ω , то есть

эффект Барра ярко выражен. А для $K/P < 3$ (км/с)/сут распределение по ω практически однородное. Аналогичный статистический анализ произвели отечественные астрономы [130, 148], которые показали, что эффект Барра заметно проявляется только у звёзд с орбитальными периодами $P \leq 30$ сут, и практически отсутствует у звёзд с $P > 30$ сут. Такой же эффект обнаруживает современный анализ статистики двойных звёзд, например, по каталогу Sb9, где у звёзд с $P \leq 30$ сут тоже обнаруживается заметная асимметрия в распределении периастров с заметным преобладанием систем, для которых $0^\circ \leq \omega < 180^\circ$ [249]. Причём степень асимметрии R растёт при сокращении P , в полном согласии со 2°-ым критерием. Таким образом, статистический анализ не только подтвердил реальность эффекта Барра, но и предоставил ряд свидетельств того, что эффект связан именно с искажением кривой лучевых скоростей за счёт баллистического принципа, поскольку подтвердились оба главных критерия, вытекающих из этого принципа.

В связи с наличием истинных эксцентриситетов интересно рассмотреть возражение Де Ситтера против трактовки эффекта Барра по баллистической теории. Де Ситтер отметил [125], что если б у двойных звёзд возникал дополнительный эксцентриситет величины $e' = \pi l K / P c^2$, то в среднем наблюдаемый эксцентриситет был бы выше в системах с коротким периодом P . А в действительности наблюдается обратная зависимость, выявленная ещё Людендорфом и показывающая, что эксцентриситет растёт при увеличении периода P . Согласно Де Ситтеру, это свидетельствует против теории Ритца. Но в действительности наблюдаемая корреляция между e и P отражает изменение истинного эксцентриситета e при увеличении периода P . Хорошо известно, что для небесных тел с большими орбитальными периодами эксцентриситет в среднем выше, чем для тел с малыми орбитальными периодами, что связано с приливным трением, которое постепенно «скругляет» орбиты планет и звёзд. Причём приливной эффект, снижающий e , быстро растёт (пропорционально ρ^{-5}) при сокращении орбитального радиуса ρ и периода P . Поэтому для долгопериодических орбит мнимые эксцентриситеты e' полностью теряются на фоне истинных e . По той же причине у долгопериодических орбит ($P > 30$ сут) эффект Барра практически не обнаруживается [130, 148]. А для короткопериодических орбит ($P \leq 30$ сут) эффект Барра становится хорошо заметен, за счёт малости истинных эксцентриситетов e , на фоне которых мнимые эксцентриситеты $e' = \pi l K / P c^2$ (к тому же выросшие) становятся хорошо заметны и приводят к сильной асимметрии в распределении $N(\omega)$.

Таким образом, эффект Барра удовлетворяет критерию зависимости мнимого эксцентриситета, выведенному из теории Ритца. Можно рассмотреть и ряд других критериев, частично предложенных уже Д. Комстоком [123] для выявления аномалий формы звёздных орбит. Все они в рамках современного анализа свидетельствуют в пользу баллистической природы искажений графика лучевых скоростей. Предложим также несколько новых критериев.

3°. Третий критерий следует из того, что мнимый эксцентриситет $e' = \pi r K / P c^2$ пропорционален расстоянию r звезды. Поэтому для сравнительно близких звёзд с малым r (< 10 – 20 пк) мнимый эксцентриситет мал и асимметрия в распределении по долготам периастров должна отсутствовать. А для далёких звёзд, с высоким r (> 20 пк), мнимый эксцентриситет и эффект Барра должен быть хорошо заметен. Впрочем, строгой пропорциональности эксцентриситета расстоянию не должно возникать, поскольку за счёт переизлучения на больших дистанциях $r \geq l$ эксцентриситет $e' = \pi l K / P c^2$ пропорционален уже эффективному пути l и при $r \geq l$ перестаёт расти с увеличением расстояния r . Эффект Барра удовлетворяет и этому критерию, судя по выявленному для эффекта Барра широтному эффекту. Для звёзд, расположенных в высоких галактических широтах $|b| > 45^\circ$, эффект Барра практически отсутствует, а для звёзд, расположенных близко к галактическому экватору, с широтами $|b| \leq 45^\circ$, эффект Барра явно выражен [144]. Очевидно, это связано с тем, что звёзды в высоких галактических широтах расположены сравнительно близко к Земле: их расстояния r не превышают половины толщины галактического диска $h \sim 20$ пк (Рис. 1.6), соответственно и эффект Барра для них малозаметен. А звёзды, расположенные возле галактического экватора $|b| \approx 0^\circ$, находятся на расстояниях r в сотни раз больших, соответственно мнимые эксцентриситеты $e' = \pi r K / P c^2$ для них велики и эффект Барра отчётливо выражен, в согласии с наблюдениями [144].

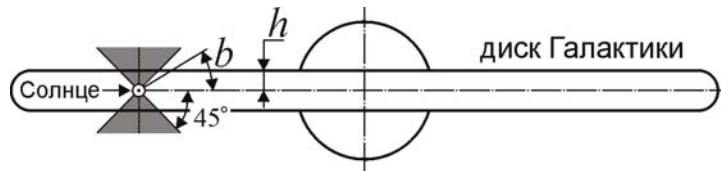


Рис. 1.6. В зависимости от галактической широты b двойных звёзд, эффект Барра для них проявляется в разной степени. Область, где эффект Барра малозаметен, закрашена серым.

Поскольку искажения, вызывающие эффект Барра и мнимый эксцентриситет $e' = \pi l K / P c^2$, обычно пропорциональны не дистанции r , а эффективному пути l , в пределах которого свет не успел полностью переизлучиться, то эффект Барра должен быть наиболее заметен для звёзд, движущихся к Земле. Поскольку снижение эффективного пути вызвано интерференцией исходного излучения звёзд со светом, рассеянным облаками газа, ведущей к погашению исходного излучения [8], то интерференция возможна, когда рассеянное излучение движется со скоростью большей или практически равной скорости исходного. А свет от звезды, приближающейся к Земле с высокой скоростью, обладая избыточной скоростью ($c - V_0$), при лучевой скорости $V_0 < 0$ не может интерферировать с рассеянным светом. Поэтому его скорость не будет снижаться (пока он не пересечёт облака газа с лучевой скоростью близкой к V_0). При этом условии переизлучение практически отсутствует: $l \approx r$, а $k = l/r \approx 1$. А для $V_0 > 0$ переизлучение происходит на длине $l \sim 1$ св. года и $k = l/r \ll 1$, что делает эффект Барра не существенным. Действительно, статистический анализ, произведённый Бражниковой и другими, показал, что эффект Барра отчётливо наблюдается лишь у звёзд с $V_0 < 0$, а для звёзд с $V_0 > 0$ искажения оказываются существенно ниже, и эффект Барра отсутствует [144].

4°. Четвёртый критерий вытекает из пропорциональности мнимого эксцентриситета $e' = \pi l K / P c^2$ амплитуде лучевой скорости K . Соответственно, если компоненты двойной звезды движутся вокруг центра масс по круговым орбитам с разными орбитальными скоростями, то мнимый эксцентриситет будет выше у компонента с большей скоростью (и меньшей массой), на что обратил внимание П.С. Чикин [150] и С.А. Семиков [A21]. Первому критерию, действительно, удовлетворяет ряд спектрально-двойных звёзд. Например, у звезды RX Кассиопеи кривые лучевых скоростей компонентов соответствуют разным эксцентриситетам, а лучевые скорости меняются не синхронно [129, 146]. Если у компонента спектрального класса G кривая лучевых скоростей соответствует круговой орбите с $e_1 \approx 0$ (*пунктир* на Рис. 1.7), то у компонента класса A кривая соответствует орбите с $e_2 \approx 0,18$, вытянутой к Земле (*штрих-пунктир*). Это противоречит небесной механике, согласно которой у компонентов двойной системы эксцентриситеты орбит должны совпадать, а кривые лучевых скоростей – иметь зеркальный ход, так что V_{r1} и V_{r2} менялись бы в противофазе. Таким образом, в видимом движении звёзд наблюдается отклонение от законов Кеплера, – иллюзорный эффект, предсказанный теорией Ритца [A15]. Поскольку законы Кеплера вряд ли нарушаются, Бэттен [129] пришёл к выводу, что кривая лучевых скоростей второго компонента искажена по эффекту Барра. Причём у компонента A, с искажённым графиком скоростей, периастр в соответствии с эффектом Ритца оказывается расположен за картинной плоскостью ($\omega = 37^\circ$ [151]), удовлетворяя первому критерию. Отметим, что у RX Кассиопеи обнаружены также колебания блеска W' , происходящие с орбитальным периодом P , что с позиций баллистической теории естественно объясняется эффектом Ритца, который, как покажем в § 1.5, меняет видимую яркость W' и должен быть хорошо заметен, судя по наличию искажений графика $V_r(t)$.

Подобный перекося графиков лучевых скоростей наблюдается и у переменной звезды DU Волопаса [240] (Рис. 1.7), переменность блеска W' которой тоже может быть связана с эффектом Ритца, вызвавшим этот перекося. Подобный перекося графиков лучевых скоростей компонентов в одну сторону наблюдается также у переменной звезды V701 Скорпиона, что однако связывают с приливным эффектом и неоднородным распределением яркости по поверхности звёзд. Аналогичный эффект несоответствия кривых лучевых скоростей компонентов открыт у переменной звезды BW Лисички, двойственность которой, согласно П.С. Чикину [150], и объясняет её переменность. Он же показал, что перекося графиков лучевых скоростей при $e' = \pi l K / P c^2 > 1$ приведёт на графиках $V_r'(t)$ к появлению разрывов, неод-

нозначности и перехлёсту ветвей графика $V_r'(t)$, типичному для ударных волн в нелинейных средах [248]. Эта аномалия графиков лучевых скоростей противоречит другим объяснениям эффекта Барра – эффекту селекции, гипотезе Струве, галактической ориентации орбит и т.д.

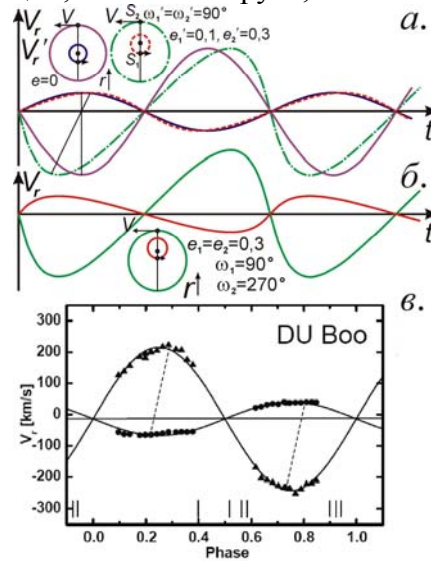


Рис. 1.7. а) Схема искажений графиков $V_r'(t)$ для круговых орбит (пунктир и штрих-пунктир), отвечающих невозможному случаю, когда у орбит компонентов разные эксцентриситеты и равные долготы периастров. б) Реальные графики лучевых скоростей $V_r(t)$ компонентов соответствуют орбитам равных эксцентриситетов $e_1 = e_2$ и противоположных долгот $\omega_1 = 180^\circ + \omega_2$ (сплошные линии). в) Возможный пример подобного искажения, наблюдаемого у тесной двойной звезды DU Волопаса [240].

Кроме того, обусловленные искажениями $V_r'(t)$ неодинаковые мнимые эксцентриситеты e' компонентов, при фиксированных значениях постоянной составляющей $V_r'' = Ke' \cos \omega + V_0$, приведут к различию расчётных значений величин $Ke' \cos \omega$ и скоростей центра масс V_0 компонентов. То есть, лучевая скорость центра масс V_0 системы, найденная по разным компонентам, получится разной, вопреки законам Кеплера. И такая аномалия реально наблюдается в виде эффекта Струве-Сахаде [129, 250], скажем, у звезды HD 190967 и АО Кассиопеи.

5°. Пятый критерий следует из того, что мнимый эксцентриситет $e' = \pi l K / P c^2$ соответствует «вытягиванию» орбит обоих компонентов S_1 и S_2 в сторону Земли. То есть, в случае круговой орбиты долготы периастров, определённые из анализа искажённых кривых лучевых скоростей, будут совпадать: $\omega_1 = \omega_2 = 90^\circ$ (Рис. 1.7). Тогда как в действительности у компонентов S_1 и S_2 с эллиптическими орбитами соответствующие значения ω_1 и ω_2 должны различаться на 180° , и для $\omega_2 = 90^\circ$ найдём $\omega_1 = 180^\circ + \omega_2 = 270^\circ$. При наличии у орбит истинного эксцентриситета дополнительное вытягивание орбит в одну сторону приведёт к тому, что разность долгот периастров окажется меньше 180° , т.е. $0 \leq |\omega_1 - \omega_2| < 180^\circ$. Действительно, подобный эффект иногда наблюдается, например, в упомянутых системах DU Волопаса [240], V701 Скорпиона, BW Лисички [150]: у обоих компонентов перекося графиков $V_r'(t)$ идёт в одну и ту же сторону, словно у обоих компонентов $0^\circ \leq \omega < 180^\circ$, и $0^\circ \leq |\omega_1 - \omega_2| < 180^\circ$.

6°. Шестой критерий тоже следует из того, что переменность скорости света вызывает лишь видимое увеличение эксцентриситета, определённого из кривой лучевых скоростей. Поэтому, применяя другие методы, можно выявить это несоответствие. Так, у затменной звезды U Цефея по наблюдениям затмений и фотометрической кривой блеска расчётная величина $e \cos \omega$ близка к нулю. Тогда как кривая лучевых скоростей показывает высокое значение $e \cos \omega$, достигающее 0,2–0,4 и, соответственно, высокий эксцентриситет e .

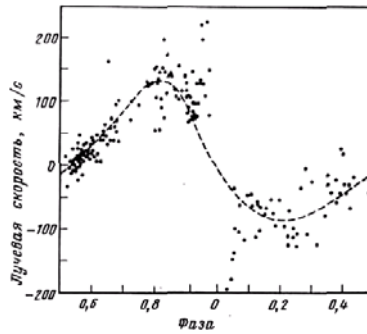


Рис. 1.8. Кривая лучевых скоростей U Цефея [129] не соответствует её кривой блеска, говорящей о нулевом значении $e \cos \omega$.

Очевидно, орбита обладает истинным эксцентриситетом e , однако добавление скорости звезды к скорости света компенсирует асимметрию кривой блеска (затмений), нейтрализуя расчётный эксцентриситет (по механизму Кортвега [125]), так что $e' = e + \Delta e = 0$. Однако эффект Барра не может на всём протяжении нейтрализовать асимметрию графика лучевых скоростей $V_r(t)$, где больше точек. В итоге сохраняется остаточный эксцентриситет, который выявляют по графику $V_r(t)$. Ряд звёзд с таким взаимным несоответствием кривых блеска и кривых лучевых скоростей упомянут в монографии Бэттена [129] и подробно исследован Саведовым [152]. К той же категории можно отнести цефеиды, у которых, как давно открыто, кривые лучевых скоростей смещены на четверть периода по отношению к кривым блеска.

7°. Седьмой критерий был предложен Фрейндлихом [127], показавшим, что искажённая кривая лучевых скоростей $V_r'(t)$ не вполне соответствует графику $V_r(t)$ эллиптической орбиты: отклонения имеют вид гармоник с частотами кратными основной частоте орбитального обращения. Этот критерий следует из того, что разница между приближёнными выражениями (1.3) и (1.8) для этих функций имеет вид гармоник основной частоты. Фактически этот критерий следует из разложения пилообразной кривой (1.3) в ряд Фурье. По мере увеличения дистанции l и параметра $e' = \pi l K / P c^2$ нарастают отклонения $V_r'(t)$ от гармонического закона. Это напоминает появление всё более высоких гармоник растущей амплитуды в клистроне, где исходно однородное распределение электронов, по мере их движения, становится всё более неоднородным и асимметричным за счёт периодической модуляции скорости электронов [248]. Уже Фрейндлих отмечал, что подобные отклонения реально наблюдаются на графиках лучевых скоростей двойных звёзд [127]. То есть и этот критерий удовлетворяется.

8°. Восьмой критерий вытекает из того, что от длины волны λ спектральной линии и от состава переизлучающих облаков газа зависит длина переизлучения – эффективная длина $l = \lambda / 2\pi(n - 1)$, на которой у лучей света растёт разность хода, а значит, степень искажения графика $V_r'(t)$ и величина мнимого эксцентриситета e' . Причём эффект переизлучения, как отмечалось, должен сильнее всего сказываться для частот абсорбционных и эмиссионных линий элементов, по которым и определяют спектральное смещение. Поскольку вблизи этих резонансных частот f_{0i} показатель преломления n [97] стремительно нарастает по закону

$$n = \sqrt{1 + \sum_i \frac{N_i s_i}{f_{0i}^2 - f^2}}, \quad (1.9)$$

то для них длины переизлучения

$$l_i = \lambda_i / 2\pi(n - 1) \quad (1.10)$$

и пропорциональные им искажения сильно снижены. Причём все снижены в разной степени, поскольку в межзвёздном газе различаются концентрации N_i атомов разных элементов, а также коэффициенты s_i , характеризующие заряды, массы и силы соответствующих осцилляторов. Поэтому искажения графиков $V_r'(t)$, построенных по разным линиям на частотах f_{0i} разных элементов, могут существенно различаться. Различия затронут расчётные величины $e' = \pi l_i K / P c^2$ и ω' , которые зависят от расстояния l_i , пройденного светом до переизлучения.

Этот критерий тоже подтверждается наблюдениями для ряда звёзд, как следует из монографии А. Бэттена [129]. Впервые на различие элементов орбит спектрально-двойных, измеренных в разных частотных диапазонах, обратил внимание А.А. Белопольский и

Г.А. Тихов на примере звезды β Возничего [76, 245]. Также различие графиков лучевых скоростей, построенных по линиям разных элементов, в 1949–1950 гг. отметили Струве [153] и Мак-Намара [154]. Например, расчётные элементы орбит двойной звезды U Стрелы различались для кривых, построенных по линиям водорода и по линиям металлов. Аналогично, для АО Кассиопеи, по наблюдениям Абхинара [155], графики лучевых скоростей, построенные по линиям водорода и гелия, различались и соответствовали разным амплитудам лучевых скоростей K . Искажение графиков $V_r(t)$ для АО Кассиопеи подтверждается и тем, что у этой системы постоянные составляющие лучевой скорости V_0 компонентов не совпадают [4, 73]. Наконец, у рассмотренной системы RX Кассиопеи различие эксцентриситетов, рассчитанных по кривым лучевых скоростей разных компонентов, может быть обусловлено тем, что для линий одного компонента (класса G) переизлучение межзвёздным газом происходит раньше, отчего искажения и мнимый эксцентриситет оказываются меньше, чем у главного компонента (класса A). А вековые изменения состава и концентрации межзвёздного газа вдоль линии визирования RX Кассиопеи (например, за счёт движения межзвёздных облаков газа и вариаций степени их ионизации) могут объяснить, почему различаются элементы системы (K_1 , K_2 и e), определённые в разные эпохи, в 1944 г. – Струве [156] и через 30 лет после него [157].

Таким образом, все рассмотренные критерии, при сопоставлении с данными наблюдений, подтвердили, что эффект Барра обусловлен влиянием орбитальной скорости звёзд на скорость испущенного ими света. То есть, эффект Барра можно рассматривать как косвенное подтверждение баллистической теории, особенно если учесть, что ряд критериев и предсказаний теории Ритца был разработан задолго до их фактического подтверждения в космосе.

§ 1.2. Эффект Ритца как причина красного смещения и закона Хаббла

В предыдущем разделе рассмотрен эффект, искажающий видимое движение звёзд при изменении их лучевой скорости и соответствующих вариациях скорости света. Рассмотрим эффект количественно на примере источника, излучающего световые сигналы через малый интервал времени dt и удалённого от приёмника на расстояние r . Свет источника, испущенный в момент t , достигнет приёмника в момент $t' = t + r/c'$, где c' – скорость света в вакууме. Время dt' между приёмом двух световых сигналов найдётся дифференцированием t' по t :

$$dt' = \left(1 + \frac{\partial r}{\partial t} \cdot \frac{1}{c'} - \frac{r}{c'^2} \cdot \frac{\partial c'}{\partial t} \right) dt. \quad (1.11)$$

Рассмотрен общий случай, когда скорость света c' играет роль не константы c (как в СТО), а переменной, как в общей теории относительности (ОТО) и в баллистической теории. Вариации скорости света в вакууме выявлены при космической радиолокации [90, 19, 20, 28, А3]. Если второе слагаемое в (1.11) характеризует эффект Доплера $dt' = (1 + v_r/c)dt$, т.к. $\partial r/\partial t = v_r$ – лучевая скорость источника относительно приёмника, то третье слагаемое характеризует изменение длительности сигналов за счёт вариаций скорости света. Данный эффект

$$dt' = \left(1 - \frac{r}{c'^2} \cdot \frac{\partial c'}{\partial t} \right) dt, \quad (1.12)$$

следует из баллистического принципа $c' = c + \mathbf{v}$, меняющего скорость света при ускорении источника. В направлении приёмника скорость света $c' = c - v_r$, где v_r – лучевая скорость источника (проекция \mathbf{v} на луч зрения – на радиус-вектор \mathbf{r} источника). Дифференцируя $\partial c'/\partial t = -\partial v_r/\partial t = -a_r$ (где a_r – лучевое ускорение источника) и подставляя в (1.12), при $v_r \ll c$, найдём

$$dt' = \left(1 + \frac{ra_r}{c^2} \right) dt. \quad (1.13)$$

Природа эффекта прозрачна: по баллистической теории ускоряемый источник в каждый последующий момент сообщает свету несколько иную скорость, и последовательные сигналы (или фронты световых волн), испущенные с разными скоростями, догоняют друг друга (сокращая длину волны), либо расходятся (наращивая длину волны), приходя к приёмнику чаще или реже. Из преобразования периода dt (1.13) найдём для изменения исходной длины волны $\lambda = cdt$, частоты света $f = 1/dt$ и длительности импульса Δt , соответственно,

$$\lambda' = c dt' = \lambda \left(1 + \frac{ra_r}{c^2}\right), \quad f' = 1/dt' = f \left(1 + \frac{ra_r}{c^2}\right)^{-1}, \quad \Delta t' = \Delta t \left(1 + \frac{ra_r}{c^2}\right). \quad (1.14)$$

Эффект (1.14), дополняющий эффект Доплера, далее будем называть эффектом Ритца: Ритц вывел формулу (1.13) в 1908 г. [1]. При $v_r \ll c$ из (1.11) следует общее преобразование

$$dt' = \left(1 + \frac{v_r}{c} + \frac{ra_r}{c^2}\right) dt, \quad \lambda' = \left(1 + \frac{v_r}{c} + \frac{ra_r}{c^2}\right) \lambda \quad (1.15)$$

Если доплер-эффект $dt' = (1 + v_r/c)dt$ легко выявляют в лаборатории, то эффект Ритца (1.13) выявить сложнее, ввиду малости. Но на дистанциях r порядка светового года умеренные ускорения $a_r \sim c^2/r \approx 9,5 \text{ м/с}^2$ могут менять видимую длительность процессов в разы.

Изменение видимой длительности процессов по эффекту Ритца (представляющее собой такую же иллюзию как изменение по эффекту Доплера) приводит и к изменению регистрируемой мощности излучения W' . Действительно, если источник излучил в апертуру фотоприёмника мощность W в течение времени dt , то по закону сохранения энергии Wdt , при восприятии её за время dt' , регистрировалась бы мощность $W' = Wdt/dt'$. Отсюда, с учётом (1.13),

$$W' = W \frac{dt}{dt'} = W \left(1 + \frac{ra_r}{c^2}\right)^{-1}. \quad (1.16)$$

Таким образом, лучевое ускорение источника a_r приводит к изменению видимой яркости источника W' , а вариации a_r вызывают вариации видимой яркости источника.

Эффект изменения видимой длительности приводит к более простому способу вычисления величины мнимого эксцентриситета звезды, летящей по круговой орбите с центростремительным ускорением a_c (Рис. 1.3), чем рассмотренный в § 1.1. Действительно, перед картинной плоскостью в ближайшей к нам точке орбиты 3 (где $a_r = a_c$) движение звезды будет казаться замедленным, ввиду растяжения моментов $dt'_3 = (1 + la_c/c^2)dt$ по эффекту Ритца (1.13) на эффективной длине $r = l$. А за картинной плоскостью в наиболее удалённой точке орбиты 1 (где $a_r = -a_c$) движение звезды будет казаться ускоренным от сжатия видимых интервалов $dt'_1 = (1 - la_c/c^2)dt$. Таким образом, в точках 1 и 3 отношение видимых угловых смещений и соответствующих тангенциальных скоростей движения звезды имеет вид

$$\frac{V'_1}{V'_3} = \frac{dt'_3}{dt'_1} = \frac{1 + la_c/c^2}{1 - la_c/c^2}. \quad (1.17)$$

Оно эквивалентно вытекающему из 2-го закона Кеплера соотношению лучевых скоростей

$$\frac{V_1}{V_3} = \frac{\rho_3}{\rho_1} = \frac{1 + e'}{1 - e'} \quad (1.18)$$

у орбиты, вытянутой к Земле (Рис. 1.3, Рис. 1.4), с эксцентриситетом e' и расстояниями ρ_1 и ρ_3 до главной звезды S_1 , соответственно, в периастре 1 и апоастре 3. Из сравнения выражений (1.17) и (1.18) мнимый эксцентриситет $e' = la_c/c^2 = 2\pi lK/Pc^2$. Однако при измерении эксцентриситета по кривой лучевых скоростей, скажем, по тангенсу угла наклона α касательной в точках 1 и 3 (Рис. 1.3), скорость в них даст двойной вклад (за счёт разной скорости движения по эллиптической орбите возле этих точек и за счёт разной скорости её изменения). Действительно, тангенс угла α касательной dV_r/dt в периастре 1 и апоастре 3 равен ускорению звезды в этих точках $a_1 = dV_{1r}/dt = GM/\rho_1^2$ и $a_3 = dV_{3r}/dt = GM/\rho_3^2$, где G – гравитационная постоянная, M – масса главной звезды S_1 (Рис. 1.4). Тогда условие подобия графиков (Рис. 1.5) при $e' \ll 1$ запишется как $a_1 \propto 1/dt'_1$ и $a_3 \propto 1/dt'_3$, что в приближении $e' \ll 1$ даёт

$$\frac{dt'_3}{dt'_1} = \frac{a_1}{a_3} = \left(\frac{\rho_3}{\rho_1}\right)^2 \approx \frac{1 + 2e'}{1 - 2e'}. \quad (1.19)$$

Отсюда $e' = la_c/2c^2 = \pi lK/Pc^2$, что совпадает с выражением, найденным ранее чисто аналитически. То есть, мнимые эксцентриситеты орбиты двойной звезды, измеренные астрометрически и по доплер-эффекту, различались бы в два раза, что можно использовать как критерий анализа природы искажений, для определения истинного движения и эксцентриситета звёзд.

Если эффект (1.13) имеет место, и видимое движение звёзд искажается, тогда, кроме отмеченного искажения, произойдёт дополнительное смещение спектральных линий по за-

кону (1.14). Общее изменение периода и длины волны спектральной линии задано формулой (1.15), то есть, представлено суммой смещений по эффекту Доплера и по эффекту Ритца:

$$z = \frac{\Delta\lambda}{\lambda} = \frac{V_r}{c} + \frac{ra_r}{c^2}. \quad (1.20)$$

Интерпретируя это смещение как чисто доплеровское, найдут расчётное значение скорости

$$V_r' = c \frac{\Delta\lambda}{\lambda} = V_r + \frac{ra_r}{c}. \quad (1.21)$$

Для графиков лучевых скоростей звёзд, движущихся по круговой орбите, эффект Ритца приведёт к изменению орбитальной фазы звезды. Если истинная лучевая скорость звезды задана выражением $V_r = -K\sin(2\pi t/P)$, то для ускорения $a_r = dV_r/dt = -(2\pi K/P)\cos(2\pi t/P)$, и вносимая им добавочная мнимая (*кажущаяся*) скорость $V_r^* = ra_r/c$ или $V_r^* = la_r/c$ (в случае переизлучения света на длине l). Отсюда получим, что расчётная скорость задана выражением

$$V_r' = V_r + V_r^* = -K\sin\left(\frac{2\pi t}{P}\right) - \frac{2\pi lK}{Pc}\cos\left(\frac{2\pi t}{P}\right) = -K'\sin\left(\frac{2\pi t}{P} + \varphi\right), \quad (1.22)$$

где сдвиг по фазе $\varphi = \arctg(2\pi l/Pc)$, а расчётная амплитуда лучевой скорости

$$K' = K\sqrt{1 + \left(\frac{2\pi l}{Pc}\right)^2} \approx K\left(1 + 2e'^2 \frac{c^2}{K^2}\right), \quad (1.23)$$

в приближении для мнимого эксцентриситета $e' = \pi lK/Pc^2 \ll 1$.

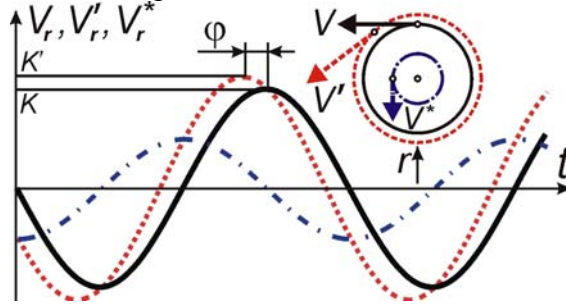


Рис. 1.9. Схема искажения доплеровской кривой лучевых скоростей $V_r(t)$ (сплошная линия) от дополнительного сдвига частоты по эффекту Ритца в виде кривой мнимых лучевых скоростей $V_r^*(t) = la_r/c$ (штрих-пунктирная линия) и соответствующие орбиты. Результирующая кривая спектральных смещений (пунктирная линия) даёт ложную доплеровскую скорость $V_r'(t) = V_r(t) + V_r^*(t)$.

Сдвиг графика лучевых скоростей $V_r'(t)$ (Рис. 1.9) будет заметен у спектрально-двойных звёзд, являющихся одновременно затменно-двойными. Теоретически затмение звезды с круговой орбитой наблюдалось бы в момент наибольшего её удаления в фазе кривой лучевых скоростей 0. Если кривая смещена эффектом Ритца, затмение произойдёт с запозданием относительно фазы 0 на разность фаз φ , достигающую $\pi/2$ в предельном случае, когда смещение спектра обусловлено в основном эффектом Ритца. Подобные несоответствия кривых блеска и лучевой скорости реально открыты, например у ν Андромеды, как покажем в § 1.5.

Фазовый сдвиг графиков лучевых скоростей можно обнаружить, исследуя колебания смещений линий двойных звёзд на разных частотах f_i , на которых эффективные расстояния r , равные длине переизлучения l_i , различны, и, согласно (1.9), (1.10) и (1.23), отличаться будут смещения линий по эффекту Ритца (1.14), амплитуды лучевой скорости $K' \approx K[1 + 2(\pi l_i/Pc)^2]$ и фазовые сдвиги $\varphi = \arctg(2\pi l_i/Pc)$ графиков $V_r'(t)$. Действительно, графики $V_r'(t)$ одних и тех же двойных звёзд, построенные по линиям разных элементов на разных частотах f_i , различаются амплитудой K' , как показал А. Бэттен [129], и фазой φ , как показал Г.А. Тихов [245].

В случае, когда кривая лучевых скоростей звёзд с круговой орбитой искажена эффектом Ритца, и вызванные им смещения намного превосходят доплеровские ($V_r' \approx V_r^*$), искажения от эффекта запаздывания тоже ведут к появлению мнимого эксцентриситета, но эквивалентная эллиптическая орбита будет соответствовать уже $\omega = 180^\circ$. То есть эффект Барра проявился бы и в преобладании орбит с ω возле этого значения. Действительно, для круговой орбиты $a_r = -(2\pi K/P)\cos(2\pi t/P)$, откуда $t = (P/2\pi)\arccos(-Pa_r/2\pi K)$, а в случае дополнительного запаздывания света на $\Delta t = lV_r'/c^2 = -lK\sin(2\pi t/P)/c^2$, получим, при замене $\pi lK/Pc^2 = e'$,

$$t = t(a_r) + \Delta t = \frac{P}{2\pi} \arccos\left(-\frac{Pa_r}{2\pi K}\right) - \frac{IK}{c^2} \sqrt{1 - \left(\frac{Pa_r}{2\pi K}\right)^2} = \frac{P}{2\pi} \left(\arccos\left(-\frac{PcV_r^*}{2\pi Kl}\right) - 2e' \sqrt{1 - \left(\frac{PcV_r^*}{2\pi Kl}\right)^2} \right). \quad (1.24)$$

Отсюда тоже нельзя найти в явном виде зависимость a_r и мнимой скорости V_r^* от времени t . Но приближённый анализ, подобный проведённому для (1.6), показывает, что при ограничении членами первого порядка e' искажённая кривая сдвигов частоты соответствует эллиптической орбите с $\omega' = 180^\circ$, эксцентриситетом $e = e' = \pi l K / Pc^2$ и полуамплитудой скорости $K' = 2\pi l K / Pc$ (рис. 6), как следует из выражения (1.6), после разложения в ряд Тейлора,

$$t = \frac{P}{2\pi} \left(\arccos\left(-\frac{V_r / K' + e}{V_r e / K' + 1}\right) - e \sqrt{1 - \left(\frac{V_r / K' + e}{V_r e / K' + 1}\right)^2} \right) \approx \frac{P}{2\pi} \left(\arccos\left(-\frac{V_r}{K'}\right) - 2e \sqrt{1 - \left(\frac{V_r}{K'}\right)^2} \left(\frac{1 + V_r / 2K'}{1 + V_r / K'}\right) \right). \quad (1.25)$$

Это позволяет объяснить асимметрию распределения долгот периастров между I и II, а также между III и IV квадрантами, и позволяет понять, почему иногда периастры сосредоточены возле значения $\omega = 180^\circ$ (§ 1.4). В случае большой величины расчётного эксцентриситета $e \sim 0,5$ и выше искажение недостаточно для объяснения наблюдаемой кривой лучевых скоростей (Рис. 1.10). При центростремительном ускорении $a = c^2/r$ и предельной степени сжатия $dt'/dt = 0$ в ближайшей точке орбиты 3 (Рис. 1.3), пока на кривой лучевых скоростей нет самопересечений, в дальней от Земли точке орбиты 1 максимальная степень растяжения составит $dt'/dt = 2$. Действительная степень замедления движения в апоастре (по отношению к средней угловой скорости движения по орбите) может быть заметно выше. Так, при эксцентриситете $e = 0,7$ график лучевых скоростей соответствует растяжению в $dt'/dt \sim 2,5$ раза.

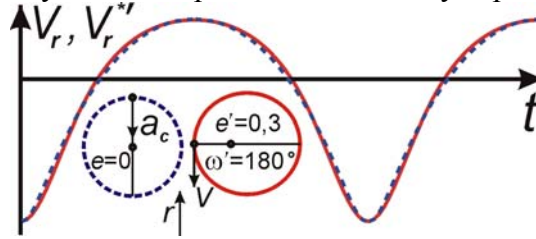


Рис. 1.10. Сравнение кривой мнимых лучевых скоростей $V_r^*(t)$ (пунктир) от частотного сдвига по эффекту Ритца, искажённой от эффекта запаздывания (при $\pi l K / Pc^2 = 0,3$), и кривой лучевых скоростей $V_r(t)$ от сдвига частоты по эффекту Доплера (сплошная) для орбиты с $e' = 0,3$ и $\omega' = 180^\circ$.

Дополнительный эффект смещения частоты и длины волны, пропорциональный расстоянию r , предполагал ещё А. Белопольский [76] для объяснения красного смещения в спектрах галактик. Действительно, эффект Ритца может заметно проявиться на огромных межгалактических дистанциях r , где к тому же ничтожно мала концентрация атомов нейтрального водорода $N \leq 6 \cdot 10^{-11} \text{ см}^{-3}$ [73]. Согласно (1.2.a), длина переизлучения l растёт пропорционально $1/N$, откуда $l \geq 2 \cdot 10^{10}$ св. лет $\gg r$. То есть, переизлучения практически нет для большинства наблюдаемых галактик. В частности, по эффекту Ритца $\lambda' = \lambda(1 + ra_r/c^2)$ длина волны λ света, испущенного видимыми участками ярких галактических ядер-балджей, дающих наиболее интенсивные спектральные линии и обладающих ускорениями, направленными от нас ($a_r > 0$) к центрам галактик, должна расти пропорционально расстоянию r галактик (Рис. 1.11). Такой эффект во многом напоминает красное смещение в спектрах галактик $\lambda' = \lambda(1 + rH/c)$, открытое Э. Хабблом. Коэффициент пропорциональности $H = 68$ (км/с)/Мпк (постоянная Хаббла) близок к коэффициенту a_r/c , рассчитанному по известным ускорениям $a_r = V_b^2/R_b$ в галактиках. Взяв за образец нашу Галактику, характеристики которой типичны для спиральных галактик, а балдж имеет радиус $R_b = 0,002$ Мпк и окружную скорость $V_b = 200$ км/с [74], получим расчётное значение постоянной Хаббла $H_c = a_r/c \approx 67$ (км/с)/Мпк, близкое к измеренной величине $H = 67,8 \pm 0,77$ (км/с)/Мпк [232]. Для других галактик величина

$$H_c = a_r/c = V^2/Rc \quad (1.25^*)$$

может немного отличаться, ввиду различия окружных скоростей V и радиусов R галактик, но одни и те же типы галактик обладали бы близкими характерными значениями параметра Хаббла H_c . То есть на диаграмме «расстояние – красное смещение» точки, соответствующие разным галактикам, расположатся близко к выходящей из начала координат прямой линии,

изображающей закон Хаббла. Поэтому правильнее говорить не о постоянной, а именно о параметре Хаббла, поскольку коэффициент H_c различается для разных галактик. Действительно, в литературе по космологии приводится мнение, что постоянную Хаббла правильнее называть параметром, поскольку она меняется, как минимум, во времени [223].

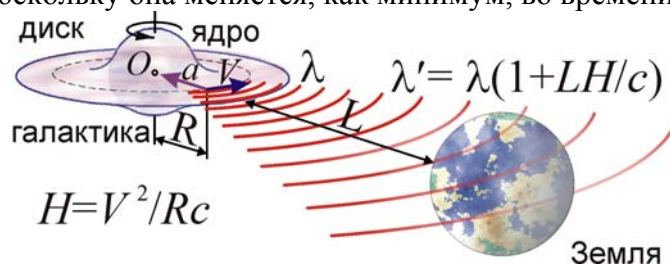


Рис. 1.11. Схема преобразования частоты света по эффекту Ритца у вращающихся ядер галактик. Эффект приводит к закону красного смещения, аналогичному Хаббловскому.

Сам Хаббл доказывал, что красное смещение обусловлено не доплер-эффектом от удаления галактик [75], но неким эффектом постепенного снижения частоты света, по мере его движения к нам, а галактики обладают сравнительно небольшими пекулярными скоростями. Эту гипотезу выдвинули в 1929 г. астрофизики А. Белопольский [76] и Ф. Цвикки [77]. Её поддержал ряд инженеров, астрономов и физиков, включая К.Э. Циолковского [78], С.И. Вавилова [65], В.П. Селезнёва [139]. Да и позднее ряд астрофизиков, включая Р.В. Куникого, Б.А. Воронцова-Вельяминова и академика В.А. Амбарцумяна, отрицали теорию Большого взрыва и расширения Вселенной, призванную объяснить красное смещение, и отмечали, что можно говорить лишь о локальных движениях галактик, а не о расширении Вселенной в целом. Интересно, что американский физик Д. Джоунс, рассматривая красное смещение галактик как результат эффекта нарастания длины волны света, пропорционально пройденному светом пути, предположил, что похожий эффект будет наблюдаться при пропускании лазерного излучения по протяжённым световодам [80, с. 150]. Как оказалось, подобный эффект в световодах реально имеет место в виде рамановского смещения частоты, хотя в этом случае он связан исключительно с нелинейными свойствами среды [29].

Гипотезу о недоплеровской природе красного смещения подтвердил и фотометрический критерий, предложенный Э. Хабблом и Р. Толменом [81]. Однако механизм эффекта красного смещения галактик остался невыясненным. Пионер нелинейной оптики С.И. Вавилов так охарактеризовал эту неопределённость [65, с. 133]: «Можно ли считать это смещение также доплеровским, вызванным трудно постижимой рецессией туманностей, или же причина кроется в новых, неизвестных нам доселе свойствах света,— это вопрос открытый... Хаббл, установивший самый факт и закон красного смещения, считает, что фотометрические данные не благоприятствуют интерпретации красного смещения как доплера».

Как отметил С.И. Вавилов [65, с. 133], «изучая свет спиральных туманностей, мы имеем дело с лучами, не испытывавшими никаких воздействий со стороны вещества в течение десятков и сотен миллионов лет и существовавшими без всяких воздействий в течение этих громадных периодов», поэтому данный эффект должен отличаться от известных эффектов преобразования частоты света при взаимодействии со средой [29, 4]. Эффект Ритца (1.13) идеально подходит на роль эффекта преобразования частоты света в космическом вакууме, поскольку не только естественно переходит в хаббловский закон красного смещения, но и снимает все возражения против трактовки красного смещения по гипотезе Белопольского-Цвикки. Красное смещение по эффекту Ритца проявляется аналогично доплер-эффекту: одинаково на всех частотах, ведя к пропорциональному замедлению видимых процессов, согласно формуле (1.13), что объясняет растяжение длительности вспышек сверхновых Ia в галактиках [A1], пропорционально их красному смещению $z = (\lambda' - \lambda)/\lambda$ (1.20). К сходным выводам пришёл С. Девасиа [82]. По-видимому, впервые эффект красного смещения проассоциировали с эффектом Ритца в 2000 г. А.Н. Тропников – в электронной публикации [83] и А. Сайреника – в электронной публикации [84], упомянутой во 2-ом издании журнала «Advances in Chemical Physics» [85]. Но в ряде поисковиков эти публикации проиндексиро-

ваны 2006 и 2009 гг. Также в работах [83, 84] не объяснён механизм создания именно красного, а не синего смещения, не рассчитано значение H , совпадающее с известным, не объяснены парадоксы красного смещения, что сделано в независимом анализе [A1, A21, A48].

Итак, баллистическая теория и эффект Ритца не противоречат данным внегалактической астрономии, объясняя красное смещение и его аномалии без гипотез о расширении Вселенной, о тёмной материи и тёмной энергии. В пользу трактовки космологического красного смещения по эффекту Ритца свидетельствует ряд парадоксов красного смещения [15].

Первый парадокс состоит в том, что одинаково удалённые объекты, вопреки закону Хаббла, часто имеют сильно различающиеся красные смещения, на основании которых объектам следовало бы приписать разные дистанции r . Отличающиеся в разы красные смещения z у равноудалённых связанных галактик [15] легко объяснимы по эффекту Ритца [A48] разницей их ускорений a_r , дающих разные $H_c = a_r/c$ и разные z (1.20). Впервые такое несоответствие красных смещений было выявлено Гальтоном Арпом, учеником, коллегой и приемником Э. Хаббла на посту директора Паломарской обсерватории. Арп обнаружил большое количество галактик, физически связанных в пары, о чём свидетельствовало не только их соседство на небосводе, но и соединяющие эти галактики перемычки. Однако компоненты таких галактик, несмотря на одинаковую удалённость имели, вопреки закону Хаббла, сильно различающиеся красные смещения, намного превосходящие возможные доплеровские сдвиги от движения компонент в двойной системе. Яркий пример – объект Маркарян 205 – спутник галактики NGC 4319, имеющей заметно меньшее красное смещение [167]. Интересно, что во всех подобных случаях у спутников, обладающих меньшими размерами R , чем у главной галактики, красные смещения имеют более высокие значения [168]. С позиций баллистической теории и эффекта Ритца это объясняется тем, что для малых радиусов R параметр Хаббла $H_c = V^2/Rc$ и соответствующее красное смещение по эффекту Ритца получается выше.

Различие красных смещений у парных объектов Арпа пытались объяснить, предположив, что они не образуют физически связанные пары, а расположены на разных расстояниях r , проецируясь в соседние точки небосвода. Однако наличие перемычек, соединяющих эти парные объекты, и частота, с которой они встречаются (маловероятная для случайных совпадений) подтверждают их тесную связь. Попытки истолковать избыточное красное смещение спутников галактик как результат гравитационного красного смещения, тоже не имели успеха [167]. Таким образом, в рамках современной космологии загадка парных объектов пока не решена. Более того, постоянно появляются всё новые свидетельства того, что связанные галактики, имеющие разные красные смещения – это не исключение, а правило. Так, финский астрофизик Т. Яаккола, обнаруживший ещё ряд парадоксов красного смещения, открыл, что одинаково удалённые спиральные и эллиптические галактики имеют заметно отличающиеся красные смещения, причём систематически больше получают смещения для спиральных галактик и меньше – для эллиптических [168]. Это тоже находит простое объяснение в баллистической теории: поскольку в эллиптических галактиках скорости вращения V заметно ниже [167]. Соответственно, параметр Хаббла $H_c = V^2/Rc$, и величина красного смещения z получается заметно ниже, чем у расположенных на том же расстоянии спиральных галактик.

Яркие примеры несовпадения красных смещений дают известные группы галактик, такие как триплет Цвикки, квинтет Стефана, секстет Сейферта. Триплет Цвикки – группа из трёх галактик, две из которых имеют близкие красные смещения, а у третьей красное смещение заметно отличается, соответствуя удалению от группы со скоростью около 7000 км/с [169]. Квинтет Стефана – группа из пяти связанных в скопление галактик, четыре из которых, судя по красному смещению, удаляются от Земли со скоростью 6600 км/с, а пятая – со скоростью 790 км/с. То есть, если приписать красное смещение эффекту Доплера, галактика не может входить в скопление, а должна удаляться от него со скоростью свыше 5000 км/с [169]. Секстет Сейферта – группа из шести галактик, пять из которых имеют близкие красные смещения, отвечающие скоростям порядка 4000 км/с, а у шестой красное смещение соответствует скорости 20000 км/с, то есть – удалению от группы со скоростью 16000 км/с. Такие несовпадения трактуют как случайное проецирование более далёкой или близкой галактики на скопление, что однако ничем не подтверждается. Поэтому, вполне возможно, что рассмотренные галактики образуют связанные группы с разными красными смещениями.

Все эти факты привели таких астрофизиков, как Г. Арп, Т. Яаккола, Ф.Ю. Зигель [168], В.М. Лютый [171], и некоторых других, к мысли, что закон Хаббла не имеет универсальной применимости ко всем внегалактическим объектам. По крайней мере, для разных их типов должны приниматься свои значения параметра Хаббла, в согласии с эффектом Ритца.

Второй парадокс связан с квазарами, обладающих аномально высокими красными смещениями, которым по закону Хаббла соответствуют гигантские расстояния. Но столь большие расстояния говорили бы о больших размерах квазаров и огромной абсолютной светимости, что противоречит быстрым вариациям яркости, говорящим об их малых размерах.

Уже после первых измерений красных смещений квазаров, их высокая величина вызвала сомнения в доплеровской природе этих смещений. А после открытия быстрых вариаций яркости квазаров с характерным временем вариаций порядка недели, стало ясно, что это сравнительно компактные объекты, которые не могут иметь большие линейные размеры и светимости, которые им следовало приписать на основании удалённости, измеренной по красному смещению из закона Хаббла [167]. Наконец, Арп обнаружил ряд квазаров или квазароподобных объектов, связанных с галактиками, имеющих при том же удалении намного большие красные смещения, вопреки закону Хаббла. Возникшее противоречие с законом Хаббла пытались устранить гипотезой о том, что сильное красное смещение квазаров имеет не космологическую, а гравитационную природу. Но при рассчитанных исходя из этого характеристиках квазаров, они не могли быть стабильными образованиями [167]. Таким образом, проблема аномально высокого красного смещения квазаров до сих пор не решена.

Трактовка красного смещения галактик и квазаров по эффекту Ритца легко решает этот парадокс, поскольку, как показано выше, квазары характеризуются иной величиной параметра Хаббла $H = V^2/Rc$, чем галактики. Если учесть их малые размеры R , оцененные по колебаниям яркости, параметр Хаббла для квазаров может оказаться намного выше, чем у галактик. Таким образом, эффект Ритца естественно объясняет аномально высокие красные смещения квазаров. Этим же объясняется тот факт, почему одинаково удалённые галактики и квазары, связанные в пары, часто обладают сильно разнящимися красными смещениями.

Поскольку из эффекта Ритца высокое красное смещение квазаров не говорит о большом расстоянии до них, то это могут быть сравнительно близкие объекты, и их абсолютная светимость окажется умеренной. А их линейные размеры, найденные из угловых размеров квазара, уже лучше согласуются с найденными по вариациям яркости. Простое объяснение получают и так называемые "сверхсветовые" выбросы и движения квазаров. Если пересчитать скорости этих движений, измеренных по видимому угловому перемещению, опираясь на уточнённые, более близкие расстояния квазаров, которые в десятки раз меньше рассчитанных по закону Хаббла, то окажется, что скорости выбросов и самих квазаров – досветовые. Так что вопрос об источнике энергии, сообщающем выбросам гигантскую скорость, снимается. Наконец, если учесть малые размеры квазаров и малую толщину окутывающих квазары облаков газа, окажется, что части квазаров, выступающие из этих облаков или видимые в коридоры прозрачности, могут, за счёт собственных движений с более высокими ускорениями, вести к столь сильному красному смещению по эффекту Ритца, что он переведёт оптическое излучение квазара в радиодиапазон, объясняя интенсивное радиоизлучение квазаров.

Третий парадокс состоит в дефиците красного смещения у наиболее далёких галактик [89] и может быть следствием переизлучения межгалактическим газом, когда дистанции r сопоставимы с длиной переизлучения $l \sim 2 \cdot 10^{10}$ св. лет, по превышении которой красное смещение z (1.20) нарастало бы всё медленней. На таких дистанциях ($r \sim 10^{10}$ св. лет, что соответствует $z \sim 0,8$), когда $r \sim l$, и выявлены отклонения от закона Хаббла в виде дефицита красного смещения z , интерпретированные как ускоренное расширение Вселенной [89].

Четвёртый парадокс: в некоторых скоплениях галактик дисперсия лучевых скоростей членов скопления, найденная из эффекта Доплера по дисперсии красных смещений галактик, оказалась много выше дисперсии, рассчитанной по массе скопления. Эта избыточная дисперсия красных смещений и найденных по ним скоростей галактик в скоплении и привела впервые астрономов к гипотезе о скрытой массе (рассчитанной из теоремы о вириале), иногда в десятки раз превосходя массу скопления, измеренную по светимостям галактик, образующих скопление. Гипотеза о скрытой массе, впервые выдвинутая Ф. Цвикки, несмотря на

прошедшие 80 лет, до сих пор не получила подтверждения, поскольку скрытая масса не обнаружена напрямую и имеет невыясненную природу. Парадокс тоже может быть связан с неверной интерпретацией красных смещений по эффекту Доплера и закону Хаббла.

Если красные смещения z галактик скопления вызваны эффектом Ритца, то они могут заметно различаться, несмотря на равенство расстояний r . Причём z будут различаться не только для разных типов галактик, но и для галактик одного типа (с немного отличающимися характеристиками), хотя разброс по z будет мал. В таком случае разницу красных смещений (избыточную дисперсию) уже нельзя целиком приписывать разнице лучевых скоростей галактик в скоплении, раз причина в разной величине параметра H_c (1.25*). То есть, отпадает надобность в гипотезе о скрытой массе, найденной из завышенного значения дисперсии скоростей. Интересно, что и в других случаях эффект Ритца устраняет парадокс скрытой, тёмной массы, если учесть производимые им эффекты сжатия или растяжения видимого времени движения, увеличение спектрального сдвига, намного превосходящего доплеровский.

Пятый парадокс состоит в том, что у отдельных галактик открыто различие красных смещений z , измеренных для одной и той же галактики по разным группам линий [173], относящимся к разным элементам или к разным диапазонам электромагнитного спектра [15], хотя гипотеза о доплеровской природе красного смещения предполагает одинаковую величину z для всех групп линий, во всех частотных диапазонах. Кроме того, у далёких галактик и квазаров открыты дополнительные спектральные линии с промежуточным z , меньшим измеренного для них. В случае квазаров частоты таких линий водорода Лайман-альфа с промежуточным смещением называют Лайман-альфа лесом. Их интерпретируют по гипотезе формирования линий поглощения в облаках межгалактического газа, расположенных на меньшем удалении от Земли, а потому обладающих меньшим красным смещением, чем у галактики. Однако иногда дополнительные линии имеют не сниженное, а избыточное красное смещение или синее смещение, например, у галактики М82 [211]. Очевидно, это связано с тем, что в разных участках галактики величина лучевого ускорения разная, что ведёт к появлению линий с разными сдвигами частоты. По той же причине спектральные линии квазаров сильно уширены, так что ширина линий составляет порядка $0,1\Delta\lambda$, то есть сравнима с величиной их смещения $\Delta\lambda$ [211]. По сути, это разные участки квазара дают частоты линий, слившихся вместе. Если на ближнем, северном конце галактики, где ускорения направлены от нас, смещение по эффекту Ритца красное, то на более далёком южном конце – смещение синее, что и наблюдается у М82. Это синее смещение в точности равнялось красному смещению на видимой стороне М 82 и соответствовало скорости $V \sim 1000$ км/с, т.е. порядка расчётной по красному смещению $z = rH/c$ скорости галактики $V = rH \sim 300$ км/с на её дистанции $r = 4$ Мпк. Величина смещения росла при удалении от центра галактики, что совершенно непонятно, если интерпретировать рост z как рост скорости V_r (1.20), измеренной по доплер-эффекту [211]. С точки зрения эффекта Ритца это естественно объясняется, т.к. в ядре угловая скорость ω вращения звёзд почти постоянна, а центростремительное ускорение $a = \omega^2 R$ растёт пропорционально расстоянию R от центра, будучи пропорционально силе тяготения внутри шарового ядра, растущим $\propto R$. Соответственно, смещение $z = ra/c^2$ пропорционально R . Иногда различаются смещения линий нейтрального водорода в радиодиапазоне и линий оптического спектра [15], вопреки доплеровской трактовке красного смещения.

Причина, по которой у М 82 синее смещение удаётся обнаружить, а в других галактиках – нет, связана с тем, что оно открыто у эмиссионных линий – ярких линий, излучаемых потоками горячего газа. А свет эмиссионных линий менее подвержен переизлучению межзвёздным газом. Во-первых, переизлучение тесно связано с поглощением, и сильнее всего влияет на тёмные линии поглощения. Во-вторых, эмиссионные линии изначально смещены по эффекту Доплера от характерных резонансных частот за счёт движения газа, и менее подвержены переизлучению, усиленному возле этих частот. В-третьих, потоки газа, излучая эмиссионные линии, сообщают свету свою скорость $v \sim 100$ км/с. Поэтому вторичное излучение со скоростью c , обычно гасящее первичное со скоростью $c + v$, не может его догнать и погасить, и свет движется без переизлучения, преобразуясь ритц-эффектом на всём пути r .

Красные смещения галактики, обусловленные эффектом Ритца, могут различаться, т.к. звёзды, расположенные на разных расстояниях от центра галактики, обладая разными луче-

выми ускорениями, получают по ритц-эффекту разные смещения z . Хотя эти различия нивелируются межзвёздным газом, их следы остаются, поскольку свет звёзд проделывает разный путь до внешнего переизлучающего слоя, и влияние этого слоя на скорость света неодинаково. Звёзды, расположенные на разных расстояниях от центра галактики, имеют в среднем немного отличающийся химический состав атмосфер. Поэтому характерные линии поглощения разных элементов, обладающих у разных звёзд разной интенсивностью, получают разные красные смещения, в соответствии с распределением этих элементов в галактике.

Аналогично, различие красных смещений линий в радио- и оптическом диапазоне может быть вызвано тем, что в этих диапазонах различаются размеры шаровой области галактики, вне которой свет уже не переизлучается. Именно лучевое ускорение на этой поверхности определяет величину красного смещения. Поскольку для разных диапазонов длин волн λ толщина переизлучающего слоя $l = \lambda/2\pi(n - 1)$ различна, то на разных расстояниях R от центра прекращается переизлучение, и далее частота преобразуется по закону (1.14), где определяющим оказывается лучевое ускорение a_r на этой поверхности. Небольшое различие этих ускорений a_r для радио- и оптического диапазона приведёт к разнице измеренных в них красных смещений z , в согласии с наблюдениями [15]. В меньшей степени эффект может проявиться для разных длин волн λ оптического спектра и для длин волн λ , отвечающих спектральным линиям разных элементов, поскольку для линий каждого элемента $l = \lambda/2\pi(n - 1)$ зависит от показателя преломления n соответствующего газа, нарастающего возле резонансных частот (частот спектральных линий газа). n зависит от порядкового номера и от группы элемента, от его ионизационного потенциала. Этим можно объяснить открытое в исследованиях [173] различие красных смещений z в линиях щелочных и щелочноземельных элементов галактики, а также зависимость z от ионизационного потенциала элемента.

Шестой парадокс состоит в том, что отдельные звёздные и галактические скопления имеют по оценкам возраст, превосходящий расчётное время расширения Вселенной, оцениваемое как величина обратная H [15]. Этот парадокс, тоже открытый Ф. Цвикки [15, 75], до сих пор не решён в рамках стандартной космологической модели. Если бы расширение Вселенной после Большого взрыва началось 20 миллиардов лет назад, тогда наблюдаемые ныне скопления не успели бы сформироваться. О том же говорят оценки возраста некоторых звёзд, заметно превосходящего теоретическое время существования Вселенной [168].

Этот парадокс легко решается в рамках трактовки закона Хаббла и постоянной Хаббла по эффекту Ритца, который позволяет отказаться от гипотезы расширения Вселенной, якобы начавшегося около 20 миллиардов лет назад. По эффекту Ритца постоянная Хаббла никак не связана с возрастом Вселенной, которая в принципе может быть вечной, как это утверждал Хаббл, Белопольский, Циолковский [78], Вавилов и другие физики и астрофизики.

Так же и в атмосфере звёзд нашей Галактики вызванное тяготением звезды ускорение излучающих атомов ведёт к появлению красного смещения. Так, в атмосфере Солнца с его массой M и радиусом R_S эффект красного смещения хорошо заметен от летящих с ускорением $a_r(R) = GM/R^2$ излучающих и переизлучающих атомов атмосферы Солнца, создающих на пути от поверхности радиуса R_S до внешних слоёв короны радиуса $R_F \gg R_S$ сдвиг

$$\Delta\lambda/\lambda = \int_{R_S}^{R_F} \frac{a_r dR}{c^2} = \int_{R_S}^{R_F} \frac{GMdR}{R^2 c^2} = \frac{GM}{R_S c^2}.$$

Этот сдвиг аналогичен изменению λ в среде с показателем преломления $n = \lambda/(\lambda - \Delta\lambda) \approx 1 + GM/Rc^2$.

Поэтому луч света, идущий в поле тяготения Солнца и переизлучаемый ускоренно летящими атомами его короны, изгибается, как в среде с градиентом n , зависящим от расстояния R до Солнца. Ту же зависимость n , а значит и отклонения луча $\theta = 1,75''$ возле Солнца, предсказывает общая теория относительности (ОТО) [164]. Таким образом, регистрируемое отклонение $\theta = 1,75''$ [79], может свидетельствовать и в пользу теории и эффекта Ритца.

Красное смещение будет иметь место не только в спектре Солнца, но и в спектре других звёзд, в видимой части поверхности которых ускорение свободного падения направлено от нас, вызывая красное смещение по ритц-эффекту. Этим можно объяснить высокое красное

смещение $z = 0,1$ в спектре Сириуса В и других звёзд, относимых к белым карликам. Так же и в спектре других звёзд Галактики отмечено наличие систематического красного смещения, пропорционального расстоянию, – так называемый К-эффект. Ещё в 1930 г. А.А. Белопольский соотнёс этот эффект с красным смещением в спектрах галактик [76], хотя отметил, что для звёзд параметр Хаббла много выше. Это естественно, если учесть, что ускорения на поверхности звёзд на порядки превосходят ускорения в галактиках. Впрочем, для звёзд внутри Галактики эффект ослабляется эффектом переизлучения в межзвёздной среде.

Отметим, что упомянутую в § 1.1 аномалию Струве-Сахаде [129, 250], скажем, у звезды HD 190967 и АО Кассиопеи можно объяснить тем, что разные ускорения свободного падения a_r на поверхности и в атмосферах двух звёзд приводят к разнице z для них, откуда следуют несопадающие оценки для скорости центра масс V_0 . Так, если V_0 , измеренная по кривой лучевых скоростей яркого компонента HD 190967 [129], почти нулевая, то у второго компонента $V_0 \sim 50$ км/с: его спектр обладает добавочным красным смещением. Несоответствие может быть вызвано и тем, что периодические смещения спектральных линий отчасти вызваны эффектом Ритца. Тогда искажения графиков $V_r'(t)$ приведут к разной величине эксцентриситетов e' компонентов, ввиду различия длин переизлучения l (реально открытый эффект, § 1.1). Поскольку искажённая кривая лучевых ускорений (и мнимых лучевых скоростей $V_r^*(t)$, Рис. 1.10) соответствует кривой лучевых скоростей с постоянной добавкой лучевой скорости $V_r'' = Ke' \cos \omega + V_0$, то эти добавки оказываются разными для компонентов. Тогда лучевая скорость центра масс V_0 системы, измеренная по разным компонентам, получится разной.

Интерпретация красного смещения галактик по эффекту Ритца, отрицающая расширение Вселенной и теорию Большого взрыва, не противоречит существованию предсказанного этой теорией реликтового излучения. Реликтовое излучение объяснимо и с классических позиций, поскольку представляет собой просто микроволновое фоновое излучение космического пространства, обладающее спектром излучения чёрного тела с температурой в 2,7 кельвина. Поскольку космическое пространство наполнено крайне разреженным межзвёздным и межгалактическим газом, естественно, что этот газ, нагретый идущим через него излучением звёзд, обладает некоторой равновесной температурой в 2,7 К.

Одним из аргументов в пользу гипотезы о реликтовой природе микроволнового фонового излучения считают его однородность и изотропность: температура фона во всех направлениях с большой точностью одинакова и равна 2,7 К, имея лишь незначительные флуктуации. Однако равенство температуры газа во всех точках Вселенной – это естественное следствие того, что газ пребывает в термодинамическом равновесии. А поскольку галактики распределены во Вселенной в среднем равномерно (Вселенная однородна и изотропна), то в любой точке Вселенной газ поглощает и излучает в среднем одно и то же количество тепла.

Поскольку фоновое излучение межзвёздного газа – равновесное, легко рассчитать его температуру. Если считать излучающий объём газа абсолютно чёрным телом, то, по закону Стефана-Больцмана, он будет излучать в единицу времени с единицы поверхности энергию σT^4 , где $\sigma = 5,67 \cdot 10^{-8}$ Вт/м²К⁴, а T – температура газа. Эта излучаемая энергия должна равняться энергии, поглощаемой газом, то есть энергии, приходящей в данный объём от всех звёзд, галактик Вселенной. Среднестатистическая галактика излучает в среднем характерную мощность $W = 10^{37}$ Дж/с [118]. Если выделить в пространстве вокруг объёма газа сферический слой толщины d и радиуса r , он будет содержать $\xi 4\pi r^2 d$ галактик (где ξ – средняя концентрация галактик во Вселенной) и будет излучать полную мощность $P = kW 4\pi r^2 d$. Из этой мощности шарик газа с поперечным сечением S будет поглощать мощность $SP/4\pi r^2 = S\xi W d$ (Рис. 1.12). То есть мощность, поступающая в объём газа от сферического слоя, не зависит от радиуса слоя. Поэтому общую мощность излучения, поступающую к газу от всех слоёв, найдём как $S\xi WR$, просуммировав толщину слоёв: положив d равным радиусу наблюдаемой Вселенной $R = 12 \cdot 10^9$ световых лет (примерно $12 \cdot 10^{25}$ м), то есть расстоянию до самого далёкого наблюдаемого объекта. Концентрация галактик $\xi = n/(4\pi R^3/3)$, где $n = 10^{11}$ – число галактик в наблюдаемой части Вселенной, а $4\pi R^3/3$ – её объём [118].

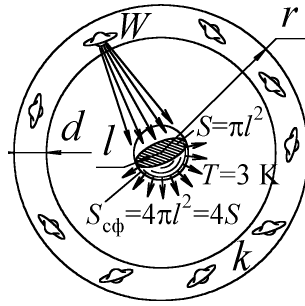


Рис. 1.12. Сферический объём газа, нагретый светом звёзд, излучает при равновесной температуре T .

Полная мощность, излучаемая сферическим объёмом газа, $4S\sigma T^4$, должна совпадать с поглощаемой мощностью $3SWn/4\pi R^2$. Отсюда для равновесной температуры этого объёма газа $T = (3Wn/16\sigma\pi R^2)^{1/4}$. После подстановки всех значений найдём $T = 2,9$ К, что близко к реальной температуре фонового излучения $T = 2,7$ К. Итак, фоновое излучение – это обычное равновесное излучение межгалактического газа, переизлучающего энергию, приходящую к нему в виде света. В 2002 г. аналогичную идею о микроволновом фоновом излучении как равновесном излучении всех звёзд высказал Н.А. Жук [109], в рамках некоторых дополнительных предположений о характере поглощения света межзвёздной средой и в отсутствие конкретных численных оценок температуры фонового излучения. Подобная оценка была дана только в 2007 г. автором [A26, A9] в ходе независимого анализа, в котором температура $T = 2,9$ К микроволнового фонового излучения была рассчитана в рамках более строгого анализа на основе средней мощности излучения галактик (а не звёзд), светимости которых имеют меньший разброс, чем у звёзд, а концентрация определяется с высокой точностью. Обычно нагретый газ излучает отдельные спектральные линии, а не сплошной спектр. Но протяжённые толщи газа генерируют непрерывный спектр, как показывает пример Солнца. Отметим, что температура чёрного тела, нагретого излучением всех звёзд Вселенной, рассчитывалась и задолго до этого и получалась примерно того же порядка – около 2 К [284].

Данная гипотеза объясняет и флуктуации, небольшие неоднородности реликтового излучения: в некоторых направлениях его температура чуть выше, а в других – чуть ниже среднего фона. Это связано с тем, что в одних участках Вселенной концентрация галактик, в силу их случайного распределения, чуть выше средней, отчего возле галактик межгалактический газ нагрет сильнее. А где скопления галактик реже, температура чуть ниже. Так, в созвездии Эридана есть участок неба, где почти нет звёзд и галактик, отчего температура реликтового излучения там на доли градуса ниже, поскольку газ нагрет слабее [281]. И напротив, в участках неба, где сосредоточено много галактических скоплений, температура реликтового фона – избыточная. Так, у 1400 скоплений галактик открыта избыточная температура реликтового фона, которую объяснили согласованным движением этих скоплений («тёмным потоком»), ведущим по эффекту Доплера к росту частоты спектрального максимума и к завышенной оценке температуры микроволнового фона. Если же фон представляет собой равновесное тепловое излучение газа, то естественно, что возле скоплений этот газ нагрет сильнее, соответственно, частота спектрального максимума выше. То есть флуктуации фона – это следствие флуктуаций концентрации галактик. Впрочем, флуктуации малы, поскольку при усреднении по большим объёмам распределение галактик весьма однородное.

Также открыты крупномасштабные флуктуации, охватывающие широкие участки неба и выстроенные вдоль линии, названной «осью зла» за невозможность объяснить её в рамках теории Большого взрыва. С точки зрения теории Ритца нет «оси зла», а есть неоднородность в распределении галактик – в крупномасштабной структуре Вселенной, поскольку скопления галактик группируются в «блины» и «волокна» [226]. Находясь в плоскости «блина», «волокна», в этой плоскости и наблюдают колебания концентрации галактик и температуры фона (примерно так в Галактике яркость меняется вдоль полосы Млечного пути). Эта крупномасштабная структура из мириадов галактик образует своего рода «супергалактику», «супермлечный путь», видимый в форме вариаций реликтового фона. Тем же вызван небольшой градиент температуры реликтового фона. Впрочем, градиент температуры реликтового фона

может быть и кажущимся, вызванным смещением спектрального максимума за счёт эффекта Доплера при движении Земли и Галактики относительно межгалактического газа.

В пользу того, что микроволновое фоновое излучение представляет собой равновесное излучение межгалактического газа, свидетельствует и слабая поляризация микроволнового фона, хаотически меняющаяся от точки к точке. Такая поляризация обычна как раз при рассеянии света облаками газа с неоднородной хаотически меняющейся волокнистой структурой, ведущей к соответствующим колебаниям направления и величины вектора поляризации. А в стандартной космологической модели такую аномальную поляризацию, противоречащую модели микроволнового фона как реликтового излучения объясняют в рамках дополнительных гипотез об искажающих микроволновый фон гравитационных волнах.

Таким образом, с точки зрения баллистической теории нет надобности в гипотезе Большого взрыва и расширяющейся Вселенной, а красное смещение и реликтовое излучение оказываются естественным следствием классических законов механики и термодинамики, предсказывая правильные значения постоянной Хаббла и температуры "реликтового" фона.

Одним из критериев экспериментальной проверки баллистической теории и роли эффекта Ритца в создании красного смещения галактик могло бы стать непосредственное измерение скорости их удаления, например, по скорости сокращения угловых размеров, или по скорости спада их видимой яркости. Современная техника астрономических измерений уже достигла требуемой для этого точности. Другим методом проверки могло бы стать измерение скорости роста красного смещения z по мере удаления галактики, происходящее в случае, если красное смещение вызвано удалением. Современная спектроскопия и лазерная физика делают подобное прецизионное измерение ничтожных вариаций частоты с точностью до ~ 1 см/с вполне реализуемым, что предлагают использовать для прямого измерения ускорения расширения Вселенной по дрейфу лучевой скорости [212]. Кроме того, согласно баллистической теории, обнаружится заметное различие величины красных смещений в разных участках одной галактики, и ещё более заметное – в величинах красных смещений галактик, образующих связанные пары. Таким образом, методы современной внегалактической астрономии открывают ряд возможностей проверки баллистической теории и эффекта Ритца.

§ 1.3. Эффект аберрации звёздного света и его аномалии

Эффект аберрации звёздного света состоит в отклонении лучей света и смещении видимых положений звёзд на небосводе в ходе орбитального движения Земли. Эффект был открыт Дж. Брадлеем в 1727 г. [16, 18] и истолкован им по корпускулярной теории света как следствие относительного движения света, так что на относительную скорость света влияет движение Земли. На Земле, летящей по орбите со скоростью V , вертикально падающие лучи света, движущиеся, подобно потокам корпускул со скоростью c , должны, согласно правилам кинематики, отклоняться на угол $\alpha = V/c$, аналогично потокам отвесно падающих капель дождя, воспринимаемым бегущим человеком как налетающие спереди. Фактически наблюдается сложение векторов относительной скорости звезды V и скорости её света c по закону (1).

Эффект звёздной аберрации и опыт Майкельсона, по сути, подтвердили, что скорость источника \mathbf{V} влияет на скорость \mathbf{c}' испущенного им света. Но в рамках СТО считалось, что скорость источника влияет лишь на направление скорости испущенного им света, но не меняет её величину. То есть, в релятивистской кинематике имеет место парадоксальная ситуация, когда к скорости света добавляется поперечная составляющая скорости \mathbf{V} (меняющая направление скорости света \mathbf{c}'), но не добавляется продольная, меняющая величину \mathbf{c}' .

Г. Дингл предложил использовать эффект звёздной аберрации для проверки баллистической гипотезы о влиянии источника на величину скорости света [12], путём сравнения угла аберрации α звёзд нашей Галактики, излучающих свет со скоростью $c' \approx c$, и угла аберрации α' галактик (удаляющихся, если судить по красному смещению, со скоростью $v \sim 0,1c$, т.е. испускающих свет со скоростью $c - v$). Угол аберрации равен отношению орбитальной скорости Земли V к скорости света c' от источника. Согласно баллистической теории, углы

$$\alpha' = V/(c - v) \text{ и } \alpha = V/c$$

различались бы, а в рамках СТО – совпадали бы. Наблюдения показали, что углы аберрации звёзд и галактик равны [13], что сочли аргументом против теории Ритца [16, 9]. Но, как от-

мечал сам Дингл [12] и авторы наблюдений [13], вывод справедлив лишь в случае, если красное смещение галактик вызвано их удалением. А эффект Ритца, как показано в § 1.2, объясняет красное смещение без гипотезы о гигантских скоростях галактик, противоречащих и ряду других наблюдений [15, с. 9]. То есть, при $v \ll c$, углы α' и α совпадут.

Впрочем, даже в случае удаления галактик со скоростями $v \sim 0,1c$, их свет, после переизлучения межзвёздным газом в нашей Галактике, восстанавливал бы номинальную скорость c , и воспринимался бы под тем же абберационным углом α . Кроме того, свет звёзд и галактик в Солнечной системе проходит сквозь потоки плазмы (*солнечный ветер*), расходящиеся от Солнца со скоростью $v \sim 500$ км/с. За счёт переизлучения подвижной плазмой, скорость света, приходящего к Земле, снижается до значения $c - v$. В итоге величина скорости света $c - v$, найденная по измеренному углу абберации $\alpha' = V/(c - v)$, получится на величину $v \sim 500$ км/с меньше значения скорости света c , измеренного прямым методом в земных условиях. Действительно, астрономические методы измерения скорости света (по абберационному углу) дают систематически меньшее значение, чем величина $c = 3 \cdot 10^8$ м/с, измеренная в вакууме в земных лабораториях [17, с. 209] (хотя космический вакуум даже более высокий, чем достижимый в земных условиях, и скорость света там была бы выше). Соответственно, измеренное значение абберационного угла $\alpha' = V/(c - v)$ получается систематически больше теоретического значения абберационного угла $\alpha = V/c$. Этот факт, долгое время казавшийся загадочным [17], в баллистической теории света получил естественное объяснение.

Таким образом, результаты анализа абберации света внеземных источников не противоречат баллистической теории. Также возможен прямой эксперимент по исследованию влиянию скорости v планет Солнечной системы или АМС на величину абберационного угла идущего от них света или радиоизлучения в области, где межпланетная среда практически не переизлучает свет. Влияние скорости $v \sim 10$ км/с проявится в изменении угла α на величину

$$\Delta\alpha = \alpha' - \alpha = Vv/c^2 = 0,0007''.$$

Такую величину $\Delta\alpha$ легко зафиксировать радиоинтерферометрами со сверхдлинной базой. То есть, измерение угла абберации α имеет смысл проводить для АМС, посылающих радиосигналы, или для планет – Меркурия, Венеры, Юпитера, излучающих в радиодиапазоне [43].

§ 1.4. Аномалии экзопланет как следствие вариаций скорости света

Эффект Барра, рассмотренный в § 1.1, представляет для современной астрономии особую актуальность, позволяя объяснить ряд аномалий экзопланет, которые не удалось объяснить в рамках современной астрофизики и космогонии планетных систем. В частности, у ряда экзопланет открыты аномально высокие орбитальные эксцентриситеты, достигающие значений $e = 0,3-0,97$. Такие эксцентриситеты, во-первых, не типичны для планет Солнечной системы (где максимальным эксцентриситетом $e = 0,25$ обладает Плутон, ввиду этого и малой массы исключённый советом МАС из числа планет), во-вторых, противоречат космогоническим теориям формирования планет из газопылевого протопланетного облака (*гипотеза Шмидта*). Высокие эксцентриситеты часто наблюдаются у короткопериодических экзопланет очень близких к родительской звезде, то есть в той области, где приливные эффекты, «скругляющие» орбиты, исключают существование планет с высокими орбитальными эксцентриситетами. Поскольку элементы орбит планет измеряют не напрямую, а по кривым лучевых скоростей звёзд, движущихся возле центра масс под влиянием тяготения планет, то естественно принять, что наблюдаемые высокие эксцентриситеты тоже являются мнимыми, ввиду искажения графиков лучевых скоростей эффектом Барра, как в случае двойных звёзд.

В частности, для планет WASP-18b и WASP-33b, обладающих предельно короткими орбитальными периодами $P \sim 1$ сут и расположенными столь близко к родительским звёздам, что даже незначительные эксцентриситеты для них исключены, предполагают, что кривые лучевых скоростей этих систем, соответствующие эксцентриситетам 0,01 и 0,174, – действительно искажены, например приливными эффектами [60]. По сути, для объяснения аномалии астрономы вновь обратились к 1^о-й гипотезе Барра. Не останавливаясь повторно на её недочётах, отметим, что эти искажения естественно следуют из баллистической теории, поскольку полуамплитуда лучевой скорости в этих системах $K \sim 1$ км/с, а расстояния $r \sim 300$ св. лет, поэтому мнимые эксцентриситеты могут составить $e' = \pi r K / P c^2 \sim 1$. Таким образом, даже

если происходит снижение эффективного пути l в десятки раз по сравнению с r ($k = l/r \sim 0,01-0,1$), можно ожидать появления мнимого эксцентриситета $e' = \pi l K / P c^2 = \pi k r K / P c^2 \sim 0,01-0,1$, что и наблюдается. Причём графикам лучевых скоростей WASP-18b и WASP-33b соответствует долгота периастра $\omega \approx 90^\circ$, в согласии с 1^о-ым критерием из § 1.1. Приливное искажение создало бы более сложную картину с иным значением ω . Ещё заметней будет искажение для недавно открытой транзитной экзопланеты KOI-889 b, расположенной на расстоянии $r \sim 3000$ св. лет, обладающей орбитальным периодом $P \sim 9$ сут и полуамплитудой лучевой скорости $K \sim 1,3$ км/с [92, A2], откуда $e' = \pi r K / P c^2 \sim 15$. То есть, даже при снижении эффективного расстояния l в тридцать раз по сравнению с r ($l \sim 100$ св. лет и $k = l/r \sim 0,03$), мнимый эксцентриситет может составить наблюдаемую величину $e' = 0,57$, которая представляется аномально высокой для планеты со столь малым периодом и радиусом орбиты. Поэтому в данном случае, вероятно, тоже наблюдается искажённая эффектом Барра кривая лучевых скоростей, о чём свидетельствует измеренная по графику $V_r'(t)$ долгота периастра $\omega \approx 63^\circ$, сопоставимая с теоретическим значением $\omega \sim 90^\circ$.

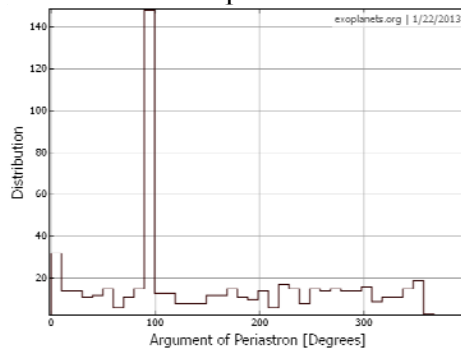


Рис. 1.13. Распределение экзопланет по долготам периастра.

Действительно, если высокие эксцентриситеты экзопланет – мнимые, а не истинные, тогда, согласно 1^о-му критерию, должно наблюдаться неоднородное распределение их расчётных орбит по долготам периастра $N(\omega)$, с заметным преобладанием орбит в диапазоне $0^\circ \leq \omega < 180^\circ$ и особенно при $\omega = 90^\circ$. Это легко проверить по современным базам данных экзопланетных параметров. Так, ресурс [17] включает характеристики более 700 экзопланет с измеренными орбитальными элементами и удобный интерфейс для построения таблиц и диаграмм. Гистограмма $N(\omega)$, построенная на её основе, действительно, содержит ярко выраженный максимум при $\omega = 90^\circ$ (Рис. 1.13), что соответствует предсказанию баллистической теории и 1^о-му критерию эффекта Барра. Однако эти данные содержат высокий процент экзопланет, выявленных методом транзитов, для которых измеренная величина $e \cos \omega \approx 0$ не всегда свидетельствует о значении $\omega \approx 90^\circ$, но может быть следствием малости эксцентриситета $e \ll 1$.

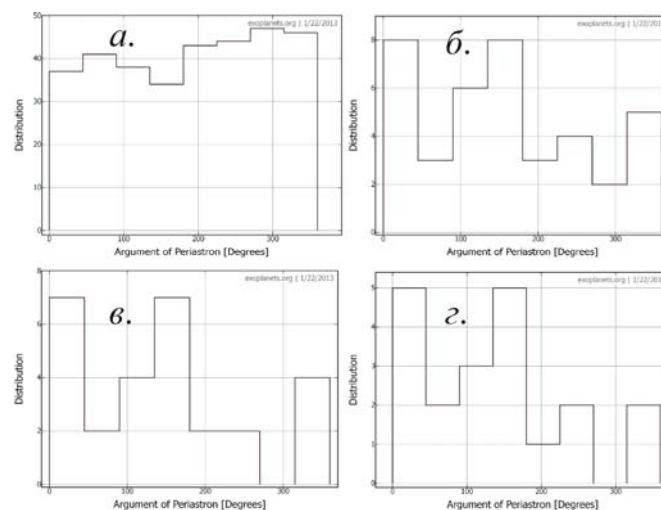


Рис. 1.14. Диаграммы $N(\omega)$ экзопланет для разных диапазонов K/P :

а) $K/P < 3$ (м/с)/сут, $N = 330$, $1 + 3N^{-1/2} = 1,17$, $R = 0,83$;

б) $K/P \geq 3$ (м/с)/сут, $N = 39$, $1 + 3N^{-1/2} = 1,48$, $R = 1,78$;

- в) $K/P \geq 5$ (м/с)/сут, $N = 28$, $1 + 3N^{-1/2} = 1,57$, $R = 2,5$;
 з) $K/P \geq 12$ (м/с)/сут, $N = 20$, $1 + 3N^{-1/2} = 1,67$, $R = 3,0$.

Поэтому более надёжной представляется проверка по 2°-му критерию, который при $e' = \pi r K / P c^2$ выявляет неоднородность распределения $N(\omega)$ лишь при значении K/P выше критического, то есть у планет с кратчайшими периодами P и наивысшими орбитальными скоростями K , обладающих также минимальными истинными эксцентриситетами e . Для статистического анализа следует отобрать исключительно планеты, выявленные методом лучевых скоростей, с эксцентриситетом $e > 0,01$ (для точного определения долготы периастра ω). Подобный статистический анализ, проводимый в разных диапазонах параметра K/P , действительно, выявил характерную критическую величину $K/P \sim 3$ (м/с)/сут, выше и ниже которой распределения $N(\omega)$ существенно разнятся (Рис. 1.14). Если для $K/P < 3$ (м/с)/сут распределение $N(\omega)$ – статистически однородное (в пределах трёх стандартных ошибок 3σ), то для $K/P \geq 3$ (м/с)/сут распределение $N(\omega)$ становится неоднородным, с заметным преобладанием орбит с $0^\circ \leq \omega < 180^\circ$ ($R > 1$). Также периастры начинают концентрироваться возле значения $\omega = 180^\circ$, что может быть следствием искажения графика мнимых лучевых скоростей по эффекту Ритца (Рис. 1.10). Но, как отмечено в § 1.2, максимальная величина мнимых эксцентриситетов для $\omega = 180^\circ$ ограничена значением $e' \sim 0,5$. Более высокие эксцентриситеты в области $\omega \sim 180^\circ$ обусловлены тем, что даже в отсутствие искажений наблюдается кривая мнимых лучевых скоростей, а истинные эксцентриситеты в два раза меньше расчётных (см. § 1.5).

Степень асимметрии R стремительно нарастает по мере роста K/P , и количество орбит, «вытянутых» в сторону Земли, в три и более раз превосходит количество орбит, вытянутых в обратную сторону ($R > 3$). Данное отношение R намного превышает возможные статистические ошибки и вероятные флуктуации и не может отражать реального распределения орбит планет по направлениям. То есть, аномалии орбит экзопланет удовлетворяют 2°-му критерию (§ 1.1), что доказывает, что наблюдаются искажённые кривые лучевых скоростей.

Отметим, что критический параметр $K/P = 3$ (м/с)/сут для экзопланет в тысячу раз ниже, чем аналогичный параметр $K/P = 3$ (км/с)/сут для звёзд. Истинный эксцентриситет, как отмечено, растёт при увеличении периода P у звёзд и экзопланет. Поэтому разница их критических K/P вызвана тем, что при том же периоде P и радиусе орбиты амплитуда лучевой скорости K звезды заметно ниже в случае экзопланет, чем в случае двойных звёзд. Действительно, массы экзопланет в тысячи раз ниже массы звёзд. Пропорционально слабее и их возмущающее воздействие. Поэтому при том же параметре K/P и том же мнимом эксцентриситете e' , у экзопланет период P и истинный эксцентриситет e будет заметно меньше, чем у звёзд. Это и позволяет мнимому эксцентриситету проявиться на фоне истинного эксцентриситета при тысячекратно меньших значениях K/P у экзопланет, чем у двойных звёзд.

Если построить распределения $N(\omega)$ для разных параметров rK/P , учтя и расстояния r экзопланет, то асимметрия R и эффект Барра вырастут. То есть подтвердился 3°-й критерий, говорящий о зависимости эффекта Барра от расстояния, хотя эта зависимость менее явная, ввиду переизлучения, из-за которого при росте r эффективная дистанция нарастает всё медленней, достигая величины l . Условие проявления мнимого эксцентриситета имеет вид:

$$e' = \pi r K / P c^2 \sim 0,1 - 1. \quad (1.26)$$

Для экзопланет, у которых условие $\pi r K / P c^2 \sim 1$ выполняется, можно предполагать, что избыточный эксцентриситет – мнимый и вызван искажением графиков лучевых скоростей.

Кроме того, 3°-й критерий удовлетворяется, поскольку мнимые и избыточные эксцентриситеты, так же как эффект Барра, наблюдаются в основном для экзопланет в звёздных системах с лучевой скоростью центра масс $V_0 < 0$, поскольку для них переизлучение в основном отсутствует ($k \approx 1$). Так, в рассмотренных выше случаях аномально высоких эксцентриситетов у WASP-33b скорость центра масс $V_0 = -6$ км/с, у KOI-889 b – $V_0 = -60$ км/с [92]. Тогда как у систем с положительной лучевой скоростью $V_0 \geq 0$ эффект Барра и избыточные эксцентриситеты малы, либо отсутствуют, ввиду быстрого переизлучения света в межзвёздном газе. Например, у WASP-18b при $V_0 = 3$ км/с переизлучение должно быть эффективным ($k \ll 1$), отчего мал избыточный эксцентриситет $e = 0,01$, что при мнимом эксцентриситете $e' = 1$ говорит о величине $k = l/r = 0,01$. При дистанции звезды $r = 326$ св. лет это соответству-

ет длине переизлучения $l = 4$ св. года, что соотносится с оценкой Фокса [8]. У планеты KOI-200 b скорость центра масс $V_0 = 19$ км/с [92], отчего переизлучение велико и наблюдаемый эксцентриситет $e = 0,29$, видимо, истинный: он близок к эксцентриситету Меркурия $e = 0,2$.

Также открыты аномальные экзопланеты, удовлетворяющие 6^о-му критерию. Так, у экзопланеты ν Андромеды b с орбитальным периодом $P = 4,6$ суток, на основании орбитальных элементов, измеренных спектральным методом, предсказали максимизацию блеска экзопланеты, при изменении размера видимой освещённой части в ходе орбитального движения, в фазе 0, когда лучевая скорость звезды равна нулю. Реально же фотометрические измерения телескопа «Спитцер» показали, что максимум блеска фиксируют на четверть периода раньше, при минимуме лучевой скорости звезды [61]. Это означает, что колебания блеска вызваны не изменением фазы и освещённой части планеты ν Андромеды b, а колебаниями видимой яркости W' самой звезды ν Андромеды по эффекту Ритца (1.16) под влиянием ускорения a_r , сообщаемого планетой звезде [A49]. Так же и сдвиг линий ν Андромеды вызван в основном эффектом Ритца, а не Доплера, и наблюдается кривая мнимых лучевых скоростей $V_r^*(t)$.

Именно при таком условии спектроскопическая кривая $V_r^*(t)$ сдвинута по фазе относительно теоретической $V_r(t)$ на значение $\varphi = \text{arctg}(2\pi l/Pc) = \pi/2$. Поскольку измеренные спектральные смещения звезды соответствуют колебаниям a_r и $V_r^* = la_r/c$, а не реальной скорости V_r , то истинная орбитальная скорость V может быть заметно ниже (Рис. 1.9). В итоге, много меньше и масса планеты, вызывающей возмущения, колебания звезды возле центра масс. Таким образом, аномальные экзопланеты могут оказаться не газовыми гигантами, а планетами типа Меркурия или астероидами, которые в Солнечной системе, в отличие от планет, часто обладают сильно эксцентричными орбитами с периодом в несколько суток (для таких малых планет эффект приливного скругления орбит отсутствует, т.к. из-за малой массы они почти не вызывают приливов в атмосфере родительской звезды). Поскольку в данном случае эффект Ритца велик, то и колебания яркости W' , вообще говоря, могут быть вызваны не изменением фазы планеты, а вариациями яркости по эффекту Ритца [A1, A2, A43, A49, 30, 72].

Ряд статистических доказательств того, что у «горячих юпитеров» спектральные смещения вызваны не эффектом Доплера, а эффектом Ритца, преобразующим расчётные элементы орбит, привёл сотрудник ГАИШ проф. МГУ Б.Р. Мушаилов и В.С. Теплицкая [66, 67]. Поскольку амплитуда колебаний спектральных линий и расчётной скорости $V_r^* = ra_r/c$ пропорциональна расстоянию r , то обнаружение планет методом лучевых скоростей упрощается при увеличении их дистанции r , в согласии со статистикой открытых экзопланет [67]. Б.Р. Мушаилов и В.С. Теплицкая предложили проверить это, сопоставив параметры и элементы орбит экзопланет, определённые разными методами. В частности, если у планет, открытых транзитным методом, известна кривая лучевых скоростей, то при её искажении наблюдаемые моменты, фазы транзита не совпадут с ожидаемыми на основе графика лучевых скоростей, что реально наблюдается у ряда экзопланет. Например, у вышеупомянутой планеты KOI-889 b, у которой кривая лучевых скоростей с большой вероятностью искажена эффектом Барра, транзит ($\varphi = 0$) должен наблюдаться, согласно расчётам, при почти нулевой скорости V_r звезды. Реально же на графике лучевых скоростей фаза $\varphi = 0$ соответствует высокой переменной составляющей скорости $V_r \sim 100$ м/с [92]. Примером экзопланеты, у которой спектральные смещения вызваны в основном эффектом Ритца, может служить HD 74156 b, обладающая периодом $P = 51$ сут и аномально высоким эксцентриситетом $e = 0,63$ (Рис. 1.18). Вероятно, наблюдается кривая мнимых лучевых скоростей $V_r^*(t)$, о чём свидетельствует не только высокий эксцентриситет, но и едва заметные вторичные минимумы на кривой $V_r^*(t)$. Тогда действительная орбита имеет в два раза меньший эксцентриситет $e \approx 0,3$, близкий к эксцентриситету Меркурия, радиус орбиты и период P которого того же порядка.

Кроме того, аномалии орбит экзопланет удовлетворяют 7^о-му критерию. Во многих случаях наблюдаемая кривая лучевых скоростей не точно соответствует теоретическим графикам лучевых скоростей расчётной орбиты большого эксцентриситета [40]. Отклонения от теоретической кривой имеют вид гармоник орбитального периода, в согласии с предсказанием Фрейндлиха [127]. Такие графики лучевых скоростей предлагают интерпретировать как вызванные не одной планетой, а двумя, с кратными орбитальными периодами, находящимися в орбитальном резонансе 1:2 [40, 41]. По сути, такое искусственное введение всё новых

экзопланет – это результат разложения графика лучевых скоростей в ряд Фурье, то есть представление периодической функции $V_r(t)$ в виде суммы гармоник основной частоты.

Именно так выявляют новые планеты в звёздных системах, производя Фурье-преобразование от снятой зависимости $V_r(t)$, или её отклонений от теоретического графика лучевых скоростей (1.5). На построенной периодограмме – диаграмме спектральной плотности мощности отклонений – пики на данных периодах (или частотах) считают соответствующими реальным планетам с такими орбитальными периодами (или частотами). Таким способом можно описать кривую лучевых скоростей произвольной формы, посредством введения достаточного числа гармоник. По сути, это – современное развитие подхода Птолемея, верно описавшего движения планет по небосводу на основе ошибочной геоцентрической модели, за счёт большого числа гармоник, круговых движений (небесных сфер с кратными периодами). Так, в случае планеты Gliese 876 кривую лучевых скоростей интерпретировали как результат воздействия 3-х планет, находящихся в орбитальном резонансе с отношением периодов 1:2:4. Если для спутников планет столь точный резонанс возможен, ввиду близости спутников друг к другу и к планете (в том же резонансе 1:2:4 находятся галилеевы спутники Юпитера – Ио, Европа, Ганимед), то для планет он наблюдался бы крайне редко. Однако, согласно анализу [41], в орбитальном резонансе 1:2 оказывается около половины исследованных планет, вопреки всем вероятностным прогнозам и моделям формирования планетных систем. В то же время интерпретация графиков лучевых скоростей по эффекту Барра и эффекту Ритца позволяет в большинстве случаев объяснить все аномалии кривых лучевых скоростей посредством одной, наиболее массивной планеты, движущейся по круговой орбите [A43, A49]. Как легко видеть из выражения (1.4), искажённая кривая лучевых скоростей, действительно, ближе к сумме двух синусоид с отношением периодов 1:2, чем кривая лучевых скоростей $V_r(t)$ эллиптической орбиты (1.8), для которой отклонение от суммы двух синусоид, возникающее во втором порядке малости e^2 , имеет более высокую величину.

Ещё одна аномалия экзопланет – открытие массивных планет-гигантов, расположенных от родительских звёзд на предельно малых расстояниях ρ (порядка сотых долей $a.e.$) и обладающих аномально высокими эксцентриситетами $e > 0,1$, невозможными для короткопериодичных планет. Таким расстояниям соответствуют высокие температуры поверхности планет, исключаящие стабильное существование этих газовых гигантов, названных по этой причине «горячими юпитерами». Столь же сомнительно существование близких к родительским звездам массивных планет, открытых методом лучевых скоростей (*методом тайминга*) в системах сравнительно молодых пульсаров, считающихся остатками взрывов сверхновых, которые уничтожили бы близлежащие планеты, а новые планеты не успели бы сформироваться. Если же регистрируют кривую мнимых лучевых скоростей $V_r^*(t)$, то, вероятно, измеренная амплитуда лучевых скоростей K' (1.23) сильно завышена по сравнению с истинной K , если сдвиг спектральных линий обусловлен в основном эффектом Ритца, а не Доплера [A43]. Это вело бы к завышению масс планет на порядки, поскольку лучевая скорость звезды пропорциональна возмущающему воздействию, силе тяготения планеты, то есть, её массе. Таким образом, массы планет намного ниже и приближаются к массе астероидов и комет, которые при своей невысокой массе не создают приливных горбов в атмосфере звезды и не испытывают приливного скругления орбит [A49]. Эти малые планеты, подобно кометам и астероидам, подходящим близко к Солнцу, могут обладать высокими эксцентриситетами.

Не исключено, что истинные орбитальные периоды P экзопланет в ряде случаев длиннее наблюдаемых P' . Так, при движении планетной системы с близким к критическому лучевым ускорением $a_r \approx -c^2/r$ (которое на космических дистанциях r имеет умеренную величину, типичную для звёзд), эффект Ритца приведёт к сжатию видимого периода движения планет $P' = P(1 + ra_r/c^2)$ до почти нулевого. Изменение видимых периодов обращения наблюдается и у спутников Юпитера, периоды которых, как открыл О. Рёмер, за счёт эффекта Доплера бывают на минуты короче истинных, ввиду относительного движения Юпитера и Земли [36]. Эффект Ритца способен сокращать видимые периоды обращения планет уже в разы. Это позволяет объяснить открытие большого числа планет с нетипичными орбитальными периодами порядка суток и радиусами орбит порядка сотой доли $a.e.$: истинные периоды P и большие полуоси орбит планет в системах звёзд и пульсаров могут быть много больше [A43].

В запредельном случае, когда $a_r < -c^2/r$ и $P' < 0$, видимый порядок событий покажется обратным, а видимое движение звёзд и планет – идущим в обратном направлении – эффект, предсказанный Д.Ф. Комстоком ещё в 1910 г. [123]. Это позволяет объяснить открытые в последние годы экзопланеты с обратным (ретроградным) орбитальным вращением, например WASP-33b и HAT-P-7b, противоречащие теориям формирования планетных систем [A43, A49]. Обратное (*ретроградное*) вращение выявляют посредством анализа графиков лучевых скоростей – по аномальному эффекту Росситера-МакЛафлина. Истинное движение таких экзопланет вполне может быть прямым, но представится обратным за счёт эффекта Ритца, инвертирующего видимый порядок событий при $a_r < -c^2/r$ и $P' < 0$, так что в (1.14) $dt' < 0$ [A43]. Таким образом, ретроградное вращение экзопланет представляет собой такую же иллюзию как ретроградное движение планет Солнечной системы, наблюдаемых с Земли в некоторые моменты времени [A43]. Причём иллюзия тоже обусловлена относительным характером движения, в применении уже не только к небесным телам, но и к их свету (§ 1.2).

Изменение периодов экзопланет по эффекту Ритца приводит и к ложным оценкам масс и размеров экзопланет, поскольку вариации видимых периодов и длительности транзитов экзопланет (времени прохождения планеты по диску звезды), при известной массе и радиусе звезды, оценки радиуса R планеты дадут завышенную или заниженную величину. Действительно, у ряда планет измерения показывают аномалии размеров, противоречащие теориям формирования планет и физически допустимым их характеристикам [252, 253]. Изменение орбитального периода P' и спектральные смещения по эффекту Ритца приведут к ошибке измерения массы m экзопланет. По отдельности и в совокупности эти ошибки приводят к неверному измерению плотности экзопланет $d = 3m/4\pi R^3$. Действительно, открыты экзопланеты с аномально высокой плотностью (выше, чем у золота: например, $d \approx 25$ г/см³ у COROT-3b) и аномально низкой плотностью (ниже, чем у пенопласта: например, $d \approx 0,1$ г/см³ у WASP-17b), природа которых пока не установлена. В рамках баллистической теории эти плотности иллюзорны, и истинные плотности отличаются от измеренных на порядки [A43, A49], будучи сопоставимы с плотностью Земли и других планет Солнечной системы.

У планет с $K/P \geq 3$ (м/с)/сут эксцентриситеты в основном мнимые, т.е. сильно завышены по сравнению с реальными. Напротив, для планет с $K/P < 3$ (м/с)/сут, для которых эффект Барра выражен слабо, расчётные эксцентриситеты близки к истинным, которые у планет длинных периодов P , действительно, могут достигать высоких значений, как показывает пример Плутона. В этих случаях отсутствие связи измеренного эксцентриситета с искажением графика лучевых скоростей от запаздывания света подтверждается тем, что для экзопланет из этого ряда распределение $N(\omega)$ – сравнительно однородное, и для многих из них $180^\circ \leq \omega < 360^\circ$. Но в этом случае тоже возможно искажение графиков лучевых скоростей, но иными механизмами. Так, если сдвиг частоты вызван в основном эффектом Ритца, а не эффектом Доплера, то есть снятый график спектральных смещений отражает колебания лучевого ускорения, а не лучевой скорости, то это приведёт к завышению расчётного эксцентриситета в два раза (см. § 1.5). Таким образом, у экзопланет с большими периодами обращения P истинные эксцентриситеты могут быть в два раза ниже, что лучше согласуется с теориями формирования планетных систем и с эксцентриситетами планет Солнечной системы.

Если у планет с круговой орбитой спектральные смещения обусловлены в основном эффектом Ритца, то искажение кривой спектральных смещений может приводить к концентрации периастров не только возле $\omega = 180^\circ$ (Рис. 1.10), но и возле $\omega = 0^\circ$, если эффект Ритца сжимает период до $P' < 0$, инвертируя видимый порядок событий. Запаздывание света из положения 1 и опережение из положения 3 вызывает обратное искажение графика $V_r^*(t)$, которому соответствует $\omega = 0^\circ$ (Рис. 1.15), что наблюдается у ряда планет (Рис. 1.2, Рис. 1.14).

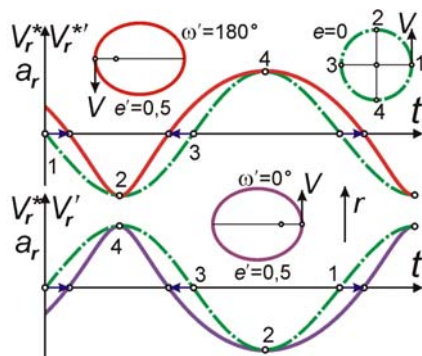


Рис. 1.15. График лучевых ускорений и мнимых лучевых скоростей $V_r^*(t)$ для круговой орбиты (штрихпунктирная линия) и искажённый по эффекту Ритца график лучевых скоростей $V_r^*(t)$ с соответствующей орбитой (сплошная линия) для прямого порядка событий (вверху) и для обращённого по эффекту Ритца (внизу).

Мнимый эксцентриситет может быть вызван и приливными искажениями и преимущественной ориентацией орбит планет, ведущей к концентрации периастров возле значений $\omega = 270^\circ$ (§ 1.1). Этим можно объяснить, почему для отдельных выборок звёзд эффект Барра имеет обратный знак, то есть периастры в них чаще расположены перед картинной плоскостью, а не позади неё [144]. Группирование долгот периастров возле $\omega = 270^\circ$ возможно и в случае обычного искажения кривых лучевых скоростей, ведущего к концентрации периастров возле $\omega = 90^\circ$ (Рис. 1.2). Однако, если за счёт общего движения звёздной системы с ускорением $a_r < -c^2/r$ происходит инверсия видимого порядка событий, то кривая лучевых скоростей получает обратное искажение, соответствующее $\omega = 270^\circ$ (Рис. 1.16). Подобные графики лучевых скоростей реально наблюдались у экзопланет, открытых транзитным методом, например у WASP-8b, WASP-117b, Kepler 78b, у которых при их коротких периодах аномально высокий $e \approx 0,3$, а долготы периастров близки к $\omega = 270^\circ$ [241–243]. Причём у WASP-8b движение по орбите как раз обратное [241], что свидетельствует об изменении нормального порядка событий. Отметим, что для этих планет выполняется критерий (1.26), то есть характеристики экзопланет допускают, что наблюдаемый эксцентриситет – мнимый.

Для планет больших периодов P искажения могут быть вызваны космической дисперсией света, впервые исследованной А.А. Белопольским [76] и его учеником Г.А. Тиховым [178, 244, 245]. Этот эффект, открытый ещё в 1908 г. у затменных звёзд в виде запаздывания затмений в коротковолновой части спектра, был назван эффектом Тихова-Нордмана, по имени российского астронома Г.А. Тихова и французского астронома Ш. Нордмана, независимо открывших эффект. Хотя в 1917 г. Х. Шепли привёл ряд теоретических возражений против возможности космической дисперсии, более поздние наблюдения подтвердили существование эффекта Тихова-Нордмана, причём во всех диапазонах электромагнитных волн [94, 179].

Разреженный межзвёздный газ обладает показателем преломления предельно близким к единице, но на больших дистанциях способен вызвать заметное запаздывание высокочастотного излучения по отношению к низкочастотному (на этом эффекте основан метод измерения расстояний до пульсаров – по сравнению времени запаздывания импульсов пульсара в разных диапазонах [183, 188]). В результате, когда звезда удаляется, и её спектральные линии смещены в длинноволновую область, они будут наблюдаться чуть раньше, а когда звезда приближается, и её линии смещены в коротковолновую область, они будут наблюдаться чуть позже. Это тоже приведёт к искажению графика лучевых скоростей, обратному тому, которое наблюдалось в эффекте Барра. Наблюдаемые искажённые кривые лучевых скоростей (Рис. 1.16) будут соответствовать орбитам, вытянутым в сторону от Земли ($\omega = 270^\circ$).

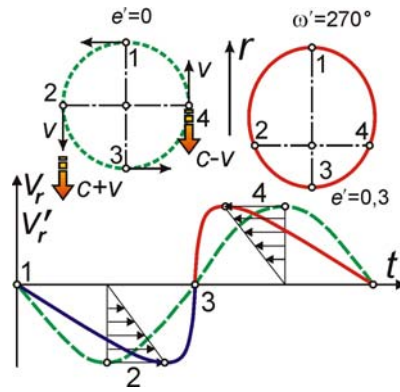


Рис. 1.16. Искажение графика лучевых скоростей $V_r(t)$ при учёте дисперсии межзвёздного газа и рассчитанной по нему орбиты (сплошная линия) по сравнению с действительным графиком лучевых скоростей $V_r(t)$ (пунктирная линия).

Баллистическая теория допускает наличие дисперсии света и в космическом пространстве, свободном от межзвёздного газа, – в вакууме [94, А19]. В этом случае знак дисперсии обратный. Соответственно, искажения носят обратный характер, то есть приводят к концентрации периастров возле $\omega = 90^\circ$, как в случае рассмотренных выше искажений (Рис. 1.2).

Перечисленное позволяет объяснить аномально высокие эксцентриситеты орбит экзопланет во всём диапазоне $0^\circ \leq \omega < 360^\circ$. Искажения будут пропорциональны K/P и расстоянию r звезды, поскольку из-за дисперсии разница скоростей сохраняется на всём пути света от звезды к Земле. Эта зависимость, действительно, подтверждается. Наличие дисперсии света в космическом пространстве, свободном от межзвёздного газа, в вакууме, тоже связывают с передачей собственной скорости излучающих атомов или электронов – свету [94, А19]. Ряд данных подтверждает эффект во всём диапазоне электромагнитных волн [179].

Итак, аномалии экзопланет получают простое качественное и количественное объяснение на базе эффекта Барра и баллистической теории. Интерпретация ряда параметров и аномалий экзопланет как реально имеющих место, противоречит не только теориям формирования планетных систем и законам небесной механики, но и принципу Коперника, отрицающему исключительные характеристики Земли, включая преимущественную ориентацию орбит в её направлении. Обнаружение таких свойств Земли и Солнечной системы приводит к рецидиву идеи геоцентризма [246], чуждых современной астрономии и астрофизике [141].

§ 1.5. Переменные звёзды как следствие баллистической теории

Учёт баллистического принципа для двойных звёзд не только объясняет искажение их видимого движения и расчётной орбиты, но и вызывает вариации их видимой яркости W' (1.16), повторяющиеся с периодом обращения звёзд. Вскоре после создания баллистической теории на это её следствие обратил внимание итальянский физик и астроном М. Ла Роза [71]. Если скорость источника механически, векторно добавляется к скорости света, то у звезды, кроме ускорения видимого движения на одних участках орбиты и замедления на других, будут наблюдаться и вариации яркости W' , соответствующие изменению масштаба времени. Происходит своего рода временная фокусировка света, когда от избытка скорости, сообщённой источником, одни световые лучи догоняют другие, испущенные ранее, отчего видимая яркость W' источника меняется, несмотря на постоянство его абсолютной светимости W .

По эффекту Ритца (1.15), синхронно с колебаниями яркости двойной звезды в её спектре будут регулярно смещаться линии поглощения. Такие переменные звёзды, периодически меняющие яркость и спектр, реально известны астрономам, например, в форме "цефеид".

Смещения спектральных линий от эффекта Ритца (1.15)

$$\Delta\lambda_R = \lambda La/c^2$$

у тесных двойных звёзд могут получаться много больше доплеровских смещений

$$\Delta\lambda_D = \lambda v/c.$$

У звезды, летящей по круговой орбите радиуса r , центростремительное ускорение $a = v^2/r$, и

$$\Delta\lambda_R = \lambda La/c^2 = Lv^2/rc^2.$$

Таким образом, сдвиг спектра от эффекта Ритца $\Delta\lambda_R$ превосходит доплеровский сдвиг $\Delta\lambda_D$ в

$$\Delta\lambda_R/\Delta\lambda_D = Lv/rc = 2\pi L/cP \sim (L/c)/P$$

раз, – то есть, примерно во столько раз, во сколько расстояние до звезды в световых годах L/c превышает период $P = 2\pi r/v$ её обращения. Даже приняв, что после прохождения дистанции L в один световой год эффект Ритца, ввиду переизлучения, перестает менять длину волны света, найдём, что для звёзд с периодом P меньше года (то есть для тесных пар звёзд) смещения по эффекту Ритца заметно превзойдут доплеровские. Впрочем, не исключено, что длина переизлучения для тесных двойных звёзд ещё меньше, из-за их общих атмосфер.

В случае эллиптической орбиты, даже в отсутствие заметных искажений от эффекта запаздывания света, эффект Ритца может привести к изменению симметричной формы кривой лучевых скоростей и соответствующей формы кривой блеска $W(t)$. Так, если смещения по эффекту Ритца намного превосходят доплеровские, для звезды с $\omega = 0^\circ$, которой соответствует чётная функция $V_r(t)$, регистрируемая кривая «мнимых лучевых скоростей» $V_r^*(t)$ – нечётная функция, соответствующая орбите с $\omega' = 90^\circ$ (Рис. 1.17). Именно такие графики лучевых скоростей, с медленным нарастанием и резким спадом V_r характерны для цефеид.

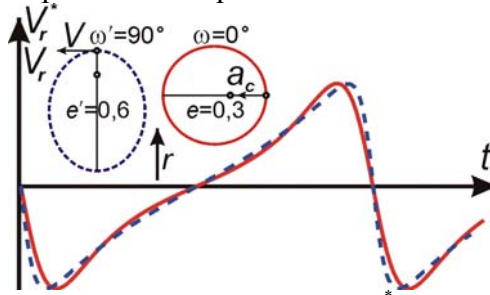


Рис. 1.17. Сравнение кривой мнимых лучевых скоростей $V_r^*(t)$ от сдвига частоты по эффекту Ритца (сплошная линия) для орбиты с $e = 0,3$ и $\omega = 0^\circ$ и кривой лучевых скоростей $V_r(t)$ от сдвига частоты по эффекту Доплера (пунктирная линия) для орбиты с $e' = 0,6$ и $\omega' = 90^\circ$.

Действительно, в этом случае $V_r^* = la_r/c$, где $a_r = -(GM/\rho^2)\sin(\omega + \nu)$ – лучевое ускорение спутника S_2 , вызванное тяготением главной звезды S_1 массы M (Рис. 1.4), расстояние до которой от спутника меняется как $\rho = p/(1 + e\cos\nu)$, где p – фокальный параметр эллипса орбиты. Отсюда измеренная по смещению линий мнимая скорость будет задана выражением

$$V_r^*(\nu) = -\frac{IGM}{p^2c}(1 + e\cos\nu)^2 \sin(\omega + \nu). \quad (1.27)$$

В частности, для $\omega = 0^\circ$ из (1.27) и (1.5) можно получить после разложения в ряд

$$V_r^*(t) \approx -K \left(\sin\left(\frac{2\pi t}{P}\right) + 2e \sin\left(\frac{4\pi t}{P}\right) + 3e^2 \sin\left(\frac{6\pi t}{P}\right) \right), \quad (1.28)$$

Точное выражение графика «мнимых лучевых скоростей» с учётом (1.5) имеет вид

$$V_r^*(t) = -\frac{IGM}{p^2c} \left(1 + e \frac{1 - \operatorname{tg}^2(E/2)/b^2}{1 + \operatorname{tg}^2(E/2)/b^2} \right)^2 \left(\frac{\sin\omega(1 + 2\operatorname{ctg}\omega \operatorname{tg}(E/2)/b - \operatorname{tg}^2(E/2)/b^2)}{1 + \operatorname{tg}^2(E/2)/b^2} \right),$$

где эксцентрисическая аномалия E выражается через t из условия (1.5).

Из уравнения (1.27) следует кривая мнимых лучевых скоростей

$$V_r^* = -(IGM/p^2c)[\sin(\omega + \nu) + 2e\sin(\omega + \nu)\cos\nu + e^2\cos^2\nu \sin(\omega + \nu)], \quad (1.29)$$

которая в первом приближении, с учётом зависимости $\nu(t)$, близка к доплеровской кривой лучевых скоростей $V_r(t)$ для орбиты с полуамплитудой $K' = IGM/p^2c$, с долготой периастра $\omega' = \omega + 90^\circ$ и эксцентриситетом e' в два раза большим, чем e :

$$V_r = K'[\cos(\omega + \nu) + e'\cos\omega] = -K'[\sin(\omega' + \nu) + e'\sin\omega']. \quad (1.30)$$

Вывод о том, что график мнимой кривой лучевых скоростей соответствует графику истинных лучевых скоростей для орбиты удвоенного эксцентриситета, следует уже из дифференцирования выражения $V_r(t)$ (1.8), которое как раз даёт график лучевых ускорений $a_r(t)$ и соответствующий график мнимых лучевых скоростей $V_r^*(t) = la_r/c$. При этом слагаемое, содержащее в качестве коэффициента эксцентриситет e (вторая гармоника $2e\sin(4\pi t/P)$), после дифференцирования получает удвоенный коэффициент $4e$, соответствуя графику $V_r(t)$ для орбиты удвоенного эксцентриситета $e' = 2e$. Также удвоение мнимого эксцентриситета следует из сравнения выражений (1.18) и (1.19), показывающих отношение значений в миниму-

ме и максимуме, соответственно, для лучевой скорости V_r и мнимой лучевой скорости $V_r^* = la_r/c$. Как видно (Рис. 1.18), эти отношения совпадут при условии, что для графика $V_r(t)$ эксцентриситет $e' = 2e$, то есть в два раза выше истинного e , соответствующего $V_r^*(t)$.

Различить, вызваны спектральные смещения эффектом Доплера или Ритца, можно, сравнив элементы орбиты, измеренные спектроскопически и визуально, по колебаниям блеска. Если орбита обладает истинным эксцентриситетом и вытянута вдоль луча зрения \mathbf{r} ($\omega = 270^\circ$ или $\omega = 90^\circ$), то кривая блеска имеет вид чётной функции, но эффект Ритца искажает график $V_r(t)$ (Рис. 1.10) или создаёт мнимую кривую лучевых скоростей $V_r^*(t)$, которой соответствует $\omega' = 0^\circ$ или $\omega' = 180^\circ$ (Рис. 1.18). Несоответствия элементов, измеренных разными способами, реально обнаружены [129], например, у звезды U Цефея (Рис. 1.8).

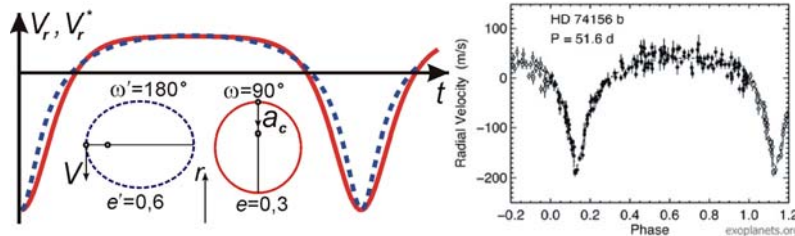


Рис. 1.18. Сравнение графиков мнимых лучевых скоростей $V_r^*(t)$ от сдвига частоты по эффекту Ритца (сплошная линия, для $e = 0,3$ и $\omega = 90^\circ$) и лучевых скоростей $V_r(t)$ от сдвига частоты по эффекту Доплера (пунктирная линия, для $e' = 0,6$ и $\omega' = 180^\circ$). Справа – пример графика $V_r(t)$ у экзопланеты HD 74156 b с anomalously высоким $e' = 0,63$ и $\omega' = 174^\circ$. Её истинная орбита может иметь умеренный эксцентриситет $e = 0,32$ и $\omega \sim 90^\circ$.

Отличия графиков $V_r^*(t)$ и $V_r(t)$ становятся заметны лишь при высоких значениях истинного эксцентриситета $e > 0,3$. Особенно ярко это проявится при образовании на графике $V_r^*(t)$ вторичных максимумов и минимумов, отсутствующих на кривой лучевых скоростей $V_r(t)$ и $V_r(v)$, как легко убедиться путём исследования выражения (1.30) на экстремумы, число которых на одном периоде P всегда равно двум. Аналогичный анализ выражения мнимых лучевых скоростей $V_r^*(v)$ (1.27) показывает, что число решений-экстремумов уравнения $dV_r^*/dv = 0$ может быть и выше двух. Так, для $\omega = 90^\circ$ найдём, кроме главных экстремумов (при $v_1 = 0$ и $v_2 = \pi$), ещё и вторичные – при $v_3 = \arccos(-1/3e)$ и $v_4 = 2\pi - \arccos(-1/3e)$. Поскольку зависимость $v(t)$ – монотонно нарастающая, соответствующие дополнительные экстремумы образуются и на кривой лучевых скоростей $V_r^*(t)$. Легко видеть, что эти вторичные максимумы и минимумы в виде небольших горбов и ямок возникают на графике лучевых скоростей лишь при $e > 1/3 \approx 0,33$. Как показывает компьютерное моделирование и исследование выражения (1.27) на экстремумы, при отдалении ω от значения $\omega = 90^\circ$ (точнее от $\sin\omega = \pm 1$) вторичные максимумы начинают формироваться при ещё больших значениях e . В предельном случае, при $\omega = 0^\circ$ или $\omega = 180^\circ$ вторичные экстремумы отсутствуют, даже при $e \approx 1$, как легко проверить, исследуя выражение $V_r^*(v) = -(lGM/p^2c)(1 + e\cos v)^2 \sin(v)$ на экстремумы. При $e \approx 1$ график $V_r^*(t)$ приобретает характерную ступенчатую форму.

Наибольших искажений по эффекту Ритца можно ожидать у двойных пульсаров, где орбитальные периоды P коротки, а скорости K и центростремительные ускорения a_c – велики. Соответственно, эффект Ритца для таких систем велик и может создать высокий мнимый эксцентриситет $e' = la_c/2c^2 = \pi lK/Pc^2$. Действительно, в таких системах наблюдаются высокие эксцентриситеты $e \sim 0,5-0,8$, при очень коротких орбитальных периодах $P \sim 10$ сут [253], при которых трение в атмосфере звёзд и приливное трение должно скруглять орбиты до почти нулевого эксцентриситета $e = 0$. Таким образом, действительные орбиты пульсаров могут быть круговыми, а наблюдаемые высокие эксцентриситеты могут быть мнимыми, вызванными эффектом Ритца. Или же действительные эксцентриситеты в два раза меньше расчётных, если наблюдается мнимая кривая лучевых скоростей (Рис. 1.17, Рис. 1.18). В пользу искажений графиков лучевых скоростей по эффекту Ритца и вклада мнимых лучевых скоростей $V_r^*(t)$ могут свидетельствовать аномалии в движении пульсаров, их графиков лучевых скоростей и рассчитанных по ним орбит, отличных от кеплеровских. Действительно, у ряда двойных пульсаров наблюдаются систематические остаточные отклонения наблюдаемых гра-

фиков лучевых скоростей от теоретических [254, 255]. Причём эти остаточные отклонения соответствуют теоретической форме графиков мнимых лучевых скоростей $V_r^*(t)$ [254].

Отметим, что смещения спектральных линий поглощения и излучения по эффекту Ритца (1.14) существенно меньше тех, которые можно ожидать на основании масштабов искажения времени на кривой лучевых скоростей, где происходят растяжения-сжатия интервалов dt в разы. Если b и частота при этом менялась в разы, то мнимые скорости V^* (1.21) были бы сопоставимы со скоростью света. Но фактически эффект переизлучения на порядки снижает смещение по эффекту Ритца (делая его сопоставимым с доплеровским) для частот возле линий поглощения атомов, по которым и определяют спектральное смещение. Возле каждой резонансной частоты f_0 показатель преломления n [21] стремительно нарастает по закону

$$n = \sqrt{1 + \frac{q}{(f_0^2 - f^2)}} \quad (1.31)$$

(где q – коэффициент, характеризующий концентрацию атомов, массу и силу осцилляторов), то для них длины переизлучения $l = \lambda/2\pi(n - 1)$, и пропорциональные им смещения по эффекту Ритца $\Delta\lambda/\lambda = la_r/c^2$ снижены на порядки, так что становятся меньше или сопоставимы со смещениями по эффекту Доплера. Непрерывный тепловой спектр излучения, в котором частоты далеки от резонансных, может смещаться по эффекту Ритца намного сильнее, ведя к кажущемуся изменению цветовой температуры звезды. Спектр поглощения смещается ритц-эффектом в той же мере, лишь когда свет идёт в пространстве, свободном от межзвёздного газа. Подобные условия реализуются в межгалактическом пространстве или в окнах, коридорах прозрачности – участках Галактики, практически свободных от межзвёздного газа.

При большом эксцентриситете, сопоставимости доплеровских и ритцевых смещений, а также при учёте эффекта запаздывания, искажения приобретут более сложный характер. Результирующая кривая расчётных лучевых скоростей $V_r'(t')$ строится тогда для каждого значения t через параметрическое задание скорости и моментов наблюдения t' , выраженных из условий (1.5), (1.13), (1.22) и (1.27) через истинную аномалию v , согласно цепочке уравнений

$$V_r'(v) = V_r + V_r^* = K(\cos(\omega + v) + e \cos \omega) + V_0 - \frac{IGM}{p^2 c} (1 + e \cos v)^2 \sin(\omega + v), \quad (1.32)$$

$$\operatorname{tg}\left(\frac{v}{2}\right) = \frac{1}{b} \operatorname{tg}\left(\frac{E}{2}\right), \text{ где } b = \sqrt{\frac{1-e}{1+e}},$$

$$t = \frac{P}{2\pi}(E - e \sin E), \quad t' = t - \frac{IGM}{p^2 c^2} \int_0^t (1 + e \cos v)^2 \sin(\omega + v) dt.$$

На результирующих графиках лучевых скоростей $V_r'(t')$ могут, как отмечалось выше, появиться вторичные максимумы и минимумы, ступени и другие аномалии. Подобные искажения отмечены у ряда звёзд (например, у звезды RZ Щита), рассмотренных в монографии Бэттена [4]. Вторичные минимумы обнаружены и в системах экзопланет, например, у планеты HD 74156 b на кривой лучевых скоростей в районе максимума, где на графике $V_r^*(t)$ должен наблюдаться неглубокий минимум, действительно, обнаруживается тенденция к спаду лучевой скорости (Рис. 1.18). Это может означать, что у HD 74156 b орбита – эллиптическая, но обладает в 2 раза меньшим эксцентриситетом $e \sim 0,3$, и регистрируется не действительная кривая лучевых скоростей $V_r(t)$, а мнимая $V_r^*(t)$, содержащая вторичные минимумы (Рис. 1.18). Тем же объяснимы аномальные формы графиков лучевых скоростей (с вторичными максимумами) у ряда переменных звёзд, включая цефеиды и звёзды типа RR Лиры, которые могут менять яркость не только за счёт пульсаций, но и за счёт орбитального вращения (эффект затмений, эффект эллипсоидальности и др.). При этом их видимая яркость W' может меняться и по эффекту Ритца (1.16), который, сдвигая частоту спектрального максимума, меняет и цвет звёзд [45, 50]. Постепенное преобразование, по мере движения света, постоянного излучения звезды яркости W в периодически меняющееся излучение интенсивности W' аналогично клистронному эффекту – растущим вдоль пути колебаниям плотности потока электронов, модулированного по скоростям [46]. Гипотезу двойственности цефеид, как возможной причины колебаний их яркости и цвета, выдвигал их первооткрыватель –

Дж. Гудрайк. Подробно эту гипотезу обосновал А.А. Белопольский, открывший колебания смещений спектральных линий цефеид, аналогичные наблюдаемым у двойных звёзд [16].

Сходство графиков лучевых скоростей цефеид и двойных звёзд и привело Белопольского к мысли, что цефеиды – это двойные, а не пульсирующие звёзды. По той же причине Барр включил в свою статистику 4 цефеиды, что, однако, существенно не изменило картины эффекта Барра [1, 2, 4]. Первое объяснение колебаний блеска цефеид на основе эффекта Ритца (1.16) принадлежит Ла Розе [57, 58]. К тому же объяснению обратился В.И. Секерин [59], а также В.М. Лютый – специалист по переменным двойным звёздам [60]. В.М. Лютый исследовал двойные рентгеновские звёзды, у которых наблюдаются те же плавные колебания блеска и цветовой температуры, что у цефеид, происходящие с орбитальным периодом P . Эффект Ритца позволяет также объяснить эффект Блажко у звёзд типа RR Лиры и короткопериодических цефеид. Если предположить, что этот тип переменных звёзд представляет собой тесные двойные системы (что подтвердилось для некоторых цефеид и звёзд типа RR Лиры [61]), то при быстром повороте их линий апсид, циклично меняющем ω , будет циклично меняться кривая лучевых ускорений $a_r(t)$ и мнимых скоростей (1.32). Соответственно меняется вызванная эффектом Ритца (1.16) кривая блеска $W'(t)$, а также степень её асимметрии [45]. Именно такие вариации кривых блеска и наблюдаются в форме эффекта Блажко.

Если спектральные смещения обусловлены в основном эффектом Ритца, тогда у цефеид кривая «лучевых скоростей» отражает не колебания скорости, а колебания мнимой лучевой скорости и ускорения звезды (1.21). Это объясняет, почему кривые блеска $W'(t)$ и спектрального смещения λ'/λ (вызванного эффектом Ритца) цефеид, соответственно

$$W' = W/(1 + ra_r/c^2) \text{ и } \lambda'/\lambda = (1 + ra_r/c^2) \quad (1.33)$$

– это почти зеркальные отражения друг друга. Сдвиг частоты меняет и цвет (спектр излучения): звезда становится то "синее", то "краснее". Поскольку показатель цвета звезды и положение спектрального максимума, по закону смещения Вина, характеризуют температуру, то (1.33) интерпретируют как вариации «температуры» звезды в фазе с блеском (Рис. 1.19).

Отметим, что колебания яркости звёзд, обусловленные эффектом Ритца, изначально препятствовали подтверждению баллистической теории. В частности, Де Ситтер отверг теорию Ритца на том основании, что исследованные им звёздные системы не обнаружили перекоса графиков лучевых скоростей, предсказанного этой теорией (см. § 1.1). Однако вызванный эффектом Ритца перекося графиков $V_r(t)$ не проявился для этих систем, ввиду их сравнительной близости к Земле и переизлучения света межзвёздным газом. При значительном перекосе графиков лучевых скоростей (у далёких двойных звёзд), он сопровождался бы колебаниями яркости W' (1.16). Соответственно, звезду считали уже не двойной (на больших r второй компонент неразличим), а пульсирующей звездой – цефеидой. Таким образом, значительный перекося графиков лучевых скоростей у цефеид не связывали с орбитальным движением звезды и эффектами баллистической теории. Едва эти эффекты становились заметными, двойные звёзды из-за переменной яркости относили уже к цефеидам, исключая из рассмотрения, на что впервые обратил внимание П.С. Чикин [150]. Другими словами, для цефеид существует зона избегания: эти звёзды не встречаются в радиусе r порядка 500 световых лет от Солнца. По превышении этой дистанции колебания блеска по эффекту Ритца (1.16) становятся заметными и растут при дальнейшем увеличении дистанции r . Так, ближайшая к нам цефеида – Полярная звезда, удалена на расстояние $r \approx 430$ световых лет, и обладает амплитудой колебаний блеска $0,12^m$, меняя яркость всего на 12%. При росте r и усилении эффекта Ритца (1.16) цефеиды обнаруживают чаще, и амплитуды колебаний их блеска растут.

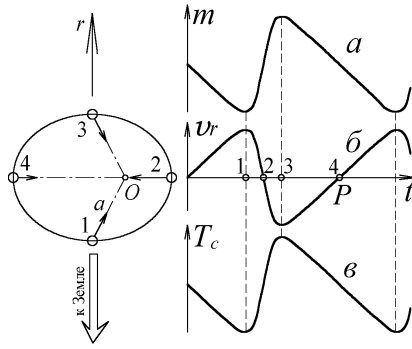


Рис. 1.19. Наблюдаемые у цефеид колебания блеска m , скорости v_r и температуры T_c как следствие эффекта Ритца для двойных звёзд.

Таким образом, модуляция скорости света, вызванная движением звезды по орбите, приводит к значительным колебаниям яркости, растущим по мере удаления от звезды. Похожий эффект положен в основу работы СВЧ-приборов клистронов. На эту аналогию эффекта Ритца и клистронного эффекта впервые обратил внимание автора профессор Н.С. Степанов. Если в клистронах происходит пространственно-временная фокусировка электронных лучей, то в двойных звёздах – световых лучей. Исходно однородный по плотности электронный пучок, проходя в клистроне через переменное электрическое поле, разбивается, по мере движения, на сгустки, тем более выраженные, чем больший путь прошёл электронный пучок [248]. Это тоже связано с тем, что не взаимодействующие друг с другом электроны, получив в ускоряющем поле различные добавочные скорости, начинают догонять друг друга и группироваться: возникает пространственная группировка пучка, называемая "фазовой фокусировкой электронного пучка", по аналогии с фокусировкой света.

Аналогично свет, получив при излучении разные скорости, фокусируется, образуя всплески яркости, как поясняет пространственно-временная диаграмма (Рис. 1.20), аналогичная приводимой для клистрона [202]. При временной фокусировке яркость растёт за счёт сбора испущенных в разные моменты лучей возле отдельных точек во времени. Этот временной фокус соответствует расстоянию $r = c^2/a$ от звезды, как видно на Рис. 1.20.

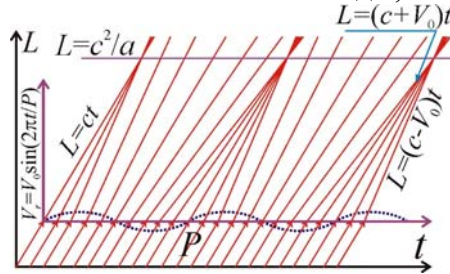


Рис. 1.20. Пространственно-временная диаграмма иллюстрирует эффект группирования света и формирование кинематических волн за счёт модуляции скорости V_r потока частиц с периодом P .

Подобную пространственно-временную диаграмму впервые построил В.И. Секерин, рассмотрев влияние скорости двойных звёзд на скорость идущего от них света [36]. Итак, колебания звёзд возле центра масс вызывают периодические колебания их видимого блеска, равно как колебания поля в клистроне создают периодические колебания плотности электронного пучка, пропорциональные пути r пучка. Так и колебания яркости двойных звёзд растут и становятся заметны по мере роста их расстояния r . Вот почему, как показал на основе статистического анализа П.С. Чикин [150], не обнаружено цефеид ближе 100 парсек от Солнца.

Эффект Ритца $T' = T(1 + ra_r/c^2)$ заметно меняет яркость звезды, когда ra_r/c^2 сопоставимо с единицей, – если r/cP порядка c/v (где лучевое ускорение $a_r \sim v/P$ выражено через орбитальную скорость v и период P обращения звезды). Поскольку типичные скорости $v \sim 10$ км/с, и $c/v \sim 10000$, то уже для звёзд, расположенных на расстоянии r/c в сотни световых лет, колебания блеска станут заметными при орбитальном периоде P в несколько суток.

Например, для круговой орбиты кривая лучевого ускорения a_r имеет форму синусоиды: $a_r = a \cdot \sin(2\pi t/P)$, отчего измеренная светимость W' периодически меняется по сравнению с истинной W (которая имела бы место в отсутствие движения звезды), пропорционально

$$T/T' = 1/[1 + r \sin(2\pi t/P)/c^2].$$

В итоге светимость звезды в приближении $ra_r/c^2 \ll 1$ имеет вид

$$W' = WT/T' = W/[1 + r \sin(2\pi t/P)/c^2] \approx W[1 - r \sin(2\pi t/P)/c^2]$$

станет периодически меняться вместе с ускорением a_r . Именно такая переменная яркость и периодическая кривая блеска отличает переменные звёзды типа цефеид. Итак, согласно гипотезе Ла Розы-Секерина, цефеиды – это не пульсирующие, а двойные звёзды. Учёт эффекта Ритца позволяет вернуться к гипотезе Белопольского. Если цефеиды – это двойные звёзды, тогда эффект Ритца позволит легко объяснить ряд аномальных свойств цефеид, до сих пор не получивших всесторонне обоснованного истолкования в рамках пульсационной теории. Также современный подробный анализ гипотезы Ла Розы-Секерина позволяет устранить большинство возражений против этой гипотезы, упомянутых, например, в [9, 79, 119, 160].

В частности, легко объясняются синхронные с колебаниями яркости колебания температур и лучевых скоростей цефеид (Рис. 1.19): и то и другое суть следствия эффекта Ритца, то есть вызванных переменным лучевым ускорением звезды регулярных смещений, соответственно, спектров излучения и поглощения звезды. Если колебания блеска и спектра имеют общую причину в виде эффекта Ритца от ускоренного движения звезды по орбите, то должна существовать определённая связь между характеристиками кривых блеска, "лучевых скоростей" и температур. Действительно, известно, что, вместе с нарастанием амплитуды колебаний блеска, растёт амплитуда колебаний температур и лучевых скоростей [204, 205, 206]. Рассмотрим звезду, расположенную на расстоянии L , движущуюся по круговой орбите с ускорением a и обладающую средней яркостью W . Тогда, согласно ритц-эффекту, величина яркости в максимуме есть $W(1 + ra/c^2)$, а в минимуме $W(1 - ra/c^2)$. Таким образом, глубина модуляции яркости $\Delta W/W = 2ra/c^2$. Те же преобразования испытывает частота и длина волны. Поэтому в спектре излучения звезды спектральный максимум λ_{\max} смещается то в красную, то в синюю сторону с размахом $\Delta f/f = \Delta \lambda/\lambda = 2ra/c^2$. Эти вариации спектра излучения интерпретируют как изменение температуры звезды. Однако спектральный анализ, по закону смещения Вина $T_c \lambda_{\max} = b = 0,003$ м·К, даёт лишь оценочную цветовую температуру тела T_c , часто не совпадающую с реальной температурой [207, 97]. Согласно закону Вина, чем краснее излучение тела, чем заметней его цвет и отвечающее ему значение λ_{\max} сдвинуты в длинноволновую область спектра, тем ниже температура тела T_c . Соответственно, периодические смещения спектрального максимума цефеиды расценивают как колебания её температуры

$$\Delta T_c/T_c = \Delta \lambda_{\max}/\lambda_{\max} = 2ra/c^2.$$

Таким образом, согласно баллистической теории, глубины модуляции температуры T_c и яркости W должны быть одинаковы, что и наблюдается у цефеид. В момент максимума блеска и ускорения, когда спектр максимально смещён в синюю сторону, покажется, что звезда имеет наивысшую температуру. Вот почему колебания "яркости", "лучевой скорости" и "температуры" – синхронны. Если у колебаний и есть небольшие расхождения формы и фазы, то они вызваны разной степенью взаимодействия (поглощения и переизлучения) лучей разного цвета, имеющих разную скорость, с промежуточной средой (облаками газа). Возникающее при этом в рамках баллистической теории несовпадение колебаний блеска цефеиды в разных цветах, которое якобы не имеет места, даже приводили в качестве противоречия модели цефеид Ла Розы-Секерина [160]. Реально же это несовпадение кривых блеска в разных диапазонах отчётливо наблюдается [76, 161], что проявляется хотя бы в колебаниях цвета цефеид, вновь подтверждая БТР. Кроме того, как отмечал ещё Ла Роза, небольшие расхождения в форме и синхронности колебаний видимых свойств цефеид обусловлены тем, что кривые блеска и температур отображают общее изменение яркости и спектра двойной звезды, а не одного компонента, – как кривая лучевой скорости. Линии второго компонента, обладающего меньшим блеском, – не видны или очень слабы. Отметим, что в рамках баллистической теории это – лишь видимые колебания параметров, вызванные эффектом Ритца, тогда как истинная яркость и температура цефеид (отличная от цветовой) – неизменны.

Между амплитудами колебаний блеска и лучевых скоростей нет такого соответствия. Линейчатый спектр поглощения испытывает заметно меньшие колебания, чем непрерывный спектр излучения, поскольку эффект Ритца преобразует спектр излучения на заметной части пути r света к Земле, а спектр поглощения могут создавать слои газа, расположенные на го-

раздо меньшем удалении r от Земли. Также у частот f_0 возле резонансных линий поглощения атомов выше показатель преломления n газа (1.31), отчего снижен эффективный путь $l \sim \lambda/2\pi(n - 1)$, по прохождении которого свет переизлучается и перестаёт трансформироваться ритц-эффектом. Вот почему смещения спектральных линий по эффекту Ритца пропорциональные пути l , на котором преобразуется их частота, заметно снижены. Причём смещения снижаются в разной степени для линий разных элементов, в зависимости от концентрации разных газов и степени переизлучения в них. Различие амплитуд колебаний лучевых скоростей в линиях разных элементов реально открыто у цефеид и двойных звёзд [129, 191]. От переизлучения колебания спектра поглощения цефеид, вызванные эффектами Ритца и Доплера, бывают сопоставимы, а у ряда переменных звёзд доплеровские смещения преобладают.

Наконец, была обнаружена связь амплитуды блеска с асимметрией кривой блеска и графиком лучевых скоростей. Все цефеиды имеют тенденцию резко наращивать яркость, а затем медленно её снижать. Степень этой асимметрии, как оказалось, растёт с увеличением амплитуды колебаний блеска. Это тоже находит объяснение в рамках баллистической теории. Большинство двойных звёзд имеет круговую орбиту и потому должны иметь синусоидальную кривую лучевых скоростей. Однако эффект Ритца приводит к тому, что кривые лучевых скоростей, а, значит, и кривые блеска становятся асимметричными, приобретая пилообразную форму. Чем сильнее этот перекосяк, тем выше сопровождающие его по эффекту Ритца вариации яркости. Именно этим объясняется наблюдаемая зависимость, впервые отмеченная тем же Барром в его статье 1908 г. Поэтому классические цефеиды с асимметричными кривыми лучевых скоростей, показывают сильные колебания блеска. Зато переменным звёздам с почти симметричной, синусоидальной кривой блеска, свойственны слабые колебания блеска, как, например, у малоамплитудных цефеид типа ζ Близнецов [191, 208]. Этот эффект иллюстрирует трёхмерная фазовая диаграмма клистрона: при нарастании амплитуды колебаний плотности потока электронов (или света от двойных звёзд) нарастает асимметрия волн, которые становятся из синусоидальных – коноидальными, с острыми пиками [202].

Другой причиной асимметрии кривой блеска цефеид могут быть эффекты взаимодействия света подвижной звезды с межзвёздной средой. Как было показано Дж. Фоксом [8], свет, проходя через межзвёздный газ, в ходе переизлучения атомами, постепенно теряет дополнительную скорость, сообщённую звездой. Это воздействие среды, нивелирующее отклонения, оказывается разным для лучей света, испущенных с разной частотой и скоростью в моменты приближения и отдаления звезды. Действительно, как отмечено в § 1.1, поскольку переизлучение обусловлено интерференцией исходного излучения с вторичным, переизлучённым неподвижной средой, то оно эффективно лишь в случае, если источник обладает лучевой скоростью $V_r > 0$, то есть удаляется. В противном случае, при $V_r < 0$, переизлучённый свет, движущийся со скоростью c , не может догнать первичное излучение, обладающее скоростью $c - V_r > c$, и не может интерферировать с ним, то есть его скорость не меняется.

В итоге, преобразование графика лучевых скоростей становится нелинейным, создавая добавочную асимметрию кривых блеска и лучевых скоростей цефеид, выраженную тем ярче, чем выше амплитуда колебаний блеска. В этом одна из причин быстрого нарастания яркости цефеид и медленного её спада: колебания блеска не только растут по мере движения, но и укручают передний фронт. Торможение средой света цефеид надо учитывать и потому, что оно сокращает эффективный путь l , на котором идёт преобразование света по эффекту Ритца.

Кроме цефеид, к физически переменным звёздам относят также звёзды типа RR Лиры, RV Тельца и Миры Кита [208]. Пульсирующими эти звёзды назвали потому, что периодические спады-нарастания их яркости и температуры связывали с пульсацией (расширением-сжатием) этих звёзд. Однако теория пульсаций (ТП) уже при создании содержала ряд парадоксов и противоречий [211]. Например, в ходе пульсаций звезды её спектральные линии не должны были смещаться, а периодически бы уширялись, то в область коротких, то в область длинных волн, за счёт разных проекций скорости u_r в разных участках звезды (Рис. 1.21). Однако, как показывают спектральные наблюдения, линии не меняют свою ширину, а смещаются как одно целое, что свидетельствует о движении звезды по орбите как целого. Отсутствие периодического уширения спектральных линий и, соответственно, пульсаций цефеид подтверждается также тем, что цефеиды характеризуются как раз очень резкими, узкими

спектральными линиями [211, с. 104]. Кроме того, если бы звезда пульсировала, наибольшей температурой и яркостью она бы обладала в момент предельного сжатия и равной нулю лучевой скорости. Реально же звезда ярче всего в момент расширения с максимальной скоростью, если интерпретировать смещения спектральных линий как доплеровские [211].

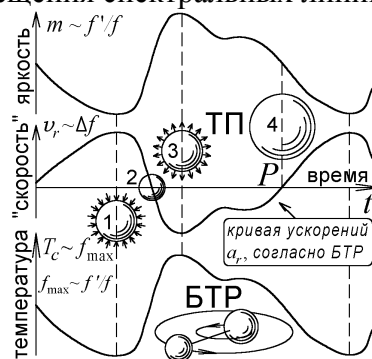


Рис. 1.21. Синхронные колебания яркости, лучевой скорости и температуры цефеид, сходные по форме и не объяснимые по теории пульсаций (ТП), прямо следуют из баллистической теории Ритца (БТР).

Позднее это объяснили гипотезой, согласно которой внешние и внутренние слои звезды пульсируют по-разному, со сдвигом по фазе: внешние слои (хромосфера, где возникают линии поглощения) дают кривую лучевых скоростей, а внутренние (фотосфера) – кривую блеска [211]. Другое несоответствие состояло в том, что пульсации звёзд, как любые свободные колебания, должны быстро затухать, вопреки наблюдениям. Это несоответствие устраняют, допуская существование автоколебательного механизма, ввиду изменения в ходе пульсаций пропускной способности слоя ионизованного гелия. Но в рамках этой гипотезы нельзя объяснить переменность звёзд, содержащих, судя по спектрам, незначительное количество гелия. В ходе ввода всё новых формальных дополнительных гипотез и возникла современная теория звёздных пульсаций, при всей сложности не объясняющая всех свойств цефеид. Напротив, из баллистической теории и гипотезы А.А. Белополюского, считавшего цефеиды двойными звёздами, следуют все их свойства. Действительно, если колебания блеска вызваны движением двойных звёзд по орбите, то переменной может быть звезда любого химического состава (в том числе с дефицитом гелия), звезда любого размера и светимости.

Согласно гипотезе Ла Розы–Секерина, колебания блеска звезды не затухают по той причине, что порождающее их орбитальное вращение – это пример наиболее стабильного движения. Однако известны цефеиды, временами прекращающие менять яркость, а затем, нередко, вновь начинающие. Такова, к примеру, Полярная звезда. Этот древний маяк и ориентир моряков тоже оказался цефеидой. В начале XX в. её яркость раз в четыре дня менялась на 15 %, а к концу XX века звезда почти перестала мигать: колебания яркости $\Delta W/W$ снизились до 2 % [203]. В настоящее время Полярная стабилизируется: $\Delta W/W$ достигло 4 %.

Объяснение нестабильности колебаний блеска ряда цефеид представляет серьёзную проблему для теории пульсаций. В баллистической теории эта нестабильность объясняется тем, что в тесных двойных системах (к которым принадлежат цефеиды, судя по их периодам), орбиты за счёт гравитационных, приливных сил претерпевают быстрые изменения, что отражается на кривой лучевых ускорений и, следовательно, на колебаниях блеска [A23]. В частности, плоскость звёздной орбиты в ходе прецессии может менять наклон к лучу зрения, аналогично, аналогично прецессии плоскости орбиты Луны [209]. Так же и плоскость звёздной орбиты в один момент может предстать видимой в плане (перпендикулярно лучу зрения), а в другой – с ребра (Рис. 1.22). В первом случае лучевые ускорения зануляются, отчего исчезают регулярные колебания блеска, что наблюдалось, в частности, у цефеиды RU Жирафа. А при выходе орбиты из этого положения колебания блеска восстанавливаются.

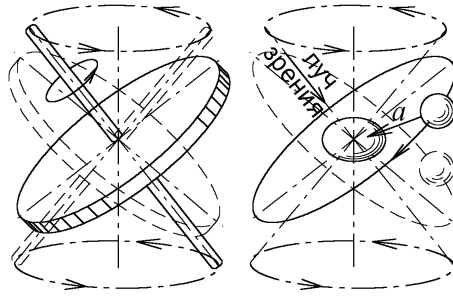


Рис. 1.22. Изменение наклона к лучу зрения плоскости волчка и звёздной орбиты.

Поскольку у звёзд, как у Луны, прецессионное вращение орбит – циклическое (сделав полный оборот, орбита занимает прежнее положение), то амплитуда колебаний блеска цефеид должна периодически меняться. Такие вариации особенно характерны для звёзд типа RR Лиры и карликовых цефеид, – переменных с периодами в несколько часов. Это естественно, поскольку малый период обращения говорит о близости компонент двойной звезды и значительной величине гравитационных возмущений орбит, обусловленных релятивистскими и приливными эффектами. Не зря у таких звёзд обнаружены ряд других необъяснимых теорией пульсаций аномалий: периодически меняется форма кривой блеска (эффект Блажко) и очень медленно – период его колебаний [208]. Эти вариации находят простое объяснение в рамках баллистической теории. В тесных двойных системах орбиты звёзд поворачиваются, так что их периастры смещаются (Рис. 1.23). Впервые такое явление смещения периастров двойных звёзд обнаружил А.А. Белопольский [76]. По мере вращения орбиты, меняется, в зависимости от угла поворота, – форма кривой ускорений и форма кривой блеска (Рис. 1.23). Когда орбита сделает полный оборот, кривая блеска примет исходную форму. Таким образом, в полном согласии с эффектом Блажко, вариации кривой блеска должны периодически повторяться. Быстрое вращение орбит и циклическое изменение их формы может быть вызвано и возмущающим воздействием соседних звёзд и планет, что тоже приведёт к появлению эффекта Блажко в виде циклического изменения формы и амплитуды кривой блеска [191].

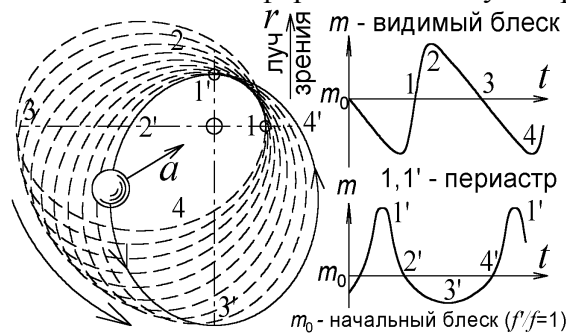


Рис. 1.23. Поворот звёздной орбиты меняет форму кривой ускорения a_r и блеска m .

Ускоренный поворот орбит может быть вызван и ритц-эффектом, сжимающим видимый период $T' = T(1 + ra_r/c^2)$ двойных звёзд, центр масс которых движется с ускорением $a_r \approx -c^2/r$. Тогда не только видимый период обращения и мигания сокоратится с суток до часов, но ускорится смещение периастра, ведя к циклическим вариациям кривых скоростей и блеска.

В рамках гипотезы Ла Розы легко объяснить и плавное изменение периода цефеид, вероятно, тоже обусловленное приливными силами, постепенно расширяющими орбиты звёзд в тесных двойных системах (такой эффект выявлен астрономами у двойных звёзд, а также у Луны [209]). В итоге растёт орбитальный период и равный ему период колебаний блеска. Причём рост периода и поворот орбиты может выглядеть заметно ускоренным за счёт эффекта Ритца, по сравнению с реальными вековыми вариациями. Например, у Полярной звезды период ежегодно нарастает на 8 секунд. Полярная входит в двойную систему, где второй компонент (карлик главной последовательности) обращается возле звезды за 30 лет, как открыл А. Белопольский. Но колебания блеска с периодом $T = 4$ сут у Полярной вызваны, вероятно, присутствием близкого к звезде спутника малого блеска (звезды или планеты).

Зато карлик, варьируя своим тяготением ускорение a_r Полярной, возможно, и вызывает по эффекту Ритца плавный рост видимого периода её мерцаний $T' = T(1 + ra_r/c^2)$ и медлен-

ный спад средней яркости $W' = W/(1 + ra_r/c^2)$. Не зря у многих переменных звёзд плавное увеличение периода миганий сопровождается постепенным спадом яркости. Орбитальным движением в системе карлика можно объяснить и упомянутый выше спад амплитуды колебаний яркости Полярной. Её орбитальное ускорение, по мере отдаления от значения $a_r = -c^2/r$, не только ведёт к снижению видимой яркости звезды W' и наращивает видимый период её миганий T' , но и снижает амплитуду этих миганий. Дело в том, что малые добавочные четырёхдневные вариации ускорения, вызванные спутником, меняют яркость звезды тем слабее, чем дальше её ускорение от значения $a_r = -c^2/r$. В таком случае, через 30 лет, когда карлик сделает полный оборот вокруг Полярной, амплитуда колебаний её блеска вернётся к прежнему значению. Так же и ритц-эффект может плавно наращивать или снижать период и амплитуду миганий у других цефеид и переменных звёзд, входящих в кратные системы.

Порой, вместо плавных, наблюдаются скачкообразные изменения периодов цефеид (*глитчи*), необъяснимые в теории пульсаций [208]. А в рамках гипотезы Ла-Розы–Секерина глитчи могут быть вызваны столкновением звезды с малым космическим телом. Удар скачком меняет скорость звезды, её орбиту и период обращения. За счёт малой (по сравнению со звездой) массы врезавшегося тела, это изменение периода обычно мало в сравнении с орбитальным периодом. Например, у двойной звезды W Большой Медведицы в 1964 г. период обращения и миганий скачком вырос после короткой вспышки [191], которая служит свидетельством столкновения звезды с астероидом, изменившим её орбиту. Таким образом, с позиций баллистической теории вариации характеристик мигающих звёзд – это следствие изменения размера, формы и положения их орбит. Отсюда могут быть выведены дополнительные критерии проверки баллистической теории и гипотезы Ла-Розы–Секерина.

В рамках баллистической теории получает простое объяснение и зависимость период-светимость у цефеид: чем выше период колебаний блеска звезды, тем выше её абсолютная светимость. Действительно, поскольку в рамках гипотезы Ла-Розы цефеиды – это тесные двойные системы, где размеры звёзд и их орбит сопоставимы, то более крупные и яркие цефеиды обладают более широкими орбитами, которым соответствуют более протяжённые периоды (подобная связь периода и светимости, периода и цвета реально открыта у тесных двойных систем [129, с. 180]). Напротив, для звёзд типа Миры Кита и RV Тельца, обладающих периодами порядка года и широкими орбитами, основное значение приобретает масса звезды. Поэтому, чем ярче, массивней звезда, тем короче орбитальный период её спутников, и, соответственно, – период колебаний её блеска. Не случайно у звёзд данных типов зависимость «период-светимость» – обратная по сравнению с цефеидами: чем длиннее период, тем ниже абсолютная светимость [208], что идёт вразрез с предсказанием теории пульсаций.

У цефеид и звёзд типа RR Лиры кривые блеска часто содержат отчётливый горбик (Рис. 1.21) – вторичный максимум [191]. В рамках теории пульсаций этот вторичный максимум объясняют отражением колебаний атмосферы цефеиды от ядра звезды [191], что требует резкого скачка волновых импедансов ядра и прилегающего слоя звёздной атмосферы, для высокого коэффициента отражения, но эта гипотеза не доказана однозначно. Проще объясняет вторичный максимум гипотеза о двойственности цефеид. У двойных звёзд, образующих цефеиды, обычно заметна лишь главная яркая звезда, а блеск звезды-спутника или планеты теряется на её фоне, как предполагал Белопольский [210]. Когда же яркости главной звезды и спутника сопоставимы, их кривые блеска с максимумами, уширенными за счёт вращения звёзд, дадут при сложении два максимума и два минимума (Рис. 1.24). Наличием двух колебаний, наложенных и сдвинутых по фазе, объясняют вторичный максимум и в теории пульсаций [204, с. 89]. Баллистическая теория объясняет не только этот фазовый сдвиг (лучевые ускорения пары звёзд колеблются в противофазе), но и его изменение: смещение горбика в зависимости от периода цефеиды [191, 208], меняющего орбитальные скорости главной звезды и звезды-спутника, которые по баллистическому принципу, вызывая разное запаздывание света, меняют положения главного и вторичного максимума на кривой блеска.

Вторичный максимум может породить и одна звезда. Как отмечалось, кривая лучевых ускорений $a_r(t)$ имеет один максимум на периоде лишь у звёзд с орбитами малого эксцентриситета e . При $e \geq 0,33$ на графике $a_r(t)$ возникает горбик (Рис. 1.21), переходящий на кривую

блеска $W'(t)$. Компьютерное моделирование позволяет наблюдать смещение вторичного максимума при увеличении периода P цефеиды, в согласии с наблюдениями [191, 208].

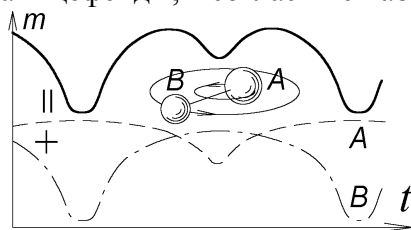


Рис. 1.24. Блеск звёзд A и B меняется в противофазе, что в сумме даёт сложную кривую блеска m , как для β Лиры и W Большой Медведицы.

Другая аномалия колебаний блеска состоит в том, что иногда они происходят сразу с двумя периодами: одно колебание налагается на другое, например у АС Андромеды [208]. Баллистическая теория естественно объясняет наличие нескольких периодов. Если главная звезда имеет не один, а два спутника с разными периодами обращения P_1 и P_2 , то вызванные их притяжением смещения главной звезды возле центра масс происходят с двумя периодами, а кривые ускорений и блеска содержат два характерных периода колебаний (Рис. 1.25.а).

Спутники, действительно, выявлены у ряда переменных звёзд, например, у σ Скорпиона. Причём их орбитальные периоды совпадают с периодом колебаний блеска [76, 129, с. 67]. Два периода дают и кратные системы, где один компонент двойной звезды сам является парным (Рис. 1.25.б). Такие трёх-, четырёхкратные системы широко распространены [129]. При этом быстрые периодические колебания яркости под влиянием спутника наложены на долгопериодические вариации среднего блеска звезды в ходе движения звезды по широкой орбите. Подобные колебания блеска открыты у DF Лебеда и других звёзд типа RV Тельца [208]. Наличием двух спутников, особенно, если их орбитальные периоды близки или кратны, можно объяснить и циклические изменения формы кривой блеска (*эффект Блажко*), а также эпизодическое усиление и ослабление колебаний блеска цефеид, за счёт наложения графиков ускорений и блеска от обращения двух спутников. По сути, это – эффект биений от сложения двух колебаний. Наконец, если главная звезда обладает более чем двумя спутниками, тогда их гравитационное воздействие на главную звезду создаст кривую ускорений $a_r(t)$ и блеска $W'(t)$ более сложного вида, и колебания блеска покажутся случайными, неправильными. Обнаружен целый класс таких неправильных переменных звёзд, не нашедших объяснения в рамках теории пульсаций [208]. С точки зрения теории звёздных пульсаций сложение нескольких колебаний звезды, в принципе, тоже возможно, за счёт суммы нескольких типов колебаний – в разных обертонах, модах, радиальных и нерадиальных пульсаций звезды. Но в этом случае не выполнялся бы принцип суперпозиции таких колебаний, поскольку физические изменения звезды (например, коэффициента пропускания слоя гелия) от каждого типа колебаний влияло бы на другие моды колебаний. А фактически наблюдается простое сложение колебаний блеска, за исключением случаев, когда амплитуды колебаний блеска велики (этот случай, на примере звезды DF Лебеда, будет подробнее рассмотрен в § 1.6).

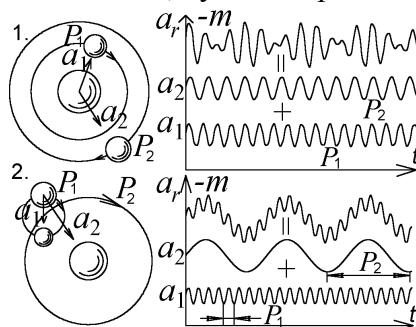


Рис. 1.25. В кратных системах сложение графиков ускорений порождает сложные формы колебаний ускорений a_r и блеска m по ритц-эффекту.

В пользу гипотезы, по которой плавные колебания блеска цефеид вызваны движением спутников в их системах, свидетельствует обнаружение спутников звёзд, у которых периоды совпадают с периодами переменности звёзд. Примером таких звезд служат системы β Лиры,

W Большой Медведицы, АО Кассиопеи [195, 208]. У β Лиры открыты плавные колебания блеска, вызванные звездой-спутником, движущимся с тем же орбитальным периодом в 13 сут, что и колебания блеска. У W Большой Медведицы звезда-спутник обращается с периодом 0,33 сут (оба периода типичны для цефеид и звёзд типа RR Лиры). Наблюдаемые при этом синхронные с обращением звёзд плавные колебания блеска нельзя объяснить эпизодическими затмениями звезды спутником. Поэтому эти звёзды типа W Большой Медведицы объясняют эффектом эллиптичности: у звёзд эллиптической формы в ходе их вращения видимая яркость меняется. Кроме того, для объяснения свойств β Лиры предположили наличие возле одной из звёзд газового кольца [195], а также концентрических атмосфер.

С позиций баллистической теории свойства системы получают более естественное объяснение, раз система представляет собой двойную звезду, где один компонент немного уступает другому в блеске. Это объясняет, почему общая кривая блеска содержит два максимума на периоде (Рис. 1.24). Другие аномалии β Лиры разрешаются столь же естественно. В целом звезда β Лиры по своим характеристикам, например, по форме кривой блеска, сходна с цефеидами и переменными типа RV Тельца [208]. Также открыты переменные рентгеновские источники, плавно меняющие оптическую яркость на периоде, равном периоду обращения спутников, открытых возле этих звёзд [195]. Подобно цефеидам, эти источники отличаются плавными колебаниями блеска и лучевой скорости – зеркальные копии друг друга. Свойства таких звёзд тоже объясняют на основе гипотезы о вытянутой форме звезды, обладающей поэтому неоднородной яркостью и попеременно поворачивающейся к Земле яркими и тёмными участками. В рамках баллистической теории колебания яркости и другие свойства таких звёзд получают естественное объяснение, не требуя привлечения дополнительных гипотез о форме звезды. Не случайно у таких звёзд (к ним относят NZ Геркулеса и Центавр X-3 [195, 208]), как у цефеид, вместе с "яркостью" и "лучевой скоростью" меняется "цветовая температура", в полном согласии с эффектом Ритца (1.33). Отметим, что известный специалист по таким звёздам, В.М. Лютый, развивавший гипотезу эллиптичности, поддержал в итоге интерпретацию этого и других явлений космоса на основе баллистической теории [171].

Несмотря на то, что гипотеза Белопольского и Ла-Розы–Секерина о двойственности цефеид естественно объясняет все их свойства, она не признаётся астрономами, которые, однако, сами принимали ряд цефеид за двойные звёзды, ввиду их сходства [129, 210]. Одной из причин отклонения гипотезы Белопольского стала большая удалённость цефеид ($d > 100$ пк), что мешает непосредственно обнаружить спутники цефеид, ввиду их малой светимости и близости к главной звезде в тесной двойной системе. До тех пор, пока спутники не удастся обнаружить напрямую, гипотезу Белопольского нельзя будет подтвердить однозначно.

Таким образом, основным критерием проверки баллистической теории и гипотезы Ла-Розы–Секерина станет обнаружение возле цефеид звёзд-спутников. Первый способ обнаружения спутников состоит в выявлении их спектральных линий, которые должны менять яркость и величину смещения в противофазе с главной звездой (подобное явление, действительно, открыто у ряда переменных звёзд [76, 36, A47, A48]). Второй способ обнаружения спутников состоит в визуальном выявлении спутников. До сих пор такие спутники не удавалось обнаружить, ввиду их низкой светимости, по сравнению со светимостью главной звезды, и малого расстояния между компонентами (порядка а.е.) в тесных двойных системах. Однако современные оптические и радиоинтерферометры с угловой разрешающей способностью, достигающей $\Delta\theta \sim 0,0001''$, позволяют выявить у цефеид, расположенных на расстоянии порядка $r \sim 100$ пк $\sim 4 \cdot 10^{18}$ м, спутники, удалённые от главной звезды всего на $\Delta\theta r \sim 20 \cdot 10^9$ м, то есть на расстояние в 1/8 астрономической единицы, порядка реального.

На данный момент известны только косвенные доказательства присутствия спутников цефеид. Например, многие цефеиды в максимуме блеска (и наибольшего расхождения спектральных линий двух звёзд по гипотезе Белопольского), действительно, обнаруживают эффект удвоения линий [129, с. 66; 204, с. 134]. То же верно для звёзд типа RR Лиры [191, с. 84]. Именно периодичное раздвоение линий издавна служило свидетельством двойственности звёзд. Уже сам Белопольский наблюдал в спектрах ряда цефеид (η Орла, α^2 Гончих Псов, ζ Близнецов и др.) две группы линий (см. работу Белопольского "Об изменении интенсивности линий в спектрах некоторых цефеид" [76]). Интенсивность одних линий нарастала вме-

сте с яркостью звезды, у других менялась в обратном направлении. Эту вторую группу линий, видимо, создаёт спутник цефеиды, меняющий лучевое ускорение a_r , блеск W' и спектральный сдвиг $\Delta\lambda/\lambda$ (1.33) в противофазе с главной звездой. Он обладает меньшим блеском и меньшей амплитудой его колебаний, а потому не вносящий заметного вклада в общие колебания блеска цефеиды. Если же звёзды имеют близкие спектры, отчего их линии не удаётся разрешить отдельно, то колебания яркости линий происходят с удвоенной частотой: за один период колебаний блеска цефеиды интенсивность линий успевает измениться дважды.

В рамках гипотезы Белопопольского это можно объяснить тем, что общие колебания яркости создаёт в основном главная звезда, а колебания интенсивности отдельных линий – обе звезды. Интенсивность линий компонентов меняется в противофазе и при сложении создаёт на каждом периоде два максимума и два минимума, как для вариаций общей яркости в системе β Лиры и W Большой Медведицы (Рис. 1.24). Белопопольский открыл, что у β Лиры и отдельные спектральные линии, соответствующие разным звёздам, меняют яркость в противофазе, в согласии с теорией Ритца [76]. Примечательно, что подобный эффект колебаний яркости эмиссионных линий в противофазе давно отмечался и у спектрально-двойных звёзд, не находя объяснений. Лишь в 1991 г. В.И. Секерин истолковал это явление как результат колебаний яркости звёзд в противофазе, за счёт баллистического принципа [36]. При совпадении светимостей звёзд это ведёт к компенсации спада блеска одной звезды одновременным увеличением блеска другой, отчего общая светимость двойной системы практически не меняется. Но вариации яркости спектральных линий разных компонентов отчётливо наблюдаются.

В случае, если переменные звёзды типа RR Лиры (*лириды*), δ Цефея (*цефеиды*), α Кита (*мириды*) и др. представляют собой двойные звёзды, то период их переменности задан орбитальным периодом двойной системы. Действительно, периоды переменности у лирид (часы), цефеид (сутки) и мирид (годы) типичны для орбитальных периодов тесных звёздных пар. Длительное время считалось, что цефеиды не могут быть двойными звёздами, поскольку оцененный по светимости цефеид (порядка 100–10000 солнечных) и их спектральному классу F или G, радиус таких звёзд составит $(25\div 30)R_{\odot}$. А при периоде порядка нескольких суток радиус орбиты должен быть порядка радиуса Солнца R_{\odot} [211]. Тогда орбита звезды-спутника проходила бы под поверхностью главной звезды, что невозможно. Но истинный спектральный класс звезды может быть более ранним (O или B), так как эффект Ритца за счёт ускорения свободного падения на поверхности звезды сильно смещает спектр её излучения в красную область спектра (см. § 1.2), как у звёзд классов F или G с температурой $T' \sim 5000$ К. Если же цефеиды – это звёзды классов O и B, и их истинная температура на порядок выше: $T \sim 25000$ К, то при той же светимости, по закону Стефана-Больцмана

$$W = \sigma T^4,$$

радиус звезды должен быть в $(T'/T)^2 \sim 25$ раз меньше, то есть порядка R_{\odot} . Поэтому радиус орбиты компонента (менее яркой звезды или планеты), составляющий порядка $(2\div 3)R_{\odot}$, превосходит радиус главной звезды. То есть двойные звёзды с подобными свойствами и периодами вполне реальны, причём компоненты будут разделены заметной дистанцией.

То же верно в отношении переменных звёзд типа RR Лиры. Периоды колебаний их блеска, составляющие несколько часов (0,2–1 сут), – того же порядка, что и орбитальные периоды в тесных двойных системах. Например, звезда W Большой Медведицы, у которой наблюдаются плавные колебания блеска, обладает орбитальным периодом 0,33 сут [191]. Но абсолютные светимости звёзд типа RR Лиры по оценкам превосходят солнечную в 40–50 раз. Поскольку это – звёзды спектрального класса F [208], их радиусы превосходили бы Солнечный R_{\odot} в 5–7 раз. А орбитальный период спутника, движущегося у поверхности такой звезды, с массой порядка Солнечной, составит порядка нескольких суток, то есть превысит наблюдаемый период колебаний блеска в разы. Но значение абсолютной светимости звёзд типа RR Лиры не известно, ввиду большой доли неопределённости расстояний до них (из-за отсутствия измерений методом параллакса). Если дистанции этих звёзд меньше расчётных в разы, то их светимости и радиусы – порядка солнечных, а период обращения гипотетического спутника будет того же порядка, что и периоды колебаний блеска звёзд типа RR Лиры.

Известны звёзды типа RR Лиры, входящие в затменно-двойные системы [122] (первая звезда такого типа была открыта в 1970 г. П.Н. Холоповым), что позволяет точно измерить

массу и размер звёзд типа RR Лиры, входящих в такие системы, – по амплитуде лучевой скорости, периоду обращения и длительности затмений. Действительно, для одной из таких звёзд – RR LYR-02792 [122] измеренный по длительности затмений радиус $R \approx 2R_{\odot}$, а масса $M \approx 0,26M_{\odot}$. Тогда для объяснения наблюдаемого периода пульсаций $P = 0,63$ сут спутник должен лететь с таким орбитальным периодом по орбите радиуса $\rho = (GMP^2/4\pi^2)^{1/3} \approx 2R_{\odot}$, то есть система может быть контактной – меньшая звезда-спутник летит по внешней границе главной звезды, практически касаясь её. Анализ таких затменно-двойных систем интересен ещё и в том плане, что позволит выявить, действительно ли меняется размер звезды при колебаниях её блеска, поскольку в таких условиях должна меняться длительность затмений. Поскольку ничего подобного не наблюдается [122], то, очевидно, вариации блеска обусловлены не вариациями размера, а эффектом Ритца при вариациях лучевого ускорения звезды.

Расстояния до звёзд типа RR Лиры измерялись и с помощью оптических интерферометров: по измеренным угловым размерам звезды, из сравнения с радиометрической оценкой их радиусов (по светимости и цветовой температуре) рассчитывалось расстояние до звёзд. Но в этом случае, как для цефеид, большая ошибка могла возникать из-за ошибки измерения температуры, если у звёзд типа RR Лиры истинные спектральные классы более ранние, чем F от сдвига спектра их излучения эффектом Ритца в красную область. Соответственно их размеры и дистанции получались бы завышенными. То есть, для переменных звёзд типа RR Лиры и цефеид важным критерием проверки гипотезы Ла-Розы будет прямое измерение дистанций переменных звёзд методом параллакса, что имеет огромное значение и в плане уточнения шкалы расстояний, где до сих пор имеется заметная доля неопределённости.

Итак, эффект колебаний блеска у движущихся по орбите звёзд был гипотетически предсказан Ла Розой [71] и проассоциирован им с переменными звёздами ещё в 1924 г. И лишь много позднее, по мере исследования свойств переменных звёзд, многие предсказания баллистической теории и гипотезы Ла Розы подтвердились. Гипотезу переменности блеска за счёт орбитального движения цефеид задолго до этого, в XIX в., выдвигали их первооткрыватели Дж. Гудрайк и А. Белопольский [210]. Но позднее этот механизм был надолго забыт, пока Мун и Спенсер не напомнили о нём в 1953 году [10]. Наконец, после длительного забвения, эффект был снова многократно переоткрыт в конце 80-х в России В.И. Секериным, В.П. Селезнёвым [26, 36], в 2000-х – П.С. Чикиным [150] и А.В. Мамаевым [215], а в США – Р.С. Фритциусом [216]. Сам автор независимо пришёл в 2002 г. к идее эффекта Ритца у двойных звёзд, предположив, что он проявляется в виде цефеид, пульсаров, новых и других переменных звёзд [A21]. Тогда же им впервые было предложено строгое обоснование эффекта, как с позиций баллистической теории, так и в рамках трактовки ряда проблемных для теории пульсаций эффектов у цефеид и двойных, включая эффекты Блажко и Барра.

Перечисленное ставит под сомнение теорию пульсирующих звёзд. Баллистическая теория не отвергает её, но даёт цефеидам более простое объяснение. Однако, некоторые звёзды, относящиеся к типу β Большого Пса и β Цефея, у которых спектральные линии периодически уширяются, а кривые блеска и лучевых скоростей соответствуют теории пульсаций, могут быть пульсирующими по механизму, предложенному С.А. Жевакиным. Колебания яркости таких звёзд, в отличие от цефеид и мирид, малы, составляя несколько процентов. Звёзды этого типа – это не красные гиганты, а звёзды главной последовательности, классов O и B.

Эффект Ритца позволяет объяснить и свойства других типов переменных звёзд, в том числе новых и сверхновых. Если эти звёзды представляют собой долгопериодические двойные звёзды, то по эффекту Ритца при достижении одной из звёзд критического ускорения $a_r \approx -c^2/r$ генерировались бы мощные вспышки оптического излучения, содержащие также энергичные излучения рентгеновского и гамма-диапазона. Именно такие вспышки наблюдаются у новых и сверхновых звёзд, у которых в настоящее время, действительно, обнаружена двойственность, с которой и связывают их вспышки [88]. Баллистическая теория и эффект Ритца позволяют объяснить временную структуру, спектр вспышек, их повторяемость и другие характеристики [A21, A23, A24, A29, A36, A39–A41, A47], ряд из которых не удавалось понять в рамках современной астрофизики и гипотезы о постоянстве скорости света.

Гипотеза Ла-Розы–Секерина позволяет объяснить не только классические переменные звёзды типа цефеид, но и рентгеновские переменные звёзды – пульсары (§ 1.6). Для роста

частоты света на порядки и перевода его в рентгеновский диапазон, достаточно, чтобы лучевое ускорение источника было близко к критической величине $a_r \approx -c^2/r$, при которой период световых колебаний стремится к нулю (1.13), а частота – к бесконечности (1.14). Для дистанции $r \sim 10^{18}$ м это даёт величину $a_r \approx -0,1$ м/с². Орбитальные ускорения в тесных двойных системах имеют близкий порядок величины [19]. Поэтому в ходе орбитального движения такие звёзды регулярно проходят положения, в которых свет звёзд, претерпевая преобразование частоты по эффекту Ритца, переводится в рентгеновское и гамма-излучение. Звёзды с такими свойствами реально открыты в виде рентгеновских пульсаров и барстеров, спектр вспышек которых сходен со спектром излучения абсолютно чёрного тела, но со спектральным максимумом, смещённым в область высоких частот, словно температура звезды достигает миллионов кельвинов [67]. Таким образом, существование подобных звёзд не только объяснимо эффектом Ритца, но и служит косвенным подтверждением баллистической теории, век назад предсказавшей существование таких космических источников [268].

Против трактовки переменных звёзд по баллистической теории приводилось и такое возражение: если бы свет звёзд переизлучался межзвёздным газом, то для разных длин волн из-за различия показателей преломления газа переизлучение шло бы на разных дистанциях. Соответственно запаздывание, вызванное влиянием скорости звезды на скорость света, получалось бы разным в разных цветах, чего якобы не наблюдается [160]. Но в действительности наблюдается именно такая картина. Так, у затменных звёзд моменты затмения в синих лучах не совпадают с моментами затмения в красных [76, 161], что привело Г.А. Тихова к выводу о существовании космической дисперсии света в вакууме [245]. Такое же явление открыто у цефеид: для них в разных цветах максимумы блеска наступают в разных фазах.

Таким образом, наблюдения переменных звёзд свидетельствуют в пользу баллистической теории и трактовки переменных звёзд по гипотезе Ла-Розы. Предложенные критерии и схемы астрономических и радиоастрономических наблюдений позволяют сделать однозначный вывод о применимости баллистической теории и гипотезе Ла-Розы–Секерина.

§ 1.6. Рентгеновские пульсары, радиопульсары, барстеры, новые и сверхновые звёзды – критерии проверки баллистической теории

Критерии проверки баллистической теории могут предоставить и переменные звёзды неоптических диапазонов – рентгеновские пульсары, радиопульсары и барстеры, ряд свойств которых тоже был предсказан в рамках баллистической теории и гипотезы Ла Розы [197, 268, 269, A21, A47]. Кроме того, в XX веке для проверки баллистической теории предлагалось привлечь затмения рентгеновских пульсаров, входящих в двойные системы [119, 120, 160]. В этом случае у колебаний блеска рентгеновских пульсаров и на кривых лучевых скоростей (измеренных методом тайминга вспышек) обнаружится тот же тип искажений, который предполагали по теории Ритца у двойных звёзд. Однако, если для света двойных звёзд эффект переизлучения межзвёздной средой практически нивелирует отличия от скорости света и вызванные ими искажения, то для рентгеновского излучения пульсаров переизлучение, как полагали, будет отсутствовать. Так, К. Брэчер, на основе анализа данных для трёх затменных пульсаров, показал, что наблюдаемые искажения столь малы, что скорость пульсаров практически не должна влиять на скорость испущенного ими света. По крайней мере, если считать, что для скорости света c' справедливо условие (1.1) $c' = c + kv$, то $k < 10^{-9}$ [119–120].

Однако фактически показатель преломления и эффективность переизлучения межзвёздным газом для рентгеновских лучей точно не известны. В рентгеновском и гамма-диапазоне длина l и k могут быть даже меньше, чем в оптическом, поскольку длина волны λ – в тысячи раз короче, чем у видимого света, а показатель преломления n – не известен определённно. Для рентгеновских лучей в межзвёздной плазме показатель преломления обычно принимают точно равным единице [8], а длину l – бесконечной, поскольку частоты f высокоэнергичных квантов на много порядков превышают резонансные частоты f_{0i} колебаний внешних электронов в атомах, и те практически не меняют скорость света [8]. При этом забывают об электронах внутренних оболочек атомов и об атомных ядрах, частоты колебаний которых лежат в рентгеновском и гамма-диапазонах и которые эффективно взаимодействуют с излучением, наращивая n и снижая l . Действительно, измерение показателя преломления n

для рентгеновских лучей в земных средах показало, что n отличается от единицы и l сопоставимо с l для оптических лучей (см. § 3.1). Тот факт, что рентгеновское и гамма-излучения, несмотря на слабое поглощение в плотных средах, достаточно эффективно взаимодействуют с веществом, подтверждается уже тем, что атмосфера Земли практически непрозрачна для рентгеновских и гамма-лучей, из-за сильного поглощения. По этой причине рентгеновские и гамма-телескопы выносят за пределы атмосферы в космическое пространство [195]. В то же время земная атмосфера прозрачна для излучения оптического диапазона, с которым, как считалось, она должна взаимодействовать более эффективно.

Если для рентгеновских лучей с энергией 30 кэВ в воде с концентрацией атомов $N \sim 10^{23} \text{ см}^{-3}$ измерено $|n - 1| \sim 10^{-7}$ [87], то для межзвёздного газа, где $N \sim 1 \text{ см}^{-3}$, $(n - 1)$ пропорционально меньше: $(n - 1) \sim 10^{-30}$. Отсюда для рентгеновских лучей ($\lambda \sim 10^{-10} \text{ м}$) $l = \lambda/2\pi(n - 1) \sim 10^{19} \text{ м} \sim 10^3$ световых лет, или ниже, так как n и l сильно зависят от состава газа.

Таким образом, несмотря на то, что показатель преломления n близок к единице, он должен отличаться от неё на величину, достаточную для обеспечения малости $l = \lambda/2\pi(n - 1)$ и $k = l/r$. Поэтому анализ рентгеновских переменных звёзд и гамма-источников, предпринятый К. Брэчером и показавший, что коэффициент искажений $k < 10^{-9}$ [119–121], тоже вполне укладывается в рамки баллистической теории, свидетельствуя лишь, что потеря светом дополнительной скорости, сообщённой звездой, происходит на пути, составляющем относительно долю $k < 10^{-9}$ от дистанции звезды (см. § 1.1). Действительно, измеренная Брэчером величина k согласуется с баллистической теорией, если учесть по Фоксу [8], что рентгеновские лучи переизлучаются в общей атмосфере рентгеновских пульсаров. Для рассмотренных Брэчером систем Cen X-3, Her X-1, SMC X-1, при орбитальных периодах $P \sim 1$ сут и скоростях $V \sim 100 \text{ км/с}$, радиусы орбит пульсаров составят $R \sim PV \sim 10$ млн. км, то есть орбиты лежат внутри короны главной звезды. Поскольку расстояние R сравнимо с размером внешней атмосферы – короны звёзд, где, например, для Солнца [183, с. 625], то концентрация ионов $N \approx 10^8 \text{ см}^{-3}$. Согласно [120], $l \approx (\lambda r_0 N)^{-1} \sim 2 \cdot 10^{11} \text{ м} \sim 200$ млн. км ~ 1 а.е., где длина волны рентгеновских лучей $\lambda \approx 2 \cdot 10^{-11} \text{ м}$, классический радиус электрона $r_0 = e^2/mc^2 \approx 2,82 \cdot 10^{-15} \text{ м}$. Эта длина l сравнима с R и характерным размером корон звёзд. То есть, у таких рентгеновских пульсаров переизлучение происходит внутри короны главной звезды. И при дистанции пульсаров $r \sim 10$ кпк [120], в рамках БТР $k = l/r < 10^{-9}$, в согласии с результатом Брэчера.

Кроме того, Брэчер предполагает, что механизм генерации рентгеновского и гамма-излучения GRB – синхротронный, принимая, что скорость источника этого излучения $V > 0,1c$, откуда по измеренной длительности dt гамма-всплесков получает, что в (1.1) $k = (c^2/2V)(dt/r) < 10^{-20}$ [121]. Но действительный механизм генерации рентгеновских и гамма-вспышек у GRB, как отмечал Брэчер [121], до сих не выяснен однозначно. Поэтому, если в рамках баллистической теории гамма-излучение представляет собой оптическое излучение звёзд, повысившее частоту по эффекту Ритца (§ 1.5), то истинные скорости V – на порядки ниже, а k – на порядки выше, достигая величины, согласующейся с измеренным $k < 10^{-20}$.

Если пульсары представляют собой двойные звёзды, то период колебаний их блеска должен совпадать с орбитальным периодом. Периоды пульсаров составляют от миллисекунд до секунд, а наиболее короткие периоды двойных звёзд составляют порядка часов. То есть, наблюдаемые периоды колебаний блеска и орбитальные периоды не совпадают даже по порядку величины. Но если системы пульсаров представляют собой кратные системы, так что двойная звезда летит вокруг третьей звезды с ускорением $a_r \approx -a_0$, т.е. близким к критическому $a_0 = c^2/r$, то наблюдаемый орбитальный период P' и равный ему период колебаний блеска

$$P' = P(1 + ra_r/c^2) = P/i, \quad (1.33.b)$$

может сократиться в миллионы раз: с часов до долей секунды, в i раз, где $i = P/P' = 1/(1 + ra_r/c^2)$ – коэффициент сжатия измеренных временных интервалов.

Эффект Ритца объясняет также интенсивное радиоизлучение пульсаров [A12, A14]. Мощность радиоизлучения планет и звёзд незначительна, по сравнению с пульсарами. В частности, светимость W Солнца в радиодиапазоне в миллиарды раз ниже, чем в оптическом, и даже во время вспышек не превышает $10^{15} - 10^{20} \text{ Вт}$ – значение, исчезающе малое на фоне общей светимости звезды (10^{26} Вт). Но эффект Ритца способен повысить измеренную мощность W' радиоизлучения в миллионы раз, как у пульсара в Крабовидной туманности с

$W' \sim 10^{23}$ Вт [188]. В радиоволны преобразуется и видимый свет звёзд и планет, т.к. ускорение g_s излучающих атомов на их поверхности наращивает по ритц-эффекту период световых колебаний $T' = T(1 + rg_s/c^2)$ в миллиарды раз. Напротив, ускорение a_r звезды, летящей по орбите, сжимает период P' пульсара и период T электромагнитных колебаний. Это объясняет открытую у пульсаров связь измеренной в МГц частоты спектрального максимума $f_{\max}' = 1/T'$ с измеренным в секундах периодом P' пульсара: $f_{\max}' \approx 120/P^{0,36}$. Согласно эффекту Ритца,

$$f_{\max}' = f_{\max}/(1 + ra_r/c^2) = f_{\max}P/P' = if_{\max},$$

Учтём, что $f_{\max}P = s$ – это характерная величина, имеющая близкий порядок величины для звёзд близких спектров со спектральным максимумом возле f_{\max} и орбитальных периодов P в тесной звёздной системе. Для более массивных и горячих звёзд f_{\max} , P и P' имеют более высокие значения, причём все зависимости степенные. Соответственно, степенной будет зависимость $s(P) \sim uP^n$ и $s(P') \sim u'P'^n$, откуда следует более сложная зависимость

$$f_{\max}' \approx u'/P'^{(1-n)},$$

где $(1 - n) < 1$, а u' должно составить порядка $\sim 120 c^{-n}$.

Постоянство орбитального периода пульсаров объясняет стабильность колебаний их блеска. Однако орбитальный период двойных звёзд медленно меняется за счёт приливного трения. В частности, у двойной звезды β Лиры период нарастает на 19 с в год [129]. У пульсаров вековые вариации периода P' , за счёт ритц-эффекта $dt' = dt(1 + ra_r/c^2)$, регистрируют ускоренными в миллионы раз. Кроме того, период P' меняется за счёт изменения степени его сжатия i в ходе вариаций лучевого ускорения a_r при движении двойной звезды по широкой орбите (Рис. 1.26). Тогда, при движении по широкой, долгопериодической орбите, ускорение меняется очень медленно, и его изменения можно считать почти линейными: ускорение растёт как $a_r = qt - a_0$, отдаваясь от $-a_0 = -c^2/r$. Соответственно, период будет расти по закону

$$P' = P(1 + a_r/a_0) = Prqt/c^2.$$

Поскольку наблюдаемый для пульсара масштаб времени $dt' = dtrqt/c^2$ тоже отличен от истинного dt , то время, истёкшее по наблюдениям с момента $t_0 = 0$, составит $t' = rqt^2/2c^2$. Отсюда найдём зависимость от времени t' наблюдаемого периода

$$P' = P(2rqt'/c^2)^{1/2},$$

и скорости его роста

$$dP'/dt' = P(rq/2c^2t')^{1/2}.$$

Деля первое на второе, получим выражение

$$t' = P'/2(dP'/dt'), \quad (1.34)$$

позволяющее по периоду P' пульсара и скорости его роста dP'/dt' оценить время t' , истёкшее с момента, когда период пульсара был нулевым при $a_r = -c^2/r$. В этот момент, согласно эффекту Ритца (1.16), возникает яркая вспышка звезды, аналогичная по свойствам вспышке сверхновой. Например, для пульсара PSR 0531+21 в Крабовидной туманности, где период $P' = 0,033$ с и $dP'/dt' = 1,4 \cdot 10^{-5}$ с/год [183], получим расчётное время $t' = 1180$ лет. Это время с точностью до 10% совпадает с зарегистрированным временем вспышки сверхновой, открытой на том же участке неба, где расположен пульсар PSR 0531+21, и которую видели тысячу лет назад, в 1054 г. Таким образом, уже эта грубая оценка оказывается лучше обычной

$$t' = P'/(dP'/dt'), \quad (1.35)$$

дающей увеличенный в два раза возраст пульсара [192]. В современной теории пульсаров это несоответствие устранили искусственным добавлением (в рамках специфических моделей) двойки в знаменателе (1.35), получив верный динамический возраст (1.34) [182]. Отметим, что изменение ускорения при движении по широкой орбите можно считать линейным лишь на интервале времени много меньшем орбитального периода, а на более протяжённых интервалах изменение – нелинейное. Таким образом, приводимая оценка t' (1.34) работает лишь на относительно коротких временных интервалах (у молодых пульсаров). Так, у пульсара PSR B1757-24 по измеренной скорости смещения относительно центра туманности и расстоянию до него возраст составит 40000 лет, а расчётный по (1.34) динамический возраст составил 17000 лет. В рамках баллистической теории расхождение связано с тем, что видимая скорость смещения не постоянна, а снижается, подобно скорости вращения пульсара, по мере отдаления a_r от $-a_0$. Соответственно, расчётный возраст пульсара окажется в 2 раза мень-

ше ~ 20000 лет, что лучше согласуется с динамическим возрастом в 17000 лет. Оставшееся расхождение можно объяснить нелинейным характером изменения ускорения a_r .

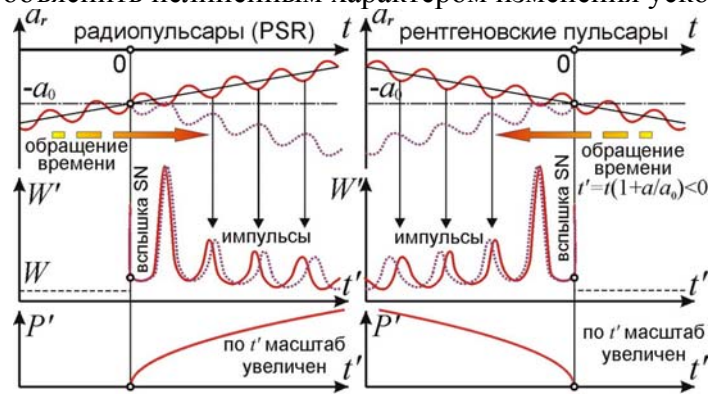


Рис. 1.26. Формирование импульсов радиопульсаров и рентгеновских пульсаров с плавным изменением периода импульсов за счёт вариаций ускорения a_r .

Аналогичным образом легко оценить время, когда вспыхнули или вспыхнут в виде сверхновых другие пульсары. В частности, пульсар Vela (PSR 0833-45) в созвездии Парусов (у которого $P' = 0,089$ с, $dP'/dt' = 3,9 \cdot 10^{-6}$ с/год [183]) должен был появиться около $t' = 11400$ лет назад, что близко к его возрасту в 11 тысяч лет, рассчитанному по скорости расширения туманности Парусов [192]. PSR 0531+21 и 0833-45 – самые молодые пульсары [183], и баллистическая теория объясняет, почему именно у этих звёзд малого возраста t' период $P' = P(2rq't'/c^2)^{1/2}$ – мал, а скорость его роста $dP'/dt' = P(rq/2c^2 t')^{1/2}$ – велика [183]. Высокая степень сжатия i (1.33.b) для этих пульсаров и для пульсара Геминга объясняет не только их радио-, но и оптическое, рентгеновское и гамма-излучение. Ритц-эффект, сжимая периоды пульсаров в миллионы раз, во столько же раз увеличивает яркость и частоту света, переводя его в рентгеновский и гамма-диапазон. За счёт этого в высокочастотных неоптических диапазонах PSR 0531+21 излучает в тысячи раз сильнее, чем Солнце – в оптическом диапазоне [183]. У радиопульсаров большего возраста, с меньшей степенью сжатия периода по эффекту Ритца, её уже не хватает для перевода света в рентгеновский и гамма-диапазон. Отметим, что жёсткое гамма-излучение с энергией 400 ГэВ, зарегистрированное у пульсара PSR 0531+21, противоречит всем существующим моделям пульсаров, за исключением баллистической.

Открыты также рентгеновские пульсары, у которых период P' сокращается. Если это сокращение иллюзорно, то означает приближение a_r к $-a_0$ (Рис. 1.26), и в будущем эти пульсары вспыхнут в виде сверхновых, когда период P' сожмётся до нуля, сконцентрировав свет звёзд во времени. В частности, у пульсара Центавр X-3 период $P' = 4,8$ с, а $dP'/dt' = -1,3 \cdot 10^{-3}$ с/год, откуда найдём для него $t' = -1920$ лет (знак «минус» соответствует будущему). Таким образом, этот пульсар должен вспыхнуть в виде сверхновой через два тысячелетия.

У пульсаров открыты и резкие скачки, сбои периодов (глитчи). Часть их вызвана столкновением звёзд с астероидами, меняющими орбитальный период P . В частности, у двойной звезды W Большой Медведицы орбитальный период и равный ему период миганий скачком вырос после вспышки звезды в 1964 г. [191], вызванной, вероятно, ударом астероида, который изменил орбиту звезды и её орбитальный период. Эти редкие события учащаются при сжатии интервалов времени (1.13) в миллионы раз: столкновения, происходящие раз в миллион лет, можно видеть ежегодно. Это объясняет глитчи у пульсара SGR 1900+14, регулярно наблюдаемые при вспышках. Отдельные глитчи связаны с вариацией степени сжатия i периода $P' = P(1 + ra_r/c^2) = P/i$ от изменения лучевого ускорения a_r и пути r . Кроме того, от звёзд регулярно отделяются протуберанцы, а на пути света r встречаются межзвёздные облака газа, обнаруженные по мерцаниям пульсаров [191]. Переизлучённый ими свет теряет избыток скорости, и далее ритц-эффект не меняет период или меняет его иначе, если у газа $a_r \neq 0$. Движение межзвёздных облаков и звезды меняет a_r , r и P' плавно, либо резко, если в облаках существует просвет, скачком удлиняющий путь света r и сжатие i периода (1.33.b). В случае, если путь света пересечёт дополнительное межзвёздное облако, путь r резко сократится, а период – скачком удлинится. В итоге, после глитча меняется и скорость нарастания

периода. Когда же просветы в межзвёздных облаках и лишние облака уйдут с пути света, период пульсара и скорость его изменения восстановятся. Таким образом, в рамках баллистической теории вариации периодов пульсаров обретают наиболее простое истолкование.

Также открыты циклические вариации периодов пульсаров, верно объяснённые присутствием планет. Как отмечено, если бы пульсары представляли собой остатки взрывов сверхновых, эти взрывы неизбежно уничтожили бы близлежащие планеты, поэтому полагают, что планеты в системах пульсаров появились после взрыва, что требует обоснования, поскольку планетные системы не могут формироваться за срок порядка возраста пульсаров (от тысяч до миллиона лет). В рамках баллистической теории, по которой реального взрыва не происходит, существование планет вполне возможно. В таком случае планеты, облетая звезду, своим тяготением регулярно изменяют её скорость и частоту миганий по эффектам Доплера и Ритца. Меняя период, ритц-эффект меняет и блеск звезды. Подобное явление открыто также у звёзд типа RV Тельца, RR Лиры и цефеид, где вариации периода называют эффектом Блажко [191]. У Полярной звезды – цефеиды с периодом $P_1 = 4$ сут, он нарастает на 8 секунд в год, а амплитуда колебаний блеска падает. С точки зрения баллистической теории причина этого состоит в звезде Полярная В, облетающей Полярную А за период в 30 лет, сообщая ей всё меньшее ускорение a_{2r} . Соответственно, растёт видимый период колебаний блеска $P_1' = P_1(1 + a_{2r}/a_0)$ звезды и уменьшается их амплитуда, ввиду отдаления a_r от $-a_0$ и снижения глубины модуляции m ускорения и яркости спутником Полярной, облетающей её за период в 4 дня. С точки зрения баллистической теории, современное восстановление колебаний блеска Полярной В связано с изменением направления изменений лучевого ускорения a_r .

Аналогичные колебания открыты у звёзд типа RV Тельца, скажем у DF Лебеда, у которой график лучевых скоростей [191] свидетельствует о наличии двух спутников с периодами $P_1 = 50$ сут и $P_2 = 780$ сут (Рис. 1.27). Облетая звезду, они меняют её ускорение $a_r = a_{1r} + a_{2r}$ с этими периодами, и на двулетние колебания блеска по ритц-эффекту наложена рябь с периодом P_1 . Когда блеск W' максимален, растёт также амплитуда его мелких колебаний, поскольку малые вариации лучевого ускорения a_r в моменты его приближения к значению $-a_0$ за счёт выросшей глубины модуляции $m = a_1/(a_0 + a_{2r})$ начинают сильнее менять яркость звезды.

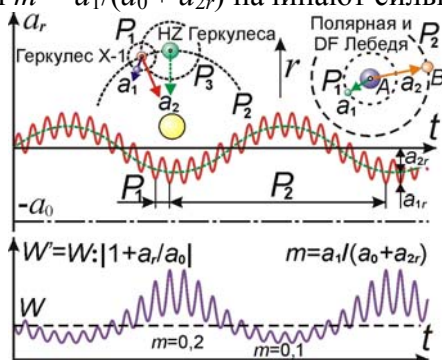


Рис. 1.27. Схемы колебаний ускорения и блеска в системах типа цефеид, DF Лебеда и пульсаров.

Сходное явление открыто у пульсаров, импульсы которых регулярно исчезают. После генерации серии импульсов пульсар замирает, а спустя время внезапно «оживает» [191]. Современные модели пульсаров не позволяют объяснить эти «замирания» без ввода сложных дополнительных гипотез. Пример подобного явления показывает рентгеновский пульсар Геркулес X-1: его рентгеновские импульсы с периодом $P_1 = 1,24$ с регулярно гаснут, во-первых от затмения звездой HZ Геркулеса, возле которой пульсар кружит с периодом $P_3 = 1,7$ сут, синхронно меняя по ритц-эффекту блеск и цвет звезды [195]. Во-вторых, пульсар гаснет на 24 сут с периодом $P_2 = 35$ сут. В существующих моделях пульсаров это явление не удавалось объяснить [182, 195]. А в баллистической теории эффект Ритца объясняет замирание на 2/3 периода движением пульсара вокруг третьей звезды с орбитальным периодом $P_2 = 35$ сут (Рис. 1.27). Тогда ускорение пульсара регулярно подходит к значению $a_r = -c^2/r$, возле которого за счёт выросшей глубины модуляции m мелкие колебания a_r под влиянием спутника пульсара ($P_1 = 1,24$ с) уже заметно меняют его яркость, переводя оптическое излучение пульсара в рентгеновские лучи. В моменты отдаления ускорения от $-a_0$ амплитуда ко-

лебаний рентгеновского блеска и частоты падает почти до нуля. А в оптическом диапазоне колебания блеска звезды NZ Геркулеса сохраняются, поскольку даже в отсутствие тесного приближения лучевого ускорения a_r к значению $-a_0$ оптическое излучение генерируется и варьирует. Таким образом, баллистическая теория позволяет легко объяснить наблюдаемые свойства двойных звёзд-пульсаров, их рентгеновское излучение и замирания [A39, A41].

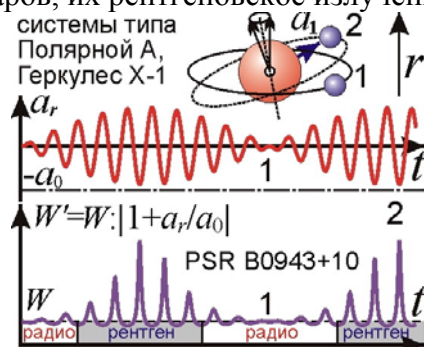


Рис. 1.28. Прецессия орбит спутников ведёт к эпизодическому исчезновению колебаний ускорения a_{1r} и прекращению пульсаций.

В рамках баллистической теории «замирания» пульсаров может вызывать и прецессия орбиты спутника. Например, у пульсара Геркулес X-1 период прецессии должен составлять как раз 35 сут. У пульсаров ритц-эффект тысячекратно ускоряет видимую прецессию, и колебания a_r регулярно исчезают, когда орбита видна в плане (Рис. 1.28). В таком случае у Геркулеса X-1 лишь на 11 дней из 35 наклон орбиты к лучу зрения r и колебания лучевого ускорения a_r оказываются достаточными для перевода оптического излучения звезды в X-лучи.

Регулярные замирания (*нуллинг*) до 70 % времени открыты и у радиопульсаров, скажем у PSR J1819+1305 и B1133+16. А пульсар PSR B0943+10, прекращая излучать в радиодиапазоне, испускает рентгеновские лучи, и наоборот. Эта смена режимов не нашла объяснений в современных моделях пульсаров, а в баллистической теории она естественно предсказывается. Когда в ходе орбитального движения лучевое ускорение a_r меняет знак или пересекает уровень $-a_0$, сдвиг частоты ритц-эффектом меняет знак или снижается, и ускорение звезды переводит свет звезды уже не в рентгеновский, а в радиодиапазон. Когда a_r восстанавливается, радиолучи гаснут. Замирания радиоизлучения открыты и в двойном пульсаре PSR J0737-3039, где одна звезда постоянно генерирует импульсы с периодом $P_1' = 23$ мс, а вторая – с периодом $P_2' = 2,8$ с – лишь в отдельных точках орбиты. Это объясняют тем, что быстрый пульсар (периода P_1'), обегая медленный пульсар (периода P_2') за период $P_3 = 2,4$ часа, регулярно усиливает его импульсы своим магнитным полем. В баллистической теории эти «замирания» следуют из того, что ускорение пульсара лишь в отдельных орбитальных фазах подходит близко к $-a_0$, образуя частокол импульсов X-излучения, как у Геркулеса X-1. В остальное время ускорение далеко от $-a_0$, и в частоколе возникают провалы (Рис. 1.29). У пульсара с $P_1' = 23$ мс амплитуда колебаний a_{1r} велика и рождает вспышки постоянно. Отдаление ускорения от $-a_0$ ведёт к регулярному удлинению периода $P_1' = P_1(1 + a_r/a_0)$ на 0,1 %. Вариации P_1' объясняют доплер-эффектом $P_1' = P_1(1 + V_r'/c)$ при $V_r' = ca_r/a_0 = 300$ км/с и «растяжением» времени в поле тяготения пульсаров, хотя по баллистической теории и эффекту Ритца истинные скорости и гравитационные поля пульсаров – на порядки ниже расчётных.

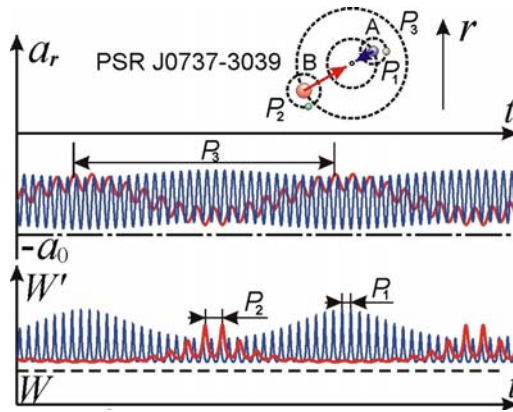


Рис. 1.29. Схема двойного пульсара, графики лучевых ускорений его компонентов и результирующие колебания блеска.

Возможна обратная ситуация: увеличение видимой светимости и сокращение периода пульсаций, в ходе приближения ускорения звезды к $-a_0$, ведёт к исчезновению рентгеновских вспышек. Подобный эффект наблюдался у рентгеновского пульсара GX-1+4, период пульсаций которого в течение 15 лет сокращался, пока в 1985 г., достигнув минимума, не стал так же быстро нарастать (Рис. 1.30). Для объяснения этих вариаций P_1' формально приняли, что трение и давление газа, разгонявшее вращение звезды, стало тормозить её вращение [199]. Но до сих пор однозначно не выяснены причины смены направления и сохранения величины силы трения, которая к тому же немислимо велика, т.к. за 10 лет в 2 раза увеличила гигантскую энергию вращения пульсара. С точки зрения баллистической теории, вариации периода вызваны ритц-эффектом, который мог плавно изменять период. Сначала в ходе орбитального движения звезды среднее ускорение $a_{2r} = a_2 \cos(\omega t)$ приближалось к $-a_0$, сокращая период $P_1' = P_1 + P_0 \cos(\omega t)$, а затем стало отдаляться, наращивая P_1' , где $P_0 = P_1 r a_2 / c^2$. Поскольку масштаб времени $dt' = dt/k$ сжат пропорционально коэффициенту сжатия i , то найдём, что $t' = t + P_0 \sin(\omega t) / \omega P_1$. То есть, наблюдаемый график $P_1'(t')$ представляет собой трохлоиду. Возле минимума, заострения трохлоиды, период убывает и растёт почти линейно, что выявлено у GX-1+4. Небольшие отклонения от трохлоиды вызваны спутниками, реально открытыми и ведущими к малой вариации a_r и соответствующим колебаниям периода. В момент, когда период достиг минимума $P_1' \approx 100$ с, звезда перестала излучать рентгеновские лучи. В рамках баллистической теории это вызвано тем, что выросшая степень сжатия i переводит оптическое излучение звезды уже не в рентгеновский, а в гамма-диапазон. Но в гамма-лучах звезду на тот момент не исследовали, и её переменность в гамма-диапазоне – под вопросом.

Сходная ситуация была открыта у барстеров – объектов, генерирующих короткие рентгеновские импульсы с периодом повторения в несколько часов. С точки зрения баллистической теории, барстеры тоже могут оказаться обычными звёздами, обегаемыми спутниками, которые своим тяготением вызывают регулярные вариации ускорения a_r звезды. Когда a_r достигает значения $-a_0$, свет звезды, наращивая интенсивность и частоту излучения в сотни раз, преобразуется в рентгеновские вспышки. Это объясняет, почему спектр вспышек барстеров подобен тепловому спектру звезды, но только сдвинутому из оптического в рентгеновский диапазон. У барстеров интервал P_1' между вспышками варьирует на 30–50 %. При нарастании средней светимости звезды период между вспышками сокращается [183].

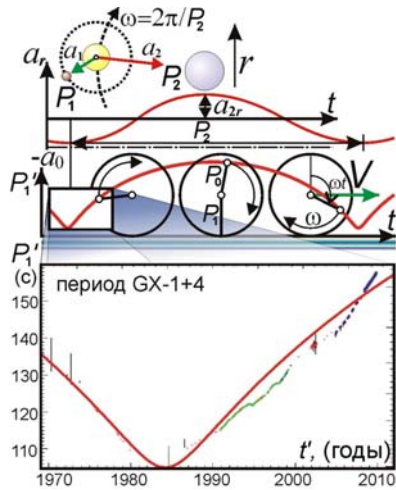


Рис. 1.30. Вариации периода P' у пульсара GX-1+4 и барстеров за счёт ускорения звезды.

В рамках баллистической теории это объяснимо тем, что ускорение a_r звезды в поле тяготения третьей звезды близко к $-a_0$, за счёт чего эффект Ритца усиливает средний блеск звезды в сотни раз, переводя в рентгеновский диапазон и сокращая видимый период P_1' обращения спутника и вызванных им вспышек с лет до часов. Тяготение спутника регулярно подводит лучевое ускорение a_r звезды ещё ближе к $-a_0$, наращивая блеск. А третья звезда, медленно варьируя a_{2r} , меняет степень сжатия i ритц-эффектом (1.33.b). Когда эффект Ритца наращивает яркость, он пропорционально сжимает период P_1' между вспышками [183] (Рис. 1.30). Когда светимость достигает критической величины, вспышки исчезают, т.к. ритц-эффект переводит излучение уже не в рентгеновский, а в гамма-диапазон, в котором не проводят измерений. Действительно, критическая мощность излучения 10^{30} Вт – в 10^4 раз выше светимости звезды типа Солнца [183], соответствуя сжатию периода колебаний поля в $i \approx 10^4$ раз и росту их частоты до 10^{19} Гц – границы рентгеновского и гамма-диапазона.

У барстеров глубина модуляции $m = a_1/(a_0 + a_{2r})$ ускорения спутником близка к единице (Рис. 1.32), за счёт чего у вспышек яркость в сотню раз выше средней [183]. Наращивая яркость в 100 раз, ритц-эффект в 100 раз сжимает длительность вспышки. У пульсаров, при малой глубине модуляции a_r по закону $a_r = a_{2r} + a_1 \cos(2\pi t/P_1)$, время вспышки (окно) равно времени, в течение которого $a_r \approx -a_0$, что составляет величину t , при которой $\cos(2\pi t/P_1) \sim 1$, так что $\cos(2\pi t/P_1) \geq 0,95$, откуда $t \sim 0,05P_1$ [183]. У барстеров, вследствие высокой степени сжатия $i \sim 100$, окно вспышки будет в сто раз короче: $t \sim 0,0005P_1$, что соответствует наблюдаемому окну вспышки [183]. При $P_1 = 10$ часов у барстеров длительность вспышек $t \sim 0,0005P_1 \sim 10$ с, что близко к измеренной длительности вспышек [183]. Кроме того, вспышки барстеров растянуты за счёт дисперсии и переизлучения света межзвёздным газом [182, 188]. Поэтому вспышки барстеров резко разгораются и плавно, экспоненциально угасают. С этим же связано резкое начало и плавное угасание гигантских вспышек у источников Мягких Повторных Гамма-всплесков (МПГ), например, у SGR 1806-20. Так же и эпохи спада активности МПГ, как у пульсаров и барстеров, могут быть вызваны изменением величины эффекта Ритца за счёт вариаций ускорения a_r или длины пути света $r = l$. Не случайно у пульсаров включения и замирания радиоизлучения обычно наблюдаются при глитчах – резких скачках периода, тоже, вероятно, обусловленных изменением степени сжатия i .

Характерные особенности открыты также у вспышек радиопульсаров. Фрэнк Дрейк из обсерватории Аресибо (Пуэрто-Рико) открыл, что у пульсаров «каждый из прожекторных пучков не однороден, а состоит из множества меньших пучков, которые выбрасываются подобно пулемётной очереди» [170]. То есть каждый импульс состоит из ряда субимпульсов. С позиций баллистической теории это можно интерпретировать как вариации блеска звезды не только под влиянием ускорения, сообщённого главным спутником-звездой, но и под влиянием ускорения от тяготения меньших спутников-планет. Их влияние придаёт графикам лучевых ускорений и блеска сложную нерегулярную форму. Когда ускорение звезды в поле тяготения спутников ненадолго приближается к $-a_0$, вспыхивает симметричный субимпульс.

Быстрые колебания блеска звёзд под влиянием тяготения планет реально открыты, скажем, у звезды OGLE-2003-BLG-235L, однако их интерпретируют в общей теории относительности (ОТО) как фокусировку света полем тяготения планет. В рамках баллистической теории одна звезда, проходя перед другой, усиливает её блеск по эффекту Ритца, тогда как планета, добавочно варьируя ускорение звезды возле значения $-a_0$, может резко менять её блеск [A43, A47]. Причём наблюдаемая форма импульсов в виде двойных пиков точно соответствует предсказаниям баллистической теории и эффекта Ритца (Рис. 1.31). Видимо, одним из первых подобную идею кратковременного усиления яркости планетами по эффекту Ритца, как альтернативы объяснению микролинзированием, выдвинул Р.С. Фритциус [216].

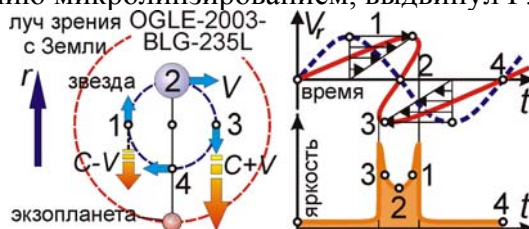


Рис. 1.31. Колебания яркости звезды, вызванные эффектом Ритца при движении возле неё экзопланеты, например у звезды OGLE-2003-BLG-235L.

В случае пульсаров, если период обращения звезды кратен периоду обращения спутника, субимпульсы появляются в одном и том же участке импульса, или дрейфуют к его краю, если периоды не точно кратны. Субимпульсы могут возникать и от переменной радиояркости звезды типа Солнца, где вариации радиосветимости связаны с циклами солнечной активности, вспышками и вращением активных зон, генерирующих радиоизлучение. Это объясняет, почему импульсы радиоизлучения, усиленные ритц-эффектом, менее стабильны и однородны, имеют другой спектр и форму, чем оптические, от постоянного свечения звёзд [182].

Отдельные радиоимпульсы пульсаров отличает огромная интенсивность, превосходящая в сотни раз обычную интенсивность импульсов. Баллистическая теория объясняет подобные гигантские импульсы либо вспышками (у Солнца вспышки усиливают радиоизлучение на порядки), либо предельным сближением ускорения звезды со значением $-a_0$, в ходе движения вокруг третьей звезды (Рис. 1.29). Поэтому излучение усилено в течение всего импульса, а не только в интервалы коротких субимпульсов от спутников. Однако вариация ускорения спутниками ведёт к быстрым колебаниям яркости на хвосте гигантской вспышки, как у МПП и сверхновых [A39]. При этом эффект Ритца не только наращивает интенсивность излучения в сотни раз, но и генерирует рентгеновское и гамма-излучение, скажем у пульсара PSR B1937+21. Если гигантские импульсы обусловлены орбитальным движением, то в таком случае естественно, что они возникают лишь в отдельных точках орбиты, и регулярно повторяются. Например, у пульсара PSR J1752+2359 каждый 270-й импульс – гигантский.

Другая особенность пульсаров – это интеримпульсы, – менее интенсивные импульсы, генерируемые в интервале между основными, например у пульсара PSR B0906–49. Генерацию двух разных импульсов за период объясняют, как у магнитных звёзд [86], – поочерёдным поворотом к Земле разных полюсов звезды. Однако данная гипотеза не объясняет принципиальное различие спектра интеримпульсов, созданных компаньоном двойной звезды, движущимся в противофазе с главной звездой (Рис. 1.27). Соответственно, его импульс сдвинут на полпериода и характеризуется иным спектром, на что впервые обратил внимание Р. Фритциус – американский радиоинженер, отстаивающий баллистическую теорию [197].

При этом следует учесть, что звёзды сообщают свету разную скорость, за счёт чего интеримпульс отстаёт не точно на полпериода. Двойной импульс может наблюдаться и на кривой блеска одной звезды [A41]. Если кривая лучевых ускорений пересекает уровень $-a_0$, тогда изображение звёзд и число вспышек удваивается, поскольку вспышки создаёт не только ветвь графика $a_r(t)$ выше линии $-a_0$, но и ветвь, проходящая ниже, на которой порядок событий – обратным, а вспышки возникают со сдвигом по фазе (Рис. 1.26). В случае, если график $a_r(t)$ подходит к линии $-a_0$ с двух сторон в разной степени, то за счёт разной степени сжатия вспышки будут иметь разную интенсивность и наблюдаться в разных частотных диапазонах

электромагнитных волн. Это объясняет, почему у пульсара в Парусах вспышки в радиодиапазоне сдвинуты по фазе относительно вспышек в гамма- и оптическом диапазоне [183].

Генерация нескольких типов излучений открыта также у объекта Swift J1822.3–1606: ему присущи свойства и рентгеновских, и радиопульсаров. Существование двух типов пульсаров, с точки зрения баллистической теории связано с тем, что для рентгеновских пульсаров ускорение ниже критического $-a_0$, а у радиопульсаров – выше. Тогда преобразование частоты по эффекту Ритца у этих пульсаров разное, поскольку при $a_r < -a_0$ переворачивается порядок событий. В итоге, у радиопульсаров период нарастает (за счёт приливного трения), а у рентгеновских пульсаров период сокращается, т.к. для них по эффекту Ритца, при $a_r \leq -a_0$ и $P' = P(1 + a_r/a_0) \leq 0$, все процессы выглядят не просто ускоренными, но идущими в обратную сторону. Подобное иллюзорное сжатие ритц-эффектом периодов и «обратное движение» по орбите удалось открыть также у экзопланет, типа WASP-33b (см. § 1.4).

У отдельных пульсаров возле точки пересечения линии $-a_0$ графиком $a_r(t)$ можно наблюдать сразу и те и другие свойства. Открыты также аномальные рентгеновские пульсары (АХР), периоды которых порядка 10 секунд и растут, как у радиопульсаров. С позиций баллистической теории это можно объяснить ростом степени сжатия i и P по мере отдаления лучевого ускорения a_r от $-a_0$. Аномальными пульсары АХР назвали также ввиду неопределённости источника их энергии, поскольку они вращаются медленно и не обнаруживают следов аккреции. Предполагают, что эти пульсары представляют собой магнетары, черпающие энергию из своего магнитного поля. Не удаётся объяснить аккрецией и рентгеновское излучение семи близких пульсаров (RXJ), названных «великолепной семёркой» (Рис. 1.32). В рамках баллистической теории и эффекта Ритца энергия рентгеновских лучей АХР и RXJ черпается из простого света звёзд. Это объясняет, почему спектр пульсаров и барстеров сходен с тепловым спектром звёзд, сдвинутым ритц-эффектом в рентгеновский диапазон, словно их температура T_c составляет миллионы градусов [183]. Орбитальное движение пульсаров меняет их ускорение и сдвиг спектра по ритц-эффекту, что воспринимают как колебания температуры T_c на миллионы градусов, как у Скорпиона X-1 [182]. Не зря его спектральные линии ходят в противофазе с периодом 4 дня (Рис. 1.27), открытым астрономом В.М. Лютым [182], сторонником баллистической теории [171]. Смещения линий отвечают скоростям V_r' в тысячи км/с, хотя их, вероятно, смещает ритц-эффект, и реальные скорости звёзд заметно ниже. Также и форма импульсов пульсаров близка к расчётной по баллистической теории.

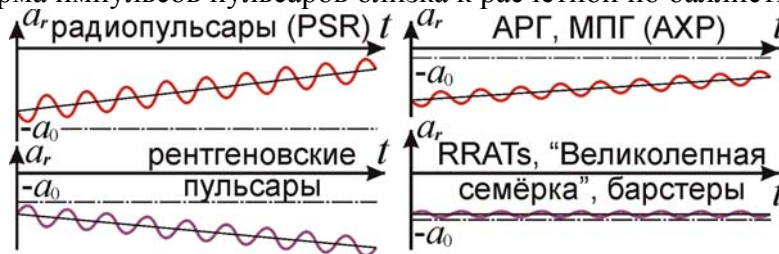


Рис. 1.32. Разные типы пульсаров и барстеров, как результат вариаций блеска и спектра эффектом Ритца за счёт различия графиков $a_r(t)$.

Ускорение видимых движений пульсаров ведёт к ускоренному снижению орбитального периода в двойных пульсарах, хотя у других звёзд и планет приливное трение сокращает орбитальный радиус и период чрезвычайно медленно (как у спутника Марса – Фобоса). Быстрое сокращение периода интерпретируют в рамках ОТО как потерю энергии на гравитационные волны в гигантском поле тяготения пульсаров. Однако рассчитанные в рамках ОТО массы пульсаров столь велики, что превышают теоретический предел массы нейтронной звезды (около двух масс Солнца), скажем у пульсара PSR J1614-2230. В рамках баллистической теории орбитальный период двойных пульсаров может быть велик и должен меняться медленно. Однако за счёт ритц-эффекта эти вариации можно наблюдать ускоренными.

Аналогично, быстрый поворот орбит двойных пульсаров, достигающий 10° в год, объясняют тем, что в их тесных системах в гигантских полях тяготения велики эффекты ОТО. Орбиты двойных звёзд медленно вращаются за счёт возмущений [76, 129], как орбита Меркурия, которая за век поворачивается ввиду возмущений со стороны планет на $0,15^\circ$, и ещё

на $42''$ – за счёт релятивистских поправок к силе тяготения. Однако у пульсаров ритц-эффект ускоряет видимое вращение орбит в тысячи раз. Тогда поворот на $2''$ в год воспримется на Земле как поворот орбиты на несколько градусов в год. Согласно баллистической теории, подобный эффект убыстренного вращения орбиты наблюдается и у других переменных звёзд (см. § 1.5) – карликовых цефеид и звёзд типа RR Лиры в виде эффекта Блажко [A23, A24].

У двойных пульсаров открыта также аномально быстрая прецессия оси, ведущая к регулярному прекращению пульсаций, что тоже интерпретируют как эффект ОТО. С точки зрения баллистической теории, имеет место только медленная прецессия осей звёзд и орбит их спутников под возмущающим воздействием гравитационных полей других тел. Но за счёт ритц-эффекта прецессия орбит выглядит тысячекратно ускоренной, приводя к периодичной утрате пульсаций у ряда пульсаров и цефеид. Так, если ось Земли в ходе прецессии делает полный оборот за 26000 лет, то у двойного пульсара PSR J0737-3039 – уже за 75 лет.

Также ритц-эффект наращивает скорость видимого движения пульсаров, например, у пульсара Кальвера. Типичные скорости звёзд – порядка 10 км/с, а видимое движение пульсаров соответствует скоростям порядка 1000 км/с, как у пульсара в созвездии Парусов, а также у пульсаров IGR J11014–6103 и PSR J1357–6429. В современной теории пульсаров их высокие скорости объясняют гипотезой кика – «толчка», полученного пульсаром при взрыве сверхновой. Однако существование двойных пульсаров и планет – вокруг пульсаров с почти круговыми орбитами противоречит этой гипотезе, поскольку удар сопровождался бы разрушением двойных и планетных систем или искажением их орбит. Напротив, ритц-эффект естественно объясняет ускорение видимых движений в тысячи раз, что как раз даёт видимые скорости в тысячи км/с. Аномально быстрые движения звёзд открыты и в созвездии Стрельца, в центре Галактики, где расположен радиоизлучающий объект Стрелец-А (Sgr A*), где в ИК-диапазоне открыты звёзды, движущиеся по орбитам с гигантскими скоростями. Поэтому центральный объект считают сверхмассивной чёрной дырой с массой порядка миллиона солнечных. С точки зрения баллистической теории этот объект может оказаться обычной звездой, которая вместе с окружающими её звёздами-спутниками движется вокруг центра Галактики с ускорением порядка $a_r = -c^2/r$. Соответственно, все движения звёзд кажутся ускоренными ритц-эффектом в тысячи раз. Также эффект усиливает радиоизлучение звёзд в Стрельце-А, переводя оптическое излучение звезды в радиоизлучение, за счёт ускорения g на её поверхности. Не случайно в той же области Sgr A* открыто несколько пульсаров, кажущаяся быстрота движений которых тоже может быть вызвана эффектом Ритца.

Таким образом, наблюдаемые свойства пульсаров лучше согласуются с предсказаниями баллистической теории, чем с выводами теории относительности. Современные астрономические и радиоастрономические наблюдения пульсаров позволяют проверить критерии выбора между баллистической теорией и теорией относительности.

§ 1.7. Эффект Ритца как механизм генерации гиролиний рентгеновских пульсаров, радиоизлучения квазаров, радиопулсаров и космических мазеров

В рамках баллистической теории удаётся объяснить не только вариации светимости и радиосветимости пульсаров, но и особенности их спектров. В частности, у рентгеновских пульсаров обнаружены пики (гиролинии) на сплошном рентгеновском спектре [183]. Эти линии объясняют излучением от электронов, которые вращаются в мощном магнитном поле звёзд. Более простое объяснение следует из эффекта Ритца, который способен сдвигать оптические эмиссионные линии атомов в рентгеновский диапазон. Также может высвечиваться характеристический рентгеновский спектр атомов межзвёздного газа, поскольку ритц-эффект, наращивая по пути к Земле частоту света звёзд, плавно сдвигает её в рентгеновский диапазон. В тот момент, когда частота f' достигает характерных резонансных частот атомов, излучение сильно поглощается и эффективно переизлучается. В результате свет звезды, переведённый в характеристический рентгеновский спектр, далее не преобразуется.

Аналогичное явление позволяет объяснить яркие эмиссионные туманности, окружающие цефеиды и сверхновые звёзды, если учесть переизлучение межзвёздным газом, в котором концентрация атомов $N \sim 1 \text{ см}^{-3}$. Это объясняет спектр космических мазеров и эмиссионных туманностей вокруг звёзд [A47, A48]. Поскольку эффективность поглощения и рас-

сеяния света нарастает возле резонансных частот f_{0i} линейчатого спектра атомов и молекул, то свет звёзд, по мере движения плавно меняющий частоту ритц-эффектом, будет эффективно поглощаться и переизлучаться по достижении частотой света f' этих частот f_{0i} . Действительно, согласно (1.9), показатель преломления n стремительно растёт возле резонансных частот $f_{0i} = c/\lambda_i$. В итоге, для этих частот длины переизлучения $l_i = \lambda_i/2\pi(n - 1)$ снижены: свет эффективно поглощается и переизлучается возле частот f_{0i} , и далее эффект Ритца не меняет частоту света. Тогда значительная доля мощности излучения звезды высвечивается в виде ярких эмиссионных линий на частотах f_{0i} . Отсюда и следует существование эмиссионных туманностей вокруг цефеид и сверхновых, для которых эффект Ритца особенно велик [А48].

Сходное явление открыто у инфракрасных звёзд, у которых эффект Ритца, напротив, снижает частоту излучения, переводя свет в ИК- и радиоизлучение. Для них тоже заметная часть оптического излучения звезды высвечивается в форме радиоизлучения характерных частот молекул СО и Н₂О межзвёздного газа, сквозь который идёт свет звезды. Поэтому объекты назвали космическими мазерами, хотя механизм преобразования их света в излучение радиолоний – во многом неясен [43, 182]. Напротив, эффект Ритца легко преобразует всё излучение звезды в характерные частоты ИК- и радиодиапазона. Не зря мазерный эффект [183, с. 377] сопровождается сильным радиоизлучением и типичен для мирид и «красных сверхгигантов», для которых преобразование частоты ритц-эффектом особенно велико (§ 1.5).

Спектр радиопульсаров, с точки зрения баллистической теории, тоже может быть тепловым чернотельным спектром излучения звезды, преобразованным в радиодиапазон эффектом Ритца. Против чернотельной природы радиоизлучения пульсаров, как полагали, свидетельствует тот факт, что их спектральная плотность мощности S – это убывающая функция частоты f , а для чернотельного излучения в радиодиапазоне, согласно формуле Джинса, мощность S должна расти как квадрат частоты $S \propto f^m = f^2$. Но за счёт эффекта Ритца в радиодиапазон может попасть и ниспадающая ветвь оптического спектра. А возрастающая ветвь попадёт в низкочастотную область, и видна в области «завала» спектра. Действительно, спектр излучения пульсаров с его характерным максимумом и спектральным индексом $m = -2$ в области завала подобен планковскому чернотельному излучению звёзд. Полагали, что спектр пульсаров нельзя объяснить как тепловой, поскольку расположение спектрального максимума в радиодиапазоне по закону смещения Вина соответствует крайне низкой температуре источника, при которой мощность излучения, согласно закону Стефана-Больцмана, была бы много ниже наблюдаемой. Если истинная температура источника высока, а спектральный максимум смещён в радиодиапазон эффектом Ритца, то в этом случае мощность излучения может быть высока, то есть много больше, чем следующая из закона Стефана-Больцмана. Кроме того, радиоизлучение пульсаров, в принципе, может иметь ту же природу, что и радиоизлучение обычных звёзд, то есть иметь тепловой, циклотронный или синхротронный механизм. Если обычно мощность этого излучения невелика, то ритц-эффект способен на порядки усилить это радиоизлучение звёзд (см. § 1.6).

Так же ритц-эффект преобразует излучение с обратной стороны галактик, если в них эффект переизлучения снижен, скажем, в эллиптических галактиках, где концентрация газа мала. Их спектр смещается в высокочастотную область – в ультрафиолетовый, рентгеновский и гамма-диапазоны. Это объясняет природу ультрафиолетовых галактик [136] и избыток синего цвета у квазаров: несмотря на смещение их спектра на видимой стороне в красную область (в инфракрасный и радиодиапазон [211]), свет с обратной стороны смещён в синюю область. Объясняет это и мощные источники рентгеновского излучения в ядрах далёких галактик, которые могут оказаться звёздами со спектром, изменённым эффектом Ритца: он и «превращает» галактики в квазары, лацертиды, взрывающиеся и сейфертовские галактики [188]. Оттого ядра сейфертовских галактик – это мощные источники радиоизлучения.

Радиоизлучение квазаров и сейфертовских галактик испытывает быстрые случайные вариации, которые не могут отражать реальных изменений радиояркости, занимающих века при гигантских размерах галактик. Но эти вариации могут быть вызваны изменением степени преобразования частоты света по ритц-эффекту в межзвёздном газе: быстрые вариации концентрации ионов, происходящие в меньших объёмах под влиянием УФ-лучей, сильно меняют степень переизлучения, вызывая быстрые вариации радиояркости и частоты света

галактик по эффекту Ритца. Примерно так и турбулентность в земной атмосфере ведёт к быстрым мерцаниям звёзд, хотя сами звёзды не могут менять блеск столь быстро. Особенно силён ритц-эффект в галактиках, где мала концентрация межзвёздного газа. Не зря эллиптические галактики, в которых переизлучения межзвёздным газом почти нет, часто оказываются источниками рентгеновского и радиоизлучения, — радиогалактиками. Хотя сейфертовские галактики и квазары сходны, у сейфертовских галактик красное смещение систематически ниже, чем следует по закону Хаббла для обычных галактик, а у квазаров — систематически выше [222, с. 184]. Дело в том, что сейфертовские галактики — это гигантские галактики с ядрами большого радиуса R [211]. Поэтому параметр Хаббла $H = V^2/Rc$ и красное смещение для них ниже. У квазаров, напротив, R меньше, а $H = V^2/Rc$ — выше, чем у обычных галактик.

Радиогалактики и квазары обнаруживаются лишь с дистанций $r > 1000$ Мпк, причём интенсивность радиоизлучения и концентрация радиогалактик и квазаров быстро нарастают при удалении [182, 223]. Это не могли объяснить иначе как избытком числа радиогалактик во Вселенной прежних эпох, т.к. более далёкие галактики, от которых свет идёт дольше, мы наблюдаем в более ранние эпохи, что интерпретируют как эволюцию Вселенной. В рамках баллистической теории Вселенная может быть бесконечной, вечной и не расширяться (§ 1.2), в среднем не меняясь со временем, что подтверждает отсутствие изменений структуры и концентрации галактик на больших расстояниях, в прежние эпохи, отвечающие высоким $z \sim 6$, когда галактики по теории Большого взрыва ещё только формировались [224].

Преобразование света звёзд в инфракрасный и радиодиапазон вызвано в основном не ускорением в галактиках, а ускорением на поверхности звёзд, которое на порядки выше, и наращивает λ не в разы (как при красном смещении), а тысячекратно, преобразуя свет в радиоволны. Тогда доля радиоизлучения растёт пропорционально пройденной светом дистанции r , и число эллиптических галактик, воспринимаемых как радиогалактики, будет нарастать с удалением r , в согласии с наблюдениями [223]. Трансформация оптического излучения в радиодиапазон объясняет, почему мощность излучения галактик, квазаров и радиогалактик одного порядка: $W \sim 10^{37}$ Вт [225]. Так же и для квазаров: с расстоянием их численность, концентрация растёт, но с некоторой дистанции начинает снижаться, и при $z \sim 3$ резко спадает [222]. Видимо, излучение смещается в длинноволновую область радиодиапазона, и объекты уже не воспринимают как квазары, а их излучение поглощается межгалактическим газом при достижении соответствующих резонансных частот. С переизлучением может быть связано и то, что красные смещения квазаров группируются возле некоторых значений (например, $z \approx 2$ [15]). Частота света падает по эффекту Ритца до тех пор, пока не достигнет следующей резонансной частоты, а затем эффективно переизлучается и далее не меняется. Поскольку частоты спектральных серий водорода жёстко связаны, то смещения основных линий, например H_α , группируются возле определённых z . С переизлучением межзвёздным газом связан и вид спектров квазаров и радиогалактик: он представляет собой наложение спектров разных звёзд с разной степенью смещения, которые от неравного переизлучения света разных частот, могут формировать спектр любого профиля, обычно — степенной.

Таким образом, баллистическая теория света не только прекрасно согласуется с наблюдаемыми особенностями рентгеновского и радиоизлучения звёзд, но и позволяет объяснить ряд их свойств, непонятных в рамках традиционных моделей.

§ 1.8. Искажение видимой структуры изображений звёзд, планет и галактик

Орбитальное и осевое вращение звёзд, помимо искажения их спектра и блеска, должно приводить также к искажению видимой формы звёзд — растяжению или сжатию их изображений вдоль траектории движения. Это связано с тем, что разные участки звезды, обладающие за счёт вращения разными лучевыми скоростями, испускают свет с разной скоростью и он достигает Земли за неодинаковое время. Соответственно земной наблюдатель может одновременно регистрировать свет удаляющегося и приближающегося края звезды из разных положений на орбите, а от участков с промежуточными лучевыми скоростями — из промежуточных положений. Соответственно изображение звезды покажется растянутым вдоль траектории её движения. Чтобы доказать это, рассмотрим звезду на расстоянии r , с радиусом R и угловой скоростью ω (Рис. 1.33). Один край звезды удаляется от нас с окружной скоростью

$v = \omega R$, а другой – с той же скоростью приближается. По баллистическому принципу скорость света c механически складывается со скоростью испустивших его точек, участков звезды. Поэтому свет от приближающегося края M придёт к нам за время $r/(c + \omega R)$, а от удаляющегося N – за время $r/(c - \omega R)$ и воспримется примерно на время $T = 2r\omega R/c^2$ позднее.

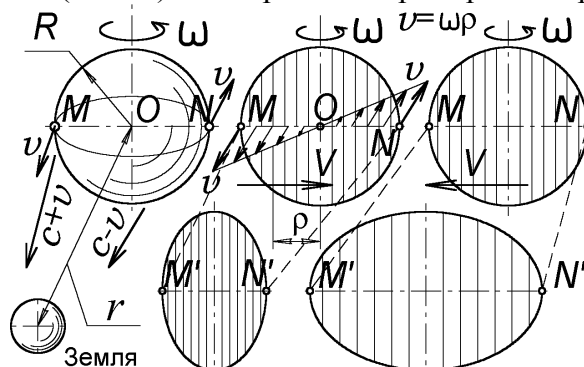


Рис. 1.33. Запаздывание света от правого края звезды по сравнению с левым приводит к искажению её видимой формы.

За это время звезда, летящая поперёк луча зрения со скоростью V , сместится на расстояние $S = VT = 2rV\omega R/c^2$. Поэтому свет от двух краёв звезды, видимых одновременно, фактически испущен в разные моменты времени, из разных положений звезды, разнесённых на расстояние S . Другие точки звезды, отстоящие от оси вращения на величину прицельного параметра ρ , обладают промежуточными лучевыми скоростями $\omega\rho$, заполняя весь отрезок S . То есть, согласно баллистической теории, звёзды покажутся имеющими вид не точек, а штрихов. Изображение звезды будет «смазанным», «размытым» вдоль траектории полёта. Но при имеющихся линейных и окружных скоростях звёзд, их размытие S столь мало, что даже сквозь сильнейшие телескопы звезда будет видна как точка. Разрешение лучших астрономических труб составляет порядка $1'' - 0,1''$. А угол, под которым виден отрезок S , равен $\alpha \approx S/r = 2V\omega R/c^2$ радиан, что даже для самых быстрых звёзд с $V \sim 200$ км/с и $\omega R \sim 200$ км/с даёт угол размыва в $0,2''$. Поэтому для большинства звёзд "вытянутость" незаметна.

Тем не менее, в настоящее время стали широко развиваться интерферометрические методы телескопии, дающие столь высокие угловые разрешения (до $0,0001''$), что становятся различимыми диски звёзд. Действительно, такие наблюдения выявили эффект вытягивания у звёзд с быстрым вращением. Примером может служить звезда α Эридана (Ахернар), у которой окружная скорость на экваторе $\omega R \sim 240$ км/с. Видимый диск α Эридана имеет форму не круга, а вытянутого эллипса с отношением осей 2:3 (Рис. 1.34). Как признают астрофизики, быстрое вращение не может придать этой звезде столь высокое экваториальное сжатие [271]. Кроме того, звезда такой формы неустойчива и была бы разорвана центробежными силами.

Эллиптичность α Эридана может быть мнимой, от искажения видимой формы звезды (Рис. 1.34). Если условно разбить диск звезды на полосы шириной $d\rho$, то эффект размытия создаст видимый сдвиг $S/2 \sim rV\omega\rho/c^2$ каждой полосы, пропорциональный её лучевой скорости $\omega\rho$ и прицельному параметру ρ – расстоянию полосы до центра O . В зависимости от направления тангенциальной скорости \mathbf{V} звезды, её видимый размер $M'N'$ растянется или сожмётся по сравнению с MN на длину S , придав диску звезды форму эллипса (Рис. 1.33). Это объясняет наблюдаемую форму и других быстро вращающихся звёзд – Регула (α Льва) и Альтаира (α Орла), экваториальный радиус которых на 20–30% превышает полярный (Рис. 1.34), что близко к пределу разрыва звёзд. У Регула видимые яркости полюсов и экватора мало отличаются, хотя по теореме фон Цайпеля полюса, расположенные ближе к ядру звезды, обладали бы избытком яркости. Это доказывает, что истинная форма звезды близка к шару, а распределение температуры и яркости по её поверхности близко к однородному и вытянутая форма таких звёзд – иллюзорна. Не нашло объяснений и сжатие видимого диска Регула вдоль вектора скорости \mathbf{V} звезды, словно ось её вращения сонаправлена с \mathbf{V} . Напротив, теория Ритца предсказывает растяжение-сжатие звёзд вдоль вектора \mathbf{V} , даже если ось вращения перпендикулярна орбитальной скорости \mathbf{V} (Рис. 1.34), что типично для двойных систем.

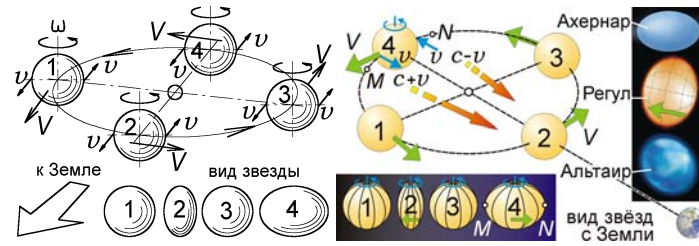


Рис. 1.34. Изменение видимой формы звезды в зависимости от положения на орбите и направления движения.

Искажения видимой формы обнаружены также у цефеид. В частности, у Полярной звезды, как у ближайшей к нам цефеиды, предполагали обнаружить радиальные пульсации, но фактически, в зависимости от фазы колебаний, диск звезды менял не размер, а форму, попеременно становясь вытянутым или сжатым, словно разные участки звезды пульсировали неодинаково. Тот же эффект обнаружен у долгопериодической переменной звезды Миры Кита. В рамках баллистической теории эффект получил естественное объяснение, поскольку орбитальное движение звезды должно синхронно менять видимый блеск и форму звезды.

Поскольку лучи света от движущегося к Земле края звезды M опережают лучи света от удаляющегося края N , то при орбитальном движении звезды в направлении MN её диск «сжмётся» вдоль MN (положение 2 на Рис. 1.34). В противоположной точке орбиты звезда, смещаясь в направлении NM , напротив, «растянется» (положение 4 на Рис. 1.34). Колебания видимой формы звёзд, в такт их движению по орбите, реально зафиксированы ИК- и оптическими интерферометрами, скажем у β Лиры (Рис. 1.35) и θ_2 Ориона (Рис. 1.39). Кроме искажений видимой формы у α Цефея и β Лиры (Рис. 1.35), открыто, что в такт с орбитальным движением меняется поляризация, в согласии с баллистической теорией [A41]. Если плоскость орбиты и ось звезды наклонена к лучу зрения r , а угловая скорость ω её слоёв меняется по широте (*дифференциальное вращение*), то колебания формы звезды приобретут более сложный характер. Если у звёзд, вращающихся как жёсткое тело, видимый диск растягивается пропорционально и наблюдается как эллипс, то у звёзд с дифференциальным вращением экваториальные сегменты вращаются с избытком угловой скорости ω по сравнению с полюсами, вызывая избыточное растяжение экватора. Такая неэллиптическая форма выявлена у α Жертвенника (Рис. 1.35). Если зависимость угловой скорости ω от широты φ имеет форму

$$\omega(\varphi) = \omega_0 - \omega_1 \sin^2 \varphi,$$

(характерную для Солнца, где $\omega_0 = 0,25$ рад/сут, $\omega_1 = 0,05$ рад/сут), то видимая форма диска звезды, если ось y направлена по оси вращения, а x – по экватору, задана уравнением

$$x(y) = (R^2 - y^2)^{1/2} + rV\omega(\varphi)(R^2 - y^2)^{1/2}/c^2 = (R^2 - y^2)^{1/2}(1 + [\omega_0 - \omega_1 y^2/R^2]rV/c^2).$$

При $\omega_1 = 0$, то есть в отсутствие дифференциального вращения, эта зависимость имеет вид эллипса. А при $\omega_1 \neq 0$ видимый диск звезды приобретает более сложную форму (Рис. 1.35).

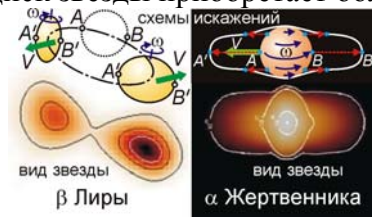


Рис. 1.35. Искажение видимой формы звёзд при однородном и дифференциальном вращении.

Подобные сложные колебания размеров и форм, необъяснимые в рамках теории пульсаций, зарегистрированы посредством интерферометров также у Бетельгейзе (α Ориона). В такт с колебаниями блеска с периодом 6,4 года эта звезда меняет свои размеры и форму, но иначе, чем следует из теории пульсаций. Для интерпретации неправильных колебаний видимой формы звезды астрофизики выдвинули гипотезу, согласно которой звезда имеет неправильную форму, и по мере вращения поворачивается к Земле участками, имеющими разные контуры и яркости. С точки зрения теории Ритца эти колебания яркости и формы могут быть мнимыми, вызванными движением звезды, обладающей сферической формой и однородной яркостью. Измерения средних диаметров таких звёзд посредством интерферометров показы-

вают их колебания в такт с колебаниями блеска, хотя истинные размеры и абсолютные светимости звёзд неизменны (Рис. 1.34). Так же и зарегистрированное интерферометрами в период с 1993 по 2009 г. сжатие видимого диска Бетельгейзе на 15% с преобразованием формы из круглой в эллиптическую, при неизменной яркости и скорости вращения звезды, вполне объяснимо с позиций теории Ритца, по которой эти вариации – просто оптическая иллюзия.

Эффект вытягивания изображений звёзд вдоль траекторий их полёта, от разницы скоростей испущенных ими лучей света, впервые предсказал О. Коши [245, с. 141]. На баллистический эффект изменения видимой формы крутящейся звезды при её движении впервые обратил внимание автора К.А. Хайдаров в 2006 г. (ранее эффект вытягивания изображений звёзд вдоль орбиты автор отметил в работе [А21]). Хайдаров показал, что при справедливости теории Ритца звезда Вега (α Лиры), обладающая огромной скоростью вращения, казалась бы заметно вытянутой, а фактически интерферометрические методы анализа формы звёзд показали, что диск Веги имеет форму круга. В ответ на это автор возразил, что ось вращения Веги, как известно, направлена вдоль луча зрения \mathbf{r} , и окружные скорости разных участков её поверхности не имеют лучевой составляющей и оттого не могут приводить к растяжению изображения звезды. То есть таким образом, наблюдения Веги не противоречат теории Ритца.

При интерферометрии цефеид открыта и другая аномалия: некоторые из них, например Полярную, окружала прозрачная кольцевая оболочка-кокон, в 2-3 раза превосходящая размерами звезду и раз в 20 уступая ей в яркости [272]. Природа и стабильность этих «коконов» не нашла объяснений. С точки зрения теории Ритца такой кольцевой след мог оставить спутник, который, облетая вокруг главной звезды, и вызывает своим тяготением вариации её блеска по эффекту Ритца. При достаточной скорости вращения, изображение спутника может растянуться вдоль всей его орбиты и предстанет перед нами в виде сплошного светящегося кольца или эллипса, окружающего главную звезду (Рис. 1.36). У Полярной полное размытие спутника возникнет в случае, если разность времён хода $T = 2r\omega R/c^2$ превысит орбитальный период P Полярной, составляющий 4 дня и равный периоду колебаний блеска. Расстояние r/c до Полярной в световых годах составляет 430 лет, что в 40000 раз больше её орбитального периода P . То есть, для создания эффекта полного кольцевого «размытия», спутник должен обладать на экваторе окружной скоростью $\omega R > c/(2r/cP) = c/(2 \cdot 40000) \approx 4$ км/с. То есть размытие – вполне вероятно. Например, Солнце имеет на экваторе скорость вращения 2,3 км/с.

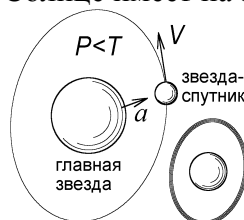


Рис. 1.36. "Кокон" вокруг цефеид, как результат «размытия» изображений спутников вдоль орбиты в кольцо (справа).

Подобные кольца наблюдались не только у цефеид, но также у обычных звёзд и галактик, причём подобный эффект был предсказан ещё в 1970 г. Б. Уоллесом [284], задолго до того, как такие искажения удалось наблюдать через телескопы-интерферометры. Как правило, астрономы приписывают такие кольца действию гравитационных линз. Эти кольца редко замкнуты и чаще имеют форму узкого серпа. Если структуры созданы «размазанным» вдоль орбиты изображением звезды, то их вид определяется степенью размытия T/P , – соотношением разности времён хода T и орбитального периода P . Изображения звёзд с большим орбитальным периодом (в годы) обычно не могут растянуться вдоль всей орбиты, и такие звёзды наблюдаются в форме серпов, эллиптических дуг или отдельных штрихов (Рис. 1.37).

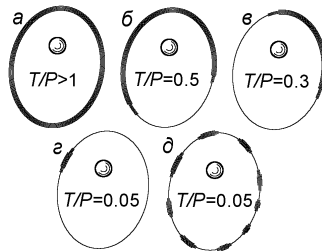


Рис. 1.37. Формы размытия звезды: а) кольцо, б) серп, в) дуга, г) штрих, д) пунктир (мультипликация $i = 8$).

Образованные спутником дуги смещаются в ходе его движения по орбите, и могут как окружать центральную звезду, так и пересекать её, если орбита спутника проецируется на диск звезды. Тогда покажется, что от звезды отходит протяжённый светящийся выброс, удаляющийся от звезды или образующий петли, наподобие протуберанцев. Подобные протяжённые «выбросы», «джеты», «истечения газа» открыты в ходе интерферометрических наблюдений у ряда переменных звёзд, включая Полярную звезду, Бетельгейзе, *o* Кита и другие. Столь мощные «выбросы» не могут быть реальными истечениями вещества, однако могут быть иллюзорными, размытыми изображениями летящего по орбите спутника или группы спутников цефеиды, а порой, возможно, и размытым в линию изображением главной звезды или её ярких участков, протуберанцев, обладающих избытком скорости. Такие «размытые» вдоль траекторий кратные звёзды формируют изображения светящихся клубков с размерами много большими, чем у звёзд. Сами звёзды будут казаться яркими пятнами на поверхности «звёзд-гигантов»: яркий пример – Бетельгейзе. Это приведёт к завышению угловых размеров звёзд-гигантов, переменность которых как раз связана с орбитальным движением (§ 1.5). Размытыми изображениями звёзд могут оказаться также светящиеся волокна, образующие сложно переплетённые клубки волокнистых туманностей, которые принимают за планетарные туманности и остатки вспышек сверхновых (*плерионы*) [A41]. Если по официальной теории трудно объяснить механизм свечения и стабильности «газовых волокон», то по теории Ритца это – всего лишь изображения звёзд, «размытые» вдоль траекторий их полёта.

В форме таких дуг, штрихов видны и объекты, имеющие вместо одного – ряд изображений. Умножение изображений тоже пытались связать с гипотетическими гравитационными линзами. Но звезду можно видеть в нескольких точках её орбиты и в том случае, если испущенный ей в разное время с разной скоростью свет приходит к Земле синхронно. Тот же эффект с учётом вращения звезды приведёт к размытию каждого точечного изображения в дугу, штришок, вытянутый вдоль орбиты (Рис. 1.37.д). Такой вид имеет объект 0024+1654 ().

Аналогично объясняется открытое в туманности Андромеды (M31) кольцо из сотен одинаковых красных звёзд, а внутри него – меньшее кольцо из синих звёзд. В рамках современных астрофизических моделей природу и стабильность этого скопления звёзд не удалось объяснить, даже при гипотезе о сверхмассивной чёрной дыре в центре колец. В рамках баллистической теории кольца могут образовать две звезды (или два шаровых звёздных скопления) – синяя и красная, вращающиеся возле центра масс *O* по эллиптическим орбитам (Рис. 1.38). В итоге изображения звёзд размножены на тысячи отдельных, видимых одновременно вдоль орбиты. Поэтому оба кольца лежат в одной плоскости – общей плоскости их орбиты.

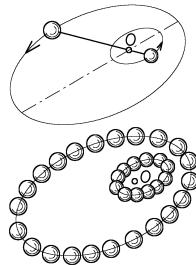


Рис. 1.38. Вращение двойной звезды или двух шаровых скоплений звёзд (вверху) создаёт два ожерелья из звёзд, нанизанных на орбиты.

Ускоренное видимое движение звёзд в системах пульсаров позволяет объяснить и окружающие их туманности, где хорошо различимы волокна и джеты – струи светящегося газа,

якобы выстреленного пульсарами. С точки зрения баллистической теории «волокон» могут быть размытыми изображениями звёзд, за счёт вращения посылающих свет с разной скоростью из разных точек своей поверхности и орбиты [A23, A24]. Свет, испущенный в разное время, достигает наблюдателя одновременно, и звёзды выглядят размытыми вдоль траекторий полёта, формируя светящийся клубок траекторий (Рис. 1.39). Размытые изображения звёзд наблюдаются в оптическом, ИК- и рентгеновском диапазоне. Орбитальные рентгеновские телескопы позволили обнаружить джеты, вылетающие со скоростью порядка световой из объекта Скорпион X-1. С точки зрения баллистической теории эти джеты и их гигантская скорость могут оказаться иллюзией от «размытия» звёзд вдоль траектории полёта. «Трассирующие» изображения видны и у пары звёзд θ Ориона. «Хвосты» и «выбросы» обнаружены и у Миры Кита [283], UV Кита, Бетельгейзе, у которых ритц-эффект проявился и в колебаниях блеска и в рентгеновских вспышках звезды UV Кита [182].

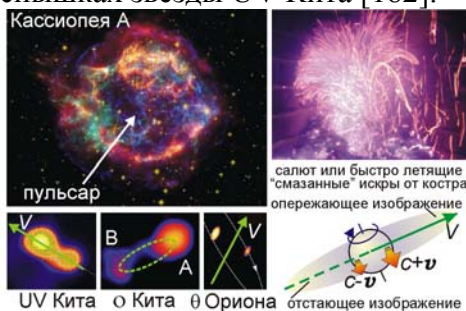


Рис. 1.39. Размытие звёзд вдоль траекторий полёта как механизм формирования видимых волокнистых туманностей, хвостов, джетов, светящихся дисков у звёзд.

Подобные вытянутые вдоль траектории полёта светящиеся структуры обычно интерпретируют как газопылевые хвосты, выбросы звёздного ветра и шлейфы межзвёздного газа, свечение которого возбуждает быстро движущаяся звезда. С точки зрения баллистической теории эти вытянутые структуры имеют более простое объяснение ввиду размытия изображений быстро движущихся звёзд [A23, A24]. В отличие от реальных пылевых дисков, наблюдаемых у звёзд типа Фомальгаута, хвосты и светящиеся диски отличаются аномальное поведение: они возникают и исчезают, как у звезды ТУС 8241-2652. Так же и волокна, например, в Кассиопее А, возникают из пустоты, двоятся и исчезают [182]. Это доказывает, что дуги, джеты и «хвосты» звёзд представляют собой оптические иллюзии, поскольку возникновение и исчезновение кратных звёздных изображений (так называемых «привидений») давно предсказывалось теорией Ритца [181]. В рамках современной теории пульсаров не удаётся также объяснить природу светящегося тора из гелия, опоясывающего пульсар в Крабовидной туманности и некоторые другие пульсары (Рис. 1.40). С точки зрения баллистической теории, этот тор может оказаться не реальным кольцом газа, а формироваться гелиевыми звёздами класса В, обращающимися возле пульсара и образующими размытые вдоль круговых орбит прозрачные следы со спектром гелия. Изображения звёзд, размытые и размноженные вдоль круговых орбит, в таком случае и должны формировать тор [A41].

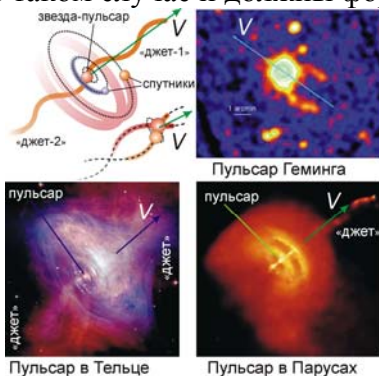


Рис. 1.40. Схема образования джетов, хвостов, колец и туманностей у пульсаров и их примеры.

Чем выше скорость V звезды, тем заметней вытянуто её размытое изображение. Это позволяет понять, почему пульсары с быстрым видимым движением, скажем IGR J11014–6103,

оставляют длинные светящиеся шлейфы (Рис. 1.40), «джеты», вытянутые вдоль траектории полёта пульсаров (у пульсара в Парусах, у Геминги, у PSR J0535+2200). Эти структуры в рамках пульсарных теорий удаётся объяснить лишь в рамках гипотезы о совпадении вектора скорости V пульсаров с осью их вращения, вдоль которой выстреливаются джеты. Но такой полёт пульсаров вдоль оси вращения маловероятен и противоречит расчётному направлению их осей [182]. Джеты, вытянутые вдоль вектора скорости V пульсаров, часто извиваются в виде синусоид, спиралей, например, у пульсара Парусов и Геминги. Это может быть связано с движением звезды по волнистой траектории (Рис. 1.40), ввиду её регулярного отклонения тяготением спутников [A41]. По той же причине «хвосты» пульсаров обычно отклоняются на несколько градусов в сторону от траектории полёта, и нередко удаётся наблюдать второй «хвост», выходящий под углом к первому и оставленный более лёгким спутником, например у объекта IGR J11014–6103. Яркие сгустки в джетах могут быть просто изображениями звезды, размноженными вдоль траектории её полёта. В пульсарных теориях для объяснения этих аномалий вводят всё более сложные новые гипотезы, предполагая, что пульсар выбрасывает газ сгустками, очередями. Но эти гипотезы не объясняют протяжённые рентгеновские хвосты таких пульсаров как PSR J0357, «хвост» которого по данным орбитальной обсерватории «Ферми» имеет протяжённость в 4 световых года и излучает столько же энергии, сколько сам пульсар и содержит яркие пятна, удалённые от пульсара. Напротив, баллистическая теория элементарно объясняет «хвосты» пульсаров, представляющие собой размытое изображение звезды, оставляющей яркий след вдоль траектории полёта в виде пятен, а также объясняет природу гигантской светимости «хвоста», сопоставимой со светимостью самой звезды.

Так же и туманности-плерионы, остающиеся на месте вспышек сверхновых, согласно баллистической теории, могут быть образованы изображениями звёзд, «размытыми» вдоль траекторий. Поэтому туманности обычно вытянуты вдоль вектора скорости V пульсара. Это хорошо видно на примере вытянутой Крабовидной туманности и доказывает, что интенсивно излучающие туманности со сложной симметричной структурой, возникшие на месте вспышек сверхновых II типа, – иллюзорны, так же как взрывы таких звёзд (§ 1.5). Напротив, туманности сверхновых типа Ia, имеющие простую форму сферы, беспорядочно заполненной клубами пыли и газа, реальны и представляют собой следы реального взрыва звёзд от сверхновых I типа [A44]. Не исключено, что сложная форма некоторых туманностей-плерионов тоже обусловлена «размытием» звёзд, летящих вокруг центральной звезды.

В планетарных туманностях эффект Ритца не столь силён, как в плерионах. Поэтому центральная звезда и туманность почти не испускают рентгеновских и радиолучей. Для современных теорий основную трудность представляло объяснение природы оптического свечения планетарных туманностей и всеволнового излучения туманностей-плерионов. Предполагалось, что его поддерживает центральная звезда, излучающая свет и потоки энергичных частиц, хотя это означает гигантскую мощность излучения звезды. А у ряда плерионов, скажем у Петли Лебеда центральная звезда вообще не обнаружена. В рамках баллистической теории такие свойства туманностей вполне естественны, если туманности представляют собой результат размытия и рассеяния света многих звёзд, излучение которых усилено ритц-эффектом. Это объясняет, почему при частоте вспышек сверхновых II типа – раз в 50–100 лет, туманностей-плерионов в Галактике сравнительно мало [191]. Поскольку в рамках теории Ритца вспышки SN II – это иллюзии, а не реальные взрывы, оставляющие после себя туманности и пульсары [182], то плерионы должны быть образованы размытыми изображениями звёзд, группирующихся в скопление вокруг центральной яркой звёзды. Поскольку звёзды-спутники есть не у каждой вспыхивающей звёзды, то большинство вспышек SN II оставляют после себя одиночные пульсары без туманностей вокруг. Действительно, наблюдаемое число пульсаров лучше соотносится с ожидаемым числом остатков вспышек SN II.

Ускоренное сближение на скорости V' звёздных скоплений, формирующих туманности-плерионы, объясняет и их быстрое «расширение». Рост углового размера $\alpha = \rho/r$ туманности вызван не ростом её радиуса ρ , а сокращением дистанции r (Рис. 1.41). Рост углового размера

$$d\alpha/dt = V'\rho/r^2$$

объясняют расширением туманности после взрыва со скоростью

$$V_t = r d\alpha/dt = V'\rho/r.$$

Если ритц-эффект наращивает видимую скорость V' в миллионы раз, по сравнению с истинной скоростью $V \sim 10$ км/с, то при $\rho/r \sim 0,001$, типичном для туманностей в Тельце и Кассиопее, найдём $V_i \sim 10000$ км/с – гигантские скорости «расширения». С точки зрения баллистической теории, эти скорости могут оказаться мнимыми. Теория объясняет и рост скорости расширения туманностей, тогда как при образовании туманностей в ходе взрыва, межзвёздная среда лишь тормозила бы выброшенный взрывом газ. В рамках баллистической теории у Крабовидной и других туманностей наблюдается рост скорости $V_i = V'\rho/r$ исключительно от сокращения дистанции r . При $V' \sim 10^{10}$ м/с, $V_i \sim 10^6$ м/с и $r \sim 10^{20}$ м получим ускорение

$$a_i = dV_i/dt = V_i V' / r \sim 10^{-4} \text{ м/с}^2,$$

близкое к измеренному у Крабовидной туманности [192]. Параллельно слабеет радиоизлучение туманностей от снижения r и a_r . В Крабовидной туманности росту периода пульсара на 0,04% в год сопутствует спад радиояркости $W' = W/(1 + ra_r/c^2)$ на доли процента в год [192].

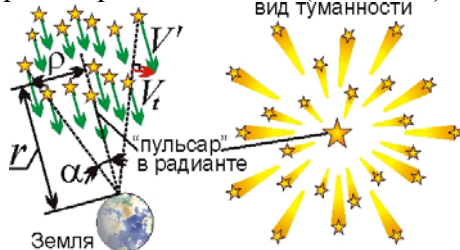


Рис. 1.41. Ускоренное видимое движение звёздного скопления производит впечатление расширения из радианта, где виден яркий неподвижный пульсар.

От сближения и роста видимого размера звёздного скопления его звёзды кажутся разбегающимися из центра и оставляют в ходе размытия радиальные треки, аналогично параллельным следам метеоров, расходящимся из центра-радианта (Рис. 1.41). Эти светящиеся треки тоже принимают за волокна газа, выброшенного взрывом. Радиальное движение звёзд открыто и у другого скопления в созвездии Тельца – у Гиад, где звёзды, напротив, движутся к радианту – скопление «сжимается» ввиду удаления [86]. Радиальные волокна наблюдаются и в планетарных туманностях. И только центральная звезда ($\rho = 0$), для которой $V_i = V'\rho/r = 0$, не смещается и выглядит яркой точкой, которую и принимают за пульсар (так же и метеор в радианте имеет вид яркой вспышки, а не трека). В рамках этой гипотезы удаётся объяснить, почему у звезды в центре туманности Кассиопея А спектр свидетельствует о наличии углеродной атмосферы, которая невозможна для пульсара, но типична для многих звёзд.

В туманностях обнаружено и расширение аморфной структуры. Это связано либо со световым эхо – засветкой вспышкой всё новых участков межзвёздных облаков, либо со звёздным ветром – потоками плазмы от звезды, образующими её корону. Вокруг сверхновых звёзд и пульсаров яркость расширяющейся короны увеличена ритц-эффектом в миллионы раз, отчего корона, светящийся межзвёздный газ и размытые изображения звёзд выглядят как туманность. Эффект Ритца, повышая мощность и частоту циклотронного радиоизлучения электронов в магнитном поле звёзд, делает и его видимым. Всё это объясняет поляризацию и высокую светимость Крабовидной туманности. При этом потоки звёздного ветра должны наблюдаться как джеты. В отличие от тонких ярких «джетов», образованных «размытием» звёзд, эти широкие диффузные джеты, заметные в Крабовидной туманности, реальны и имеют переменную толщину, ввиду расширения газа при удалении от пульсара. Джеты тоже размыты вдоль линии полёта пульсара ввиду разницы скоростей света от разных участков.

Быстрое движение пульсаров, помимо растяжения их изображений, ведёт также к мнимому растяжению орбит электронов вдоль линии полёта звезды, то есть линейно поляризует их излучение вдоль траекторий полёта [A41]. Поэтому волокна туманностей и джеты пульсаров поляризованы вдоль осей волокон и вдоль линии полёта пульсара, скажем, у пульсара в созвездии Парусов. Поскольку пульсар летит по круговой орбите, то направление поляризации его излучения меняется вслед за направлением мгновенной скорости пульсара, в такт с колебаниями его яркости [A41]. За счёт осевого вращения звезды излучение электронов поляризуется ещё и по кругу в направлении вращения звезды. Подобное явление открыто также у полярных, типа AM Геркулеса и DQ Геркулеса, синхронно с колебаниями блеска меняю-

щих направление поляризации в ходе орбитального вращения звезды, которую считают белым карликом [195]. С точки зрения баллистической теории, это – обычная звезда, меняющая яркость, спектр и поляризацию по эффекту Ритца. Аморфное излучение туманностей тоже поляризовано за счёт размытия и отражения, рассеяния света звезды облаками газа.



Рис. 1.42. Искажение видимой формы галактик за счёт их вращения и движения.

У галактик разница скоростей света, испущенного разными участками, тоже искажает их видимую форму [A40], на что также обратил внимание американский физик С. Девасиа [82]. Видимо, так и формируются аномальные галактики с деформированными краями типа NGC 660 [228], с полярными кольцами типа NGC 4650A, галактики с «выбросами», в виде сигары, как упомянутая М 82, или прямоугольные галактики типа LEDA 074886 (Рис. 1.42). Это размытие вдоль линии полёта со скоростью V ведёт к тому, что эллиптические галактики, сжатые вдоль оси вращения, кажутся вытянутыми вдоль этой оси, и наблюдается несоответствие скорости вращения и видимого сжатия галактики [182]. Подобный эффект наблюдался также у звёзд, однако у галактик его наблюдать проще, за счёт высоких окружных скоростей – порядка 100 км/с, и отсутствия переизлучения межзвёздным газом.

Подобный эффект можно наблюдать и в Солнечной системе, но поскольку искажения растут пропорционально дистанции r , заметить их сложнее. Так, изображение Юпитера растянется за счёт скорости его вращения по орбите $V = 13$ км/с и вокруг оси $\omega R = 12,5$ км/с всего на $S = 2rV\omega R/c^2 = 3$ км, теряемых на фоне истинного экваториального уширения $\Delta R \sim 10000$ км. У колец Сатурна, наклонённых на угол $\varphi = 27^\circ$ к вектору орбитальной скорости $V = 9,5$ км/с и крутящихся со скоростью $\omega R = 17$ км/с, тоже удалось бы наблюдать небольшое растяжение $S_1 = rV\omega R/c^2 = 2,5$ км, «повернувшее» кольца на угол $\alpha = S_1 \sin\varphi/R = 2''$ (Рис. 1.43). Поскольку кольца вращаются с разной угловой скоростью ω , то и растянуты, повернуты они в разной степени $S_1 \neq S_2$. В итоге видимое возвышение внутреннего края кольца над внешним составит ~ 1 км. Действительно, на фотографиях с АМС «Кассини» обнаружен поворот плоскости одних колец относительно других на небольшой угол, что предположительно обусловлено возмущениями со стороны спутников [229]. Поскольку искажения S растут пропорционально r , вблизи Сатурна они малы. Так что кольцо выглядит почти плоским, – толщиной около 100 м. А с Земли кольцо выглядит имеющим толщину порядка 1 км, чего не могли объяснить, т.к. теоретически кольцо должно иметь толщину лишь в несколько метров. Поэтому было признано, что видимая толщина кольца – иллюзорна [230, 273]. Действительно, согласно теории, все частицы кольца расположены в один слой [229]. Поэтому утолщение кольца объясняется как раз искажениями от неравенства скоростей света.

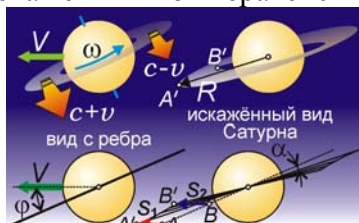


Рис. 1.43. Искажение видимой формы колец Сатурна за счёт движения и вращения.

На галактических масштабах r искажения заметней, скажем, у цефеид и звёзд типа Миры Кита (Рис. 1.39), у которых видны выбросы, хвосты – от «размытия» вдоль траектории.

В рамках теории Ритца легко интерпретировать и реликты [226] – вытянутые структуры, волокна, которые ввиду искажений не похожи на галактики, но могут быть обычными галактиками, которые от быстрого движения выглядят размытыми вдоль траектории движения. Чем дальше галактика, тем сильнее смазано её изображение, поскольку искажение пропорционально дистанции r . При этом свет таких структур будет сильно поляризован вдоль или поперёк структуры. Последний случай реализуется, например, в реликте CIZA 2242+53 (Рис. 1.44), поскольку изображения отдельных звёзд в галактике смазываются также в направлении галактического вращения, на которое наложено общее движение галактики. Тогда видимые траектории звёзд галактики имеют форму спиралей, витки которых и создают поляризацию, поперечную к реликту [A39, A41]. Похожие спирали, циклоиды наблюдаются и в нашей Галактике, например, в волокнистой туманности Гамак и т.п. [211].

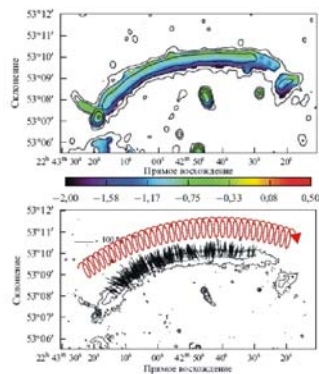


Рис. 1.44. Карта распределения радиояркости (*вверху*) и поляризации (*внизу*) объекта CIZA 2242+53 как результат «размытия» изображения галактики вдоль траектории движения.

У галактик за счёт меньшей роли эффекта переизлучения умножение изображений наблюдать проще. П. Бергман предсказывал в рамках баллистической теории эти лишние изображения-миражи и считал отсутствие таких «духов», «привидений» аргументом против теории Ритца [181]. Когда же кратные изображения реально обнаружили в 1979 г. [164], назвав «духами», их сочли подтверждением теории относительности, интерпретируя как эффект гравитационных линз, несмотря на ряд противоречий. Так, у первого из открытых двойных квазаров QSO 0957+561 изображения явно вытянуты вдоль эллипса (Рис. 1.45).

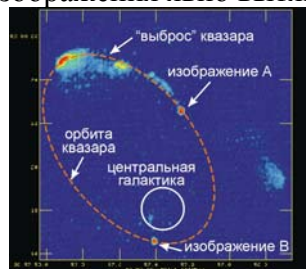


Рис. 1.45. Умножение числа изображений у квазара QSO 0957+561, летящего по орбите вокруг центральной галактики.

Поскольку в теории гравитационных линз это непонятно, то лишние изображения считают помехами, либо выбросами галактик – джетами, хотя они не отличаются от других изображений. Если галактика движется прямолинейно, то умножение изображений ведёт к появлению цепочек галактик, например VV 172 и NGC 1490 [188]. Подобные цепочки образуют иногда и звёзды, причём ряды изображений звёзд связаны штрихами, волокнами [211]. Их тоже можно интерпретировать как результат размножения звёздных изображений и размытия их корон вдоль траектории полёта. Характерны кратные изображения и для объектов Гербига-Аро, где число сгущений и яркости W' быстро меняются по эффекту Ритца (1.16).

Таким образом, наблюдаемые посредством интерферометров искажения форм звёзд и галактик служат косвенным свидетельством в пользу баллистической теории.

§ 1.9. Невязки планетной радиолокации и их баллистическая коррекция

Влияние скорости источника или отражающего свет тела на скорость излучённого или переизлучённого света привело бы также к сильным искажениям в космической радиолокации, так как в расчёте дистанции $r = c't$ по времени движения t радиосигнала фигурирует скорость света c' и неучёт её переменности (1) приведёт к ошибкам в измерении дистанций r .

Действительно, уже в 1960-х гг. в первых сеансах радиолокации Венеры, осуществлённых группой В.А. Котельникова в СССР и И. Шапиро – в США, выявили систематические расхождения (на сотни километров превысившие возможные ошибки) между измеренными радаром положениями планеты и предвычисленными положениями – эфемеридами, рассчитанными из данных астрономии [32–34]. Как показал Б. Уоллес [19, 20], расхождения снизятся в разы, если учесть баллистическую зависимость (1) скорости света от скорости источника – радара на Земле, обладающего скоростью v ввиду осевого вращения Земли, вращения системы Земля-Луна и обращения вокруг Солнца. Сообщение радиолучу скорости v меняет его скорость $c + v$ и время t движения сигнала, по которому ищут расстояние r Земля-Венера (Рис. 1.46). Расчётное расстояние ct (или $ct/2$, с учётом времени движения отражённого луча), найденное из постоянной скорости света c , отличается от истинного расстояния $(c + v)t$.

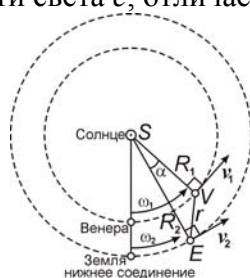


Рис. 1.46. Схема движения Земли и Венеры возле нижнего соединения, в приближении круговых орбит.

Влияние осевого вращения Земли, сообщаящей свою окружную скорость (~ 500 м/с) радиолучам, проявилось, например, в том, что радиолокационные станции СССР и США, расположенные в противоположных точках Земли при синхронных замерах расстояний до Венеры, получали разные значения. Как отмечено Б. Уоллесом [19, 20, 28], А.К. Шуруповым [35], С.А. Базилевским и В.И. Секериным [36], систематически больше получалось значение расстояний у станций, которые в ходе суточного вращения в момент измерения отдалялись от Венеры, соответственно снижая по баллистической теории скорость радиосигнала, ведя к избытку времени запаздывания t и расчётной дистанции r' . Напротив, у станций, приближавшихся к Венере, расстояния получались систематически меньше, что в рамках теории Ритца вызвано увеличением скорости c' радиосигнала и уменьшением времени задержки t .

Одной из целей радиолокации Венеры было уточнение астрономической единицы (*a.e.*) – радиуса земной орбиты R_2 (среднего расстояния Земли от Солнца, Рис. 1.46). По измеренной радаром дистанции r Земля-Венера, из углов в треугольнике SVE (Солнце-Венера-Земля) вычисляли расстояние R_2 Земля-Солнце, пропорциональное r . Вопреки названию, расчётная *a.e.* регулярно менялась [21] с периодами, равными суткам, месяцу и синодическому году Венеры, с которыми менялась относительная скорость радаров, вносящая отклонения в расчётные дистанции Венеры и R_2 [19, 20]. Радарное значение *a.e.* отличалось и от значения, измеренного методом визуальной астрометрии. Причём разница превысила погрешность этих методов, что не нашло объяснений [21, 32], хотя ожидалось по баллистической теории.

Венера при сближении тоже сообщает свою скорость v_r отражённому сигналу, и он достигает Земли за меньшее время t , занижая расчётное r . После предельного сближения с Землёй в нижнем соединении, Венера удаляется: скорость сигнала $c' < c$, и он тратит большее время t , завышая r . В итоге, до соединения расчётные значения дистанции Земля-Венера $r' = ct/2$ и значения *a.e.* получались ниже реальных, а после соединения – выше (Рис. 1.47) [21].

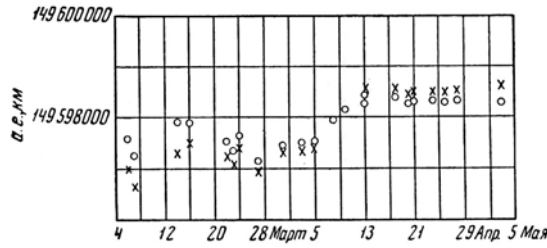


Рис. 1.47. Значения астрономической единицы в зависимости от даты сеанса радиолокации [21, с. 190] (нижнее соединение – 11 апреля 1961 г.).

Поскольку сигнал лишь к Венере идёт со скоростью c относительно Земли, пролетая путь r за время $\tau_1 = r/c$, а отражённый сигнал при лучевой (радиальной) скорости Венеры v_r вернётся со скоростью $c' = c - v_r$ за время $\tau_2 = r/c'$, то общая задержка $\tau = \tau_1 + \tau_2 = r/c + r/c'$. Найденное из номинальной скорости c расстояние $r' = c\tau/2 \approx r + rv_r/2c$ превысит реальное r на $\Delta r = rv_r/2c$. Из треугольника SVE в приближении круговых орбит (Рис. 1.46) лучевая скорость Венеры $v_r = (\omega_1 - \omega_2)R_1R_2 \cdot \sin(\alpha)/r$, где $\omega_1 = 3,2 \cdot 10^{-7}$ рад/с, $\omega_2 = 2 \cdot 10^{-7}$ рад/с – угловые гелиоцентрические скорости, соответственно, Венеры и Земли, $R_1 = 108 \cdot 10^9$ м, $R_2 = 150 \cdot 10^9$ м – радиусы их орбит, $\alpha = (\omega_1 - \omega_2)t$ – гелиоцентрический угол VSE между ними, а t выражено в сутках, истёкших с момента нижнего соединения.

$$\Delta r = r' - r = (\omega_1 - \omega_2)R_1R_2 \cdot \sin[(\omega_1 - \omega_2)t]/2c \approx 3350 \cdot \sin(0,011t) \text{ км.} \quad (1.36)$$

То же отклонение, выраженное в световых секундах (по времени задержки), есть

$$\Delta \tau = \Delta r/c \approx 0,011 \cdot \sin(0,011t) \text{ с.} \quad (1.37)$$

Фактически наблюдаются именно такие вариации систематических ошибок-невязок расстояний Δr (Рис. 1.48.а) или времён $\Delta \tau$ (Рис. 1.48.б), т.е. разностей измеренных τ_o и вычисленных τ_c по таблицам Ньюкома. Внесение этих поправок (1.36) и (1.37), учитывающих баллистический принцип, снижает систематические отклонения: остаются лишь случайные ошибки, которые ещё снизятся, если учесть влияние вращения Земли на скорость сигналов [19, 20] и переизлучение межпланетной средой. По мере роста дистанции r и слоя пройденной межпланетной плазмы, переизлучённый ею сигнал восстанавливает скорость c , и отклонения перестают расти при отдалении от нижнего соединения (Рис. 1.48). Эффективность переизлучения можно оценить, сопоставив r с толщиной переизлучающего слоя плазмы $l = \lambda/2\pi(n - 1)$, согласно формуле (1.2), на основе рассчитанного для данной длины волны λ показателя преломления n , оцененного по концентрации межпланетной плазмы, газа и пыли.

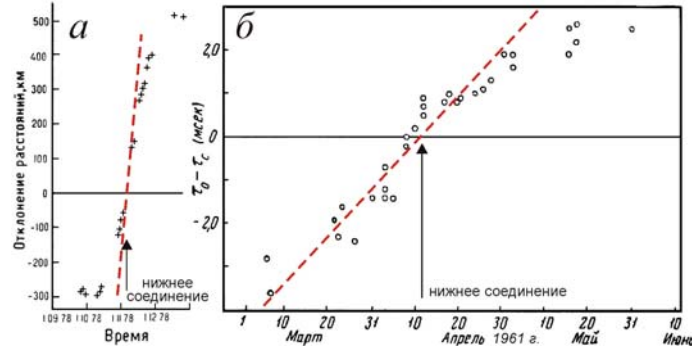


Рис. 1.48. Отклонения радарных расстояний Венеры от эфемеридных (по таблицам Ньюкома), измеренные в километрах (а, кресты) [22] и световых миллисекундах (б, кружки) [21, с. 242], в сравнении с предсказанными зависимостями (1.36) и (1.37) по теории Ритца (пунктир).

При концентрации электронов и ионов в межпланетной плазме $N' \sim 0,1 \text{ см}^{-3} = 10^5 \text{ м}^{-3}$ [183, с. 398] и при рабочей длине волны $\lambda \sim 30$ см (соответствующей частоте радиосигналов $f = c/\lambda \sim 1$ ГГц [37]), расчётный показатель преломления ионосферы [116] составит

$$n = \sqrt{1 - 80,6N'/f^2} \approx 1 - 40,3N'/f^2, \quad (1.38)$$

а длина переизлучения, согласно формуле (1.2), достигнет значений

$$l \sim \frac{\lambda}{2\pi|n-1|} \sim \frac{1,2 \cdot 10^6 f}{N'} \sim 12 \text{ млн. км.} \quad (1.39)$$

То есть, длина переизлучения сопоставима с расстоянием между планетами в нижнем соединении ~ 42 млн. км. Это объясняет, почему при увеличении в течение двух месяцев ($t = 60$ сут) межпланетной дистанции от значения в 42 млн. км до значения

$$r = \sqrt{R_1^2 + R_2^2 - 2R_1R_2 \cos(\omega_1 - \omega_2)t} \approx 89 \text{ млн. км}$$

невязки перестают нарастать и экспериментальные точки всё сильнее отдаляются от зависимостей (1.36) и (1.37), построенных с учётом баллистической теории.

Значение длины переизлучения l нельзя рассчитать однозначно и точно, ввиду сложной зависимости концентрации плазмы от расстояния до Солнца (в том числе по причине наличия солнечного ветра, тяготения Солнца и давления солнечного света [183]).

Влиянием переизлучения в межпланетной плазме можно, в частности, объяснить несовпадение ~ 1000 км (выходящее за пределы ошибок радарных методов) значений астрономической единицы, измеренных разными радарными станциями на разных частотах 408 – 2388 МГц [37]. Действительно, на разных частотах f , согласно (1.38) и (1.39), различаются показатели преломления n и длины переизлучения l , а значит дистанции, в пределах которых скорость радиосигнала, отражённого Венерой, отличается от c . Как отмечено [37], эти различия нельзя списать на дисперсию межзвёздной среды, которая всегда занижала бы расстояния, измеренные на коротких волнах, а не на длинных. А фактически наблюдалось «отсутствие видимой связи между измеренными значениями астрономической единицы и частотой» [37]. Согласно баллистической теории, чёткой связи и не должно быть, раз на измеренную величину астрономической единицы влияет не только частота зондирующего сигнала (и длина переизлучения l), но и знак, и величина лучевой скорости Венеры v_r , а значит, – и даты сеансов радиолокации, которые, так же как частоты, различались у разных обсерваторий.

Зависимость ошибок измерения дистанции Венеры от частоты f отмечалась и Б. Уоллесом, который связывал их с влиянием межпланетной плазмы [19]. Уоллес отметил, что амплитуда 30-дневных колебаний (вызванных колебанием скорости Земли при движении в системе Земля-Луна) радарного значения $a.e.$, измеренного на частоте $f \approx 440$ МГц ($\lambda \approx 70$ см) в 5 раз превышала амплитуду колебаний, измеренных на частоте $f \approx 1300$ МГц ($\lambda \approx 23$ см). Это различие Δr могло быть связано как с изменением дистанции r и концентрации плазмы N' в зависимости от даты локации (согласно Уоллесу, данные на частоте $f \approx 1300$ МГц были получены позднее), так и с разницей длин переизлучения для разных частот. Согласно (1.39), l должно быть выше для частоты $f \approx 1300$ МГц. Соответственно, и величина ошибок Δr на этой частоте получалась бы выше. Но следует учесть, что $f \approx 1300$ МГц соответствует длине волны $\lambda \approx 23$ см близкой к длине волны поглощения нейтрального водорода $\lambda \approx 21$ см, возле которой растёт отличие показателя преломления от единицы $|n - 1|$. В итоге, для $f \approx 1300$ МГц выросла бы эффективность переизлучения и снизилась бы длина переизлучения l , так что амплитуда ошибок могла бы стать ниже, чем на $f \approx 440$ МГц.

Поскольку систематические расхождения радарных данных с эфемеридами не удавалось объяснить, расхождения формально устраняли коррекцией эфемерид, например, внося поправки Данкомба, «сместившего» Венеру вперёд по орбите на 290 км, то есть увеличившего гелиоцентрическую долготу Венеры на $0''{,}55$ [21]. Поскольку и при этом остались расхождения, Венеру сместили ещё на 270 км, увеличив её гелиоцентрическую долготу ещё на $0''{,}52$ [38] и построив численную теорию движения планеты, соответствующую данным радаров [22]. Тем не менее, систематические расхождения в сотни км (соответствующие ошибке небесных координат Венеры $\sim 1''$) радарных данных с таблицами Ньюкома-Данкомба и с визуальными данными сохранялись на протяжении десятилетий [22, 23, 39] и до сих пор не объяснены. Согласие этих двух типов данных, как отмечено, – лишь удовлетворительное [23].

Принято считать, что значительные отклонения (~ 1000 км) имели место лишь в первых сеансах радиолокации, когда её точность была низкой, а в ходе уточнения её методов ошибки снизились на порядки. Но фактически расхождения эфемерид и данных радиолокации сохранялись всё время, и эфемериды постепенно корректировали по данным радаров. Не исключено, что в поправках Данкомба [186], формально сместившего Венеру вперёд по орбите на 300 км в эфемеридах 1960 г., были учтены результаты радиолокации Венеры 1958 г. в США (Лаборатория Линкольна) [198] и 1959 г. в Англии (Джодрел Бенк) [32]. В этих сеансах

впервые было открыто, что при удалении Венеры её дистанция превышает дистанцию, рассчитанную по эфемеридам. Тем самым поправки Данкомба произвели первую итерацию, коррекцию эфемерид, которая искусственно снизила расхождения между эфемеридами и радарными данными 1961 г. В ходе таких последовательных итераций результаты каждых последующих радарных замеров всё меньше расходились с эфемеридами [33, 40], претерпевавшими одну редукцию за другой. Однако систематическая ошибка измеренных положений Венеры, – в виде расхождения радарных измерений с визуальными угломерными измерениями, – сохранялась на протяжении десятков лет на уровне $\Delta \sim 1'' \sim 5 \cdot 10^{-6}$ рад [23, 40], хотя астрономические приборы (в т.ч. основанные на методах интерферометрии), совершенствовались. К настоящему времени их точность существенно выросла, достигнув сотых и тысячных долей угловой секунды. Таким образом, систематическая ошибка $\Delta \sim 1''$ в длинных рядах наблюдений на порядок превышает точность прежних астрометрических методов (и на порядки превосходит современную точность астроинтерферометров и радиотелескопов), соответствуя на дистанции Венеры систематическому смещению порядка $R_2 \Delta \sim 750$ км вперёд по орбите. Даже спустя десятилетие после первых сеансов радиолокации, 22 июля 1972 г. при входе АМС «Венера-8» в атмосферу Венеры было обнаружено значительное расхождение (более 500 км) между радарными положениями планеты и эфемеридными, рассчитанными на основе астрономических наблюдений и законов небесной механики [218, с. 67]. Поэтому в эфемериды стали вносить радарные поправки [22], тем самым внося в них значительные ошибки.

Эти ошибки ярко проявились в 2004, 2012 гг. при наблюдении прохождения Венеры по диску Солнца: моменты контакта планеты с диском Солнца отставали на время t порядка минуты [41, 42, 52] от эфемеридных [214, 217], содержащих радарные «поправки» [22], сместившие Венеру вперёд по орбите на сотни километров. Поскольку за это время $t \sim 1$ мин угловое смещение Венеры относительно Земли $\alpha = (\omega_1 - \omega_2)t$, а линейное – $\alpha R_1 = (\omega_1 - \omega_2)t R_1 \approx 500$ км, то задержка могла быть вызвана ошибочным «смещением» планеты вперёд по орбите по данным радаров. Это можно проверить в ходе более точных измерений положений Венеры, с использованием современных телескопов и радиотелескопов со сверхдлинной базой (РСДБ), поскольку радиоизлучение горячей поверхности Венеры отчётливо регистрируется [43]. При этом ошибка, вызванная вращением Венеры, в сочетании с неравномерным нагревом её поверхности, смещающим центр радиоизотопов относительно центра диска планеты, не играет роли, так как в нижнем соединении планета повернута к Земле одной стороной. Измерение положений Венеры при этом можно производить либо по измерению моментов покрытия Венерой точечных радиоизлучающих объектов с известными небесными координатами, либо непосредственно, по регистрации теплового радиоизлучения Венеры, – по данным радиоинтерферометров со сверхдлинной базой (РСДБ) или триангуляцией на базе порядка диаметра Земли, с разнесённых сетей радиоинтерферометров. Точность измерения углов в РСДБ достигает $\Delta\theta = 0,0001''$, что на дистанции Венеры $r = 42 \cdot 10^9$ м (в нижнем соединении) приводит к недостижимой ранее прецизионной точности измерения положений Венеры на орбите $\Delta\theta r = 20$ м. Это позволит надёжно измерять и контролировать положение Венеры на орбите и сравнивать его с положениями, рассчитанными по радарным данным.

Сравнительные измерения положений и орбитальных элементов по данным дальномерных, доплеровских и угломерных измерений возможны и для других планет, особенно для Меркурия и Марса. Их орбиты, рассчитанные по данным радаров, тоже содержат систематические расхождения (~ 400 км) с аналитической теорией Ньюкома и эфемеридами, рассчитанными по визуальным астрономическим наблюдениям [23, 44]. Для этих планет, ввиду их высоких орбитальных эксцентриситетов, можно ожидать ещё больших расхождений и невязок, чем для Венеры. Из-за переменной скорости движения по орбите радарные ошибки нельзя полностью скорректировать добавлением постоянного смещения по орбите. Но численная теория движения планет, построенная по радарным данным, лучше согласуется с последующими радарными измерениями (содержащими те же систематические ошибки), чем с аналитической теорией Ньюкома, построенной по визуальным наблюдениям планет [45].

Ошибки радиолокации могут сыграть роковую роль и при расчёте орбит астероидов, пересекающих орбиту Земли и близко подходящих к планете, особенно в свете не спрогнозированного падения Челябинского (Чебаркульского) метеорита. Для своевременного пре-

дотвращения астероидной опасности точность радиолокации следует всесторонне проверять, совершенствовать её методы, повышать дальность и чувствительность космических радаров.

§ 1.10. Ошибки радиолокации АМС, GPS, ГЛОНАСС и баллистические поправки

На ложный «сдвиг» Венеры по орбите впервые обратил внимание пионер космической навигации, обучавший первые отряды космонавтов,— проф. В.П. Селезнёв [24], сотрудник С.П. Королёва и автор монографии «Навигационные устройства» (М.: Оборонгиз, 1961), создавший системы навигации первых космических кораблей. Селезнёв показал, что без баллистической теории «на основе научных сведений о свете астронавигация в принципе невозможна» [46, с. 308]. Он же отметил роль теории Ритца в навигации космических зондов, ряд аварий которых, в т.ч. у аппаратов «Фобос-I, -II», вызван радарными ошибками [24–26, 46].

Не исключено, что и аварии других аппаратов, посланных в разные годы к Венере и Марсу, вызваны систематическими ошибками измерения положений аппаратов и планет по данным радиолокации. Радарные измерения элементов орбит оказываются более точными, если речь идёт об измерении радиусов орбит планет (их больших полуосей). Именно эти характеристики играют основную роль в расчётах траекторий аппаратов. Поэтому без радарных замеров неточности значения астрономической единицы и радиусов орбит других планет вели бы к роковым промахам аппаратов мимо цели, достигающим нескольких диаметров планеты типа Венеры или Марса [22, 37]. Менее критичным параметром является положение планет на орбите, для определения которого больше подходят астрономические угловые измерения. Поскольку траектория движения Автоматической Межпланетной Станции (АМС) по переходной орбите Гомана проходит практически по касательной к орбите планеты, то неточности в определении положения на орбите скажутся лишь на моменте, когда аппарат пройдёт возле планеты, а дистанция предельного сближения не изменится. Однако практически из соображений удобства связи и экономии времени перелёт производят по более короткой переходной орбите, пересекающей орбиты Земли и Венеры под углом [218]. Соответственно, ошибки в измеренном радарными положении Венеры и АМС на орбите ~ 1000 км вели бы к промахам: АМС могла бы пройти мимо планеты, не попасть в расчётную точку поверхности или траектория АМС не попала бы в допустимый диапазон углов входа в атмосферу планеты. Но, если радиолокатор одновременно измеряет дистанции Венеры и АМС, как в случае аппарата «Венера-8» [218], то систематические ошибки в величине их расстояний должны почти полностью компенсировать друг друга при вычитании и вычислении относительного расстояния между Венерой и АМС. А на близких дистанциях радиолокация поверхности Венеры производится непосредственно с АМС, что намного снижает величину ошибки. Тем не менее, и в этом случае ошибки в измерении положения аппарата и планеты могут приводить к авариям и промахам, как показал В.П. Селезнёв [25, 26] и В. Жмудь [268].

Действительно, истинная траектория прохождения АМС «Венера» возле планеты отклонялась на сотни км от расчётной [218]. Но коррекция орбиты на конечном участке траектории [218], а также большой диаметр планеты ~ 12000 км (превышающий ошибки) практически исключал прохождение АМС мимо цели. Сильнее сказываются ошибки для АМС, посланных к Марсу, для которого из-за большего расстояния и меньшего эффекта переизлучения ошибки имеют более высокую величину, тогда как диаметр планеты в 2 раза меньше, составляя 6800 км. Это сопоставимо с величиной ошибки (~ 2000 км) и может вести к промахам и авариям у АМС, посланных к Марсу. Ещё выше роль ошибок для АМС, направляемых к спутникам планет, имеющим ещё меньшие размеры. Так, размер спутника Марса – Фобоса – всего 20 км. Соответственно, ошибка в измерении координатах Фобоса и АМС ~ 1000 км вела бы к пролёту аппарата мимо цели или к столкновению с его поверхностью, вместо мягкой посадки. Как предполагают, с этим связаны аварии АМС «Фобос-I» и «Фобос-II» [25].

Рассмотрим в этом ключе эффект «Пионеров» [A15, 48] – аномалию, выявленную Лабораторией Реактивного Движения (JPL NASA). Скорости АМС «Пионер-10» и «Пионер-11», измеренные радарными (по доплер-сдвигу частоты сигнала от АМС), отличались от расчётных [27]. Измеренное ускорение «Пионеров» в поле тяготения Солнца массы M превысило расчётное ускорение $a' = GM/r^2$ на $\Delta a_o = (8,74 \pm 1,33) \cdot 10^{-10}$ м/с² (на расстоянии r Урана [48]). Если «Пионеры», улетая от Земли со скоростью $v \approx 10$ км/с, излучали сигнал со скоро-

стью $c - v$, наращивая задержку τ , то по номинальной скорости сигнала c решали, что скорости и ускорения АМС измерены на расстоянии $r' = c\tau \approx r + rv/c$, а не на истинном $r = (c - v)\tau$, где тяготение Солнца и ускорение $a = GM/r^2$ выше расчётного $a' = GM/r'^2$ на величину

$$\Delta a_c = a - a' \approx 2av/c = 2vGM/cr^2. \quad (1.40)$$

На дистанции Урана $r \approx 3 \cdot 10^{12}$ м при $v \approx 10$ км/с это составит расчётную величину $\Delta a_c \approx 9,9 \cdot 10^{-10}$ м/с², близкую к измеренной $\Delta a_o \approx 9 \cdot 10^{-10}$ м/с² [48]. Сходные аномалии выявлены у АМС «Улисс» [49] и «Кассини», у которого на расстоянии Сатурна ($r \approx 1,5 \cdot 10^{12}$ м) измеренный избыток ускорения $\Delta a_o \approx 3 \cdot 10^{-9}$ м/с² [50] близок к расчётному $\Delta a_c = 2vGM/cr^2 \approx 4 \cdot 10^{-9}$ м/с². А измеренное отклонение аппаратов «Пионер» от расчётных положений на расстоянии Плутона ($r = 7,4 \cdot 10^{12}$ м) составило $\Delta r_o = 3,8 \cdot 10^7$ м, что по порядку величины тоже согласуется с расчётным по баллистическому принципу отклонением $\Delta r_c = r' - r = rv/c = 2,5 \cdot 10^7$ м.

Считалось, что величина аномального ускорения «Пионеров» практически не менялась на протяжении всего полёта АМС, а согласно (1.40) Δa_c должно убывать пропорционально r^2 . В действительности, как показал уточнённый анализ С. Турышева [51], величина аномального ускорения уменьшается с расстоянием (Рис. 1.49). Тот факт, что убывание не столь быстрое, как в формуле (1.40), объясняется тем, что на относительно небольших расстояниях от Солнца ($r \sim 1$ а.е.) в аномальное ускорение вносит вклад давление света и солнечного ветра на АМС, создающие ускорение, направленное от Солнца и исчезающе малое за орбитой Юпитера ($r > 5$ а.е.) [27]. Также на расстояниях r от Солнца меньше дистанции Юпитера ($r < 5$ а.е.) сказывается эффект переизлучения межпланетной средой (так как $N \propto 1/r^2$ и $l \propto r^2$), которая нивелирует отклонения скорости света и снижает аномальное ускорение. Поэтому при малых r аномальное ускорение – заметно ниже, чем следует из (1.40), и чем $\Delta a_o \approx 9 \cdot 10^{-10}$ м/с². Если радиопередача ведётся на меньших частотах, эффект переизлучения будет ниже. Так, если для «Пионеров» передача велась на длине волны 13 см (S-band), то у «Кассини» передача велась на длине волны 15 см (L-band). Соответственно, для «Кассини» показатель преломления n межзвёздной среды и эффект переизлучения были не столь велики, поэтому у «Кассини» на дистанции Сатурна наблюдалась почти полная величина аномального ускорения $\Delta a_o \approx 3 \cdot 10^{-9}$ м/с², что лишь на 25% ниже предсказанного баллистической теорией (1.40).

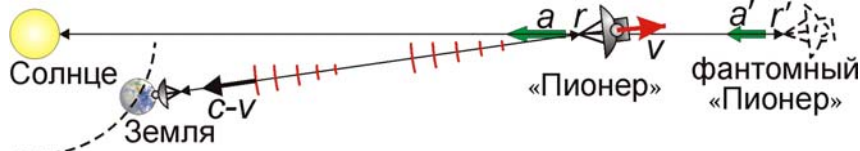


Рис. 1.49. Схема радиолокации АМС «Пионер» (вверху).

Основная гипотеза, объясняющая аномальное ускорение «Пионеров» радиационными силами от неравномерного нагрева корпуса изотопным источником [51], вызывает сомнения, поскольку аномальное ускорение характерной величины и направления обнаружено у ряда других АМС, с разными конструкциями и источниками питания. И в этих случаях мала вероятность появления сил одного порядка величины, направленных строго к Солнцу. Сам корпус «Пионеров» в целях термоизоляции покрыт отражающей плёнкой с золотым напылением, плохо излучающим тепло. Отражение и переизлучение плёнкой с поверхностью неопределённой формы, — это задача, не поддающаяся численному моделированию. Поэтому плёнка на стороне аппарата, обращённой от Солнца, может излучать тепло не интенсивней, а слабее, чем антенна (обращённая к Солнцу и Земле), где радиационная сила обратная. То есть, у радиационных сил не только величина ниже расчётной [51], но и направление может быть обратным. Согласие величины радиационного ускорения с измеренным обусловлено выбором коэффициентов, характеризующих связь нагрева и радиационных сил [51].

Малость радиационных сил следует также из того, что неравномерный нагрев корпуса «Пионеров» (Рис. 1.50, демонстрирующий смещение области максимального нагрева на $h \sim 1$ м от оси аппарата [51]), создав радиационную силу F и ускорение $\Delta a_o = F/m \sim 10^{-9}$ м/с², создал бы и момент силы $M = Fh$, который за двадцатилетний срок t неуправляемого полёта отклонил бы оси «Пионеров» и остронаправленных параболических антенн на угол α , исключив возможность обмена сигналами с Землёй. У «Пионеров» не действуют реактивные системы стабилизации направления. Направление оси аппарата стабилизируется исключительно

вращением с угловой скоростью $\omega = 4,8 \text{ об/мин} \approx 0,5 \text{ рад/с}$ и моментом импульса $I\omega \sim md^2\omega/8 \sim mh^2\omega$ вдоль оси аппарата, у которого момент инерции I можно оценить как момент инерции диска диаметром $d = 2,7 \text{ м}$. Поэтому постоянно действующий момент M , поперечный к этой оси, за время t сообщил бы аппарату поперечный момент импульса Mt и развернул бы ось аппарата на угол $\alpha = \text{arctg}(Mt/I\omega) \sim \text{arctg}(\Delta a_o t / \omega h) \sim 50^\circ$, полностью лишив связи. При рабочей частоте 2292 МГц ($\lambda = 0,13 \text{ м}$) и диаметре антенны $d = 2,7 \text{ м}$ главный лепесток её диаграммы направленности намного более узок: $\varphi_a \approx \lambda/d = 0,048 \text{ рад} \approx 3^\circ$. Если исходно антенна была направлена к Земле, то при развороте аппаратов на угол $\text{arctg}(\Delta a_o t / \omega h) \sim \varphi_a/2$ связь пропала бы уже спустя время $t_0 \sim \omega h \cdot \text{tg}(\varphi_a/2) / \Delta a_o \approx 0,4$ года их свободного полёта, – задолго до пересечения орбиты Урана. Тот факт, что связь сохранялась десятилетиями, вплоть до пересечения орбиты Плутона и далее, свидетельствует о сохранении направления осей «Пионеров» в пространстве и отсутствии заметных радиационных или иных неучтённых сил.

Фактически, возмущающий момент вёл бы к ещё более быстрому уходу оси антенны от направления на Землю. Поскольку направление возмущающего момента за счёт вращения постоянно меняется, то он не меняет направление момента импульса аппарата в пространстве, но приводит к отклонению оси аппарата от оси вращения. В итоге ось аппарата описывает расширяющуюся спираль, как в известном эффекте Джанибекова, где возмущающий момент плавно уводит главную ось тела от оси вращения. Кроме того, учёт эффекта Джанибекова, вызванный появлением момента при отклонении главной оси АМС от оси вращения приведёт к ещё более быстрому отклонению оси аппарата от исходного направления.

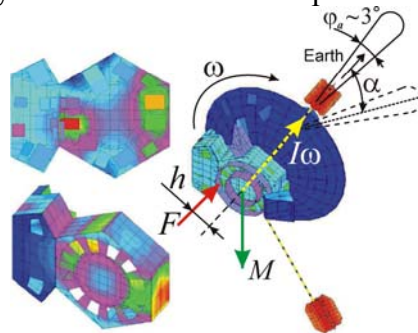


Рис. 1.50. Асимметричное распределение температуры по корпусу «Пионеров» [51], создавая радиационную силу F и аномальное ускорение Δa_o , вело бы к появлению момента M , отклоняющего антенну АМС в сторону от Земли.

Открыта и Flyby-аномалия [48, 49], т.е. невязки ожидаемых скоростей и измеренных радаром у АМС, пролетающих мимо планет по гиперболической траектории. У АМС «Галилео», «NEAR», «Розетта» после пролёта мимо Земли выявлен прирост скорости на величину порядка нескольких мм/с, вопреки закону сохранения энергии. Вероятная причина ошибок – применение в замерах скорости v аппаратов релятивистской формулы доплер-эффекта

$$f' = f \frac{\sqrt{1 - v^2/c^2}}{1 \pm v/c}, \quad (1.41)$$

согласно которой при сближении частота f повышена до $f_1 \approx f(1 + v/c + v^2/2c^2)$, а при удалении – снижена до $f_2 \approx f(1 - v/c + v^2/2c^2)$. В классической физике

$$f_1 = f(1 + V/c) \text{ и } f_2 = f(1 - V/c), \quad (1.42)$$

причём в космосе измерены именно такие симметричные смещения частоты: $f_1 - f = f - f_2$. То есть, если исходить из классических формул, скорость V аппаратов сохраняется. Однако, рассчитывая скорость по СТО, получают, приравнивая измеренные частоты (1.42) к релятивистской частоте (1.41), что при сближении $v \approx V - V^2/2c$, а при отдалении $v \approx V + V^2/2c$, отсюда – ложный вывод о приросте скорости на величину $\Delta v \approx V^2/c$. При скорости аппарата $V \sim 10^3 \text{ м/с}$ это как раз создаст иллюзию прироста скорости $\Delta v \sim 1\text{--}10 \text{ мм/с}$.

У спутников Луны, Земли и других планет аномалии движения тоже могут быть связаны не только с аномалиями гравитационного поля (*масконами*), но и с систематическими ошибками радиолокации от неучёта вариаций скорости света и применения формул СТО. Возможно, из-за этого более высокую точность дают измерения гравитационных аномалий с применением двух спутников (например, «Эбб» и «Флоу» в миссии «Grail» NASA), летящих

по орбите один за другим и посредством радиолокации и замера доплеровских сдвигов выявляющих вариации относительной скорости и дистанции между спутниками, при входе в зоны аномалий. Так же и японский зонд «Кагуя», летящий по низкой орбите вокруг Луны, выявляет гравитационные аномалии путём радиолокации со спутника-ретранслятора «Окина», летящего по более высокой орбите. С одной стороны, это позволяет поддерживать связь с Землёй и проводить измерения, когда один из спутников входит в область радиотени Луны, а с другой, – позволяет проводить относительные измерения с более высокой точностью, чем при измерении абсолютных расстояний спутников до Земли. Это связано не только с увеличением ошибок по мере роста расстояния r и переменной задержкой радиосигнала в ионосфере Земли, но и с тем, что относительная скорость спутников, особенно движущихся друг за другом по одной орбите, мала (по сравнению со скоростью относительно Земли). Поэтому её влияние на скорость сигнала и погрешность измерения расстояний – пренебрежимо малы.

Ошибки выявляют и сети спутников GPS и ГЛОНАСС [А33], использующие метод радиолокации с наземных станций слежения и группы искусственных спутников. Навигационный модуль в мобильном устройстве «ловит» радиосигналы, посланные спутниками и содержащие информацию о положении каждого спутника (отслеживаемом станциями) и времени излучения сигнала (по атомными часам на спутнике). Вычитая это время из времени приёма сигнала, мобильный приёмник по времени τ движения радиоимпульса рассчитывает расстояние $r = c\tau$ до спутника. По расстояниям r_1, r_2, r_3, r_4 до трёх-четырёх спутников и по их координатам микроЭВМ рассчитывает положение приёмника на земной поверхности.

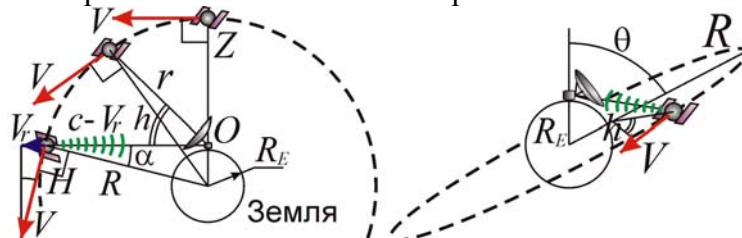


Рис. 1.51. Схема движения и радиолокации навигационных спутников Земли.

Полагают, что GPS и ГЛОНАСС подтверждают формулу $r = c\tau$ и постоянство скорости c сигналов от спутников [53]. Проверим, насколько этот вывод обоснован. Спутники выводят на орбиты радиуса R порядка 26000 км. Скорость спутников $V \approx 4$ км/с снижает скорость их радиосигнала до $c' = c - V_r$, где V_r – лучевая скорость спутника для приёмника O . Тогда поправка расстояния $\Delta = rV_r/c$, где для спутника в зените Z скорость $V_r = 0$, но она растёт при уменьшении высоты h спутника над горизонтом: $V_r = V \cdot \sin \alpha \cdot \cosh$, где $\sin \alpha = R_E/R \approx 0,25$, $R_E \approx 6400$ км – радиус Земли (Рис. 1.51). Тогда максимальная ошибка дистанции $\Delta = rV_r/c = 67$ м у спутника возле горизонта H . Поскольку обычно приёмник регистрирует сигналы от спутников с $h > 10^\circ - 15^\circ$ и его горизонт располагается под углом $\theta > 0^\circ$ к плоскости орбиты спутника, то $V_r = V \cdot \sin \alpha \cdot \cosh \cdot \cos \theta$, что, с учётом $\cosh \leq 1$, $\cos \theta \leq 1$, даёт среднюю ошибку

$$\Delta = \frac{rV}{c} \sin \alpha \cdot \cosh \cdot \cos \theta \sim 20 \text{ м.} \quad (1.43)$$

Это – ошибка измерения расстояния до одного спутника, а расчёт координат ведут по 6–10 спутникам. Каждый из них даёт ошибки разных знаков и величин, случайно суммируемые в разных направлениях, и их взаимная компенсация при усреднении ещё заметней снижает ошибку. На этом основана техника точного измерения положения неподвижного приёмника, путём длительного мониторинга и усреднения по большому массиву данных от разных групп спутников из разных точек орбиты и с разными вкладами скорости спутников в величину смещения Δ . В ходе усреднения ошибка измерения координат приёмника снижается до нескольких см, вместо метров (в обычном режиме измерений). Δ – это общая ошибка замеров по высоте и по горизонтали, а ошибка измерения проекции приёмника на поверхность земного шара в 1,5–2 раза ниже. В итоге, вносимая вариацией скорости света поправка к горизонтальным координатам приёмника – порядка 5 м, что порядка наблюдаемых ошибок.

Согласно формуле (1.43), ошибки Δ обращаются в нуль для спутников в зените Z ($h = 90^\circ$), и растут при уменьшении их высот h , достигая максимума, когда спутник виден возле

горизонта. Обычно это объясняют увеличением проходимого радиосигналом слоя атмосферы и ионосферы, меняющей скорость радиоволн. Однако сравнение дистанций, измеренных при помощи радиосигналов, передаваемых на двух частотах (для которых скорости за счёт дисперсии в ионосфере несколько отличаются) обычно позволяет почти полностью исключить погрешности, связанные с рефракцией и дисперсией ионосферы. Поэтому порядок величины ошибок и их зависимость от высоты спутника может косвенно свидетельствовать в пользу влияния скорости спутника на скорость испущенных им радиосигналов. Кроме того, роль слоя атмосферы и ионосферы легко учесть, измеряя невязки для спутников, движущихся по орбитам под углом θ не равным нулю. В этом случае, согласно (1.43) ошибка обращается в нуль, когда спутник находится в кульминации ($h = 0$), тогда как толщина слоя ионосферы и атмосферы при этом продолжает вносить существенную ошибку.

Ошибки снижают, применяя корректирующие процедуры, в том числе дифференциальные методы с привязкой к базовым станциям. Систематические ошибки в измерении абсолютных расстояний r_1 от спутника до мобильного приёмника и r_2 – до расположенной поблизости базовой станции (с точно известными координатами), исчезают при измерении относительного расстояния и положения приёмника как разности ($r_1 - r_2$), с учётом высоты спутника над горизонтом. Но в тех точках Земли, скажем в океане, на территории США (для ГЛОНАСС) и на территории России (для GPS), где станции не могут быть установлены, ошибки спутниковой навигации существенно увеличены. Если учёт влияния скорости спутника на скорость его радиосигнала, действительно, снижает эти ошибки, то высокая точность космической навигации может быть достигнута без станций дифференциальной коррекции, что существенно снизит экономические затраты на их постройку и обслуживание.

Кроме того, одну ошибку компенсируют другой, корректируя эфемериды спутников, «сдвигая» их расчётные положения вперёд по орбите на сотни метров (как в случае Венеры, § 1.9). Так, если координаты и эфемериды спутника рассчитаны по временам распространения его сигналов до базовых станций с известными координатами, то из постоянной скорости сигнала положение спутника рассчитают смещённым от реального, что в точности компенсирует ошибку измерения расстояний до мобильных приёмников. Очевидно, при таких условиях и не находят противоречий GPS с СТО [53]. Поэтому для контроля положения спутников его следует независимо измерять разными методами: визуально (телескопами); лазерной локацией (по времени движения света к спутнику и обратно); радиолокацией (по временам движения радиосигнала от наземной станции к спутнику или от спутника к станции), или с помощью радиоинтерферометров со сверхдлинной базой [54]. В случае влияния скорости источника на скорость света, эти методы приведут к разным результатам.

При анализе данных GPS и ГЛОНАСС следует учесть также переизлучение радиоволн в ионосфере Земли. При типичной концентрации ионов в ионосфере $N \sim 10^6 \text{ см}^{-3}$ и околоземном пространстве (на высоте $\sim 100 \text{ км}$), а также при рабочей длине волны $\lambda \sim 1 \text{ см}$ и частоте радиосигналов $f = c/\lambda \sim 30 \text{ ГГц}$, расчётный показатель преломления ионосферы [116]

$$n = \sqrt{1 - 80,6N'/f^2} \approx 1 - 40,3N'/f^2.$$

Соответственно, длина переизлучения составит

$$l \sim \frac{\lambda}{2\pi|n-1|} \sim \frac{3,56 \cdot 10^{14}}{N\lambda} \sim 35 \text{ км},$$

то есть, малую величину, по сравнению с путём радиолуча $r \sim 20000 \text{ км}$. То есть радиосигналы должны эффективно переизлучаться и терять избыток скорости. Высота ионосферы составляет $\sim 100 \text{ км}$, то есть основную часть пути радиосигналы движутся в космическом вакууме, и вклад скорости спутника в скорость излучённых им радиосигналов существенен.

Концентрация ионов в межпланетном пространстве и так называемой плазмосфере Земли (простирающейся до 2-х радиусов Земли) составляет $N \sim 10^2 \text{ см}^{-3}$, откуда

$$l \sim \frac{3,56 \cdot 10^{14}}{N\lambda} \sim 356000 \text{ км}.$$

То есть, переизлучение на пути $r \sim 20000 \text{ км} \ll l$ практически отсутствует. Отметим, что эта оценка длины переизлучения эквивалентна приведённой в § 1.6 оценке $l \approx (\lambda a_0 N)^{-1}$, получен-

ной Брэчером [120] на основе связи показателя преломления плазмы n с плазменной частотой ω_e , выраженной через классический радиус электрона $a_0 = e^2/mc^2 \approx 2,82 \cdot 10^{-15}$ м.

Помимо вклада переизлучения в ионосфере и межпланетном пространстве следует учесть переизлучение в радиационных поясах Земли (*поясах Альфвена*), где концентрация $N \sim 10^7$ см⁻³, а размер поясов сопоставим с радиусом Земли (Рис. 1.52). Благодаря этому радиолуч может пересекать радиационные пояса. Длина переизлучения в них составит

$$l \sim \frac{3,56 \cdot 10^{14}}{N\lambda} \sim 4 \text{ км}.$$

Таким образом, при толщине поясов $b \sim 1000$ км переизлучение в них успеет преобразовать скорость радиосигнала к номинальной скорости света, и радиосигнал заметную часть пути будет двигаться со скоростью равной c . Действительно, переизлучение в поясах толщиной $b \sim 1000$ км успеет привести скорость радиосигнала c' к номинальной c : сигнал переизлучится примерно на полпути L между спутником и приёмником, отчего ошибки снизятся в разы. Радиационные пояса расположены возле экваториальной плоскости, тогда как полярные области практически свободны от экранирующих частиц. Тогда приёмников, расположенных в приполярных областях, радиосигнал будет достигать практически без переизлучения радиационными поясами, то есть со скоростью отличной от c и прогнозов СТО. Соответственно, GPS-приёмники, расположенные в высоких широтах, будут давать в приполярных областях более высокую ошибку, чем приёмники в экваториальных и умеренных широтах (Рис. 1.52).

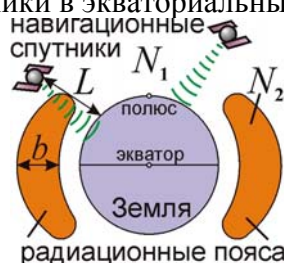


Рис. 1.52. Схема радиационных поясов Земли и GPS-радиолокации.

Действительно, давно отмечено, что ошибки GPS-навигации существенно выше в полярных широтах. Это служит аргументом в пользу влияния скорости спутника на скорость сигналов и в пользу переизлучения в радиационных поясах Земли. Влияние радиационных поясов Земли на скорость света и ошибки космической радиолокации от неучёта баллистического принципа, отмечал также конструктор космических ракет М.И. Дуплищев [175].

Для визуального анализа положений на орбите удобны геостационарные спутники (применяемые в качестве вспомогательных в навигационных системах). Их положение на небосводе практически не меняется, что позволяет точно измерять их положения. Сравнение этих положений с данными радаров и лазерной локации, и сопоставление измеренной дистанции с теоретической высотой геостационарной орбиты (точно рассчитанной по орбитальному периоду, равному сидерическим суткам), позволит выявить малейшие следы влияния орбитальной скорости спутника на скорость света. Об ошибках в системе GPS и противоречиях её данных и теории относительности не раз заявлял и Р. Хатч [60] – пионер разработок системы GPS, глава компании NavCom и Института систем космической навигации (ION).

Для проверки влияния скорости источника на скорость света можно применить, помимо навигационных, и другие спутники и орбитальные станции, с установленными на них уголковыми отражателями и радио-ретрансляторами. Сравнение расстояний и положений аппаратов, одновременно измеренных разными методами, даёт простой и надёжный критерий проверки баллистической теории и постоянства скорости света. Также можно использовать возможности аппаратов типа спутника «Кондор» («Космос-2487»), положение которого на орбите точно контролируется и который с высокой точностью измеряет координаты наземных объектов. Отметим, что и при «стрельбе» со спутников лазерным лучом по наземным контрольным мишеням приходится учитывать баллистический принцип: без этого луч всегда уходит на несколько метров вперёд за счёт эффекта абберации (то есть, добавления вектора орбитальной скорости спутника к вектору скорости испущенного им светового луча, § 1.3).

Таким образом, проверка баллистической теории в космосе крайне актуальна, поскольку радарные ошибки от неучтённых вариаций скорости света могут снижать точность космических программ и вести к авариям космических кораблей, а также простых судов и автомашин с GPS. Однако постоянство скорости света в космосе до сих пор однозначно не проверено с использованием спутников, ракет и радаров, хотя вопрос о такой проверке неоднократно поднимался. Причём, когда в 1961 г. на конференции NASA в США этот вопрос был поставлен, такую проверку вообще сочли излишней [98], хотя в том же году неточности значения скорости света дали о себе знать при радиолокации Венеры [21, 19, 20].

Американский физик Б. Уоллес связывал замораживание официальных исследований и информации по данной тематике (в виде прекращения публикаций в США по радиолокации планет в 1960-х гг. [23]) – с развёртыванием программы «звёздных войн» (одним из пунктов которой была GPS), где влияние скорости источника на скорость света было стратегически важной информацией [13, 36]. Нечто подобное имело место во время «Манхэттенского проекта», когда прекращение публикаций в 1940 г. по реакциям деления в американских журналах послужило сигналом о начале секретных работ в этой области, который советские физики верно истолковали для начала своевременных разработок ядерного щита Родины.

§ 1.11. Невязки лазерной локации и переменность скорости света как причина «неравномерности» вращения Луны и Земли

В качестве ещё одного теста баллистической теории может служить Лазерная Локация Луны (ЛЛЛ). На измерения дистанций методом ЛЛЛ тоже влияет надёжное измерение значения скорости света. В случае зависимости скорости света от скорости лазерного источника метод лазерной локации покажет заметные ошибки в измерении расстояний, по сравнению с теоретическими. Идею подобных экспериментов выдвигал ещё М.И. Дуплищев [175].

Действительно, при лазерной локации Луны и искусственных спутников, с установленными на их поверхности уголковыми отражателями, выявлен ряд невязок [55]. При скорости лазерного источника порядка $v_r \approx 460$ м/с (скорость вращения на экваторе) свет пройдёт путь $r \approx 3,84 \cdot 10^8$ м до Луны быстрее на время $\Delta t = r/c - r/(c + v_r) = rv_r/c^2 \approx 2 \cdot 10^{-6}$ с, что соответствует разнице в 600 м, при чувствительности лазерного радара (лидара) $\sim 0,01 \div 1$ м [2]. С учётом отражения от Луны на скорости c , ошибка составит $\Delta r \approx 300$ м. Невязки такого порядка величины между астрономическими измерениями и данными лидаров, действительно выявлены [284]. В случае синхронном измерения дистанции Земля-Луна станциями из противоположных точек Земли, когда одна движется к Луне, а другая удаляется (Рис. 1.53.а), теория Ритца подтвердится при выявлении разницы дистанций $\Delta r \sim 300$ м. Для умеренных широт разница ещё меньше: $\Delta r \sim 100$ м.

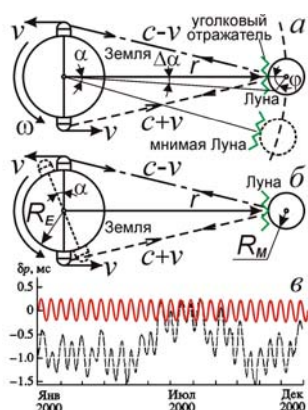


Рис. 1.53. Схема лазерной локации Луны. Неучтённая вариация скорости света создаёт иллюзию сдвига или поворота Луны (а), Земли (б) и вариации суток (в).

Лазерную локацию может вести и одна станция, измеряющая расстояние Земля-Луна в течение ночи. Тогда невязки менялись бы с периодом в сутки со скоростью порядка 100 м/24 ч ≈ 4 м/ч, а предельное отклонение от истинного расстояния составило бы около ста метров. Действительно, невязки данных ЛЛЛ и визуальных данных (на основе которых рассчитаны эфемериды Луны) достигали сотни метров и менялись на величину порядка 4 м в час [56, с.

193]. Как показал сотрудник NASA Д. Джебери, изучив данные лазерной локации Луны, вариации систематических невязок противостоят постоянству скорости света, а учёт баллистического принципа заметно снижает эти вариации и систематические ошибки [55]. Напротив, в СТО расхождение данных ЛЛЛ с эфемеридами удаётся снизить лишь посредством коррекции эфемерид Луны на основе данных лазерной локации. По сути, локационные данные, как в случае Венеры, сравнивают друг с другом, а не с данными наблюдательной астрономии.

Считая скорость света константой, находят, что Луна на восходе ближе, чем на закате. Это неравенство расценят как поворот Земли в сторону вращения на лишней угол $\alpha = \Delta r/R_E = 4,5 \cdot 10^{-5} = 9'',4$ (Рис. 1.53.б) или как смещение уголкового отражателя с Луной на расстояние $r\alpha = 17$ км вперёд по орбите (Рис. 1.53.а). От наклона лунной орбиты к плоскости земного экватора расстояние r до Луны в кульминации меняется на $\Delta r \sim R_E(1 - \cos 23,5^\circ) = 530$ км с периодом в полмесяца (13,7 сут), а угол α – на $\Delta\alpha = \alpha\Delta r/r = 0'',013$, что воспримут как покачивание Земли вокруг оси с амплитудой $\Delta\alpha/2 = 0'',0066$ и периодом $T \approx 14$ сут по закону

$$\delta\alpha = -0'',0066 \cdot \cos(2\pi t/T), \quad (1.44)$$

где t отмеряется от пересечения Луной экваториальной плоскости Земли (от восходящего узла). Вариация (1.44) создаст иллюзию вариаций угловой скорости Земли ($\omega = 2\pi$ рад/сут) на

$$\delta\omega = d(\delta\alpha)/dt = 1,4 \cdot 10^{-8} \cdot \sin(2\pi/T) \text{ рад/сут}, \quad (1.45)$$

а длительности суток p – на $\delta p = -p\delta\omega/\omega$, словно день меняется на $\pm 0,2$ мс каждые 14 дней и

$$\delta p = -0,2 \cdot \sin(2\pi t/T) \text{ мс}. \quad (1.46)$$

График (1.46) нанесён сплошной линией на (Рис. 1.53.в). Локация Луны выявила именно такие вариации (Рис. 1.53.в, пунктир): их период – 14 суток, а амплитуда ~ 1 мс [57].

То есть вариации p могут быть иллюзорны и вызваны неучтённой вариацией скорости света, что можно проверить, проводя измерения угла поворота Земли и периода её вращения по наблюдениям суточного движения по небосводу точечных космических источников радиоизлучения, по данным радиоинтерферометров со сверхдлинной базой, позволяющих измерять вариации угла поворота Земли с точностью до $0'',0001$. Другой способ проверки – измерение вариаций положений на небосводе геостационарных спутников. Или, напротив, – измерение со спутников типа «Кондор» вариаций положений земных реперов и базовых станций, для которых регулярные покачивания Земли на $\Delta\alpha = 0'',013$ соответствовали бы периодичному смещению реперных точек по поверхности Земли примерно на $\sim R_E\Delta\alpha = 0,4$ м.

Регулярные колебания дистанции r и скорости v_r объясняют и другие «вариации» вращения Земли и Луны, выявленные лидарами и имеющие характерные периоды колебаний r и v_r . От движения по эллиптической орбите расстояние Луны меняется от 350 до 400 тыс. км ($\Delta r \sim 50$ тыс. км). Соответственно меняется угол α (направления на мнимую Луну) на $\Delta\alpha = \alpha\Delta r/r \sim 1''$. Это колебание, синхронное с орбитальным движением, воспримется как «сдвиг» Луны по орбите (аналогичный «сдвигу» Венеры), меняющийся в такт её приближению-отдалению. Эти мнимые смещения нельзя согласовать с законами Кеплера, т.к. форма и наклон лунной орбиты регулярно меняются [56, с. 63], внося дополнительную вариацию дистанции Земля-Луна $\Delta r \sim 20$ тыс. км и $\Delta\alpha = \alpha\Delta r/r \sim 0'',5$, что воспримут как регулярное смещение уголкового отражателя на $\Delta ar \sim 1$ км от покачиваний Луны (радиуса R_M) на угол $\varphi = \Delta ar/R_M \sim 2'$. Действительно, лидары выявили у Луны повороты на $2'$, в отличие от видимых качаний Луны – оптической либрации, объяснённые реальной – физической либрацией.

«Покачивания» Луны и Земли за счёт приливных взаимодействий открыты и в астрономических наблюдениях [56, 58]. Но выявленные лидарами вариации φ отчасти могут быть вызваны неучтённой вариацией скорости света. Оценить вклад мнимых колебаний позволит сравнение амплитуды «покачиваний» Луны и Земли, по данным лидаров, телескопов и радиоинтерферометров. Если баллистическая теория Ритца справедлива, их данные разойдутся на величину, меняющуюся по найденным законам (1.44). Разойдутся и данные станций разных широт: возле экватора колебания δp – синусоидальные (1.46), а вдали от него – соседние максимумы получатся разной высоты, что реально наблюдается (Рис. 1.53.в).

Ошибки измеренных лидаром положений Луны приводят и к ошибкам в координатах аппаратов на ней. Видимо, поэтому лазерный луч, по мере его заострения и засветки на Луне всё меньшей области (поперечник которой ныне сократился до ~ 1 км), потерял уголкового отражателя «Лунохода-1», ввиду ложного смещения на $\Delta ar \sim 1$ км от измеренной лидаром

физической либрации, или на $ra \sim 17$ км – от вращения Земли. В итоге, после нескольких удачных сеансов лазерной локации «Лунохода-1» в 1970–1971 г. его уже не удалось обнаружить, что связывали с выходом из строя углового отражателя «Лунохода-1» [187]. Однако в 2010 г., когда «Луноход-1» был визуально обнаружен на снимках поверхности Луны, сделанных лунным орбитальным зондом LRO [59], координаты «Лунохода-1» были уточнены по визуальным данным и снимкам. Использование этих исправленных координат позволило, спустя 40 лет, вновь точно навести лазерный луч на «Луноход-1» и зарегистрировать «лунный зайчик» – отражённый сигнал. Его интенсивность в несколько раз превышала интенсивность сигнала, отражённого «Луноходом-2» [59], лазерная локация которого поддерживается, вплоть до настоящего времени, и координаты которого не были потеряны.

Это доказывает, что угловой отражатель «Лунохода-1» был исправен, а исчезновение отражённого сигнала связано с потерей правильных координат аппарата, из-за ошибки в определении координат «Лунохода-1» по данным лидаров, по сравнению с которыми визуальные данные в ряде случаев оказываются точнее. Возможно, с этим связана и постепенная «деградация» (снижение отражательной способности) отражателей других четырёх лунных аппаратов [59], – из-за постепенной потери правильных координат в отражатели попадает только край рассеянного атмосферой и дифракцией лазерного пучка, с пониженной интенсивностью, отчего падает интенсивность отражённого сигнала. В итоге регулярно «теряются» и отражатели других четырёх лунных аппаратов, включая «Луноход-2». Лишь первоначальное визуальное измерение положений отражателей (или современные измерения – с помощью орбитальных зондов типа LRO) дают требуемую точность измерения их координат.

Действительно, сравнение координат угловых отражателей аппаратов («Луноход-1, 2», «Аполлон-11, 14, 15»), измеренных по снимкам LRO и по данным лазерной локации, показывает систематическое расхождение по селенографическим широтам и долготам порядка $0^{\circ},02 \approx 1'$ [274]. Это соотносится с амплитудой физической либрации Луны (измеренной по данным лидаров) и соответствует разнице координат ~ 1 км. Это расхождение превышает точность замера координат обоими методами и может быть результатом неучтённого влияния скорости источника на скорость света в расчётах по данным лазерной локации.

Таким образом, проверка переменности скорости света в космосе и сопоставление расстояний, измеренных разными методами, позволит не только проверить постоянство скорости света и баллистическую теорию, но и уточнить характеристики осевого и орбитального вращения Луны, Земли и спутников. То есть проверка баллистической теории в области космической лазерной локации, кроме теоретического, имеет и чисто прикладное значение.

§ 1.12. Выводы

Из проведённого анализа данных астрономических и радиоастрономических наблюдений, а также из данных лазерной и радиолокации следует, что накопленные за век данные не противоречат баллистической теории. А ряд эффектов, в том числе эффект Барра, парадоксы красного смещения галактик, ряд эффектов в системах пульсаров и других переменных звёзд, невязки космической радио- и лазерной локации служат косвенным подтверждением баллистической теории. В связи с этим предложены новые критерии и методы для уточнённой и однозначной проверки баллистической теории, путём сопоставления данных радио- и оптических интерферометров с данными спектрального анализа двойных звёзд; сопоставления радиоастрономических и радиолокационных, визуальных и лидарных положений космических аппаратов и небесных тел. Предложенные методы и критерии позволят не только произвести уточнённую проверку постоянства скорости света, но и уточнить пространственно-кинематические характеристики и элементы орбит планет и космических аппаратов.

Глава 2. Оптические эксперименты по наблюдению следствий баллистической теории

В данной главе рассмотрены известные и предлагаемые оптические эксперименты по проверке баллистической теории. После проверки следствий теории в космосе, именно оптические эксперименты в земных лабораториях (*в макром мире*) стали вторым этапом её тестирования. При этом исследовалось изменение скорости света от движущихся источников или зеркал, или скорости света, переизлучённого движущейся средой. В большинстве случаев результаты этих экспериментов (опыт Саньяка, эксперимент Бонч-Бруевича и др.) рассматриваются как противоречащие баллистической теории. Однако в ходе более подробного анализа было выяснено, что результаты подобных опытов вполне согласуются с баллистической теорией, если принять во внимание эффект переизлучения средой и если исследовать движение света на основе молекулярной оптики, из которой следуют однозначные выводы о величине фазовой скорости света. Более того, ряд опытов косвенно свидетельствует в пользу существования зависимости скорости света от скорости источника. В данной главе будут предложены новые схемы оптических экспериментов, в том числе с использованием лазерного излучения, особенно фемтосекундных лазеров, для однозначной проверки баллистической теории.

Основные результаты главы опубликованы в [A2, A12, A13, A15–A17, A28, A53].

§ 2.1. Опыт Саньяка, лазерный гироскоп и роль вращения зеркал или стёкол

Как отмечено в первой главе, по теореме погашения Эвальда-Озеена, скорость лучей света (*групповая скорость*) от подвижного источника восстанавливает номинальное значение c после переизлучения неподвижной средой. Если групповую скорость среда меняет как вторичный источник, переизлучающий свет со скоростью c , то на фазовую скорость света среда влияет сложнее, ввиду интерференции исходного и вторичного излучения. Согласно Ритцу при отражении от движущегося зеркала фазовая скорость света сохраняется неизменной по величине относительно источника [2]. Результаты опытов с подвижными зеркалами, например опыты Майораны, согласуются с этим выводом, как показал М.Ф. Мишо [2, 95].

К той же разновидности опытов с подвижными зеркалами относят опыт Саньяка, где интерферируют световые лучи, идущие в противоположные стороны по контуру из зеркал (Рис. 2.1). При вращении контура с угловой скоростью Ω лучи набирают разность хода, пропорциональную Ω и меняют интерференционную картину. Опыт Саньяка считали противоречащим теории Ритца [9, 96], так как источник A неподвижен относительно контура из зеркал B, C, D и фотоплатинки I , установленных на общей платформе. Поэтому полагали, что скорость лучей в системе отсчёта источника не менялась бы и не создала бы разности хода. Однако в теории Ритца свет сохраняет скорость лишь относительно источника в инерциальной системе отсчёта [1]. А вращающаяся система движется с ускорением. Поэтому, согласно баллистической теории, инерциальное движение света позволяет выявить вращение в опыте Саньяка, равно как движущийся по инерции маятник выявляет вращение Земли в опыте Фуко. По тому же принципу работают лазерные гироскопы на эффекте Саньяка [190].

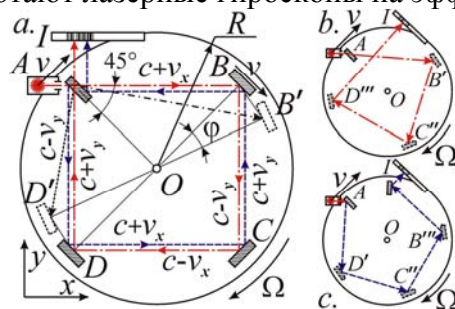


Рис. 2.1. Схема движения света в опыте Саньяка по баллистической теории (a). Справа – удлинение пути для луча света (*итрих-пунктир*), идущего в направлении вращения интерферометра (b), и сокращение пути для луча (*пунктир*), идущего против вращения (c).

Найдём разность хода лучей в лабораторной системе отсчёта (Рис. 2.1.а). Каждый отрезок пути $L = AB = BC = CD = DA$ прямого луча (в направлении вращения) удлинится до

$$L_1 = L(1 + \sin 45^\circ \Omega R/c),$$

где R – расстояние источника и зеркал до центра вращения O . Так, к моменту прихода света к зеркалу B оно сместится в B' , удлинив путь AB до $AB' = L_1$ на расстояние $\varphi R \sin 45^\circ$, где $\varphi = \Omega L/c$ – угол поворота контура за время L/c пролёта света вдоль AB . Приобретая скорость v_x источника A , свет пойдёт вдоль AB со скоростью $c + v_x = c + v \sin 45^\circ$. После отражения зеркалом B вдоль BC , фазовая скорость света сохраняется относительно источника и равна $c - v_y = c - v \cos 45^\circ$. Скорость света, отражённого вдоль BC , CD и DA , равна скорости параллельных лучей от источника A [2, 68]. Время обхода светом контура $AB'C'D''I$ составит

$$T_1 = L_1/(c + v_x) + L_1/(c - v_y) + L_1/(c - v_x) + L_1/(c + v_y) \approx 4L_1/c,$$

если отбросить слагаемые высших порядков малости v/c . Для луча, идущего против направления вращения, отрезки пути $L = AD = DC = CB = BA$, сократятся до $L_2 = AD' = L(1 - \sin 45^\circ \Omega R/c)$, и аналогичный расчёт времени обхода контура $AD'C''B''I$ даст $T_2 \approx 4L_2/c$.

Итак, для замкнутого пути влияние скорости источника на скорость света нейтрализуется, и времена T_1, T_2 отличны от номинального $T = 4L/c$ лишь за счёт изменения пути L . Тогда разность времён обхода $\Delta T = T_1 - T_2 = 8\Omega R^2/c^2$, а разница оптических путей

$$\Delta Tc = 4\Omega S/c, \quad (2.1)$$

где $S = 2R^2$ – площадь контура, обходимого лучом. Это совпадает с результатом опыта Саньяка и аналогичных опытов, где формула (2.1) обобщается на случай контура произвольной формы. То есть, теория Ритца согласуется с опытом Саньяка. Поэтому ещё в 1914 г. Ганс Витте показал соответствие баллистической (эмиссионной) теории – опыту Саньяка [267].

Снова отметим, что лишь ускоренное, а не инерциальное движение источника создаёт разность хода, согласно классическому принципу относительности. Поэтому опыт с поступательным движением интерферометра, предложенный Г.Б. Малькиным [9] и аналогичный опыту Майкельсона, по теории Ритца не выявит движения [2]. Расчётная разность хода в [9] порядка $(v/c)^3$ – это, видимо, результат ошибки при разложении в ряд, так как эквивалентный расчёт в системе интерферометра даёт нулевой результат, не содержащий v .

В связи с опытами, где применялись подвижные зеркала, высказывалось и такое возражение: если в вакууме групповая скорость света, переизлучённого зеркалом, движущимся относительно источника, равна $c + v$, а фазовая равна c , что противоречит равенству фазовой и групповой скорости в вакууме, где нет дисперсии. Однако в баллистической теории, в отличие от классической электродинамики, фазовая и групповая скорость могут не совпадать в вакууме [А48]. Яркий пример этого показывает aberrация звёздного света (§ 1.3): ввиду влияния скорости Земли на скорость света групповая скорость (скорость распространения световых лучей) изменяется по величине и направлению, тогда как фазовая скорость света, перпендикулярная фронтам световых волн сохраняется неизменной (Рис. 2.2). Таким образом, при aberrации в системе земного наблюдателя фазовая и групповая скорость не совпадают ни по величине ни по направлению, – ситуация аналогичная существующей в классической электродинамике для электромагнитных волн в замагниченной плазме.

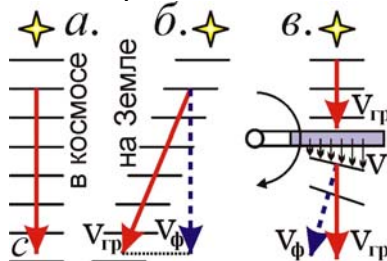


Рис. 2.2. Примеры несовпадения фазовой и групповой скорости света в вакууме, согласно баллистической теории. Случаи движения света в космосе (а), в системе земного наблюдателя (б) и в опыте Джемса и Стернберга (в).

Кроме того, баллистическая теория допускает возможность существования дисперсии света даже в вакууме, поскольку электроны, излучающие свет с разными частотами, движутся с разной скоростью, которая при сообщении свету порождает зависимость его

скорости от частоты [A19]. Величина дисперсии ничтожна, но проявится на гигантских космических дистанциях. В пользу этого, как показал Г.А. Тихов [178], А.А. Белопольский [76] и С.П. Масликов [94], свидетельствуют наблюдения двойных и переменных звёзд, а по В.А. Бунину – и измерения скорости света разных диапазонов электромагнитных волн [179].

С неверным представлением о соотношении фазовой и групповой скорости света связана также экспериментальная проверка теории Ритца в опыте Джемса и Стернберга [180, 16]. Идея их опыта состояла в следующем. Луч света переизлучался вращающейся пластинкой. От сообщения свету разными участками пластинки разной скорости, фронт световой волны должен был повернуться (Рис. 2.2.в). Но при наблюдении через телескоп не было обнаружено отклонения луча света, что сочли противоречием баллистической теории. Ошибка состояла в том, что отклонение в этом случае испытывал только вектор фазовой скорости света, а вектор групповой скорости света, заданный суммой скорости исходного луча и пластинки, не менял своего направления. Именно вектор групповой скорости света $v_{гр}$ и задаёт направление распространения энергии, лучей света, как подтверждает аберрация звёздного света (Рис. 2.2). То есть опыт Джемса и Стернберга не противоречит баллистической теории, однако его можно видоизменить таким образом, чтобы свет падал на вращающуюся пластинку под углом. В этом случае при сообщении скорости света лучу, вектор групповой скорости света, действительно, должен изменить своё направление, что можно зафиксировать с помощью телескопа. Подобный опыт выполнил М.И. Дуплищев, который направлял луч света на диск из оргстекла. При этом было обнаружено смещение луча света [174, 175]. Аналогичный опыт предложил и осуществил В.П. Селезнёв с тем же результатом [26].

Таким образом, в баллистической теории представление о соотношении и поведении фазовой и групповой скоростей света в вакууме, при отражении и распространении света во многом отличается от представлений классической электродинамики. Поэтому, при постановке опытов по проверке баллистической теории, следует целиком опираться на её математический аппарат, на её следствия. Более того, сами эти следствия с вытекающими из теории Ритца свойствами света могут стать дополнительными критериями её проверки.

§ 2.2. Опыты с движущимися средами – опыты Физо, Кантора и Дуплищева

Эксперименты с подвижными зеркалами имеют много общего с опытами, в которых свет распространялся в движущейся среде. В связи с этим отметим, что в работе [9] оспаривалось утверждение Ритца о том, что фазовая скорость света, отражённого зеркалом, равна c относительно источника [2], а не зеркала, которое в качестве вторичного источника сообщало бы свою скорость свету. Последнее верно для элементарного вторичного источника, но фазовая скорость света, отражённого зеркалом, задана интерференцией волн, переизлучённых ансамблем элементарных излучателей-электронов в толще зеркала, и результат её неочевиден. Так, скорость света в среде снижена до c/n ввиду интерференции падающей и вторичных волн, рассеянных электронами среды [97], хотя эти волны движутся со скоростью c .

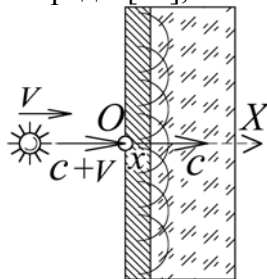


Рис. 2.3. Схема изменения фазовой скорости света от движущегося источника в среде за счёт переизлучения (или в эквивалентной системе, где источник движется относительно неподвижной среды), согласно теории Ритца.

В баллистической теории этот результат можно обобщить на случай источника, движущегося относительно среды, проверив соответствие теории – опыту Физо [2, 16]. Скорость света c^* в среде от источника, движущегося к границе среды со скоростью v , найдём по примеру расчёта в молекулярной оптике для неподвижного источника [97, с. 425]. Если в вакууме источник испускает свет со скоростью $c + v$, то поле единичной падающей волны

$$E_0 = \exp [i(\omega t - k'x)],$$

где ω – циклическая частота падающей волны, $k' = \omega/(c + v)$ – её волновое число. Волна возбуждает в среде вторичные волны со скоростью c и интенсивностью

$$E_1 = - ikxb \exp [i(\omega t - kx)],$$

где $k = \omega/c$ – их волновое число, x – толщина пройденного слоя среды, b – безразмерный коэффициент, характеризующий её оптическую плотность (Рис. 2.3). Результирующее поле

$$E = E_0 + E_1 = (\exp [ix(k - k')] - ikxb) \exp [i(\omega t - kx)],$$

что, с учётом разложения $\exp(x) \approx 1 + x$ при малых x и $(k - k') \approx \omega v/c^2 = kv/c$, даёт

$$E \approx (1 + ikxv/c - ikxb) \exp [i(\omega t - kx)] \approx \exp [i(\omega t - kx(1 + b - v/c))].$$

Здесь $kx(b - v/c)$ – сдвиг фазы, пропорциональный пути x и меняющий фазовую скорость c^* . По сути, в среде волновое число $k = \omega/c$ заменяется новым

$$k^* = \omega/c^* = k(1 + b - v/c).$$

Отсюда

$$c^* = ck/k^* = c/(1 + b - v/c).$$

При $v = 0$ получим номинальную скорость света в среде $c^* = c/(1 + b)$, где $(1 + b)$ – коэффициент преломления n . Для $0 < v \ll c$ получим

$$c^* = \frac{c}{1 + b - v/c} = \frac{c}{n - v/c} \approx \frac{c}{n} + \frac{v}{n^2}, \quad (2.2)$$

а для околосветовых скоростей $v \sim c$ точный расчёт по выше описанному методу даёт

$$c^* = \frac{c}{n - v/(c + v)}. \quad (2.3)$$

В системе отсчёта источника, где со скоростью v движется среда, найдём из (2.2), с учётом принципа относительности, справедливого в теории Ритца, что скорость света в среде

$$c' = c^* - v = c/n - v(1 - 1/n^2).$$

Опыт Физо выявил именно такую зависимость, где множитель $(1 - 1/n^2)$ – коэффициент увлечения Френеля [16, 18]. Тем самым теория Ритца объяснила опыт Физо и другие опыты с движением источников и сред, где анализ следует вести на основе молекулярной оптики. Это устранило неоднозначности в трактовке опытов У. Кантора, М.И. Дуплищева, Т. Бергмана [16, 18, 30] и др. Учёт переизлучения элементами оптических систем в ещё большей степени, чем в космосе, ставит под сомнение результаты лабораторных опытов по проверке теории Ритца.

Например, в опыте Кантора наблюдалось смещение интерференционных полос, соответствующее изменению скорости света, переизлучённого движущимися стеклянными пластинками, примерно на 2/3 величины скорости пластин [16, 193]. Поскольку в данном опыте измерялась фазовая скорость света, то, ввиду движения света по замкнутому пути, его средние скорости в прямом и обратном направлении не могли различаться, как в опыте Саньяка (§ 2.1), по крайней мере, в первом порядке малости v/c . То есть, если бы опыт Кантора проводился в вакууме, его результат был бы нулевым. Действительно, опыт Кантора, повторенный Бергманом в вакууме, дал нулевой результат, не выявив влияния скорости пластин на скорость света [275]. Этот результат трактовали как подтверждение постоянства скорости света и противоречие баллистической теории [16]. Но, как показано выше, эта теория тоже предсказывает нулевой результат. Что же касается положительного результата эксперимента Кантора, то, видимо, он связан с тем, что на пути распространения света располагался воздух, который за счёт переизлучения снижал скорость света до значения c . Поэтому скорость света после отражения зеркалом уже не менялась, и в дополнительную разность хода вносил вклад только начальный участок пути, составлявший как раз около половины пути света.

С наличием воздуха в установке, видимо, связан и положительный результат опыта М.И. Дуплищева [174, 175]. В его установке свет проходил через движущийся стеклянный брусок, и в интерферометре наблюдалось соответствующее смещение интерференционных полос. То есть опыт выявил влияние скорости источника на скорость света, поскольку от переизлучения воздухом лучи света оказывались в неравных условиях, что и позволило обнаружить разность скоростей света на замкнутом пути. Если аналогичный опыт будет повторен в вакууме, то его результат, согласно баллистической теории, будет отрицательным.

§ 2.3. Проверка постоянства скорости света фемтосекундными лазерами

Однозначно проверить влияние скорости источника на скорость света предложено также фемтосекундными лазерами (В. Подгорный [61], В. Соколов [62]), длительность импульсов которых ($\Delta t \sim 10^{-14}$ с) позволяет измерять соответствующие разности времён хода лучей, у одного из которых скорость равна c , а у другого – $(c + v)$, при движении второго источника относительно первого со скоростью v . На пути $L \sim 10$ м эта разность времён

$$\Delta t = L/c - L/(c + v) = Lv/c^2 \quad (2.4)$$

наберётся уже при разнице скоростей источников $v \sim 100$ м/с, достижимой в лаборатории.

Такой опыт можно поставить в вакууме (для подвижного лазерного источника, для подвижного выхода волоконного лазера) или в воздушной среде, если применить неподвижный импульсный лазер, навстречу которому со скоростью v движутся два световода-приёмника, отделённых дистанцией L , скажем, на ободах центрифуг. По измеренной автокоррелятором задержке импульсов Δt , дающей их скорость в системе приёмников, легко оценить влияние на неё скорости источника относительно приёмников. Тогда переизлучение воздухом не меняет скорость света, т.к. источник неподвижен относительно воздуха. В этом случае вакуум желателен лишь для исключения влияния токов воздуха на результат опыта.

В схеме с подвижным лазерным источником фемтосекундный волоконный лазер можно разместить на ободу быстро вращающейся платформы. Тогда скорость лазерного луча вычисляется непосредственно, по измеренной автокоррелятором задержке Δt между двумя сигналами с двух разнесённых на дистанцию L детекторов. Сигнал с первого детектора должен поступать в автокоррелятор через линию задержки (например, через световод) с временем задержки $\tau = L/c$. В таком случае автокоррелятор будет непосредственно измерять дополнительную задержку $\Delta t = Lv/c^2$, вызванную движением лазерного источника. В этом случае, меняя скорость движения или вращения платформы и скорость лазерного источника v , автокоррелятор легко выявит баллистическую зависимость $\Delta t = Lv/c^2$ или её отсутствие.

Возможна и другая схема эксперимента – с использованием одного детектора и двух подвижных лазерных источников (или двух ответвлений волоконного лазера), синхронно генерирующих импульсы. Их можно расположить в диаметрально противоположных точках обода вращающейся платформы. При этом один источник будет приближаться к детектору со скоростью $v = \omega R$, а другой – удаляться со скоростью v . Тогда фотодетектор с автокоррелятором, удалённый на расстояние L , непосредственно зарегистрирует задержку

$$\Delta t = L/(c - v) - L/(c + v) = 2Lv/c^2,$$

набранную импульсами на пути L . Чтобы расстояния от источников до фотодетектора совпали, следует установить детектор и направления лазерных лучей так, чтобы те попадали в фотодетектор лишь из положений платформы, в которых детектор равноудалён от лазерных источников, а генерация импульсов происходит синхронно с прохождением этого положения.

Также можно применить генераторы непрерывного лазерного излучения, установленные на быстро вращающемся диске. При расходимости лазерных лучей $\varphi = 0,001^\circ$ длительность импульса будет определяться длительностью попадания лазерного луча в детектор, которое равно $\tau = \varphi T/360^\circ$, где T – период вращения диска. При частоте вращения 1000 об/с, получим $T = 0,001$ с, откуда $\tau = 3 \cdot 10^{-9}$ с. Поскольку генераторы непрерывного излучения (например, лазерные диоды) проще и компактней фемтосекундных лазерных генераторов, то их проще разместить на ободу центрифуг и сообщить им высокую скорость вращения.

Поскольку длительность импульса равна $\tau = 3 \cdot 10^{-9}$ с, то регистрируемое время задержки $\Delta t = 2Lv/c^2$ должно быть не меньше. То есть при $v \sim 100$ м/с дистанция L должна быть не менее $\tau c^2/2v \sim 1400$ км. Подобный эксперимент может быть поставлен только в космосе, где велики пролётные дистанции, а поглощение и переизлучение в космическом вакууме практически отсутствует. Тогда, при размещении подвижных лазерных источников на спутнике или МКС, а детектора – на другом спутнике или на Земле, можно измерить время задержки между импульсами $\Delta t = 2Lv/c^2$ и его зависимость от скорости v и от дистанции L . При этом в расчётах следует учесть появление добавочной задержки $\Delta t' = 2R\alpha/c$ вызванной влиянием абберационного угла $\alpha = V/c$, за счёт тангенциальной скорости источника излучения (спутника), ведущей к появлению добавочной разности хода у одновременно испущенных лучей и к их несинхронной регистрации. Однако при скорости спутника $V \sim 10$ км/с и $R \sim 1$ м эта по-

правка достигает $\Delta t' = 2RV/c^2 \sim 2 \cdot 10^{-13}$ с, то есть должна учитываться лишь при использовании для измерений фемтосекундных импульсов и регистрации соответствующих Δt .

Космические скорости можно реализовать и в земных лабораториях. Так, при метании металлического кольца магнитокумулятивным генератором во взрывомагнитных установках достигнута скорость кольца $v \sim 100$ км/с [136]. Эта скорость превышает третью космическую и составляет уже 0,03 % от скорости света c . Тогда при укреплении на кольце лёгкого генератора лазерных импульсов (например, полупроводникового лазера) или использовании кольца в качестве зеркала (отражающего фемтосекундные лазерные импульсы) на дистанции $L \sim 10$ м получим $\Delta t = Lv/c^2 \sim 10^{-12}$ с = 10 пс. То есть, зависимость скорости света от скорости лазерного источника (или зеркала) легко проверить, непосредственно измеряя скорость света по сигналам двух разнесённых на расстояние L фотодетекторов с быстродействием ~ 1 пс (как у МПМ-фотодетекторов, имеющих быстродействие ~ 500 ГГц [138]), либо сравнивая моменты регистрации импульсов, излучённых двумя источниками, один из которых неподвижен, а второй укреплен на подвижном кольце и излучает импульс в момент пролёта мимо неподвижного источника. Чтобы достичь требуемой точности и синхронности моментов излучения импульсов, достаточно, чтобы в момент излучения продольное смещение подвижного источника относительно неподвижного составляло не более $\Delta tc \sim 3$ мм.

Отметим, что, во избежание переизлучения в материале детекторов, луч света не должен проходить сквозь оба детектора – детекторы должны быть разнесены в поперечном направлении и регистрировать разные участки фронта лазерного импульса.

Помимо изучения зависимости скорости света от скорости источника, указанные методы позволят уточнить значение c , т.к. измерение моментов регистрации с точностью $\sim 3 \cdot 10^{-15}$ с на пути в 1000 м, который свет проходит за $3 \cdot 10^{-6}$ с, позволит измерить скорость света с точностью до $3 \cdot 10^{-6} / 3 \cdot 10^{-15} \sim 10^{-9}$ её величины, то есть с точностью $\sim 0,3$ м/с. Тем самым можно проверить постоянство скорости света и её зависимость от других факторов – от длины волны, гравитационного потенциала, направления распространения света и т.д.

§ 2.4. Схемы опытов по проверке эффекта Ритца в лазерной физике

Современные лазерные источники можно применить и для прямой проверки эффекта Ритца (§ 1.2). При этом для наблюдения трансформации частоты света в разы в формуле (1.14) для преобразования длины волны λ , частоты f и длительности Δt лазерного импульса

$$\lambda' = cdt' = \lambda \left(1 + \frac{La_r}{c^2} \right), \quad f' = 1/dt' = f \left(1 + \frac{La_r}{c^2} \right)^{-1}, \quad \Delta t' = \Delta t \left(1 + \frac{La_r}{c^2} \right), \quad (2.5)$$

и соответственно для преобразования пиковой мощности P и амплитуды оптического поля E

$$P' = P \frac{\Delta t}{\Delta t'} = P \left(1 + \frac{La_r}{c^2} \right)^{-1}, \quad E' = E \left(1 + \frac{La_r}{c^2} \right)^{-1/2} \quad (2.6)$$

следует обеспечить $La_r/c^2 \sim \pm 1$. Поэтому для лабораторных дистанций $L \sim 1$ м требуется

$$a_r \sim \pm c^2/L \sim \pm 10^{17} \text{ м/с}^2.$$

Это ускорение недостижимо для светоизлучающих приборов, но его легко сообщить электронам или ионам, которые могут либо сами излучать свет (например, если источниками света служат возбуждённые ионы), либо служить переизлучающими центрами.

Такое ускорение типично для элементарных частиц, летящих с околосветовыми скоростями $V \sim c$ в магнитном поле циклических ускорителей (синхротронов) с радиусом орбит $R \sim 1$ м (Рис. 2.4). При этом центростремительное ускорение $a = V^2/R \sim 10^{17}$ м/с². Поэтому в синхротроне эффект Ритца позволит преобразовывать внешнее лазерное излучение при рассеянии на движущихся электронах. Как правило, лазерные импульсы, рассеянные электронами, преобразуют по эффекту Доплера при достижении лоренц-фактором значений $\gamma \gg 1$ [29, с. 171], что требует мощных ускорителей с большим расходом энергии, а значит, с низким КПД преобразования света. Напротив, эффект Ритца позволит трансформировать излучение даже при $\gamma \sim 1$ в компактных циклотронах, синхротронах и накопителях малой мощности с низкими синхротронными потерями, поскольку уже при $V \sim c$ центростремительное ускорение электронов $a \sim a_0 \sim 10^{17}$ м/с² (при $L \sim R \sim 1$ м). При $\gamma \sim 1$ рассеянное излучение элек-

трона не обладает острой направленностью синхротронного излучения, и максимальная эффективность преобразования частоты ритц-эффектом будет достигнута для излучения вдоль вектора ускорения a электрона, то есть поперёк его скорости и вдоль радиуса орбиты.

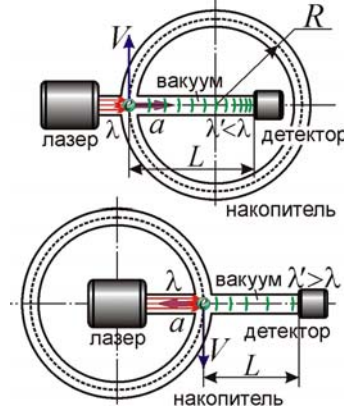


Рис. 2.4. Схемы трансформаторов частоты лазерного излучения на банках электронов, циркулирующих в накопителе: для сокращения длины волны λ (вверху) или для растяжения длины волны (внизу).

Поскольку при $V \sim c$ время $\tau \sim R/V$ пролёта банча электронов через область лазерного облучения – порядка наносекунды, то длительность преобразуемых лазерных импульсов должна быть того же порядка: $\Delta t \leq \tau$. Удобно применить генераторы наносекундных или пикосекундных лазерных импульсов, частота повторения которых совпадает с частотой обращения электронных сгустков – с частотой ускоряющего поля в синхротроне или накопителе электронов. Габариты установки по трансформации света можно сократить в разы при пропорциональном сокращении габаритов L и R до нескольких см. А уменьшив радиус орбиты электрона R до 100 мкм, без изменения базы $L \sim 1$ м, скорость электронов можно снизить до $V \sim c(R/L)^{1/2} \sim 0,01c$ (достижимой уже в электронной пушке), существенно сократив энергозатраты на разгон электронов, генерацию магнитного поля и сократив габариты установки.

Отметим, что для преобразования частоты света в синхротронах за счёт центростремительного ускорения a сдвиг частоты не пропорционален La/c^2 . Частота и длина волны света преобразуется по формуле (2.5), но $a_r \neq a = V^2/R$, и зависимость $\lambda' = \lambda(1 + La/c^2)$ выглядит более сложно [A4], т.к. меняется и направление скорости, и направление на источник A .

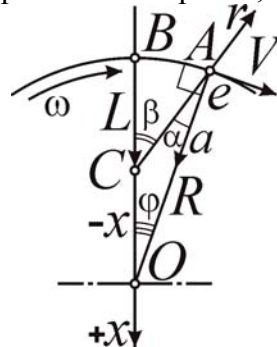


Рис. 2.5. Схема движения электронов по орбите синхротрона и изменения их лучевой скорости относительно приёмника C .

Из Рис. 2.5, где изображена орбита электрона e , видно, что лучевая скорость (проекция скорости V на \mathbf{r} – луч зрения CA из приёмника C) равна $V_r = V \sin \alpha$, где $\alpha = \beta - \varphi$. При малости углов β и φ , опирающихся на дугу AB , получим $\beta \approx \varphi OB/CB = \varphi R/L$. Отсюда $V_r = V \sin[\varphi(R - L)/L] \approx -V\varphi x/L$, где $x = (L - R)$ – смещение приёмника C от центра орбиты O электрона. Лучевое ускорение $a_r = dV_r/dt \approx -V\omega x/L$, где $\omega = d\varphi/dt$ – угловая скорость электрона, откуда

$$f' = f(1 + La_r/c^2) = f(1 - xV^2/Rc^2). \quad (2.7)$$

В предельном случае ($x = 0$), если приёмник C расположен в центре орбиты O , $f' = f$.

В другом предельном случае, если приёмник лежит возле линии полёта электрона ($L = 0$, $x = -R$), и в окрестности точки B это движение можно считать прямолинейным, получим $f' = f(1 + V^2/c^2)$. По сути, эффект Ритца переходит в выражение поперечного эффекта Доплера, но удвоенной величины (§ 2.6). При этом частота меняется не от вариаций скорости \mathbf{V} , а

от изменения направления CA на источник. Тот же результат был получен и в рамках классического эффекта Доплера в системе отсчёта приёмника [A22], как покажем в § 2.6. Это ещё раз показывает частичную эквивалентность и дополняемость эффектов Доплера и Ритца (1.15), в ряде случаев переходящих один в другой, в зависимости от системы отсчёта [A48].

Наконец, в третьем предельном случае, когда $L \gg R$ ($x \approx L$), можно пользоваться классической формулой (2.5), приняв $a_r \approx a = V^2/R$, так как при движении источника, ввиду его удалённости, направление на него практически не меняется. Именно этот случай реализуется для звёзд и галактик, где радиусы орбит R исчезающе малы по сравнению с расстояниями L до них (см. Глава 1). Наиболее общий случай преобразования частоты света при разных вариантах движения источника и приёмника рассмотрен в работе В.П. Золотухина [238].

Для придания электронам ускорения $a_r \sim \pm 10^{17}$ м/с² можно также применить электрическое поле E , в котором $a = Ee/m$ (где $e/m = 1,76 \cdot 10^{11}$ Кл/кг – удельный заряд электрона) достигает 10^{17} м/с² при сравнительно малой напряжённости $E \sim 10^6$ В/м. Для ускорения ионов требуется $E \sim 10^9$ В/м. А в фокусе лазерного пучка достигнуты значения $E = 10^{12}$ В/м [29].

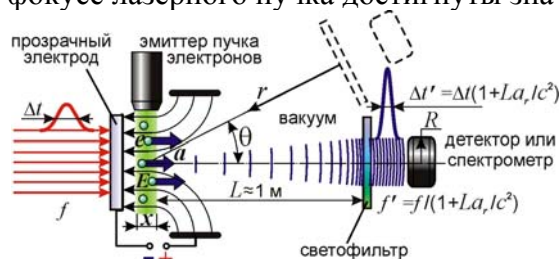


Рис. 2.6. Схема установки по проверке эффекта Ритца, преобразующего частоту света f и длительность Δt лазерных импульсов, рассеянных ускоренно движущимися электронами.

Предложим схему установки по проверке эффекта Ритца и трансформации частоты (Рис. 2.6), в виде вакуумной камеры (Рис. 2.7), где пучок электронов или ионов приобретает в поле E ускорение $\sim 10^{17}$ м/с². Лазерное импульсное излучение с несущей частотой f и длительностью импульса $\Delta t \sim 1$ пс фокусируется на пучке, претерпевая томсоновское рассеяние на электронах (или ионах), играющих роль вторичных источников излучения частоты f . Переизлучённый свет, свободно пролетая в вакууме путь $L \sim 1$ м до светофильтра (отсекающего излучение частоты f), попадает в спектрометр или детектор, которые в случае справедливости эффекта Ритца зафиксируют сигнал изменённой длительности $\Delta t'$ и частоты f' (2.5).

Данный метод преобразования несущей частоты и компрессии импульсов, в случае подтверждения, позволит сжимать длительность импульсов и повышать несущую частоту без разгона частиц до околосветовых скоростей. То есть, метод позволит применять простое оборудование при малом расходе энергии, производя компрессию с высоким КПД. Действительно, поскольку в данном методе существенно ускорение излучающих частиц, а не их скорость (как в эффекте Доплера), то ускорение должно составить $a \sim 10^{17}$ м/с², и скорость, которую успеют набрать частицы за время воздействия лазерного импульса $t = 10^{-14}$ с, составит $V = at = 10^3$ м/с, то есть умеренную величину, сравнимую с тепловой скоростью атомов.

Таким образом, компрессор импульсов должен представлять собой вакуумированный баллон (Рис. 2.7), в который через окно-линзу заводится преобразуемое излучение лазера, проходящее затем через прозрачный электрод (подобные электроды устанавливают в жидкокристаллических экранах и могут быть выполнены из материалов, устойчивых к лазерному излучению, в том числе из графена). Свет фокусируется на пучке электронов или ионов, эмиттируемых из электрода, к которому, как к первому, приложено постоянное или переменное напряжение, меняющееся синхронно с генерацией лазерных импульсов. После рассеяния на электронах или ионах, ускоренных электрическим полем, излучение выходит через отверстие во втором электроде или через электрод в виде сетки. Затем на пути свободного пролёта L импульс преобразуется по эффекту (2.5), (2.6), сокращая свою длительность $\Delta t'$ и повышая частоту несущей f' , после чего выходит через второе окно компрессора. Степень сжатия импульса можно регулировать путём изменения величины и направления ускоряющего поля E , то есть – изменением ускорения a , или меняя длину свободного пролёта L до подвижной переизлучающей пластины, гасящей неравенство скоростей у лучей света.

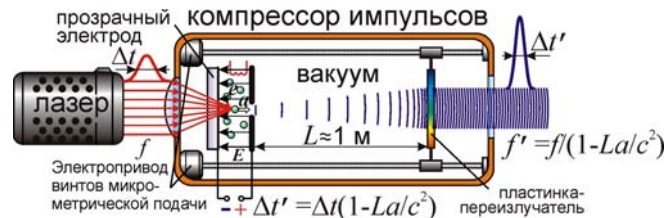


Рис. 2.7. Инерционный преобразователь частоты и компрессор импульсов, действующий по принципу ускорения излучающих и переизлучающих частиц электрическим полем.

Поскольку электроды плоские и поле между ними – это поле плоского конденсатора, то поле получается достаточно однородным, что необходимо для получения всеми электронами равных ускорений для одинакового коэффициента преобразования частоты.

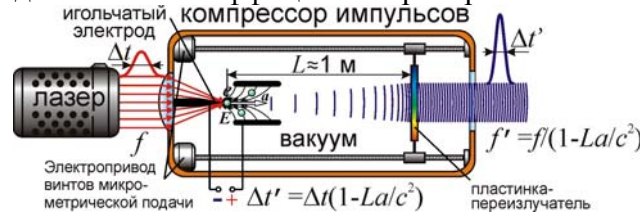


Рис. 2.8. Компрессор импульсов, где электроны или ионы приобретают высокие ускорения за счёт высокой напряжённости поля возле острия игольчатого электрода, на котором фокусируется преобразуемое лазерное излучение.

Высоких значений E можно достичь и путём миниатюризации электродов (Рис. 2.8). Так, возле острия с радиусом закругления r порядка микрона (10^{-6} м) напряжённость поля $E \sim U/r$ достигает значений $E \sim 10^6$ В/м уже при напряжении $U = 1$ В. То есть трансформатор частоты будет работать от простой батарейки, если фокусировать свет лазера перед остриём, испускающим электроны. Остриё может служить эффективным источником электронов и ионов за счёт автоэлектронной, автоионной и холодной эмиссии, или за счёт освещения лазерным излучением. Применение электрода в виде острия позволит выполнить второй электрод в виде цилиндра, вместо электрода с отверстием или сеткой, который мог бы приводить к переизлучению света и тем самым нейтрализовать преобразование его частоты. Эффект Ритца можно проверить рассмотренным способом и для непрерывного излучения возбуждённых ионов, налагая на них соответствующее электрическое поле E .

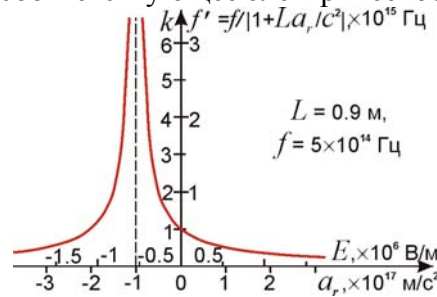


Рис. 2.9. График изменения частоты f' , преобразованной эффектом Ритца, в зависимости от поля E и ускорения a_r электронов.

В рассмотренной выше схеме установки по проверке эффекта Ритца (Рис. 2.6, Рис. 2.7) трансформированная частота f' , как видно из (2.5), зависит от лучевого ускорения электронов a_r , а значит, от ускоряющего поля E . При $a_r = -c^2/L$ частота f' стремится к бесконечности (Рис. 2.9), и малая вариация a_r , в ходе изменения E или L , вызывает гигантское изменение частоты f' . Это открывает простой способ перестройки частоты света из оптического в УФ-, рентгеновский и гамма-диапазон. При обратном знаке поля и ускорения частота снижается, что позволит трансформировать оптическое излучение в инфракрасное и терагерцовое. В рамках общей теории относительности (ОТО) ускорение также меняет частоту, однако ОТО не предсказывает подобных сдвигов частоты (2.5), поскольку для их создания приёмник излучения должен ускоряться вместе с источником, тогда как в установке он покоится.

Эффект Ритца отличен и от эффекта Доплера, который не меняет частоту в ходе переизлучения в прямом направлении. А скорости, приобретаемые частицами за время пикосе-

кундного лазерного импульса $\Delta t \sim 10^{-12}$ с, составят $V = a_r \Delta t \sim 10^5$ м/с, то есть недостаточны для доплеровского преобразования частоты света в разы или для генерации квантов высокоэнергичного тормозного излучения. Генерация пучка электронов и электрического поля короткими импульсами, синхронными с лазерными импульсами, позволит снизить затраты энергии на эмиссию, разгон частиц и упростить схему генератора высокого напряжения.

Итак, после прохождения лазерного импульса поле можно снять. Это позволит наладить поле импульсами, которые, во-первых, должны быть синхронны с импульсами лазера, а во-вторых, их длительность должна быть порядка длительности лазерного импульса, составляя от 10^{-12} до 10^{-9} с. Малая длительность импульса не только уменьшит расход энергии, но и позволит генерировать рекордные напряжённости поля простым оборудованием, скажем, искровым разрядником, трансформатором Тесла и т.д. Именно искровой разрядник позволил Г. Герцу создать в 1888 г. электрические импульсы рекордно малых длительностей, периодов и высокой частоты повторения (порядка ГГц), когда не было высокочастотных генераторов.

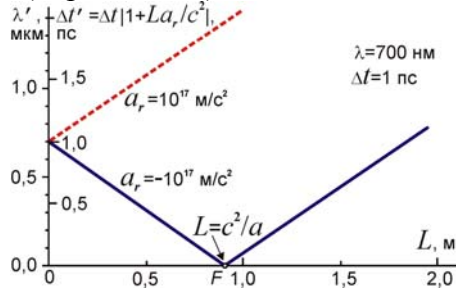


Рис. 2.10. График изменения длины волны λ' и длительности импульса $\Delta t'$ по эффекту Ритца, в зависимости от расстояния приёмника L .

Главная особенность эффекта Ритца – это зависимость (2.5) частоты, длины волны и длительности импульса света – от дистанции L , пройденной светом в вакууме (Рис. 2.10). Анализ этой зависимости при вариации L – это основной критерий проверки эффекта Ритца.

Ещё один критерий даёт анализ зависимости f' от угла θ (Рис. 2.6), под которым регистрируют излучение. Поскольку эффект Ритца (2.5) зависит не от модуля ускорения a , но от его проекции $a_r = -a \cos \theta$ на луч зрения r , то для него должна выполняться зависимость

$$f' = \frac{f}{1 - \frac{La}{c^2} \cos \theta}. \quad (2.8)$$

В полярных координатах зависимость (2.8) соответствует эллипсу (Рис. 2.11) с фокусом в полюсе (источнике), а параметр $\varepsilon = La/c^2 < 1$ – эксцентриситету эллипса. При критическом значении эксцентриситета $\varepsilon = 1$ эллипс превращается в параболу, а максимальная частота f' стремится к бесконечности. При $\varepsilon > 1$ зависимость (2.8) соответствует ветви гиперболы ($\varepsilon > 1$), и частота обращается в бесконечность в направлении $\theta_0 = \arccos(c^2/La)$ асимптот гиперболы с эксцентриситетом ε . В пределах угла $|\theta| < \theta_0$, где знаменатель отрицателен (т.к. задние фронты обгоняют передние), берётся модуль частоты: зависимость изобразится второй, но зеркально обращённой (относительно полюса) ветвью гиперболы. Поскольку томсоновское рассеянное излучение линейно поляризовано, то полученное при его трансформации излучение тоже будет линейно поляризованным, особенно при наблюдении под большими углами θ . Это открывает путь генерации поляризованных рентгеновских и гамма-пучков.

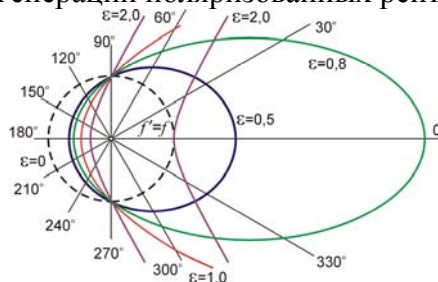


Рис. 2.11. Угловая зависимость частоты $f'(\theta)$, преобразованной эффектом Ритца, при разных значениях параметра $\varepsilon = La/c^2$.

Главное достоинство эффекта Ритца состоит в возможности неограниченного сжатия длительности импульсов $\Delta t'$ (2.5) и повышения их пиковой мощности P' (2.6). Это следует из одновременного сокращения длительности импульса и длины волны, периода световых колебаний (Рис. 2.10), с пропорциональным уширением спектра. Поэтому длительность импульса, ограниченная снизу лишь шириной спектра и периодом световых колебаний [29], может стать сколь угодно малой, а интенсивность – сколь угодно высокой. В точке F , где $L = c^2/a$ (т.е. $\varepsilon = 1$) реализуется абсолютная фазовая фокусировка, то есть волновые фронты, испущенные в разные моменты, приходят к приёмнику одновременно. Неограниченное сжатие импульсов и практически бесконечный рост их пиковой мощности P' становятся возможными ещё и за счёт того, что сжатие импульса протекает в процессе движения импульса в вакууме, а не в веществе, в котором предельная мощность импульса ограничена нелинейными эффектами, поглощением и пробоем среды под действием мощного излучения.

Оценим мощность преобразованных импульсов. Если исходное излучение имеет мощность P_0 , то мощность рассеянного электронами излучения составит $P = P_0(1 - e^{-\tau}) \approx P_0\tau = P_0N\sigma_T x$, где $\tau = N\sigma_T x \ll 1$ – оптическая толщина слоя электронного пучка, N – концентрация в нём электронов, $x \approx 0,001$ м – толщина пучка, $\sigma_T = (8\pi/3)r_0^2 \approx 6,65 \cdot 10^{-29}$ м² – эффективное сечение томсоновского рассеяния, r_0 – классический радиус электрона. При концентрации электронов $N = 10^{26}$ м⁻³ [63] (достижимой при фотоэмиссии лазерным импульсом из фольги или в пучках взрывной электронной эмиссии, с импульсами ~ 100 пс [64]), получим $P \sim P_0 \cdot 10^{-5}$. При сжатии импульсов в 10^5 раз и выше, из (2.6) вытекает возможность генерации импульсов гамма-излучения с мощностью равной, или выше исходной: $P' \sim P \cdot 10^5 \sim P_0$.

Таким образом, удастся генерировать монохроматическое рентгеновское и гамма-излучение перестраиваемой частоты с пиковой мощностью до 10^{15} Вт (пиковая мощность петаваттного лазера), но малой длительности $\Delta t' \sim 10^{-17}$ с. Также открывается возможность создания пучков когерентного рентгеновского и гамма-излучения со свойствами лазерного излучения, в случае обеспечения высокой однородности электронного пучка и поля E . Тогда параллельный лазерный пучок, проходя сквозь электронный пучок, когерентно рассеется электронами в прямом направлении в такой же параллельный световой пучок, преобразуемый далее по эффекту Ритца. Для этого следует исключить малейшие неровности волновых фронтов, например, с помощью методов коррекции волнового фронта [190]. В противном случае при сближении фронтов до расстояния λ' в тысячи раз меньше исходной длины волны λ , малые неровности фронтов проявятся в виде вариаций длины волн вдоль фронта.

Отметим, что идеально однородное поле создать трудно, поскольку в одном из электронов есть отверстие для излучения, и электронный пучок создаёт собственное неоднородное поле, наложенное на внешнее и формирующее неоднородности концентрации электронов. Чтобы все электроны пребывали в одинаковом поле E и обретали одинаковые ускорения, электронный пучок следует фокусировать, фокусируя в ту же точку лазерный пучок. Это обеспечит одинаковое преобразование частоты излучения всеми электронами, но рассеяние будет уже некогерентным и ненаправленным. В этом случае мощность рассеянного сигнала, поступающая в телесный угол $\Omega = \pi R^2/L^2$ (в апертуру детектора радиуса R), составит $P_\Omega = P_0 N x \Omega d\sigma/d\Omega$, где $d\sigma/d\Omega = \sigma_T(3/16\pi)(1 + \cos^2\theta)$ (2.9) – дифференциальное сечение томсоновского рассеяния. Тогда, при $\theta = 0^\circ$ и $R/L \sim 0,05$, при тех же параметрах получим $P_\Omega \sim P_0 \cdot 10^{-8}$. А мощность сигнала, регистрируемая детектором после преобразования по эффекту Ритца, согласно формуле (2.6), составит

$$P_\Omega' = \frac{P_\Omega}{1 + La_r/c^2} = P_0 \frac{3N\sigma_T x \Omega}{16\pi} \cdot \frac{1 + \cos^2\theta}{1 - \varepsilon \cos\theta}. \quad (2.10)$$

На Рис. 2.12 представлены диаграммы направленности излучения по энергии импульса (пропорциональной P_Ω), и по его пиковой мощности P_Ω' (2.10). При $\varepsilon < 1$ максимум пиковой мощности достигается в прямом направлении ($\theta = 0^\circ$), где максимальна частота (Рис. 2.11).

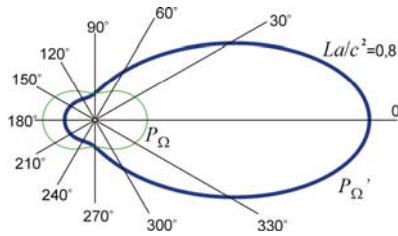


Рис. 2.12. Диаграмма направленности рассеянного излучения по энергии импульсов (или пиковой мощности P_Ω в момент рассеяния) и по пиковой мощности P_Ω' , изменённой по эффекту Ритца.

Эксперимент, отчасти напоминающий указанный, ещё в 1950 г. планировал академик С.И. Вавилов, как раз имея в виду проверку баллистической теории. Будучи пионером нелинейной оптики, в 1942 г. он заинтересовался трансформацией оптического спектра в вакууме [65], аналогичного красному смещению в спектрах галактик (§ 1.2). Вавилов отметил, что «Экспериментальные попытки (без каких-либо серьёзных опытных или теоретических оснований) влиять силовыми полями на частоту светового потока, начинающиеся с Фарадея и продолжающиеся до последнего времени [66], никакого положительного результата не дали» [65, с. 133]. В баллистической теории эти основания появились: Вавилов предложил модулировать скорость пучка ионов, меняя величину ускоряющего поля, и проверить предсказанное теорией Ритца изменение фазы и, следовательно, частоты модулированного светового сигнала [67]. Однако смерть Вавилова в 1951 г. помешала ему построить установку и осуществить эксперимент. А его ученик А.М. Бонч-Бруевичу так видоизменил схему опыта, применив в качестве источника движущиеся края Солнца, что не только не могли наблюдаться предсказанные Вавиловым эффекты, но и баллистическая теория не могла быть проверена [68].

§ 2.5. Эффект генерации гармоник при модуляции скорости света

Электроны, атомы и наночастицы можно ускорять и давлением света $p = 2I/c$ (Рис. 2.13). Оно сообщает частице радиуса $r \sim 10^{-9}$ м, плотности $\rho \sim 10^3$ кг/м³ и массы $M = 4\pi r^3 \rho/3$, ускорение $a = \rho r^2/M \sim I/\rho c r \sim 10^{17}$ м/с² уже при интенсивности света $I \sim I_0 \sim 10^{16}$ Вт/см², достижимой в фемтосекундных импульсах [29]. Фемтосекундные импульсы способны ускорять и электроны посредством пондеромоторной силы (действующей при релятивистских скоростях), полем кильватерной волны в плазме и т.п. [29]. В таком случае лазерное излучение, ускоряя частицы, переизлучается ими и далее преобразуется по эффекту Ритца.

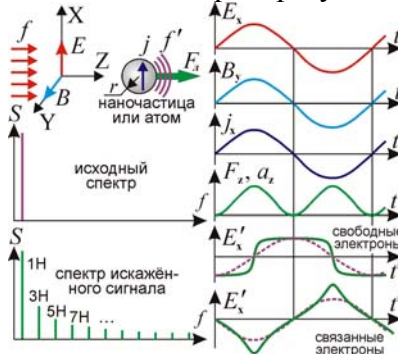


Рис. 2.13. Схема формирования спектра гармоник за счёт искажения профиля волны, переизлучённой ускоренно движущимися частицами.

Действительно, в опытах наблюдается преобразование фемтосекундных лазерных импульсов оптического диапазона в аттосекундные импульсы рентгеновского диапазона, после рассеяния фемтосекундных импульсов на электронах, ускоренных лазерным импульсом [69]. Эффект интерпретируют как доплеровский рост частоты при отражении импульсов «электронным зеркалом». Но это преобразование может быть также результатом изменений частоты по эффекту Ритца, что легко проверить путём проверки в эксперименте зависимостей (2.5–2.10), которые не будут выполняться в случае доплеровского преобразования частоты.

Поскольку в импульсе от изменения интенсивности во времени меняется и ускорение атомов, то разные части импульса сжимаются в разной степени: пьедестал импульса, где интенсивность излучения мала, почти не сжимается. Поэтому, строго говоря, импульс сохраня-

ет прежнюю длительность, и лишь обостряется – сжимается его вершина (то же самое происходит при чирп-компрессии, т.к. линейная модуляция частоты возникает возле вершины импульса), которая действительно может быть сокращена до аттосекундной длительности.

Впрочем, и на вершине импульса, где интенсивность света не меняется ($dI/dt = 0$), давление света осциллирует. Обычно давление света постоянной интенсивности I на частицу считают постоянным, ввиду его усреднения по времени и поверхности макрообъектов. Но для частиц размером менее длины волны λ сила давления света осциллирует на удвоенной частоте f колебаний светового поля. Переменное давление, модулируя ускорение a частиц и величину эффекта Ритца (2.5), исказит профиль переизлучённой волны, формируя нечётные гармоники несущей частоты f [A13]. Гармоники с номерами $H > 1$ возникнут уже при $I \ll I_0$, а при $I \sim I_0$ мощности, заключённые в гармониках Hf и исходном излучении частоты f , будут сопоставимы. Гармоники реально регистрируют в генераторах аттосекундных импульсов, где в фокусе фемтосекундного лазера атомы и наночастицы под действием светового давления приобретают гигантские ускорения, вплоть до 10^{23} м/с² [29]. Выходит, регистрируемые при этом импульсы рентгеновского излучения аттосекундной длительности могут быть преобразованными по эффекту Ритца (2.5) фемтосекундными оптическими импульсами.

Рассмотрим генерацию гармоник, соответственно, в электрическом и магнитном полях

$$E(t) = E_0 \sin(\omega t) \text{ и } B(t) = B_0 \sin(\omega t)$$

линейно поляризованной волны с циклической частотой ω . Временная зависимость силы Лоренца F_L , – давления света на частицу радиуса r и проводимости σ задана выражением

$$F_L(t) \sim r^3 j(t) B(t) = r^3 \sigma E_0 B_0 [1 - \cos(2\omega t)]/2. \quad (2.11)$$

Как видно из (2.11) F_L быстро меняется от осцилляций поля $B(t)$ и плотности тока $j(t) = \sigma E(t)$ в частице, модулируя с частотой 2ω её ускорение $a = F_L(t)/M$. Тогда профиль волны, переизлучённой электронами проводимости (у которых в фазе с полем E меняется плотность тока j и, соответственно, скорость), исказится, приобретя форму близкую к импульсам меандра:

$$E'(t) = E_0 [\cos(\omega t) - \cos(3\omega t)/3 + \cos(5\omega t)/5 - \dots]; \quad (2.12)$$

а у волны, переизлучённой связанными электронами (у которых в фазе с E меняется ускорение и в противофазе – смещение), – форму близкую к треугольным импульсам (Рис. 2.13):

$$E'(t) = E_0 [\cos(\omega t) + \cos(3\omega t)/9 + \cos(5\omega t)/25 + \dots]. \quad (2.13)$$

То есть спектр образуют нечётные гармоники частоты f , вплоть до гармоник предельной частоты f_{\max} , синтезирующих самый острый или самый крутой участок профиля.

В опытах спектр аттосекундных импульсов, формируемых фемтосекундными импульсами в струе газа или при абляции поверхности, образован как раз нечётными гармониками [29]. За резким спадом мощности первых гармоник идёт медленное убывание – «плато», подобное асимптотическому убыванию $1/H$ гармоник «меандра» с обрывом на частоте f_{\max} . Реализацию данного механизма можно проверить, изучив зависимость спектра импульсов от дистанции L , наращивающей искажения $E'(t)$. Действительно, зависимости (2.12) и (2.13) приближённо отражают форму графика $E'(t)$, когда амплитуда ускорения рассеивающих частиц близка к критической $a = c^2/L$, а при меньших интенсивностях света искажения будут меньше. Отклонения графика $E'(t)$ от гармонического закона будут нарастать, а интенсивности высших гармоник увеличиваться при увеличении пройденной рассеянным светом дистанции L . Этот эффект аналогичен клистронному (где тоже наблюдается преобразование исходной частоты, с которой модулируется скорость потока электронов, в спектр гармоник [248]) и потому может быть рассмотрен математически с помощью аналогичных формул.

Отметим, что эффект изменения спектра аттосекундных импульсов в зависимости от пройденного светом пути, реально наблюдается [265]. Однако этот эффект интерпретируют как результат пространственной селекции гармоник. Согласно модели П. Коркума, разные гармоники, соответствующие разным траекториям электронов, излучаются в разных направлениях. Поэтому при отдалении от источника в спектрометр преимущественно поступают (пространственно селективируются) гармоники, излучённые в прямом направлении, тогда как гармоники, излучённые под большими углами, отсеиваются. Проверить, какой механизм преобразования спектра реализуется, можно, исследуя характер роста интенсивности высших гармоник при отдалении от источника, предсказанный баллистической теорией.

Отметим, что при действии фемтосекундных импульсов на плазму, образованную при абляции твёрдой поверхности, формирование гармоник интерпретируют по сходному механизму, рассматривая отражение (переизлучение) волны колеблющимся под давлением света плазменным «зеркалом», что ведёт к искажению профиля электромагнитной волны $E'(t)$ [264]. Но в этом случае искажения обусловлены исключительно эффектом Доплера от колебаний плазменного зеркала, и спектр не зависел бы от пути L , пройденного светом в вакууме.

При дополнительной компрессии фемтосекундного импульса накачки его длительность сокращается, а интенсивность I – пропорционально растёт. При этом возможен рост частоты выше значений кратных частот Hf за счёт постоянной составляющей ускорения a и силы давления (2.11), усреднённой по времени: $F_{\text{д}} \sim r^3 \sigma E_0 B_0 / 2$ [A2, A13]. Подобный рост частот Hf при сжатии импульсов реально наблюдается: частоты пиков на спектре немного превышают расчётные значения Hf , причём тем значительней, чем короче импульс [72].

При наклонном падении лазерного луча на поверхность, отражённый свет рассеивается на испарённых с поверхности ионах, которые колеблются также и под действием электрического поля $E(t)$ световой волны в плоскости падения. Поскольку кулоновская сила eE намного превосходит силу светового давления $F_{\text{д}}$, то даже при $I \ll I_0$ эффективность генерации гармоник должна быть выше и зависеть от угла падения и поляризации падающего света. Проверка этой зависимости станет ещё одним критерием проверки эффекта Ритца.

Расчёт выполнен для линейно поляризованного света. У циркулярно поляризованного света давление не осциллирует (поскольку значения полей E и B не зависят от времени), создавая постоянное ускорение частиц. То есть, циркулярно поляризованный свет не генерирует гармоник частоты f , а способен лишь наращивать её по эффекту Ритца (2.5). Действительно, как показали опыты [72], гармоники генерирует только линейно, а не циркулярно поляризованный свет. Но циркулярно поляризованное излучение позволит наблюдать преобразование частоты по эффекту Ритца в чистом виде при $I \sim I_0 \sim 10^{16}$ Вт/см². В связи с этим интересно отметить, что для циркулярно поляризованного излучения, действительно, удаётся наблюдать преобразование частоты света, носящее совсем иной характер, чем при генерации аттосекундных импульсов за счёт воздействия линейно поляризованного света [213].

Для частиц размером менее микрона оценку I_0 следует скорректировать, поскольку металл такой толщины прозрачен для света, передающего частице лишь малую часть своего импульса, пропорциональную числу электронов в частице. То есть, сила давления света $F_{\text{д}}$ меняется как r^3 , и ускорение a уже не зависит от r : $a = F_{\text{д}}/M \sim r^3 \sigma E_0 B_0 / \rho r^3 \sim 2\sigma \mu_0 I / \rho$, откуда $I_0 \sim 10^{14}$ Вт/см² (для $a \sim a_0$). При увеличении радиуса r частиц их ускорение может даже расти, ввиду изменения свойств вещества при переходе от микро- к макромасштабам. Этим можно объяснить более эффективную генерацию гармоник при облучении наночастиц, а не атомов, например, серебра [72]. Для частиц размером в нанометры и эта оценка I_0 является неточной: при поперечнике порядка десяти атомов начинает сказываться дискретная структура вещества, оказываются велики краевые эффекты и ЭДС зарядов, наведённых полем $E(t)$, а давление Лапласа, сжимая частицу, сильно меняет её проводимость σ и другие свойства.

Выяснить основной механизм генерации аттосекундных импульсов и проверить эффект Ритца можно, изучив зависимость спектра от L и a_r (зависящего от L) [A2, A13]. Подтвержденные зависимости (2.5–2.10) позволят повысить эффективность трансформации излучения.

§ 2.6. Поперечный эффект Доплера в баллистической теории

Ещё одним критерием проверки баллистической теории и СТО служит анализ поперечного эффекта Доплера. Обычно полагают, что классическая теория, в частности теория Ритца, не может объяснить этот эффект, который считают чисто релятивистским [16, 9]. В частности, и сам Ритц в письме к Пашену от 1909 г. предлагал поставить эксперимент по измерению величины поперечного эффекта Доплера: «По теории относительности Лоренца-Эйнштейна длина волны, излучаемая движущимся атомом, должна меняться по принципу Доплера не только в направлении движения; и при наблюдении перпендикулярно направлению скорости v должно существовать смещение к красному в отношении $\lambda v^2 / 2c^2 \dots$ Нельзя бы сделать так, чтобы дать точный ответ на вопрос о существовании эффекта?» [16, 30].

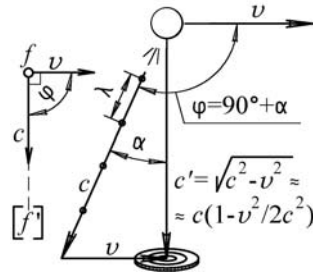


Рис. 2.14. К расчёту поперечного эффекта Доплера. Чтобы луч света от движущегося источника попал в приёмник, луч должен испускаться с угловым упреждением $\alpha = v/c$, создающим небольшой продольный эффект Доплера.

Подобный опыт был выполнен лишь 30 лет спустя Айвсом [16]. Если в продольном эффекте Доплера изменение частоты $f' = f(1 + v\cos(\varphi)/c)$ создаётся продольной составляющей скорости и объясняется классически, то в поперечном эффекте Доплера (Рис. 2.14), где источник движется поперёк луча зрения ($\varphi = 90^\circ$), и отсутствует эффект Доплера, обусловленный продольной компонентой скорости, наблюдаемое в опыте изменение частоты говорит, якобы, об изменении самого хода времени, возможном исключительно в СТО.

В рамках баллистической теории частоту меняет только продольный эффект Доплера, и сдвиг частоты объясняется целиком в рамках классической физики. Следует лишь учесть, что в системе отсчёта источника угол φ , под которым свет испускается к наблюдателю, составит уже не $\pi/2$, а $\pi/2 + \alpha$ (Рис. 2.14). Согласно баллистической теории, скорость света складывается со скоростью источника, и свет, достигающий приёмника, должен вылетать из источника под углом α к лучу зрения (этот абберационный угол аналогичен наблюдаемому в эффекте звёздной аберрации, § 1.3). Хотя угол этот мал, однако $\cos(\varphi)$ – отличен от нуля:

$$\cos(\varphi) = \cos(90^\circ + \alpha) = -\sin(\alpha) = -v/c,$$

откуда

$$f' = f(1 + v\cos(\varphi)/c) = f(1 - v^2/c^2).$$

Длина волны, напротив, растёт:

$$\lambda' = c'/f' = c(1 - v^2/2c^2)/f(1 - v^2/c^2) \approx \lambda(1 + v^2/2c^2).$$

Именно такие изменения длины волны излучения, вполне объяснимые с позиций баллистической теории, и наблюдались в опытах. Таким образом, поперечный доплер-эффект согласуется с теорией Ритца, как отмечал ряд авторов, отметивших роль угла аберрации [94, 93].

Результат можно обобщить на случай излучения света под любым углом, для расчёта квадратичной поправки к эффекту Доплера (квадратичного эффекта Доплера). В этом случае, применяя классическую формулу доплер-эффекта, тоже следует учесть, что в ней угол φ – это не угол θ , под которым регистрируют излучение, а угол, под которым источник его испускает (Рис. 2.15). Согласно баллистическому принципу, источник сообщает свою скорость свету, и эти углы разнятся на угол аберрации. Чтобы излучение приходило под углом $\theta = 90^\circ$, оно должно вылетать под углом $\varphi > 90^\circ$, так что $\cos\varphi = -V/c$ и $f' = f(1 - V^2/c^2)$, то есть частота снижается. Именно такое покраснение света зафиксировали в опыте Айвса, где один из лучей шёл под углом 90° , а второй – в противоположном направлении и отражался зеркалом, из-за чего поперечный эффект Доплера для этого луча отсутствовал. То есть классическая формула доплер-эффекта подтвердилась. Сам Айвс тоже трактовал опыт классически.

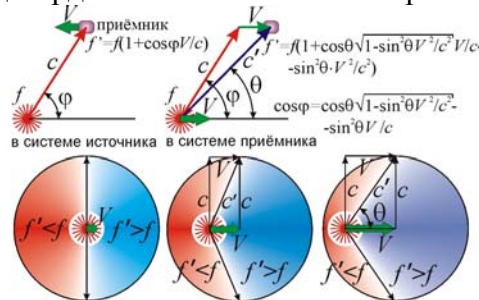


Рис. 2.15. Свет, излучённый под углом φ , получив скорость источника V , приходит уже под углом θ , отчего меняется угол в формуле Доплера, словно свет получил лишнее «красное смещение», растущее при увеличении скорости.

Таким образом, избыточное красное смещение света у быстро летящих частиц вызвано не замедлением процессов, а восприятием излучения, испущенного частицей под углом назад, что снижает частоту. Источник, сообщая лучам света свою скорость, меняет их направления тем сильнее, чем выше его скорость. Поэтому у лучей света, вылетающих вперёд по линии движения под углом $\theta < 90^\circ$ можно обнаружить красное смещение, вместо синего. Если в СТО это объясняют растяжением времени, то в баллистической теории причина в добавлении скорости источника к скорости света, отчего свет, излученный назад, может вылетать вперёд, приобретая скорость источника. Угол θ , под которым регистрируют излучение источника на исходной частоте ($f' = f$, на границе красного и синего смещений), найдётся из условия, что под таким углом идёт луч, испущенный источником под углом $\varphi = 90^\circ$, когда $f' = f(1 + \cos\varphi V/c) = f$. Этот луч, при отклонении на угол абберации, приходит под углом $\theta = \arctg(c/V)$. То есть рост скорости V снижает угол θ от 90° до нуля, в согласии с результатами экспериментов. Свет, испытавший синее смещение, сосредоточен внутри конуса с углом раствора 2θ . Причём конус сужается при увеличении скорости V (Рис. 2.15).

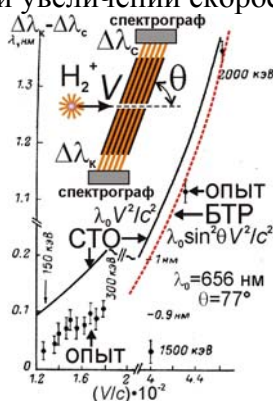


Рис. 2.16. Схема опыта Победоносцева по сравнению красного и синего смещений спектральных линий, и его результат – зависимость $\Delta\lambda(V)$.

Уточнённый опыт по проверке квадратичного эффекта Доплера у света, излучённого под углом θ к скорости V ионов водорода H_2^+ (Рис. 2.16), поставленный группой Л.А. Победоносцева в 1989 г., показал, что измеренные сдвиги спектра отличаются от прогнозов СТО ($\lambda_0 V^2/c^2$) в два и более раз [91]. Но сдвиг близок к прогнозу баллистической теории ($\lambda_0 \sin^2\theta \cdot V^2/c^2$, см. Рис. 2.16) [A37]. Поэтому нужны новые эксперименты по точному измерению величины эффекта Доплера от частиц, движущихся с релятивистскими скоростями. Например, интересен опыт, выполненный по схеме В. Петрова [184] по измерению сдвига частоты света, испущенного вперёд и назад по направлению движения.

Поперечный эффект Доплера можно рассматривать и в качестве проявления эффекта Ритца – от изменения проекции скорости источника на луч зрения, при изменении угла между скоростью и направлением на источник, без изменения модуля скорости V [A4]. Этот эффект рассмотрен, например, в § 2.4, а также в электронной работе В. Золотарёва [238].

В пользу классической формулы эффекта Доплера, а не релятивистской, свидетельствуют и результаты космической радиолокации спутников, пролетающих по гиперболической орбите мимо Земли (Flyby-аномалия). Если бы работала релятивистская формула эффекта Доплера, то при сближении и удалении АМС регистрировались бы несовпадающие красное и синее смещение частоты. Тогда как реально регистрируемые значения красных и синих смещений – совпадают, в согласии с классической формулой доплер-эффекта (см. § 1.10).

Изменение частоты электромагнитных сигналов в поперечном направлении регистрировалось также непосредственно по частоте сигналов от эталона частоты, размещённого на ракете, взлетающей на высоту $h \sim 10000$ км над Землёй [164, 256]. При этом регистрировалось изменение частоты сигналов, в точности соответствующее предсказаниям общей теории относительности. В рамках баллистической теории Ритца такое изменение частоты могло быть связано с поперечным эффектом Доплера и эффектом Ритца за счёт ускоренного движения ракеты [A46]. Таким образом, эксперименты по измерению эффекта Доплера косвенно подтверждают классическую кинематику и баллистическую теорию света.

§ 2.7. Сопоставление электродинамических характеристик излучения элементарных излучателей с предсказаниями теории Ритца

Баллистическая теория света, согласно гипотезе Ритца [1], представляет свет в виде потока элементарных частиц (реонов), испускаемых элементарными зарядами (см. ВВЕДЕНИЕ). Если неподвижный заряд генерирует стационарный поток реонов, оказывающий постоянное электрическое воздействие $F = knc^2$ (n – концентрация реонов возле заряда, c' – их скорость относительно заряда [1, А14, А20]), то заряд, колеблющийся с частотой f , модулируя скорость реонов, создаёт модулированный с пространственным периодом $\lambda = c/f$, поток частиц, оказывающих переменное с частотой f электрическое воздействие. Именно такое движущееся со скоростью света c осциллирующее воздействие и называют электромагнитными волнами, светом. По сути, Ритц с позиций корпускулярной теории света Ньютона объяснил волновые свойства света, в том числе интерференцию, дифракцию и т.д. [1, 30].

Электромагнитные волны в теории Ритца подходят под более общее определение волны в виде периодически модулированного в пространстве и времени распределения частиц, движущегося с заданной скоростью. Под это определение попадают, например, кинематические волны электронов в клистроне [248]. Такая волна, в отличие от волн в среде, способна заимствовать скорость источника, то есть для неё выполняется баллистический принцип.

Именно баллистический принцип, как показал Ритц [1], объясняет, почему поля E и H колеблющегося заряда спадают в зависимости от расстояния не как $1/r^2$, а как $1/r$, что и делает возможной регистрацию электромагнитных волн на больших расстояниях. Чтобы доказать это, проведём анализ излучения антенны в виде пульсирующего диполя и рассмотрим её излучение в волновой зоне, когда заряд находится далеко от антенны и время движения света до пробного заряда становится много больше периода колебаний тока. В этой волновой зоне электрическое E и магнитное H поля спадают как $1/r$, а интенсивность света EH – как $1/r^2$.

Согласно баллистической теории, причина этого – в эффекте Ритца (1.14), справедливым как для света, так и для всех других электрических воздействий, переносимых реонами. При движении заряда с ускорением a тот придаёт реонам разную добавочную скорость, отчего реоны группируются: их поток уплотняется и разрежается тем сильнее, чем дальше они улетают от источника (так и клистрон формирует в изначально однородном потоке электронов сгустки, узлы [114, Ч.II]). Соответственно, сила воздействия реонов растёт или падает пропорционально плотности их потока $n' = n(1 - ra_r/c^2)$. Если заряд колеблется (проекция его ускорения a_r меняется), это ведёт к группировке реонов, испущенных с положительным лучевым ускорением, и – разрежению испущенных с обратным: антенна, модулируя поток реонов по скорости, модулирует его плотность. По мере движения реонов плотность их сгустков растёт (Рис. 2.17), и пропорционально ra_r/c^2 нарастает амплитуда колебаний электрического поля E , что иллюстрируют аналогией источника света и шланга, выбрасывающего при колебании струю, амплитуда волн которой при удалении нарастает [115, сс. 302, 308]. Эти колебания поля E и регистрирует приёмник, а постоянная составляющая поля подвижных электронов нейтрализуется полем неподвижных положительных ионов металла.

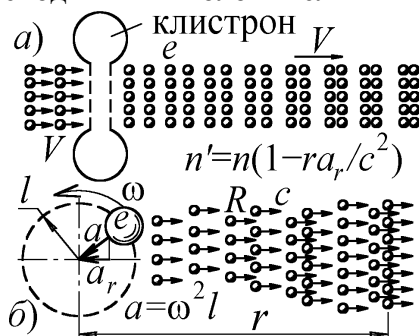


Рис. 2.17. а) клистрон модулирует плотность потока n электронов, придавая им разные скорости, б) колебание заряда, или его движение по орбите, меняя скорость реонов, формирует периодические сгустки-разрежения потока реонов, порождающие колебания поля E , частоты и яркости света.

Поле неподвижного заряда q находится как $E = q/4\pi\epsilon_0 r^2$, а у колеблющегося амплитуда колебаний поля $Era/c^2 = qa/4\pi\epsilon_0 r^2 c^2$ (Рис. 2.18). Поскольку амплитуда ускорения гармонически колеблющегося заряда $a = \omega^2 l$, где $\omega = 2\pi/T$ – циклическая частота колебаний, l – длина антенны, то амплитуда колебаний электрического поля в волновой зоне $\Delta E = q\omega^2 l/4\pi\epsilon_0 r^2 c^2$. Но $q\omega$ – это амплитуда тока I , а $c^2 = 1/\epsilon_0\mu_0$. Отсюда $\Delta E = I\omega\mu_0 l/4\pi r$, что совпадает с выражением для поля E элементарного излучателя в волновой зоне [116]. Таким образом, поле убывает как $1/r$. Аналогичный расчёт легко провести для магнитного поля H , подобно электрическому, пропорционального концентрации n . А плотность мощности излучения S (интенсивность света), равная произведению E и H , спадает пропорционально r^2 и растёт с его частотой ω .

Также баллистическая теория даёт верную диаграмму направленности антенны, если применить баллистическую аналогию с волной осколков от летящего снаряда [117], или с водой из шланга, сообщающего им скорость своих колебаний [114, с. 308]. Подобный вывод значений E и H элементарного излучателя был впервые предложен Дж. Томсоном как раз на основе баллистической аналогии струй воды из подвижного шланга и силовых линий, исходящих из подвижного источника поля. Этот вывод, основанный на баллистической теории, до сих пор включают в учебники физики [4] как пример изящного доказательства.

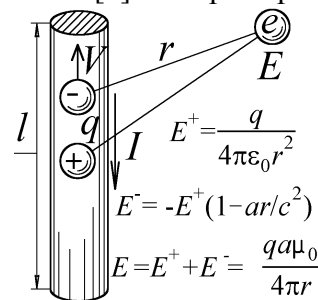


Рис. 2.18. Колебания тока в диполе Герца соответствуют колебанию ускорения зарядов с амплитудой a , что ведёт к периодичному изменению поля возле пробного заряда.

Колебания электронов в антеннах могут приводить и к искажению синусоидальной формы излучаемой ими электромагнитной волны. Движущиеся электроны сообщают свою скорость свету и потому половину периода реоны излучаются со скоростью выше c , а половину – ниже. Одни реоны, догоняя другие, могли бы сильно исказить синусоидальный профиль волны, как это допускали и выявили у двойных звёзд (см. § 1.1), но чего не наблюдали у радиоволн. Впрочем, как показал Ритц [1], такие искажения и не могут быть заметны ввиду того, что скорости электронов в антеннах много меньше скорости света, и неоднородность электронов по скоростям может вести лишь к малым волновым периодичным возмущениям однородного потока реонов, благодаря чему и возникают электромагнитные волны.

Если скорость колеблющихся электронов приближается к скорости света, эти искажения, растущие пропорционально пройденному светом пути, могут стать заметными уже на земных дистанциях. Так, в синхротронах, где электроны крутятся с околосветовыми скоростями, а потому, согласно Ритцу, должны излучать негармонические волны. Как заметил автору профессор Н.С. Степанов, это должно проявиться в усложнении спектра излучения, поскольку негармонический периодичный сигнал при разложении в спектр даёт, кроме основной частоты, множество кратных ей. Если обычно электроны излучают волны лишь с частотой своего вращения, то в синхротроне испускаемое ими синхротронное излучение, согласно баллистической теории, будет иметь сложный частотный спектр. Излучение пойдёт не только на частоте вращения электрона, но и на удвоенной, утроенной и других кратных частотах.

Действительно, у синхротронного излучения, по мере роста скорости электронов, обнаружено усложнение спектра, содержащего, кроме основной частоты $f=2\pi/\omega$, и её гармоники. Эффект становится заметен ещё у нерелятивистских электронов в гиротронах, где, кроме излучения на циклотронной частоте регистрируется излучение на второй гармонике. С приближением скорости электронов к скорости света, интенсивность высших гармоник растёт, будучи задана разложением в ряд Фурье цилиндрических функций. С помощью цилиндрических (бесселевых) функций и описывают форму и спектр кинематических волн [114, 276], генерируемых клистрономы и звёздами по сходному механизму при модуляции скорости по-

тока частиц, несущих кинематическую волну. В клистронах эффект группирования электронов, аналогичный эффекту Ритца для света, используют для умножения частоты излучения. Подробнее свойства синхротронного излучения с позиций теории Ритца рассмотрим в § 3.4.

Ещё одним отличием баллистической теории от электродинамики СТО служит то, что длина волны света в вакууме не является однозначно заданной функцией частоты. Действительно, если в вакууме длину волны λ принято выражать в форме

$$\lambda = c/f,$$

то в баллистической теории длина волны от источника с лучевой скоростью v_r составляет

$$\lambda' = (c - v_r)/f.$$

То есть, длина волны зависит не только от частоты f , но и от скорости источника v_r .

Проверить, справедлива ли в данном случае баллистическая теория, можно путём прямого измерения скорости импульсов от источника (§ 2.3), либо, при генерации источником монохроматической электромагнитной волны, – путём измерения длины волны света λ' в вакууме. Длину радиоволн сантиметрового диапазона можно измерить, установив вдоль пути луча две антенны, и измеряя зависимость фазового сдвига φ сигнала на них от скорости v_r источника. В теории относительности фазовый сдвиг на антеннах не должен зависеть от скорости источника, а в баллистической теории такая зависимость должна обнаружиться. При расстоянии между антеннами L , согласно баллистической теории фазовый сдвиг составит

$$\varphi = 2\pi L/\lambda' = 2\pi Lf/(c - v_r),$$

что отличается от прогноза СТО на

$$\Delta\varphi = 2\pi L/\lambda' - 2\pi L/\lambda = 2\pi Lf v_r/c^2.$$

При достижимой в лаборатории скорости источника $v = 100$ км/с (§ 2.3) и частоте $f = 30$ ГГц ($\lambda = 1$ см) на длине $L = 10$ м этот фазовый сдвиг составит величину $\Delta\varphi = 2,1$, то есть вполне измеримую величину. Практически удаётся измерять много меньшие фазовые сдвиги, вплоть до $\Delta\varphi = 0,01$, так что скорость источника можно сделать пропорционально ниже ~ 500 м/с, что легче реализовать. При этом источник СВЧ-излучения должен излучать узкий радиолуч, идущий в вакуумированной трубе, не задевая стенок. В противном случае переизлучение, при отражении от стенок, приведёт к тому, что отражённое излучение, рассеянное стенками, будет двигаться со скоростью c и, интерферируя с исходным, изменит наблюдаемую картину распределения поля и измеренный сдвиг фаз. Чтобы сравнить сдвиг фаз на антеннах для подвижного и неподвижного источника, можно не менять скорость источника, а пропускать излучение через неподвижную переизлучающую пластинку. Тогда, в зависимости от толщины пластинки, свет будет переизлучаться сильнее или слабее, что позволит наблюдать изменение $\Delta\varphi$ в зависимости от толщины пластинки – когда она много меньше длины переизлучения $b \ll l = \lambda/2\pi(n - 1)$ и много больше длины переизлучения $b \gg l$. А при сопоставимости $b \sim l$ удастся наблюдать более сложное распределение $\Delta\varphi$ по длине L в виде биений.

В качестве возражения против баллистической теории выдвигался и такой аргумент. Если рассмотреть излучатель в форме заряда, крутящегося по орбите диаметра d в плоскости чертежа с частотой f , то при увеличении диаметра орбиты d угол θ , под которым источник регистрируется приёмником O , расположенным на расстоянии L , будет расти по закону

$$\theta \sim d/L. \quad (2.14)$$

А согласно электродинамике, угловая расходимость излучения источника размера d составит

$$\theta \sim \lambda/d. \quad (2.15)$$

то есть снижается при увеличении размера излучающей области – орбиты диаметра d .

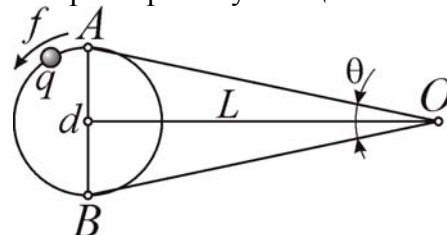


Рис. 2.19. Излучение заряда, движущегося по круговой орбите, наблюдатель O видит под углом θ .

В действительности, для угла наблюдения θ в классической электродинамике получается тот же результат (2.14), что и в баллистической теории. Если рассмотреть

движение заряда по круговой орбите, то он тоже будет при ускоренном движении излучать из всех точек своей траектории, включая крайние положения A и B . Причём излучение из этих точек не может интерферировать, поскольку излучается в разные моменты времени и движется, согласно классической электродинамике, с одинаковой скоростью c . В этом случае угол $\theta \sim \lambda/d$ в формуле (2.15) задаёт видимый минимальный угловой размер источника в зависимости не от размера источника, а от размера апертуры d телескопа или радиотелескопа. Что касается габаритов источника d , то, поскольку в плоскости орбиты заряда излучение распространяется изотропно, то габариты источника не должны влиять на величину угловой расходимости (2.15), задающей лишь минимально возможную величину угла θ , но не всегда реализуемую. Впрочем, при релятивистских скоростях заряда, когда он начинает генерировать синхротронное излучение, имеющее острую угловую направленность, приёмник, действительно, по мере роста диаметра орбиты и скорости заряда начинает регистрировать источник со всё более узкого участка орбиты, под всё более острым углом θ .

Таким образом, в рассмотренных случаях характеристики поля от источников излучения, предсказанные теорией Ритца и классической электродинамикой, совпадают.

§ 2.8. Опыты с эффектом Мёссбауэра и влияние тяготения на ход времени

У лабораторных источников света, для которых дистанции L и ускорения a малы, обнаружить эффект Ритца проблематично. Действительно, для преобразования частоты света в разы, согласно (2.5), на лабораторных дистанциях $L \sim 1$ м требуется обеспечить ускорения

$$a_r \sim c^2/L \sim 10^{17} \text{ м/с}^2,$$

которые практически невозможно придать источнику света. А при максимальных ускорениях $a_r \sim 10^7 \text{ м/с}^2$ (достигнутых в ультрацентрифугах), сдвиг частоты света будут столь малы

$$\Delta f/f = ra_r/c^2 \sim 10^{-10},$$

что их не удастся регистрировать спектральными методами. Впрочем, столь малые сдвиги частоты удастся зафиксировать по эффекту Мёссбауэра. Так, в опыте Бёммеля [16], укреплявшего источник γ -лучей на пьезовибраторе, на приёмнике обнаружен сдвиг частоты

$$\Delta f/f \approx La_r/c^2.$$

А в опыте с диском, крутящимся с частотой ω [16], центростремительное ускорение $a_r(R) = \omega^2 R$ источника и атомов диска, переизлучающих на пути от R_1 до R_2 , интегрирование в этих пределах даёт по эффекту Ритца величину сдвига частоты, соответствующую опыту:

$$\Delta f/f = \int a_r dR/c^2 = \omega^2 (R_2^2 - R_1^2)/2c^2. \quad (2.16)$$

Впрочем, обычно этот результат трактуют в рамках общей теории относительности, подобно красному смещению $\Delta\lambda/\lambda = hg/c^2$ в поле Земли, тоже следующему из эффекта Ритца от движения излучающих и переизлучающих атомов с ускорением $a_r = g$ вдоль высоты h .

Не исключено, что в эффекте Мёссбауэра в действительности идёт резонансное поглощение, соответствующее не данной частоте f , а – длине волны $\lambda = c/f$. Поскольку в баллистической теории скорость света c' не фиксирована, эти характеристики не обязательно эквивалентны $\lambda = c'/f \neq c/f$ (в отличие от СТО, где всегда $\lambda = c/f$). В зависимости от метода измерений частоты или длины волны света, не всегда ясно, о какой именно характеристике идёт речь [2]. Если резонансное поглощение соответствует заданной длине волны, то наблюдаемое преобразование длины волны можно объяснить даже в отсутствие переизлучения промежуточной средой. Так, при размещении источника на ободе ротора, а поглотителя – в центре O , частота f на излучателе и f' – на поглотителе совпадут: $f' = f$, согласно (2.7). То есть, при этом может меняться только длина волны. Действительно, длина волны γ -излучения на поглотителе $\lambda' = c'/f'$ преобразуется по сравнению с исходной $\lambda = c/f$, так как скорость света, регистрируемая на поглотителе, $c' \neq c$. При скорости поглотителя $V = \omega R$ получим

$$c' = \sqrt{c^2 - V^2} = \sqrt{c^2 - \omega^2 R^2}, \quad (2.17)$$

откуда $\lambda' = c'/f \approx \lambda(1 + \omega^2 R^2/2c^2) \approx \lambda(1 + V^2/2c^2)$, что совпадает с результатом опытов и ОТО и с выводом СТО о величине поперечного эффекта Доплера (§ 2.6) [16, А48].

В общем случае, если источник 1 находится на расстоянии R_1 от центра ротора O , а приёмник 2 – на R_2 (Рис. 2.20), регистрируемая частота не меняется ($f' = f$, т.к. расстояние 1-2

неизменно), скорость источника $V_1 = \omega R_1$, а приёмника $V_2 = \omega R_2$. Из (2.17) в лабораторной системе отсчёта скорость света c' , идущего в направлении поглотителя,

$$c' = \sqrt{c^2 - V_1^2} = \sqrt{c^2 - \omega^2 R_1^2}.$$

Скорость света c'' в системе отсчёта поглотителя из треугольника скоростей (Рис. 2.20) есть

$$c'' = \sqrt{c'^2 + V_2^2} = \sqrt{c^2 - \omega^2 R_1^2 + \omega^2 R_2^2} \approx c(1 + \omega^2(R_2^2 - R_1^2)/2c^2)$$

В таком случае $\Delta\lambda = \lambda'' - \lambda = c'/f - c/f = \lambda\omega^2(R_2^2 - R_1^2)/2c^2$ и $\Delta\lambda/\lambda = \omega^2(R_2^2 - R_1^2)/2c^2$, что совпадает с результатами опытов с применением эффекта Мёссбауэра [16, А48].



Рис. 2.20. Схема изменения скорости света и длины волны на роторе по эффекту Мёссбауэра.

В поле тяготения тоже наблюдался сдвиг частоты и длины волны гамма-излучателя, зарегистрированный по эффекту Мёссбауэра, например, в опыте Паунда и Ребке у приёмника на высоте 20 м над источником [260]. Согласно баллистической теории, тоже возникнет сдвиг частоты в поле тяготения. Действительно, поскольку гамма-лучи переизлучаются молекулами воздуха, движущимися в поле тяготения с ускорением $a_r = g$, то приёмник по эффекту Ритца на высоте h зарегистрирует излучение изменённой частоты и длины волны

$$f' \approx f(1 - gh/c^2) \text{ и } \lambda' = \lambda(1 + gh/c^2).$$

В опытах зарегистрирован именно такой сдвиг частоты на поглотителе гамма-лучей [164, 260]. Переизлучение скажется лишь в случае, если длина переизлучения $l < h$. Как показано в § 3.1 для гамма-лучей в пластике $l \sim 0,1$ мм. Поскольку, согласно [120], длина переизлучения $l \approx (\lambda a_0 N)^{-1}$ обратно пропорциональна концентрации атомов N , то в воздухе, где концентрация атомов N в тысячу раз меньше, чем в воде, длина переизлучения $l \sim 0,1$ м $< h = 20$ м. Таким образом, переизлучение имеет место и излучение источника преобразуется по эффекту Ритца уже на расстоянии 10 см от источника. Чтобы проверить, связано ли изменение регистрируемой поглотителем частоты с эффектом Ритца или с изменением хода времени в поле тяготения по ОТО, следует повторить опыт Паунда и Ребке в вакууме или на высоте $h \ll l$. Если сдвиг частоты сохранится, его уже нельзя объяснить по эффекту Ритца, и причину изменения частоты следует искать в изменении хода времени или в изменении резонансных частот атомных ядер в зависимости от гравитационного потенциала.

В рамках баллистической теории скорость хода времени не зависит от гравитационного потенциала и от ускорения, в отличие от ОТО. Поэтому в классической механике несовпадение частоты на источнике и приёмнике, имеющих разные ускорения или помещённых в разные гравитационные потенциалы, может быть связано либо с эффектом Ритца, либо с действительным изменением резонансной частоты, то есть с изменением хода часов (как для маятниковых часов, поднятых на высоту), но не с изменением хода времени. В связи с этим заслуживают внимания опыты Хафеле и Киттинга с атомными часами, одни из которых помещались на реактивном самолёте, летевшем со скоростью $V \sim 300$ м/с, а другие неподвижно устанавливались на земле. После приземления самолёта обнаружился заметный уход часов вперёд по отношению к часам, оставшимся на земле. Однако, атомные часы – не самые точные, поскольку на частоту атомных переходов влияет, как известно, электрическое и магнитное поле. А значит, на частоту влияет и гравитационное поле, и ускорение, примерно так же как на маятниковые часы, хотя и в меньшей степени [259].

В будущем будут построены более точные типы часов, которые позволят проверить, что время везде течёт с одинаковой скоростью. Например, часы в виде быстро вращающегося маховика (супермаховика) на магнитном подвесе в вакууме могут длительное время вра-

щаться без потери скорости и без влияния на частоту вращения со стороны гравитационного поля и ускорения [257]. При этом частота вращения, используемая для отсчёта времени, измеряется по частоте импульсов с фотодетектора, куда свет поступает через отверстие в маховике при каждом его обороте. Гравитация отчасти влияет и на этот тип часов, но это влияние легко учесть и исключить, меняя материал маховика, вводя теоретические поправки, тогда как атом – это чёрный ящик, и все влияния на него нельзя рассчитать. Также гравитация и ускорение не влияют на частоту распадов радиоактивных ядер. Поэтому создание ядерных часов (предложенных ещё век назад [258]), отмеряющих время по числу распадов, измеренной детектором, позволит отмерять время с огромной точностью, поскольку при большом числе распадов N , вклад случайных флуктуаций их числа порядка $N^{1/2}$, сводится на нет. Точность измерения времени порядка $N^{1/2}/N = N^{-1/2}$, равная точности атомных часов 10^{-10} , будет достигнута при числе распадов $N = 10^{20}$. При измерении времени в течение часа число атомов, распавшихся в секунду, должно составлять $\sim 10^{15}$ – это типичная скорость распада, например, образца радия весом в несколько грамм. Особенность ядерных часов состоит в увеличении относительной точности измерения времени при увеличении измеряемого интервала времени и N . Наконец, даже при использовании обычных молекулярных часов, например на основе аммиака, колебания его молекул тоже будут практически нечувствительны к тяготению и позволят проверить, действительно ли время везде течёт одинаково.

§ 2.9. Выводы

Анализ результатов оптических экспериментов и опытов с применением эффекта Мёсбауэра показывает отсутствие противоречий с баллистической теорией. Устранена неоднозначность в трактовке ряда оптических экспериментов и показано, что их результаты косвенно свидетельствуют в пользу влияния скорости источника на скорость света, а не в пользу её постоянства. Предложены новые методы и критерии проверки баллистической теории путём анализа предсказанных ею эффектов. Предложенные схемы установок, в случае подтверждения эффекта Ритца, можно положить в основу эффективных трансформаторов длительности лазерных импульсов и частоты света во всём диапазоне электромагнитных волн.

Глава 3. Баллистические эффекты при излучении света движущимися релятивистскими частицами

В данной главе произведён анализ экспериментов в области ядерной физики (*микромир*) и физики высоких энергий. Поскольку в опытах получают ионы, ядра и элементарные частицы с релятивистскими скоростями, влияние скорости этих частиц на скорость излучённого ими света может быть легко проверено. Принято считать, что все эксперименты такого типа противоречат баллистической теории, однако их тщательный анализ и учёт эффекта переизлучения средой приводит к выводу, что они не противоречат баллистической теории. А некоторые из опытов, например, опыты с синхротронным излучением, лучше согласуются с баллистической теорией, чем с постулатом о постоянстве скорости света. Для однозначного решения вопроса о влиянии скорости источника на скорость света предложены новые методы проверки теории Ритца, а также усовершенствованные схемы прежних экспериментов.

Основные результаты главы опубликованы в [A2, A10, A37, A38, A45, A52, A53].

§ 3.1. Опыты с движущимися мезонами и ядрами

В лабораторных опытах эффект переизлучения неподвижными земными средами нейтрализует отличия скорости света от номинального значения. Поэтому предложено измерять скорость гамма-излучения от движущихся с околосветовыми скоростями ядер и элементарных частиц. Предполагалось, что гамма-излучение практически не подвержено переизлучению средой, поскольку электроны среды тем слабее откликаются на внешнее излучение, чем выше его частота. Соответственно, тем менее интенсивно рассеянное электронами излучение и тем слабее среда меняет скорость света. Действительно, даже у плотных сред показатель преломления для рентгеновских и гамма-лучей практически не отличается от единицы.

Поэтому Дж. Фокс предположил, что именно такой тест позволил бы однозначно выяснить, влияет ли скорость источника на скорость света. В статье [8] он рассмотрел опыт Альвагера [235] с гамма-излучением протонов, летящих со скоростью близкой к c , как наиболее убедительный тест в пользу независимости скорости света от скорости источника. В опыте напрямую измерялась на базе в 31 м скорость гамма-излучения от распадающихся π^0 -мезонов, полученных при бомбардировке мишени протонами. Измеренная скорость гамма-излучения совпадала с табличным значением c в пределах точности порядка 0,01 %.

Ставился также опыт с гамма-излучением от движущихся с релятивистскими скоростями ядер, который не выявил отличий скорости излучения от скорости света [16, 97]. Также и сам Фокс совместно с Филиппасом ставил опыт по измерению скорости излучения от движущихся с релятивистскими скоростями π^0 -мезонов [277]. Он тоже показал, что скорость излучения, испущенного летящими с релятивистскими скоростями π^0 -мезонами в направлении вдоль и против движения, – совпадают [16]. Дж. Фокс рассматривал этот эксперимент в качестве решающего, опровергающего баллистическую теорию [8].

Однако, как отметил сам Дж. Фокс [8, 277, 278], этот вывод недостаточно обоснован, поскольку точно не известны механизмы распада и излучения, о которых судят на основе косвенных данных, так же как о скорости излучающих частиц, которая не измерена напрямую, а рассчитана в рамках некоторых предположений и релятивистской кинематики [103].

Кроме того, авторы эксперимента отмечали, что излучение, прежде чем попасть в детекторы, проходит через неподвижные среды, т.е. может переизлучаться ими и двигаться далее со скоростью c , теряя избыток скорости. В работе [235] оценена длина переизлучения в атмосфере (5 км, что много больше действительной дистанции в 60 м, так что переизлучением можно пренебречь). Однако нет оценок длины переизлучения в оптически более плотной бериллиевой мишени и миларовом окне, в которых длина переизлучения будет в тысячи раз короче. Таким образом, переизлучение должно наблюдаться [277].

Действительно, во всех перечисленных опытах вызывает сомнение предположение, будто среда мишени и детекторов не меняет скорость рентгеновских и гамма-лучей из-за слабого их рассеяния электронами среды [8], ввиду малой эффективности рассеяния гамма-лучей (пропорциональной λ) и отличия частоты рентгеновских и гамма-лучей от резонанс-

ных частот рассеивающих свет внешних электронов в атомах. Поэтому показатель преломления n для таких излучений считают близким к единице, а длину экстинкции $l = \lambda/2\pi(n - 1)$ – столь большой, что переизлучением пренебрегают. Но, как отметил У. Кантор [103], нет прямых оценок n и l . Кроме того, излучение рассеивают не только свободные и внешние электроны атомов, но и электроны внутренних оболочек, и ядра, у которых резонансные частоты лежат в рентгеновском и гамма-диапазонах и которые эффективно взаимодействуют с излучением, обеспечивая $n \neq 1$ и малые l , за счёт малой длины волны λ рентгеновских и гамма-лучей. Тогда переизлучение возможно и на длинах l менее миллиметра – для гамма-лучей в земных средах, и менее астрономической единицы – для рентгеновских и гамма-лучей в межзвёздной среде. То есть, опыты, где лучи шли сквозь мишени [8, 16, 277], или межзвёздную среду (см. § 1.6 [120]), не противоречат теории Ритца. Согласно последним измерениям, коэффициент преломления n для рентгеновских и гамма-лучей отличен от единицы. Если обозначить $n = 1 + \delta$, то для рентгеновских лучей $\delta = 10^{-6} - 10^{-5}$. Так, для рентгеновских лучей с энергией 30 кэВ ($\lambda = 4 \cdot 10^{-11}$ м) в воде $\delta = -2,6 \cdot 10^{-7}$ [87], а для гамма-лучей с энергией 1,2 ГэВ ($\lambda = 10^{-12}$ м) в силиконе $\delta = 1,5 \cdot 10^{-9}$ [189]. Соответственно, длина переизлучения

$$l = \frac{\lambda}{2\pi|n-1|} = \frac{\lambda}{2\pi|\delta|} \quad (3.1)$$

для рентгеновских лучей равна $l = 0,05$ мм, а для гамма-лучей $l = 0,1$ мм, что сопоставимо с длиной переизлучения оптических лучей $l \sim 0,001$ мм. То же верно и в отношении межзвёздного газа – длина переизлучения в нём может иметь близкий порядок величины в оптическом, рентгеновском и гамма-диапазоне. Поэтому, проходя сквозь детекторы и пластинки, толщиной в несколько миллиметров, рентгеновские и гамма-лучи должны переизлучаться, теряя избыточную скорость. Таким образом, в подобных опытах уже нельзя говорить о прямой проверке баллистической теории. Так же и для межзвёздного газа длина l переизлучения (*экстинкции*) для рентгеновских и гамма-лучей может оказаться сопоставима с длиной переизлучения для оптического излучения, и даже превышать её. Соответственно, аргументы Брэчера [120, 121], выдвинутые против баллистической теории на основании наблюдений двойных рентгеновских пульсаров и источников гамма-вспышек (§ 1.6), не имеют силы.

Наконец, как отметил Фокс [8], предложенная им оценка длины l экстинкции (погашения первичной волны) справедлива лишь для скоростей источника $v \ll c$ и неприменима к излучению релятивистских частиц. Оценить l можно эмпирически, варьируя толщину мишени (скажем, из двух сдвигаемых клиньев) и оценивая вариации скорости света.

В качестве проверки баллистической теории и СТО можно рассмотреть и опыты по измерению времени жизни движущихся пионов. Согласно теории относительности, время жизни подвижных частиц растягивается пропорционально γ -фактору (см. § 2.6), тогда как в баллистической теории время жизни частиц не зависит от их скорости. Из опытов следовало, что время $t = L/V$ полёта частицы, даже если скорость частицы V равна предельной по СТО скорости света c , заметно превышает её обычное время жизни τ , причём тем заметней, чем выше энергия частицы. Полагали, что это подтверждает вывод СТО об изменении масштаба времени при движении, будто для подвижной частицы время течёт медленней, и она успевает пройти до момента распада больший путь L . Но, как показал в 1959 г. П. Рапье [199], а в 1983 г. – А. Денисов [200], это справедливо лишь в случае, если скорость частиц не превосходит скорости света c . Если же такого ограничения нет, то из классической механики величина $t = L/V$ осталась той же, поскольку пропорционально пути L увеличилась скорость V частицы: быстрые частицы проходят за время распада пропорционально больший путь.

Так, "продление жизни" наблюдали у мю-мезонов [137]. В СТО время их жизни $t' = L/v$ ищут по импульсу p (измеренному по кривизне траектории в магнитном поле), связанному со скоростью v релятивистской формулой

$$p = mv/(1 - v^2/c^2)^{1/2},$$

где m – масса мюона. В рамках баллистической теории его скорость V найдётся по классической формуле $p = mV$, откуда

$$V = v/(1 - v^2/c^2)^{1/2}.$$

Если в формуле $t = L/V$ скорость V заменить её выражением через v , получим

$$L/v = t' = t/(1 - v^2/c^2)^{1/2}$$

формулу СТО для преобразования времени:

$$t' = t/(1 - v^2/c^2)^{1/2} = t\gamma.$$

То есть, согласно баллистической теории, пробег частиц $L = t'V = t\gamma c$ растёт не от роста времени их жизни $t' = t\gamma$ при ограниченной скорости $V \approx c$, а от роста скорости $V = \gamma c$ при фиксированном времени жизни $t' = t$. Итак, выбор между баллистической теорией и теорией относительности можно сделать лишь путём прямого измерения скорости мезонов.

Прямые измерения скорости частиц (по разнице моментов регистрации детекторами, установленными в начале и в конце пролётной базы) практически никогда не проводились, поскольку скорость релятивистских и ультрарелятивистских частиц считают близкой к c . При анализе отечественной и зарубежной литературы и опросу, проведённому среди специалистов по физике высоких энергий, автор смог обнаружить всего два упоминания [194, 196] о прямом измерении скорости частиц. Причём одна из работ [194], где представлены результаты опыта Бертоцци по прямому измерению скорости электронов, фактически подтвердила, вопреки выводам самого Бертоцци, сверхсветовую скорость электронов. При измерении скорости электронов на пролётной длине 8,4 м внутри линейного ускорителя, измерялась средняя скорость электронов (приобретавших на выходе энергию 15 МэВ), которая составила по измерениям $V = c$. Но, если учесть, что на входе скорость электронов при этом составляла $V_1 \ll c$, поскольку не включался ускоритель прямого действия (на генераторе Ван-де-Граафа), то скорость электронов на выходе составляла $V_2 > c$, т.к. $V_2 > V > V_1$. Причём превышение V_2 над $V = c$ могло быть заметным, поскольку внутри линейного ускорителя из-за малой начальной скорости для электронов на начальных участках пути не выполнялось условие синхронизма: не попадая в ускоряющую фазу поля, электроны могли эффективно ускоряться только на конечных участках пути, после приобретения скорости $V \sim c$. А раз на основной части пути $V < c$, то для обеспечения средней скорости близкой к c , на коротком конечном отрезке пути скорость должна была быть $V_2 \gg c$.

В другом эксперименте [196] по прямому измерению скорости релятивистских частиц по сигналам детекторов, установленных в начале и в конце дистанции, тоже получалось $V \sim c$, причём подтвердилась релятивистская зависимость от гамма-фактора. Недочёт такого измерения состоял в том, что время пролёта дистанции светом (90 нс) был близок к периоду, с которым сгустки частиц бомбардировали мишень. То есть, возникала неоднозначность: в зависимости от того, какие импульсы в последовательности, регистрируемой детекторами, сопоставлялись друг другу, получались разные значения скорости, отличающиеся в разы. Избежать неоднозначности можно, сопоставив импульсы с нескольких последовательных детекторов, или перемещая детекторы и исследуя изменения запаздывания импульсов.

Для точного измерения скорости частиц быстродействие и разрешение по времени у детекторов частиц должны составить порядка 10^{-9} с, поскольку характерное время пролёта лабораторных дистанций $L \sim 1$ м на скорости света c составляет порядка $L/c \sim 3 \cdot 10^{-9}$ с. Такой разрешающей способностью обладают сцинтилляционные и полупроводниковые детекторы частиц [282, с. 189]. Отметим, что обычно у отмеченных типов детекторов характерные времена на порядок больше. Поэтому более рациональными могут оказаться детекторы не самих частиц, а их поля, – например, наводимого частицей тока при пролёте в индукционном датчике (так проводилось измерение в опыте Бертоцци [194]) или в черенковском детекторе, регистрирующем черенковское излучение от частиц. Поскольку быстродействие МПМ-фотодетекторов достигает 10^{-12} с (см. § 2.3), то скорость частиц может быть измерена с точностью $\sim 10^{-3}$. При этом время пролёта должно измеряться либо при подаче сигналов с детектора на вход осциллографа, либо при подаче сигналов с детекторов на схему запаздывающих совпадений. Задержка на канале с первого детектора, при которой регистрируется наибольшее число совпадений и даёт время пролёта электронов между детекторами.

Таким образом, опыты по измерению скорости гамма-лучей от движущихся частиц можно применить для проверки баллистической теории лишь при условии прямого измерения величины и направления скорости излучающих частиц, при постановке опытов в вакууме или при прямой оценке показателя преломления и длины переизлучения.

§ 3.2. Измерения скорости аннигиляционного излучения

В качестве источников излучения, движущихся с околосветовыми скоростями, могут выступать и аннигилирующие частицы и античастицы – электроны и позитроны. Замеры скорости этого излучения покажут заметные вариации скорости аннигиляционного излучения в зависимости от его направления по отношению к скорости V аннигилирующих пар частиц.

В опыте, поставленном Саде (Рис. 3.1), сравнили скорости гамма-квантов, возникших в акте аннигиляции электрона и позитрона [99]. Полагали, что аннигилирующая пара частиц сохраняла заметную часть энергии и скорости позитрона ($V_0 \approx 0,89c$), вылетая в том же направлении со скоростью $V \approx 0,6c$. Пары с такой скоростью выделяли детекторы гамма-квантов, расположенные под заданными углами к линии полёта позитрона и равноудалённые от мишени. Они выявили синхронный приход гамма-квантов. По теории Ритца гамма-кванты, вылетающие под разными углами, получив разные скорости, не могли регистрироваться синхронно. В направлении скорости позитронов V_0 скорость гамма-лучей росла бы до $c_1 = c + V \cos \alpha$, а в обратном – снижалась бы до $c_2 = c - V \cos \beta$.



Рис. 3.1. Схема эксперимента Саде.

Однако, как отметил Ло Савио [101], сомнительно, что скорость V аннигилирующих пар достигала $0,6c$, т.к. позитрон в ходе столкновений с электронами мишени меняет направление движения и теряет начальную скорость (термализуется) ещё до аннигиляции [100, 101]. На гипотезе о малой скорости $V \ll c$ аннигилирующих пар основана техника позитронно-эмиссионной томографии (ПЭТ), где регистрируют гамма-кванты, разлетающиеся от аннигилирующих частиц под углом 180° , хотя позитроны вылетают из ядер с релятивистскими скоростями. То есть, в опыте Саде неизвестны ни скорости аннигилирующих частиц, ни их направления, даже при известных углах разлёта гамма-квантов. Судя по энергии гамма-квантов, скорость V' аннигилирующих пар была направлена почти вдоль биссектрисы угла между детекторами (155°), тогда и баллистическая теория предсказывала синхронную регистрацию гамма-лучей, одинаково увеличивших скорость [101]. Измерить её можно, поместив детекторы на разном удалении. Если скорость V сохраняла прежнее направление, то регистрируемые гамма-кванты не могли возникать в одном акте аннигиляции, судя по их энергии, как показал А.Г. Баранов [102, с. 284]. А при рождении в разное время, гамма-кванты могут регистрироваться синхронно даже при неравных скоростях под произвольными углами [102].

В опытах не учли и переизлучение средой, которое, как показано (§ 3.1), может быть столь же значимо, как в оптике. Согласно оценке (3.1), для гамма-лучей длина переизлучения $l = 0,1$ мм, то есть меньше линейного размера мишени. Таким образом, переизлучение гамма-лучей должно происходить внутри мишени, а далее лучи движутся во всех направлениях с номинальной скоростью c , достигая детекторов синхронно. То есть опыты по проверке баллистической теории с использованием аннигиляционного излучения следует проводить в вакууме, используя тонкие мишени $l \sim 0,01$ мм. Это позволит избежать переизлучения и термализации позитронов. При этом детекторы следует располагать на разных расстояниях от мишени или настроить на регистрацию гамма-квантов соответствующих энергий [102]. При такой постановке эксперимента баллистическая теория может быть проверена однозначно.

Отметим, что в рамках классической физики и баллистической теории энергия аннигиляционного излучения $U = 2mc^2$ представляет собой не энергию уничтожения (аннигиляции) электрона и позитрона, а электростатическую энергию $U = e^2/4\pi\epsilon_0 r$, выделяемую при сближении частиц до расстояния r порядка классического радиуса электрона $r_0 = e^2/4\pi\epsilon_0 mc^2$, как показал В. Мантуров [266, А25, А48]. Тогда выделяется энергия $U = e^2/4\pi\epsilon_0 r_0 = mc^2$ порядка измеренной в опытах. Таким образом, в рамках баллистической теории должны быть пере-

смотрены и механизмы генерации излучения, как покажем в § 3.4, § 3.5, § 3.6. Лишь при таких условиях явление целиком рассматривается в рамках классической физики и может служить критерием проверки баллистической теории, как отметил Дж. Фокс [8].

§ 3.3. Опыты с синхротронным излучением (Мазманишвили, Александров)

В этом плане выгодно отличается опыт группы Филиппова и Мазманишвили [107] и опыт группы Александрова [105, 106], где измерялась скорость синхротронного излучения от электронов, движущихся с околосветовыми скоростями $v \sim c$ в вакуумной камере накопителя, где скорость света по баллистической теории на всём пути сохраняла значение $c + v$.

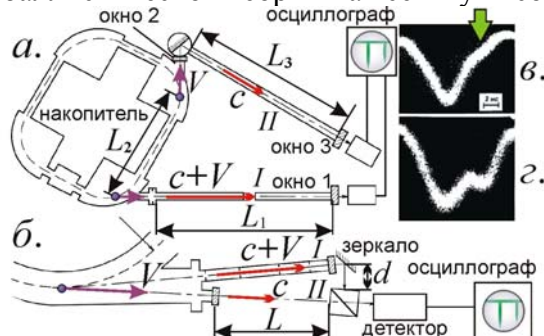


Рис. 3.2. Схема опыта Мазманишвили в двух вариантах (а) и (б). В опыте а показаны импульсы синхротронного излучения на фотоумножителе канала II (в) и суммарный сигнал с обоих фотоумножителей (з).

Рассмотрим подробнее опыт Филиппова-Мазманишвили [107]. В опыте сравнивали скорости излучения, испущенного движущимися с околосветовой скоростью электронами, и скорость их света, прошедшего сквозь окно вывода излучения и атмосферу. По сдвигу импульсов рассчитали разницу скоростей, которая по результатам двух типов опытов не обнаружилась. При независимости скорости света от скорости источника разница моментов регистрации импульсов в канале I и канале II составила бы 5,5 нс (фотоны канала I приходят позже). А в рамках баллистической теории рассчитанная в [107] разница моментов регистрации импульсов в канале I и канале II составила бы -4,2 нс (фотоны канала I приходят раньше). Было зарегистрировано, что фотоны канала I приходят позже на 5,5 нс (Рис. 3.2.з), что интерпретировали как подтверждение СТО и противоречие баллистической теории.

Во втором варианте опыта сравнивали моменты регистрации импульсов синхротронного излучения по двум каналам, причём по каналу I свет шёл без переизлучения, а по каналу II — с переизлучением в выходном окне и атмосфере (Рис. 3.2.б). При независимости скорости света от скорости источника разница моментов регистрации импульсов в канале I и канале II составила бы 0,5 нс (фотоны канала I приходят позже). А в рамках баллистической теории рассчитанная в [107] разница составила бы -1,16 нс (фотоны канала I приходят раньше). Было зарегистрировано, что фотоны канала I приходят позже на 0,5 нс, в согласии с СТО.

Недочёт опыта состоял в том, что не измерялась напрямую величина скорости электронов, которую в классической физике рассчитывают по импульсу частиц иначе, чем в СТО (§ 3.1). Соответственно, предсказания баллистической теории для величины смещений импульсов канала I и II будут иными, чем рассчитанные в работе [107]. Кроме того, не измерена напрямую эффективность переизлучения (см. далее). То есть результат опыта неоднозначен.

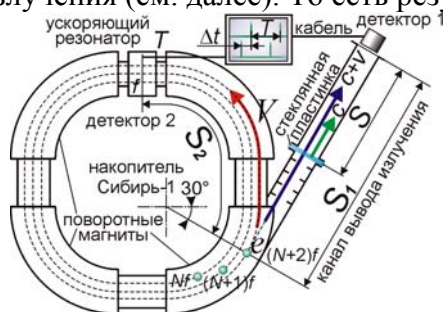


Рис. 3.3. Схема опыта Александрова.

В эксперименте Александрова [105, 106] тоже сравнивали скорость синхротронного излучения от электронов, свободно пролетающего заданную дистанцию и переизлучённого средой (Рис. 3.3). В первом варианте опыта Александрова измерялось время пролёта синхротронного излучения – по моменту его регистрации фотодетектором относительно момента прибытия электронов к резонатору. Во втором варианте сравнивалось время регистрации излучения фотодетектором в случаях, когда канал вывода свободен, и когда перекрыт стеклянной пластинкой, которая по теории Ритца, переизлучив свет, снижала бы его скорость от $c + v$ до номинального значения c и сдвинула бы момент регистрации импульсов излучения.

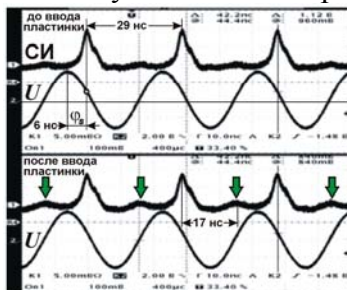


Рис. 3.4. Экспериментальные осциллограммы синхротронного излучения [106] – до внесения стеклянной пластинки (вверху) и после внесения (внизу). Стрелками отмечены импульсы вторичного излучения.

В первом варианте измеренная скорость излучения составила c , а во втором – не произошло сдвига импульсов на 9 нс. Однако и этот опыт в его нынешней постановке нельзя считать прямым, а вывод – однозначным. Во-первых, напрямую не измерена скорость электронов v . Она рассчитана косвенно по формулам СТО, дающих $v \approx c$ [105]. А в классической физике скорость может превышать световую, как отмечал Ритц [1]. Поэтому сдвиг, следующий из теории Ритца, отличен от ожидаемого в [105], и нужны прямые замеры скорости электронов пролётно-импульсным методом: по времени пролёта дистанции, измеренному установленными вдоль неё детекторами частиц. В ускорителе скорость электронов нельзя определить однозначно, деля длину их орбиты на период ускоряющего поля или импульсов излучения, т.к. эти периоды отличаются, если в ускорителе крутится несколько сгустков электронов. А число сгустков тоже не измерено напрямую. В частном сообщении [104] автор эксперимента, Е. Александров, аргументировал гипотезу о единственном сгустке тем, что в накопитель заводился из линейного ускорителя всего один сгусток. Однако, в зависимости от длины заводимого сгустка и фазы ускоряющего поля, в которую он попадает, исходный сгусток может разбиваться на ряд отдельных, возле равновесных фаз на орбите накопителя.

Во-вторых, раз импульсы излучения образуют периодическую последовательность, нельзя сказать однозначно, произошёл их сдвиг или нет, раз сдвиг по теории Ритца не равен 9 нс. Так, сдвиг, меньший 0,5 нс не удастся зафиксировать, а сдвиг, кратный периоду повторения импульсов, не проявится из-за наложения импульсов (строб-эффект). Эффект можно исключить, варьируя смещение импульсов в ходе отдаления фотодетектора. В случае опыта Александрова на длине $S = 5,4$ м набирается смещение импульсов $\Delta t = S/c - S/(c + v) = S/c(1 + c/v) = 18$ нс, что меньше периода повторения импульсов $T = 29$ нс. То есть, в данном опыте строб-эффект не проявится. Однако в других опытах такого типа, например, в опыте Мазманишвили, где $T = 19$ нс [11], строб-эффект возможен и должен быть учтён.

В-третьих, нет оценок эффективности переизлучения стеклянной пластинкой. Среда переизлучает лишь часть света, и, чем среда толще и плотнее, тем выше доля вторичного излучения среды со скоростью c , и ниже доля первичного, посланного источником со скоростью $c + v$. Как показал Фокс [8], оценка длины переизлучения l применима лишь для скоростей $v \ll c$. А для $v \sim c$ длина l может быть много меньше или больше. В первом случае остаточный газ в вакуумной камере сразу переизлучит свет со скоростью c , лишив опыт смысла. А в случае ослабленного переизлучения стеклянная пластинка замедлит лишь малую долю света, и основная его часть сохранит скорость $c + v$, не изменив осциллограмму.

Действительно, согласно формуле (2.3),

$$c^* = c/n^* = c/[n - v/(c + v)],$$

и для излучения электронов с $v \approx c$, показатель преломления стекла $n = 1,5$ станет равен

$$n^* = n - v/(c + v) \approx 1.$$

Это на порядок увеличивает $l = \lambda/2\pi(n^* - 1)$, отчего на толщине пластинки свет почти не переизлучается, проходя сквозь пластинку со скоростью $c + v$, и лишь малая часть энергии переизлучается со скоростью c . На осциллограмме из [106] видно, что после ввода пластинки высота импульсов снизилась: первичное излучение со скоростью $c + v$ ослабло, и возникли импульсы, запаздывающие на $\Delta t_o = 17$ нс (Рис. 3.4). Они не могут быть результатом переотражений (т.к. задержка, вносимая двумя переотражениями на длине $S = 5,4$ м от переизлучающей пластинки до фотодетектора, составит $\Delta t = 2S/c = 36$ нс), но могут соответствовать вторичному излучению, идущему от пластинки со скоростью c , на что указывает наблюдаемая величина задержки Δt_o , согласующаяся с теорией Ритца при классической оценке v .

Действительно, с точки зрения классической физики, импульс частиц $p = \gamma mc$, измеренный по кривизне траектории электрона в магнитном поле, соответствует скорости $v = \gamma c = 880c$ (при импульсе электронов $p = 450$ МэВ/с [105]). На длине пролёта $S = 5,4$ м от переизлучающей пластины до фотодетектора это даёт задержку вторичных импульсов относительно первичных равную $\Delta t_c = S/v = 18$ нс, что в пределах экспериментальных погрешностей (~ 1 нс) согласуется с измеренным значением $\Delta t_o \approx 17$ нс. Вторичные импульсы малы ввиду слабого переизлучения и, возможно, от LC -фильтра, сгладившего сигнал фотодетектора и «звон», заметный на других осциллограммах [105]. Впрочем, такое сглаживание сигнала могло получаться и в ходе применения другого типа фотодетектора, с большей инерционностью и, соответственно, с LC -фильтром в эквивалентной схеме детектора. Сам автор эксперимента, Е. Александров, в частном сообщении автору [104] пришёл к выводу, что вторичный импульс (Рис. 3.4) представляет собой наводку, а не полезный сигнал от синхротронного излучения, что, якобы, подтверждалось его неустойчивой амплитудой и тем, что при закрытии окна вывода чёрной бумагой первичный импульс исчезал, а вторичный – сохранялся. Но это может свидетельствовать и о том, что сигнал синхротронного излучения, имеющий широкий спектр от ИК- до рентгеновского диапазона [105], содержит кроме оптической компоненты, которая практически не переизлучается стеклом, и проникающую сквозь бумагу компоненту в виде длинноволнового ИК- (50–2000 мкм) или рентгеновского излучения (с характерной длиной волны $61,3 \text{ \AA}$ [105]), которое эффективно переизлучается стеклом (см. § 3.1), а потому запаздывает относительно оптической компоненты на 18 нс. Действительно, фотодиоды обладают некоторой чувствительностью к ИК- и рентгеновскому излучению, меняющейся в зависимости от ряда факторов, в том числе от состояния переходов в PIN-диоде. То есть, отсутствие импульсов вторичного излучения в других сериях измерений [105] может быть результатом изменения типа фотодиода или схемы его установки и подключения, по сравнению с сериями, где получены осциллограммы из работы [104].

Во втором варианте опыта скорость импульса синхротронного излучения измерялась путём деления длины канала вывода излучения $S_1 = 7,2$ м на время $\tau = 24$ нс прохождения импульса и составила $7,2/24 \cdot 10^{-9} = 3 \cdot 10^8$ м/с. Время τ измеряли по моменту регистрации импульса относительно момента его излучения, с учётом времени прохождения излучающих сгустков до ускоряющего резонатора (Рис. 3.3) и фазового сдвига $\phi_s = 75,6^\circ$ (6 нс) моментов прихода сгустков к резонатору (Рис. 3.4) относительно максимума ускоряющего напряжения на осциллограмме [105, 106]. Замеры скорости синхротронного излучения в данном случае содержат ряд неоднозначностей: во-первых, не измерена напрямую скорость электронов (а значит, и время прохождения ими дистанции $S_2 = 2,8$ м до ускоряющего резонатора); во-вторых, неоднозначность возникает, поскольку задержку τ можно измерять относительно разных импульсов в серии; в-третьих, неоднозначность возникает из-за неопределённости знака напряжения на осциллограмме. С учётом этого результат опыта можно рассматривать и как подтвердивший баллистическую теорию, т.к. при классической оценке скорости электронов $v = \gamma c = 880c$ они будут приходить от момента излучения дистанцию $S_2 = 2,8$ м практически одновременно с синхротронным излучением, проходящим путь $S_1 = 7,2$ м: задержка составит $\Delta t = S_1/(v + c) - S_2/v = 0,016$ нс. Если отмерять фазу $\phi_s = 75,6^\circ$ (6 нс) сгустка от максимума ускоряющего напряжения U [105], он придёт к ускоряющему резонатору практически синхронно с регистрацией импульса синхротронного излучения детектором (Рис. 3.4).

Итак, для исключения неоднозначностей, в опыте следует, во-первых, измерять скорость электронов; во-вторых, исключить строб-эффект, меняя пролётные длины; в-третьих, оценить вклад переизлучения, меняя пластинки и оценивая сопутствующие изменения осциллограмм. В таком виде опыт может стать решающим и войти в учебники. А пока он неоднозначен и не нов [106], повторяя схему опыта А.С. Мазманишвили [107] и её недочёты.

Эффект переотражений мог иметь место и в опыте Мазманишвили. В первом варианте опыта (Рис. 3.2, а) время прямого и обратного движения излучения, отражённого окном в канале вывода (длиной $L_3 = 2,1$ м) и окном в накопителе, составит $2L_3/c = 14$ нс, что при частоте повторения импульсов $f = 52$ МГц [11] и периоде повторения $T = 1/f = 19$ нс привело бы к появлению дополнительного, смещённого на $19 - 14$ нс = 5 нс импульса синхротронного излучения. Именно такое смещение импульса наблюдается в эксперименте (Рис. 3.2, з). Таким образом, два наблюдаемых импульса соответствуют не разным каналам, а первому и отражённому импульсу с одного и того же канала, а импульс со второго канала не попадал на осциллограмму из-за большой величины смещения. Это подтверждается тем, что когда второй канал перекрыли, вторичный импульс остался (на Рис. 3.2, в отмечен стрелкой), но в ослабленном виде, – вероятно, от перестановок фотодетекторов в опыте. Для выяснения природы импульсов следует по очереди перекрывать один и другой канал. Если второй импульс был результатом переотражений, то при перекрытии первого канала исчезли бы оба импульса.

Во втором варианте опыта Филиппова-Мазманишвили (Рис. 3.2, б), видимо, имела место та же ошибка, поскольку излучение поступало в детектор только с одного канала. Это связано с отмеченной экспериментаторами сложностью установки детектора и зеркала, для попадания в детектор излучения с обоих каналов [107]. В итоге, зеркало отражало в детектор сигнал со второго канала, а сигнал с первого канала шёл мимо. Действительно, как отмечают экспериментаторы [279], первоначально в опыте регистрировали импульс, смещённый на 3 нс, чему соответствовала аномально низкая скорость света в $0,15c$. Столь низкая скорость света в рамках СТО соответствовала движению света на участке $l = 15$ см между зеркалом и призмой (Рис. 3.2, б), поскольку при постоянстве скорости света время его движения в каналах I и II должно совпадать. Поэтому в рамках СТО регистрируемая задержка $\tau = l/0,15c = 3$ нс и была интерпретирована как аномально низкая скорость света на участке l .

После случайного смещения зеркала одним из сотрудников УФТИ, – Д.И. Адейшвили (отмеченного в [107] благодарностью), лишняя задержка τ исчезла, видимо, ввиду отражения зеркалом в детектор луча из первого канала. А в рамках баллистической теории при классической оценке скорости электронов $V = \gamma c = 137c$ (при импульсе электронов $p = 70$ МэВ/с [107]) задержка τ как раз составит 3 нс, т.к. в канале I путь $s_1 = 1$ м синхротронное излучение проходит практически мгновенно за время $s_1/(c + V) = 24 \cdot 10^{-12} = 24$ пс, а по каналу II свет после переизлучения, двигаясь со скоростью c , пройдёт дистанцию $s_2 = 1$ м за время $\tau = l/c = 3$ нс, которое соответствует регистрируемому изначально. То есть, начальный результат эксперимента, противоречащий СТО, соответствовал баллистической теории. А последующее смещение зеркала привело к результату, истолкованному как противоречие теории Ритца.

Ставился также опыт по сравнению скорости электронов с энергией 11 ГэВ ($\gamma = 22000$) и их синхротронного излучения на дистанции $S = 1$ км [70]. Детектор регистрировал частицы и их излучение с задержкой $\Delta t < 5 \cdot 10^{-12}$ с. Опыт интерпретировали как совпадение этих скоростей с точностью 10^{-6} , и со скоростью света c , а также как подтверждение независимости скорости синхротронного излучения от скорости излучающих частиц. В действительности ни скорость частиц, ни скорость излучения не измерены напрямую, поэтому опыт не противоречит теории Ритца. Согласно баллистической теории, при $\gamma = 22000$ электроны летят со скоростью $V \approx 22000c \gg c$, и их скорость лишь на 0,005% ниже скорости $c + V \approx 22001c$ испущенного ими излучения, отчего дистанцию $S = 1$ км они проходят с разрывом $\Delta t \sim 7 \cdot 10^{-15}$ с, что укладывается в измеренный интервал $\Delta t < 5 \cdot 10^{-12}$ с. Дабы исключить неоднозначность опыта, следует измерять скорость частиц и излучения напрямую, а затем сравнить, либо применить для сравнения излучение неподвижного источника, обладающее точно известной скоростью c . Другой вариант состоит в сравнении скорости частиц и их излучения при $\gamma \approx 1$, т.е. при скорости частиц $V \sim c$. При таком условии скорость V частиц и их излучения $V + c$,

во-первых, будет заметно различаться в процентном отношении, во-вторых, это различие может быть точно измерено, поскольку разность времён пролёта будет порядка наносекунд.



Рис. 3.5. Схема опыта Брауна [70].

Таким образом, эксперименты рассмотренного типа содержат ряд неоднозначностей, ставящих под сомнение их результаты, но эти неоднозначности легко исключить посредством дополнительных измерений и технических усовершенствований. В случае подтверждения сверхсветовой скорости $c' = c + V = c(\gamma + 1)$ синхротронного излучения, опыт будет иметь и важное прикладное значение, поскольку такое излучение с малой угловой расходимостью $\theta \sim 1/\gamma$ позволит реализовать сверхсветовую космическую связь. В итоге, сигналы от синхротронов ($c \gamma \sim 10000$) на космических станциях и кораблях преодолеют межпланетные дистанции в тысячи раз быстрее, чем на скорости света c , то есть не за минуты, а за доли секунды, что сделает управление АМС, луноходами и марсоходами быстрым и надёжным.

§ 3.4. Механизм генерации синхротронного излучения в баллистической теории

Отметим, что все известные свойства синхротронного излучения согласуются с баллистической теорией [A2, A37, 110], основанной на классической механике, где нет релятивистского роста массы m и предела скорости V . Поэтому в синхротронах импульс электронов $mV = eBR \approx m\gamma c$, измеренный по радиусу R их орбит в магнитном поле B , соответствует скорости $V = eBR/m = \gamma c$, где γ – лоренц-фактор [A37]. При добавлении скорости V электрона к скорости c его излучения (Рис. 3.6), оно вылетает вдоль вектора \mathbf{V} и собрано в конусе с углом образующей $\theta = \arcsin(c/V) \approx 1/\gamma$ [A37, 110]. Можно также рассчитать диаграмму направленности синхротронного излучения, интенсивность которого, как покажем, спадает к краям конуса излучения. Это связано с тем, что, несмотря на рост плотности излучения к краям, как в конусе распада частиц [280], интенсивность излучения убывает за счёт эффекта Доплера.

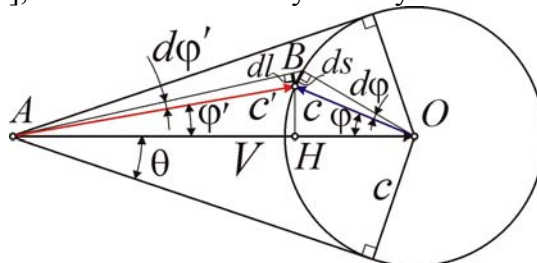


Рис. 3.6. Преобразование интенсивности синхротронного излучения.

Действительно, обнаружено, что синхротронное излучение сосредоточено в конусе с углом образующей $\theta \approx 1/\gamma$ к оси конуса (вектора скорости) и его интенсивность убывает с увеличением θ в диапазоне от нуля до $1/\gamma$. При этом интенсивность излучения, с одной стороны, растёт при росте угла φ , т.к. излучение, равномерно расходясь из центра O и поступая в угол $d\varphi$ опирающегося на отрезок dx , воспринимают в пределах меньшего угла $d\varphi'$, опирающегося на отрезок $dl = dx \sin(\pi/2 - \varphi' - \varphi)$. И регистрируемая мощность излучения

$$P'(\varphi') = P_0 \frac{d\varphi}{d\varphi'} = P_0 \frac{(ds/c)}{(dl/c')} = P_0 \frac{\sqrt{V^2 + c^2 - 2Vc \cos \varphi}}{c \cos(\varphi + \varphi')} = P_0 \frac{\sqrt{V^2 + c^2 - 2Vc \cos \varphi}}{c \cos(\varphi + \varphi')}.$$

Кроме того, интенсивность излучения меняется за счёт эффекта Доплера по закону

$$P' = P_0(1 + \cos \varphi V/c)$$

Отсюда окончательно для интенсивности излучения получим значение

$$P'(\varphi', \varphi) = P_0(1 + \cos(\varphi)V/c) \frac{\sqrt{V^2 + c^2 - 2Vc \cos \varphi}}{c \cos(\varphi + \varphi')}. \quad (3.a)$$

Угол φ' выражается через угол φ из треугольника OAB следующим образом

$$\varphi' = \operatorname{arctg}\left(\frac{BH}{AH}\right) = \operatorname{arctg}\left(\frac{c \sin \varphi}{V - c \cos \varphi}\right). \quad (3.b)$$

Из формул (3.a) и (3.b) следует параметрически заданная диаграмма направленности (по мощности) синхротронного излучения $P'(\varphi')$. Эта теоретическая зависимость представлена на рис... Отметим, что $P'(\varphi')$ отражает зависимость от угла интегральной мощности излучения по всему спектру. А поскольку эффект Доплера преобразует частоту излучения для разных φ в разной степени, то для разных диапазонов диаграмма направленности получится разной. В частности для оптического излучения наивысшая мощность будет наблюдаться в направлении вперёд и будет спадать до нуля на краях конуса при $\varphi' = \pm\theta$. Предсказанное теорией Ритца различие диаграмм направленности для излучений разных диапазонов можно, в частности, использовать для проверки баллистической теории. Так, диаграмма направленности синхротронного радиоизлучения для частот близких к циклотронной, в рамках баллистической теории, на краях (при $\varphi' = \pm\theta$) характеризуется не минимумами, а максимумами, вопреки предсказаниям СТО [108, 133, 227, с. 206].

Таким образом, согласно баллистической теории, мощность синхротронного свечения спадает к краям конуса излучения с углом раскрытия $\theta \approx 1/\gamma$, что согласуется с наблюдаемой в экспериментах диаграммой направленности. Данное свойство острой направленности синхротронного излучения рассматривалось как противоречащее влиянию скорости электронов на скорость их излучения [135]. Такой вывод связан с отсутствием прямых измерений скорости излучающих частиц, принятой равной $V \approx c$, а из баллистической теории $V = \gamma c$.

Поскольку прямых измерений скорости излучающих частиц до сих пор не проводилось, то пока ни теория относительности, ни баллистическая теория не противоречат наблюдаемым свойствам синхротронного излучения. Критерием выбора между двумя теориями станет прямое измерение скорости излучающих частиц времяпролётным методом.

Считается, что скорость частиц можно определить, деля длину кольца ускорителя на период ускоряющего поля или на период импульсов синхротронного излучения от сгустков. Но при таком подходе для крупнейших ускорителей, с диаметром в сотни метров и ВЧ-частотой ускоряющего поля сразу получается значение скорости много выше скорости света. Поэтому в СТО данная оценка признана неоднозначной, т.к. требуется учесть количество сгустков. Для малых ускорителей считают, что сгусток один и находят его скорость делением длины кольца ускорителя на период ускоряющего поля. Однако напрямую число сгустков не измерено. А для крупных ускорителей, диаметром в сотни метров число сгустков определяют делением времени $t = L/c$ обхода светом кольца ускорителя на период T ускоряющего поля или на период следования импульсов, это число $q = L/cT$, называемое кратностью ускорения, показывает во сколько раз частота импульсов выше теоретической частоты обращения сгустка в ускорителе. В рамках классической физики и баллистической теории, в крупных ускорителях при той же частоте следования импульсов сгусток может быть один, и его скорость $V = L/c$, как отмечено, например, А.В. Мамаевым [233]. Поскольку в теории Ритца $V = \gamma c$, т.е. в γ раз выше скорости света, получим, что та же частота импульсов получится при одном сгустке, откуда $q = \gamma$. Действительно, для крупнейших ускорителей обычно справедливо соотношение $q \approx \gamma$, что не нашло объяснений. Так, в протонном синхротроне (PS) в ЦЕРНе [235], при импульсе протонов $p = 19,2$ ГэВ/с, $\gamma \approx 20$ расчётное число сгустков $q \approx 19 \approx \gamma$. В ускорителе АРУС при энергии электронов $E = 50$ МэВ ($\gamma \approx 98$) расчётное число сгустков $q = 96 \approx \gamma$ [234]. В Большом Адронном Коллайдере (БАК) при энергии протонов $E = 3$ ТэВ ($\gamma \approx 3 \cdot 10^3$) число сгустков достигает величины $q = 2,8 \cdot 10^3 \approx \gamma$. Таким образом, в крупных ускорителях, действительно, q и γ либо совпадают по порядку величины, либо кратны друг другу (если реальное число сгустков отличается от одного), хотя с точки зрения СТО эти величины, вообще говоря, не должны быть связаны.

Ряд несоответствий в соотношениях между измеренным импульсом и энергией релятивистских частиц (по сравнению с теоретическими в СТО) был выявлен в экспериментах на Шанхайском ускорителе, где электроны разгонял генератор Ван де Граафа [239]. При этом было обнаружено во-первых, что измеренная калориметрическим методом энергия электро-

нов W , нагревающих металлическую мишень при осаждении на неё, не соответствует теоретической энергии электронов eU , приобретённой в ускоряющем потенциале U ускорителя. В рамках баллистической теории это обусловлено зависимостью силы электрического отталкивания, напряжённости поля E в системе заряда, от его относительной скорости V [А37, А45]. Также в рамках классической теории и БТР, если импульсу $p = mV = m\gamma c$ ультра-релятивистского электрона соответствует энергия $W = mV^2/2 = m\gamma^2 c^2/2$, то в рамках СТО ему соответствует энергия $W = pc = m\gamma c^2$. То есть, ещё одним критерием выбора между баллистической теорией и СТО служит прямое измерение импульса и энергии частиц.

Кроме того, возможны режимы работы ускорителя, когда за счёт параметрического резонанса в нём по разным орбитам циркулируют сгустки с разной скоростью и с частотами кратными частоте ускоряющего поля [А45]. В таком случае детекторы электрического поля сгустков или синхротронного излучения будут регистрировать не скорость прохождения самих частиц, а скорость движения волны плотности, которая может быть много меньше скорости частиц. Также нельзя измерить и скорость распространения электромагнитных волн, бегущих в кольцевом волноводе, деля длину кольца на период возбуждающего генератора или на период колебаний электрического поля в волноводе, поскольку в волноводе одновременно возбуждаются разные моды, бегущие с разной фазовой скоростью, и мы регистрируем их интерференционное поле. Таким образом, для однозначного измерения скорости частиц, необходимо выводить частицы из ускорителя и сепарировать их магнитным полем, после чего их скорость можно напрямую измерить пролётным методом.

Оценим длительность импульса синхротронного излучения в баллистической теории. Импульс излучения соответствует пролёту электроном участка орбиты $d \approx 2R\theta \sim 2R/\gamma$, с которого излучение попадает в детектор на расстоянии L [108] (Рис. 3.7). Из начала A интервала d свет дойдёт за время $t_A = (d + L)/(c + v)$, из конца B – через время $t_B = d/v + L/(c + v)$ после излучения в A . Длительность импульса

$$\Delta T = t_B - t_A \approx d/c\gamma^2 \approx 2R/c\gamma^3, \quad (3.*)$$

в согласии с [108].

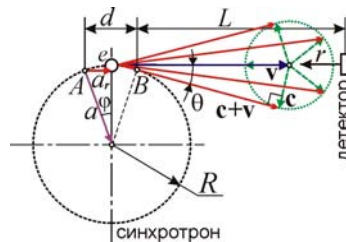


Рис. 3.7. Схема формирования синхротронного излучения.

Обычно гармоники синхротронного излучения объясняют тем, что его регистрируют в виде коротких импульсов длительностью ΔT , отчего спектр и формируют гармоники Hf_c , вплоть до частот $f \sim 1/\Delta T \sim \gamma^3 c/R$ (Рис. 3.8.б). При этом интенсивность высших гармоник мала. А с учётом эффекта Ритца (1.14), особенно при $a_r = -c^2/L$, профиль импульса $E(t)$ исказится, обретая особенности в виде уступов и пиков, тем более высоких, чем они ближе к середине импульса и чем меньше угол ϕ точки излучения, где $a_r = -a_0$ (Рис. 3.7). Это вызовет рост интенсивности гармоник и неограниченный рост их номеров H . Лучевое ускорение $a_r = -a\sin\phi$, где $\sin\phi \sim \sin\theta \sim 1/\gamma$, и условие $a_r = -c^2/L$ генерации жёсткого излучения реализуется при $L = R/\gamma^2 \sin\phi \sim R/\gamma$. Тогда при малых γ жёсткое излучение можно получить, удлив канал L или сократив радиус R , чем и пользуются на практике. Поскольку при снижении $\phi < \theta$ пик растёт, то дальнейшее увеличение $L = R/\gamma^2 \sin\phi$ наращивает интенсивности высших гармоник. Мощности излучения на частоте f_c и её гармониках сравнимы, когда ускорение электрона $a = v^2/R$ достигает порога $a_0 = c^2/L \sim 10^{17}$ м/с² (при $L \sim R \sim 1$ м), то есть при $v \sim c$. Действительно, при $v \sim c$ электроны, кроме излучения частоты f_c , генерируют её гармоники в форме синхротронного излучения. Отношение сигнал/шум гармоник растёт при выводе излучения через вакуумные каналы, длина которых для видимого света $L \sim 1$ м, а для жёсткого рентгеновского – $L \sim 100$ м [108]. И ввиду роста номеров H и мощности гармоник при росте L .

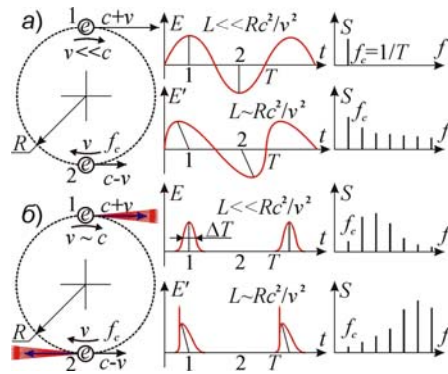


Рис. 3.8. Схема формирования спектра гармоник от искажения профиля волны, излучённой частицами в ускорителях (а, б).

Оценим мощность синхротронного излучения в баллистической теории. Так как мощность P_1 излучения одиночного электрона пропорциональна квадрату ускорения a , то $P_1 \propto a^2 = V^4/R^2 \propto \gamma^4/R^2$. А в СТО мощность излучения $P_1 \propto B^2 p^2 \propto \gamma^4/R^2$, где $B \propto \gamma$ – индукция магнитного поля, $p \propto \gamma$ – импульс электрона [133]. То есть, СТО и баллистическая теория предсказывают одинаковую зависимость мощности синхротронного излучения от γ -фактора.

Таким образом, большинство наблюдаемых свойств синхротронного излучения одинаково хорошо предсказываются баллистической теорией и теорией относительности и согласуются с результатами экспериментов. Разницу их предсказаний можно обнаружить только для некоторых слабо изученных характеристик излучения. Так что исследование этих характеристик было бы весьма желательно в плане выбора между баллистической теорией и СТО.

§ 3.5. Механизм генерации и свойства черенковского излучения

Один из способов измерения скорости частиц состоит в исследовании характеристик их черенковского излучения в среде, поскольку угол θ , под которым распространяется излучение (Рис. 3.9), согласно теории эффекта Вавилова-Черенкова, связан со скоростью v частицы и показателем преломления среды n , в которой частица генерирует излучение, выражением

$$\cos\theta = c/nv. \quad (3.2)$$

Найденные по измеренному углу θ скорости частиц

$$v = c/n\cos\theta \quad (3.3)$$

не превышают скорости света c в вакууме и согласуются со значением скорости v , измеренным по релятивистским формулам из импульса частиц. Однако формула (3.3), выведенная Вавиловым, Таммом и Франком в рамках релятивистской теории эффекта, – это следствие ряда упрощений и предположений, требующих прямой проверки. В рамках баллистической теории механизм генерации черенковского излучения – иной.

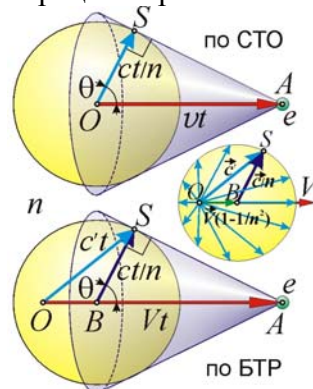


Рис. 3.9. Скорость частиц, найденная в СТО по углу θ их черенковского излучения отличается от значения, находимого в рамках баллистической теории.

В частности, в экспериментах группы А.А. Тяпкина [172] было открыто, что излучение генерируется и под закритическими углами $\theta > \arccos(c/nv)$, что свидетельствует о сверхсветовой скорости v частиц и требует дальнейшего подробного анализа и проверки. В частности, с самого начала возник и до сих пор однозначно не решён вопрос, служит ли

источником черенковского излучения сама частица или среда, в которой движется частица. В рамках описания, принятого в релятивистской кинематике, источником излучения служит среда, в которой движущаяся частица возбуждает колебания зарядов. По мнению самого С.И. Вавилова, открывшего совместно с Черенковым одноимённый эффект, источником излучения служит сама движущаяся частица, которая колеблется под влиянием электрических полей атомов неподвижной среды, мимо которых пролетает, и оттого излучает. Интересно, что О. Хевисайд, ещё в 1888 г. предсказав эффект Вавилова-Черенкова у зарядов, движущихся со сверхсветовой скоростью, считал, что источником излучения служит сам движущийся заряд, а не среда. В принципе, возможны случаи реализации и того и другого механизма генерации черенковского излучения. В частности, если источником, возбуждающим черенковское излучение, служит не частица, а фронт неоднородного распределения электромагнитных характеристик среды, например её электронной концентрации, поляризации или нелинейности (когда реализуются сверхсветовые скорости), тогда источником черенковского излучения служит сама среда, в которой движется фронт.

В случае классической интерпретации эффекта Вавилова-Черенкова, если в рамках теории Хевисайда и баллистической теории излучение генерирует сам движущийся заряд, тогда скорость c' идущих от него световых волн в среде равна уже не c/n , а векторной сумме $c/n + \mathbf{V}/n^2$. Соответственно, скорость волн в среде (Рис. 3.9) относительно источника равна

$$c/n - V(1 - 1/n^2),$$

как показал опыт Физо (§ 2.2). Если источник в среде сообщает часть скорости V свету, соотношение (3.2) уже не выполняется.

Пусть электрон, вылетающий из точки O , излучил световую волну (Рис. 3.9). Через время t он достигнет точки A , так что $OA = Vt$. За это время испущенная в точке O сферическая световая волна расширится до радиуса $BS = ct/n$, а её центр сместится в точку B , пройдя путь $OB = Vt/n^2$. Действительно, в этом случае скорость точек S волны представляет собой векторную сумму двух движений: радиального расширения волны со скоростью c/n и переносного движения центра со скоростью V/n^2 , сообщённой электроном. В итоге, сферические волны, генерируемые электроном на пути OA , в сумме образуют каустику – общий фронт, касательный к этим волнам и расходящийся в виде конуса под углом $\theta = ABS$. Из прямоугольного треугольника ASB найдём $\cos\theta = BS/BA$, где $BA = OA - OB = Vt - Vt/n^2$. Отсюда

$$\cos\theta = c/nV(1 - 1/n^2),$$

то есть появляется множитель, равный коэффициенту увлечения Френеля $(1 - 1/n^2)$. Отсюда

$$V = c/n(1 - 1/n^2)\cos\theta, \quad (3.4)$$

а импульс электрона

$$p = mV = mc/n(1 - 1/n^2)\cos\theta. \quad (3.5)$$

Это значение превышает значение импульса, найденное в релятивистской модели (3.3)

$$p \approx mc/(1 - v^2/c^2)^{1/2} \approx mc/(1 - 1/n^2\cos^2\theta)^{1/2}. \quad (3.6)$$

Несовпадение классической формулы (3.5) и релятивистской (3.6) может быть связано с тем, что формула увлечения Френеля для релятивистских скоростей выведена лишь для излучения, идущего в прямом и обратном направлении. Но для излучения, испущенного под углом, вклад скорости V не был рассчитан строго и определяется сложнее. Соответственно, фронт волны на Рис. 3.9 будет иметь уже не форму сферы, а более сложную конфигурацию, что приведёт к изменению положения огибающей волн и к видоизменению формулы (3.5).

Как выяснили в § 2.2, частицы с релятивистскими скоростями испускают свет в прямом направлении со скоростью $c' = c/[n - V/(c + V)]$. Под углом θ к линии полёта составляющая скорости равна $V\cos\theta$. Тогда в направлении θ скорость света задана уравнением

$$c' = c/[n - V\cos\theta/(c + V\cos\theta)]. \quad (3.6^*)$$

Это уравнение и задаёт фронт световой волны. В газе, при $n = 1 + \delta$, где $\delta \ll 1$ и $\delta \ll c/V$, получим $c' \approx c + V\cos\theta$. Это – уравнение конхоиды окружности (улитки Паскаля) – кривой, которую описывает точка на колесе, катящемся по колесу того же радиуса. Касательная к этой световой волне, проведённая из точки A , и задаёт фронт волны черенковского излучения. Из условия прохождения касательной через точку A , найдём для угла черенковского излучения

что ближе к значению (3.6).

То есть имеет смысл сравнить импульс частиц, измеренный по кривизне траектории в магнитном поле, и импульс, определённый по черенковскому углу (3.5) и (3.6).

Классическая оценка скорости (3.4) приводит к более высоким значениям скорости, чем стандартная формула (3.3). Например, если для воды ($n = 1,3$) в рамках СТО считали, что предельный угол $\cos\theta = 1/n$ соответствует скорости $v = c/n\cos\theta = c$, то в рамках баллистической теории он должен соответствовать сверхсветовой скорости

$$V = c/(1 - 1/n^2) = 2,45c.$$

Таким образом, оценкой скорости излучения по обычной формуле (3.3) занижали скорость частиц. Истинные скорости могут оказаться выше в разы, да и само значение $\cos\theta = 1/n$ – не предел, как показали опыты А. Тяпкина [172]. Действительно, обычно конструкция черенковских детекторов не допускает регистрации излучения под запредельными углами θ , поскольку черенковские детекторы, как правило, меряют не угол θ , а регистрируют частицы, излучающие под заданным углом, не выходящим из допустимого диапазона $1/n \leq \cos\theta \leq 1$. А для замеров скорости частиц применяют пороговые счётчики, срабатывающие, когда частица, превысив порог скорости света в среде c/n , начнёт генерировать излучение, откуда, согласно СТО, $\cos\theta = c/nv = 1$ (при $v < c/n$ излучения нет). В таких счётчиках применяют газовую среду, где $n \approx 1$ или $n = 1 + \delta$. Повышая давление газа и, соответственно, его показатель преломления n , ждут появления излучения при $v = c/n$, откуда по n находят скорость частиц

$$v = c/n \approx c - \delta c.$$

Но если предельному углу $\cos\theta = 1$ соответствует

$$V = c/n(1 - 1/n^2) \approx c/2\delta, \quad (3.7)$$

то при $\delta \ll 1$ пороговые счётчики Черенкова регистрируют частицы с $V \gg c$. В рамках СТО снижение δ и порогового давления газа соответствует приближению v к c . А в рамках баллистической теории снижение δ соответствует бесконечному росту скорости V . Тогда скорость

$$v = c/n \approx c - \delta c,$$

найденная в рамках СТО, соответствует релятивистскому импульсу

$$p \approx mc/(1 - v^2/c^2)^{1/2} \approx mc/(2\delta)^{1/2}, \quad (3.8)$$

совпадающему с измеренным по кривизне траекторий в магнитном поле B значению p (§ 3.3). Близкое к (3.8) значение импульса даёт и классическая формула

$$p = mV = mc/2\delta, \quad (3.9)$$

если использовать значение скорости (3.7), рассчитанное в рамках баллистической теории.

Несовпадение степени в знаменателе (3.8) и (3.9) обусловлено тем, что формулы (3.7) и (3.9) получены в рамках приближений, и коэффициент увлечения Френеля теоретически и экспериментально найден лишь для $V \ll c$, а для высоких скоростей он задан сложнее.

Действительно, в баллистической теории точный расчёт (см. § 2.2) показывает, что испущенный частицами свет приобретает в среде с показателем преломления $n = 1 + \delta$ скорость $c' = c/[n - V/(c + V)]$, и черенковские пороговые детекторы при $c' = V$ и $\delta \ll 1$ регистрируют частицы со скоростью $V \approx c/\delta^{1/2} \gg c$, которая соответствует их импульсу

$$p = mV \approx mc/\delta^{1/2}. \quad (3.10)$$

Формула (3.10) лучше согласуется с формулой (3.8), соответствующей измеренному импульсу частиц. А расхождение в виде коэффициента $2^{1/2}$ служит дополнительным критерием проверки баллистической теории и того, какая из формул для расчётного по углу θ импульсу лучше соответствует измеренному импульсу. По сути, этот критерий был проверен в экспериментах группы А.А. Тяпкина [220], где было обнаружено, что частицы начинают генерировать излучение при значении импульса меньше порогового.

Сходной получается и зависимость порогового n от γ в СТО и БТР. В пороговых счётчиках скорость релятивистских частиц измеряют по показателю преломления газа $n = 1 + \delta$, при котором возникает излучение. В СТО $v = c/n \approx c(1 - \delta)$, откуда пороговое $\delta = 1/2\gamma^2$. В баллистической теории из условия $V = c'$ порог $\delta = 1/\gamma^2$ с точностью до множителя $1/2$ совпадает с релятивистским. Эта разница вызвана неточностью зависимости (3.6*) при ультрарелятивистских скоростях ($\gamma \gg 1$) и даёт простой критерий проверки теории Ритца, где измеренная величина $\delta \ll 1$ соответствует сверхсветовым скоростям $V \approx c\gamma \approx c/\delta^{1/2}$. То есть и здесь основной критерий проверки теории Ритца – это прямое измерение V пролётным методом.

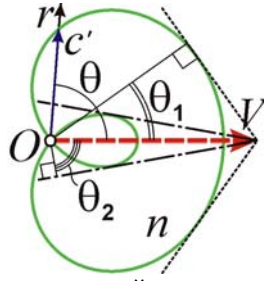


Рис. 3.10. Форма волнового фронта от релятивистской частицы в среде и конусы огибающих этих фронтов.

Угол θ черенковского излучения в теории Ритца выражается неоднозначно (Рис. 3.10). Если на скорость $c' = c/[n - V_r/(c + V_r)]$ в направлении θ влияет лишь радиальная компонента скорости заряда $V_r = V \cos \theta$, то при $V \sim c$ волновой фронт приобретает форму

$$c'(\theta) = c/[n - (c/V \cos \theta + 1)^{-1}]$$

отличную от сферической (Рис. 3.11). А при $V \geq c$ (в СТО это соответствует $v \geq 0,71c$) волновой фронт – самопересекающийся, с особенностью типа лепестка. Действительно, фронт становится самопересекающимся, когда свет, излучённый в направлении назад ($\theta = \pi$, $\cos \theta = -1$), от добавления скорости источника, движется вперёд, т.е. $c'(\theta = \pi) = c/[n - (1 - c/V)^{-1}] \leq 0$. В этом случае задняя часть фронта выгибается вперёд и образует самопересечение в полюсе O и вытянутый в направлении вперёд лепесток (Рис. 3.11). Тогда, кроме нормального конуса черенковского излучения (внешней огибающей фронтов, с углом θ_1 на Рис. 3.10), формируется узкий конус – огибающая лепестка (с углом θ_2). При $n < 1,5$ этот аномальный конус образуется при допороговых значениях γ . Действительно, условие генерации излучения $V = c/[n - V/(c + V)]$ даёт два решения: $V_{1,2} = c(-1 \pm [1 + 4/(n - 1)]^{1/2})/2$, где V_1 отвечает порогу генерации нормального черенковского излучения, а V_2 – допороговому (аномальному) излучению, существующему в диапазоне $c \leq V \leq |V_2|$. Если $V_1 = c(-1 + [1 + 4/(n - 1)]^{1/2})/2 > c$, то есть нормальное черенковское излучение генерируется при $V > c$, то аномальное черенковское излучение, соответствующее лепестку и возникающее при $V = c$, должно возникать до порога V_1 основного (нормального) излучения, что выполняется при $n < 1,5$. Это аномальное черенковское излучение должно возникать, когда на улитке Паскаля появляется заострение в полюсе O , и она вырождается в кардиоиду $c' \approx c(1 + \cos \theta)$, так что $c' = 0$ при $\theta = \pi$.

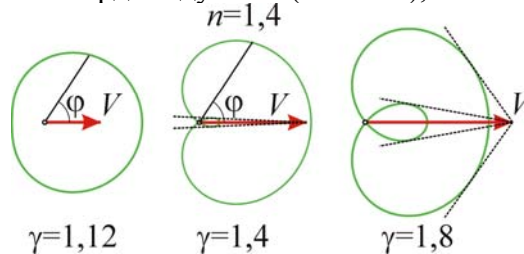


Рис. 3.11. Эволюция волнового фронта от релятивистской частицы в среде при росте γ -фактора. Приблизённо соответствует эволюции конхоиды окружности $c' = V(c/V + \cos \theta)$ при изменении параметра $c/V = 1/\gamma$.

Допороговая генерация открыта в опытах с ионами свинца [220] и с ионами золота [285]. Если конус нормального черенковского излучения сужался при росте n или V , то аномальный – расширялся, в согласии с теорией Ритца. На фотографиях [221] наблюдали два кольца: одно отвечало нормальному черенковскому эффекту (θ_1), а второе, аномально широкое кольцо, – излучению от частиц с $v > c$ [221]. Его могут генерировать те же частицы: аномальное излучение и формирует 2-е кольцо (θ_2).

Из формулы (3.10) видно, что в рамках баллистической теории частицы не генерируют черенковского излучения в вакууме ($n = 1$, $\delta = 0$) не по причине "недостижимости скорости света в вакууме", а потому, что скорость частиц тогда бесконечно большая: $V = c/n(1 - 1/n^2) \rightarrow \infty$. В вакууме исчезает преимущественная система отсчёта, связанная со средой, отчего электромагнитные воздействия расходятся относительно заряда во всех направлениях с одинаковой скоростью c , и заряд не может их догнать, двигаясь с постоянной скоростью.

То есть, и в этом случае проверить баллистическую теорию можно либо постановкой дополнительных экспериментов по уточнению характеристик черенковского излучения, либо путём прямого измерения скорости частиц, генерирующих черенковское излучение.

§ 3.6. Свойства ондуляторного излучения в баллистической теории

Для генерации синхротронного излучения релятивистскими электронами применяют не только однородное, но и знакопеременное магнитное поле с пространственным периодом L (Рис. 3.12). При этом электрон, движущийся по траектории-змейке, колеблется и излучает на частоте $f = V/L$. Такой прибор называется ондулятором, а синхротронное излучение электрона в нём называют ещё ондуляторным [108]. Острая направленность ондуляторного излучения, сосредоточенного в пределах конуса с углом раствора $\theta \approx 1/\gamma$, как для синхротронного излучения, подтверждает зависимость скорости света от скорости источника.

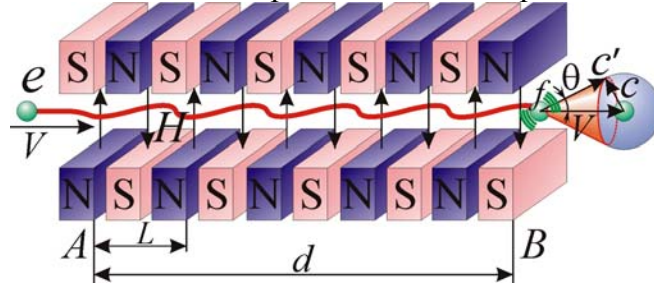


Рис. 3.12. Генерация синхротронного излучения в ондуляторе колеблющимися электронами e , летящими в батарее магнитов.

Электрон излучает на частоте своих колебаний $f = V/L$. Однако неподвижный наблюдатель по эффекту Доплера зарегистрирует его излучение на частоте

$$f' = f(1 + V/c) = V/L(1 + V/c) \approx V^2/Lc \text{ (при } V \gg c \text{)}.$$

Действительно, частота ондуляторного излучения нарастает при росте импульса p и скорости V электрона по закону $f' \approx f_0 \gamma^2$ [108], где $f_0 = c/L$, а $\gamma = p/mc = V/c$. Отсюда, в согласии с баллистической теорией, $f' \approx V^2/Lc$. Таким образом, высокая частота $f' = V/L(1 + V/c)$ ондуляторного излучения согласуется с баллистической теорией при классической оценке скорости V электрона (§ 3.3). В СТО так же получают согласие теоретической и измеренной частоты излучения, т.к. применяют релятивистскую формулу эффекта Доплера и релятивистскую оценку скорости электрона, близкой к c . Таким образом, снова критерием проверки баллистической теории будет прямое измерение скорости электронов в ондуляторе.

При излучении не в прямом направлении, а под углом ϕ к направлению движения частицы (в связанной с ней системе отсчёта), частота преобразуется в меньшей степени, поскольку на эффект Доплера влияет только продольная составляющая скорости $V \cos \phi$, так что

$$f' = f(1 + V \cos \phi / c).$$

В лабораторной системе отсчёта излучение регистрируют под углом θ . Отсюда, из § 2.6,

$$f' = f \left(1 + \frac{V}{c} \left(\cos \theta \sqrt{1 - \frac{V^2}{c^2} \sin^2 \theta} - \frac{V}{c} \sin^2 \theta \right) \right) \approx f \left(1 + \gamma \left(\cos \theta \sqrt{1 - \gamma^2 \sin^2 \theta} - \gamma \sin^2 \theta \right) \right).$$

Действительно, для синхротронного излучения обнаружено, что при нарастании угла θ , под которым регистрируют излучение, частота света падает. Согласно СТО частота колебаний электрона $f = V/L \approx c/L$, а из баллистической теории $f = V/L \approx \gamma c/L$. Проверить, какой из выводов верен, можно, регистрируя излучение электрона в поперечном направлении, в котором частота изменяется лишь за счёт поперечного эффекта Доплера. Но в этом направлении свет регистрируют лишь при $V < c$. Также можно регистрировать излучение от электрона, летящего над металлической дифракционной решёткой (излучение Смита-Парселла). При этом электрон, двигаясь со скоростью V , тоже совершает колебания с частотой $f = V/L$, излучая на данной частоте f . Поскольку при релятивистских скоростях расчётная по кривизне траектории и измеренному гамма-фактору γ величина скорости V в рамках СТО и БТР получается разной, соответственно и предсказания теорий для частоты f различаются.

Как в синхротроне, длительность импульса излучения по (3.*) в ондуляторе длины d выразится как $\Delta T \approx d/c\gamma^2$. Поэтому замеры ΔT , скажем в установке «FLASH», где $\Delta T \approx 25$

фс $\sim d/c\gamma^2$ [111], не противоречат баллистической теории. Действительно, в установке «FLASH» длина ондулятора $d = 30$ м, $\gamma = 1400$, откуда, $\Delta T \approx 50$ фс, то есть того же порядка, что и зарегистрированная длительность импульса $\Delta T \approx d/c\gamma^2 \approx 25$ фс. Дополнительное сокращение длительности импульса связано с тем, что скорость электрона в ондуляторе меняется, ввиду потери энергии на ондуляторное излучение или за счёт дополнительного ускорения электрона между секций ондулятора в установке. Если в начале A ондулятора скорость электрона была V , то в конце B изменилась до kV , где $k \approx 1$ – коэффициент, характеризующий степень изменения скорости. С учётом этого формулу для ΔT следует переписать в виде:

$$\Delta T = t_B - t_A = d/kV - d/(c + V) \approx d(c + V - kV)/c\gamma^2$$

Отсюда видно, что ΔT может стать даже нулевым при условии $c + V - kV = 0$, т.е. при $k = (\gamma + 1)/\gamma = 1,0007$,

т.е. при малом увеличении скорости, ввиду передачи энергии излучения – электрону.

Итак, баллистическая и релятивистская теории предсказывают сходные характеристики $\theta(\gamma)$ и $\Delta T(\gamma)$ синхротронного излучения [108]. Критерием выбора между классической и релятивистской теорией тоже служат прямые замеры скорости частиц из ондуляторов [A2].

§ 3.7. Квантовые эффекты в баллистической электродинамике

Свидетельством в пользу баллистической теории могло бы стать экспериментальное подтверждение реальности квантов электрического поля – реонов. Сам Ритц называл эти частицы, испускаемые зарядами, – фиктивными частицами [1]. Существование квантов электрического поля, испускаемых зарядами, признаёт и современная квантовая электродинамика в виде виртуальных фотонов. А создатель квантовой электродинамики (КЭД) Р. Фейнман, развивая идею виртуальных фотонов, запаздывающих и опережающих потенциалов, во многом опирался на работы Ритца, с которыми был ознакомлен через А. Эйнштейна [199, 201].

Существования реонов могло бы подтвердить хаотическое движение свободных электронов при испускании и поглощении реонов. Действительно, у электронов в ондуляторах было открыто хаотическое движение (Рис. 3.13.а) в регулярных полях и в отсутствие столкновений с атомами и другими электронами [112]. Раз даже одиночный ультрарелятивистский электрон является источником достаточно интенсивного для регистрации фотодетектором синхротронного излучения, причём остронаправленного, то последовательные положения электрона в поперечном сечении вакуумной камеры точно регистрируются. При этом обнаружено, что электрон совершает беспорядочные движения, напоминающие хаотические движения броуновских частиц, несмотря на движение в регулярных полях [112].

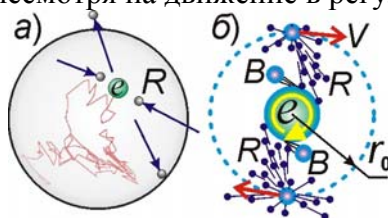


Рис. 3.13. а) Хаотическое движение электрона e в поперечном сечении камеры ускорителя ВЭПП-3 [112], как результат испускания и поглощения реонов R ; б) вращение электрона как результат испускания и поглощения реонов.

Теория Ритца давно предсказала это «броуновское» движение зарядов под ударами реонов [1, 113, A48]. Действительно, каждый свободный электрон, в ходе испускания и поглощения реонов, постоянно дрожит, дёргается, смещаясь в случайном направлении от импульсов отдачи или импульса удара реона. Тогда электрон, действительно, вёл бы себя аналогично броуновской частице под ударами со стороны молекул воды или воздуха.

Отметим, что и квантовая теория предсказывает подобное движение электрона за счёт испускания квантов синхротронного излучения в случайных направлениях [112, 133]. Однако, если в квантовой релятивистской теории интенсивность броуновского движения при росте энергии электрона снижается, ввиду роста релятивистской массы электрона (его инертности) и уменьшения угла излучения, то есть поперечных импульсов фотонов, то в баллистической теории интенсивность «броуновского» движения электрона не снижается (из-за постоянства импульсов отдачи), и может даже нарастать (от учащения ударов встречных реонов).

Наблюдаемое «броуновское» движение электронов [112], косвенно подтверждая реальность реонов, позволяет рассчитать также их массу и частоту испускания, аналогично тому, как движение броуновских частиц подтвердило существование атомов, молекул и позволило оценить их массу. Если считать, что кулоновское отталкивание двух электронов вызвано ударами реонов (ВВЕДЕНИЕ), испускаемых электронами, то отсюда можно найти только общее соотношение, связывающее массу реона m , число реонов N , испускаемых в единицу времени и радиус электрона R , задающий сечение поглощения электрона (Рис. 3.14).

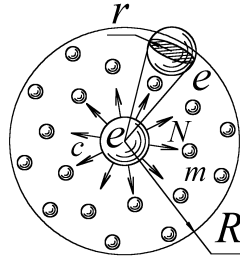


Рис. 3.14. Испущенные электронами частицы производят своими ударами электрическое отталкивание с кулоновской силой $F \sim 1/R^2$.

Действительно, Ритц утверждал, что каждый элементарный заряд (электрон) ежесекундно испускает одно и то же число реонов N во всех направлениях со скоростью света c [1]. Малая их часть n долетает до другого электрона, расположенного на расстоянии R . Эту часть оценим, считая электрон шариком известного радиуса r . Раз электрон ежесекундно испускает N частиц, такое же число частиц должно пересекать в секунду поверхность $4\pi R^2$ окружающей электрон сферы. Т.к. частицы разлетаются по всем направлениям равномерно, то в электрон, расположенный на расстоянии R и обладающий поперечным сечением πr^2 , попадает доля частиц, составляющая $\pi r^2/4\pi R^2$ от полного их потока N . То есть

$$n = N\pi r^2/4\pi R^2 = Nr^2/4R^2.$$

Тогда сила F отталкивания двух электронов, расположенных на расстоянии R (Рис. 3.14)

$$F = nmc = Nr^2mc/4R^2.$$

По сути, это механическое выражение закона Кулона: сила отталкивания, действующая между двумя элементарными зарядами, обратно пропорциональна квадрату расстояния R между ними. Если заряды не элементарны, а содержат первый – q_1 электронов, второй – q_2 электронов, результирующая сила взаимодействия складывается из элементарных сил взаимодействия элементарных зарядов во всех возможных комбинациях. Действует принцип суперпозиции – воздействия со стороны разных электронов не влияют друг на друга, то есть потоки реонов от разных электронов не взаимодействуют при пересечении, что обусловлено ничтожным размером реонов, исключаяющим вероятность их столкновений друг с другом. Тогда каждый из q_1 электронов взаимодействует с каждым из q_2 электронов. То есть, всего будет q_1q_2 одинаковых элементарных сил отталкивания $Nr^2mc/4R^2$, в сумме образующих силу

$$F = q_1q_2Nr^2mc/4R^2 = Aq_1q_2/R^2, \quad (3.11)$$

где $A = Nr^2mc/4$ – некая константа, q_1 и q_2 – заряды тел, измеренные в единицах заряда электрона. Тем самым получается полная формулировка закона Кулона:

$$F = q_1q_2e^2/4\pi\epsilon_0R^2, \quad (3.12)$$

где e – заряд электрона, ϵ_0 – электрическая постоянная.

Зависимость силы Кулона от скорости c реонов относительно заряда, а значит от относительной скорости двух зарядов, ведёт к тому, что между двумя проводниками с током нарушается баланс сил притяжения и отталкивания элементарных зарядов, и возникает результирующая сила притяжения, равная силе Ампера [A20, A30]. В рамках баллистической электродинамики ещё Ритц вывел выражения для магнитных и индукционных сил в качестве малых поправок к Кулоновской силе, обусловленных взаимным движением, скоростью и ускорением зарядов в проводниках [1]. То есть, электродинамические соотношения, следующие из баллистической теории и в ряде случаев не совпадающие с выводами электродинамики Максвелла, дают ещё один опытный критерий выбора между теорией Ритца и СТО.

Из формулы (3.11) и классического выражения закона Кулона (3.12) можно найти

$$A = Nr^2mc/4 = e^2/4\pi\epsilon_0, \text{ или } \pi Nr^2m = e^2/c\epsilon_0.$$

Отсюда следует соотношение, связывающее фундаментальные константы e , c , ϵ_0 и число частиц, испускаемых электроном в единицу времени, $N = e^2/\pi r^2 m c \epsilon_0$.

Из этого соотношения можно выразить только связь между N , r и m , но не сами величины, даже если считать радиус r электрона известным и равным классическому радиусу электрона (хотя и не обязательно, что сечение поглощения электрона задано этим радиусом). Поэтому для определения массы m реона следует либо использовать дополнительные гипотезы, как в работах [A48, 162], либо учесть дополнительные условия, например, измеренные характеристики случайного движения электронов. Тогда эти характеристики электрона можно выразить уже отдельно. Пользуясь известной формулой для броуновского движения [134], можно получить для среднего квадрата смещения $\langle x^2 \rangle$ электрона за время t значение $\langle x^2 \rangle = mc^2 B t$, где B – коэффициент, характеризующий сопротивление движению электрона. У броуновских частиц этот коэффициент характеризует силу вязкого трения среды, а для электрона – силу радиационного трения – то есть сопротивления со стороны внешнего электромагнитного поля ускорителя, удерживающего электроны возле оси камеры, а также электромагнитного трения при ускорении электрона, ведущего к потере энергии на излучение при ударах и толчках со стороны реонов. Чтобы выразить смещение через известные величины, можно воспользоваться формулой для смещения диффундирующей частицы

$$\langle x^2 \rangle = Dt,$$

где $D = a^2/\tau$ – коэффициент диффузии [231]. Здесь a – среднее характерное смещение электрона после каждого удара, а τ – среднее время между двумя ударами реонов по электрону. По закону сохранения импульса скорость, получаемая электроном после каждого удара, составит $V = mc/M$, и среднее смещение за время τ будет $a = m c \tau / M$. Таким образом

$$\langle x^2 \rangle = m^2 c^2 \tau t / M^2.$$

Характерное время τ можно выразить как величину обратную частоте испускания и поглощения реонов N , так что $\tau = 1/N$. Отсюда выразим массу m реонов. А при условии, если радиус электрона равен классическому $r = e^2/4\pi\epsilon_0 M c^2$, из условия $N = e^2/\pi r^2 m c \epsilon_0$ можно рассчитать количество реонов N , испускаемых электроном в единицу времени. В итоге, при измеренной величине $s = \langle x^2 \rangle / t$, приходим к системе уравнений

$$\begin{cases} s = m^2 c^2 / N M^2 \\ N = 16 \pi \epsilon_0 M^2 c^3 / m e^2 \end{cases},$$

откуда можно непосредственно получить значения m и N . Так что в итоге находим:

$$\begin{cases} m = 2^3 \sqrt{2 \pi \epsilon_0 c s M^4 / e^2} \\ N = 2^3 \sqrt{4 \pi^2 \epsilon_0^2 c^8 M^2 / s e^4} \end{cases}.$$

Отметим, что данные значения массы и частоты испускания реонов справедливы лишь в том случае, если радиус электрона, действительно, равен классическому. Однако ряд данных указывает на то, что реальный радиус электронов много меньше, в противном случае электрическое поле экранировалось бы электронами диэлектриков достаточно большой толщины, тогда как в действительности этого не наблюдается. То есть, третьей неизвестной является радиус электрона r , и для определения всех трёх значений m , N и r систему следует дополнить ещё одним уравнением, то есть наложить ещё одно физическое условие-ограничение.

Также из приведённых выше выражений следует соотношение $r/c = (4M/m)/N$, из которого найдём, насколько быстро электрон должен терять свою массу. Смысл выражения легко понять. В левой части стоит время, за которое свет проходит расстояние, равное радиусу электрона: $r/c = (2,8 \cdot 10^{-15}) / (3 \cdot 10^8) \approx 10^{-23}$ секунды. А в правой – учетверённое число реонов, содержащихся в электроне, делённое на частоту их испускания. Фактически по порядку величины – это время, за которое масса электрона сократится до нуля. Выходит, электрон должен полностью распасться за время порядка 10^{-23} секунды. Однако электроны не только не исчезают за столь короткое время, но не снижают массу и за много большие времена.

Тот факт, что постоянная утечка реонов с электрона не снижает его массу и энергию, объясняется тем, что электрон не только испускает, но и поглощает реоны, испущенные другими зарядами. Происходит постоянный обмен частицами. Предположив это, Ритц высказал впервые идею обменного взаимодействия, принятую поздней физикой, скажем, в КЭД.

Итак, в процессе обмена реонами, взамен ушедших, к электрону со всех сторон приходят новые реоны. Бесчисленные электроны в бесконечной Вселенной в итоге закроют электрон со всех сторон, окружают сплошной сферой характерного радиуса R (Рис. 3.14). Число электронов на сфере $P = 4\pi R^2/\pi r^2$. От каждого электрона сферы к центральному электрону приходит ежесекундно $Nr^2/4R^2$ реонов. В сумме со всей сферы к электрону приходит $PNr^2/4R^2 = N$ реонов. То есть электрон поглощает в единицу времени столько реонов, сколько теряет. Это аналогично парадоксу Ольберса, по которому бескрайняя Вселенная со звёздами, не будь поглощения, подобна окружающему Солнце зеркалу (Рис. 3.14), сияющему в каждой точке столь же ярко как само Солнце, возвращая весь излучённый им поток света.

В пользу квантования электромагнитных воздействий косвенно свидетельствует и вращение (*спин*) электрона. Испускание и поглощение квантов электрического поля (*реонов*) приводит не только к их хаотическому движению, но и к их вращению вокруг оси, наподобие ветряного, сегнерова или фейерверочного колеса (Рис. 3.13.б). Неодинаковое воздействие на вращающуюся поверхность электрона встречного и попутного потока реонов, а также возможное наличие у электрона асимметрии формы, приведёт к появлению у него постоянного вращения в определённую сторону со стандартной установившейся скоростью.

Таким образом, в пользу испускания реонов электронами косвенно свидетельствует ряд экспериментальных данных. Сам факт существования закона Кулона означает, что импульс от заряда к заряду переносит некий материальный агент, в виде квантов электромагнитного поля. В КЭД это – виртуальные фотоны, а в баллистической теории Ритца – реоны.

§ 3.8. Аномалии и статистические характеристики космических лучей

Как показано в предыдущих разделах, результаты большинства известных опытов по проверке баллистической теории неоднозначны, ввиду отсутствия прямых измерений скорости частиц и скорости их излучения. Как отмечалось, только прямое измерение скорости частиц и их излучения времяпролётным методом, по разнице моментов их регистрации двумя детекторами, разнесёнными на заданное расстояние, позволит сделать окончательный и однозначный вывод о справедливости или ошибочности теории Ритца.

Скорость частиц в широких атмосферных ливнях, например мезонов, обычно нельзя определить таким методом, поскольку неизвестно направление, с которого приходит атмосферный ливень. По разнице моментов регистрации фронта ливня детекторами, расположенными на большой площади, определяют лишь разницу моментов регистрации в горизонтальном направлении. Поэтому требуется знать и направление прихода ливня. Его можно определить по форме пятна сработавших детекторов. Поскольку облако частиц, образующих ливень, имеет цилиндрическую или линзовидную форму, то по вытянутости пятна сработавших детекторов легко определить угол прихода ливня, а по нему и по разнице моментов регистрации, – скорость ливня частиц. Это позволит сравнить релятивистское значение скорости и энергии частиц, измеренной детекторами, а также напрямую проверить, имеет ли место релятивистский эффект растяжения времени жизни частиц (§ 2.6).

В пользу сверхсветовых скоростей у частиц в широких атмосферных ливнях с рекордной энергией ($E > 10^{19}$ эВ) свидетельствует, например, зенитная аномалия – аномалия статистического распределения космических ливней по зенитным углам. Большинство атмосферных ливней с рекордной энергией $E \sim 10^{19}$ эВ приходят почти из зенита, словно первичные частицы падают отвесно, хотя теоретически их распределение по направлениям должно быть равномерным. Действительно, у большинства ливней с рекордной энергией $E > 10^{19}$ эВ измеренный по разнице моментов регистрации угол $\theta \leq 15^\circ$ [158]. Зенитный угол θ прихода ливня измеряют по задержке Δt регистрации ливня детекторами, разнесёнными по горизонтали на расстояние b (Рис. 3.15). Приняв скорость ливня $V_2 = c$, находят $\sin\theta = c\Delta t/b \approx 0$, словно частицы падают отвесно. Если же скорость частиц $V_2 = \gamma_2 c$ ($\gamma_2 \gg 1$), то $\sin\theta = \gamma_2 c \Delta t/b$, и угол θ больше найденного по СТО. Даже синхронное срабатывание детекторов ($\Delta t = 0$) говорит не об отвесном падении, а о гиперсветовой скорости ливня. Чем выше энергия первичной частицы и γ -фактор, тем отвесней по СТО кажется падение ливня. В теории наоборот: чем энергичней ливень, тем проще его частицам пройти земную атмосферу под углом.

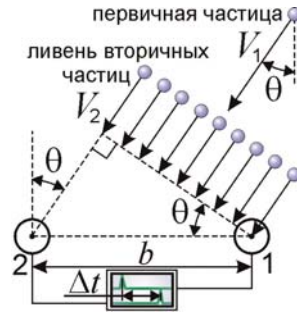


Рис. 3.15. Метод измерения угла θ прихода ливня по задержке его регистрации счётчиками Гейгера 1 и 2.

Истинный угол прихода ливня можно измерить, как отмечалось, по форме пятна сработавших детекторов (Рис. 3.16). Зенитные углы, измеренные по времени задержки срабатывания детекторов $\theta_T = \arcsin(V\Delta t/b)$ (при $V \approx c$) и по форме пятна сработавших детекторов $\theta_S = \arccos(a/b)$, часто не совпадают. В качестве примера можно привести результаты измерений одного из ливней на установке Тунка-133 [237]. Измеренный по задержке Δt угол $\theta_T = \arcsin(c\Delta t/b) \approx 13,4^\circ$, тогда как форма пятна сработавших детекторов соответствует наклонному падению ливня под зенитным углом $\theta_S = \arccos(a/b) \approx 45^\circ$, где a и b – малая и большая оси эллипса, очерчивающего пятно сработавших детекторов. Так что угол θ_S отличается от угла θ_T , измеренного по задержке Δt . Однако углы, как легко видеть, совпадут ($\theta_T = \theta_S \approx 45^\circ$), если в данном случае истинная скорость $V \approx 3c$, то есть в три раза выше скорости света c .

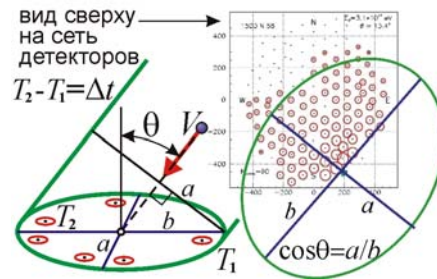


Рис. 3.16. Пятно сработавших детекторов от ливня с энергией $3 \cdot 10^{17}$ эВ.

Итак, за счёт ничтожной разницы между моментами регистрации фронта ливня разнесёнными детекторами, кажется, что большинство ливней приходят практически из зенита ($\cos\theta \approx 1$). Однако синхронная регистрация фронта ливня детекторами может свидетельствовать и о сверхсветовой скорости частиц $V = \gamma c$, что и объяснит зенитную аномалию – иллюзию отвесного падения ливней. В литературе встречается мнение, будто аномально увеличено число частиц, приходящих под большими зенитными углами [159]. Действительно, как видно из Рис. 3.17, экспериментально измеренное распределение космических лучей по направлениям преобладает над теоретическим в области больших зенитных углов $\theta > 50^\circ$.

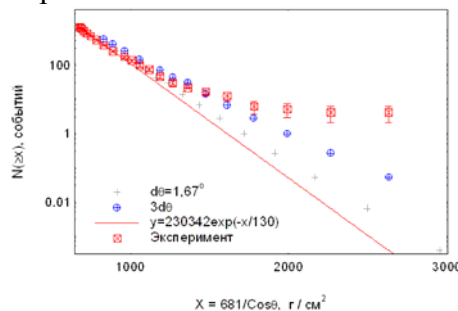


Рис. 3.17. Зенитное угловое распределение ШАЛ с $N_e > 10^7$ частиц [159].

Однако это распределение построено для ливней с энергией $E \sim 10^{15}$ эВ, что при числе частиц $N_e > 10^7$ означает, что энергия каждой частицы $E_1 \sim 10^8$ эВ = 100 МэВ, то есть меньше энергии покоя мюонов и протонов – основных компонент ШАЛ. То есть, в рамках баллистической теории для частиц таких ливней $\gamma \sim 1$, и скорости частиц $V \leq c$. Это и ведёт к завышению зенитных углов $\theta_T = \arcsin(c\Delta t/b)$ по сравнению с истинными $\theta_T = \arcsin(V\Delta t/b)$. В то же время для ливней с рекордной энергией $E \sim 10^{19} - 10^{20}$ эВ отчётливо наблюдается преоблада-

ние ливней с малыми зенитными углами θ , что в рамках баллистической теории естественно объясняется неверным определением направлений прихода лучей в рамках гипотезы $V \sim c$, тогда как скорости, рассчитанные классическим способом, на порядки выше: $V = \gamma c$.

Таким образом, зенитная аномалия в рамках баллистической теории получает наиболее простое объяснение. С неверным измерением угла прихода ливней и их скорости, видимо, связано и отсутствие анизотропии в угловом распределении направлений прихода космических лучей высоких энергий [165]. Ошибка в определении их направления, меняющаяся в зависимости от времени суток и времени года (в соответствии с изменением положения зенита на небесной сфере), ведёт к рассеянию направлений прихода лучей по небесной сфере. В итоге угловое распределение направлений прихода космических лучей кажется изотропным: источники космических лучей не ассоциируются ни с галактической плоскостью, ни с центром Галактики, ни с активными источниками рентгеновского, гамма- и радиоизлучения.

Так, в эксперименте AGASA только для ливней с энергией $E \sim 10^{18}$ эВ заметна анизотропия $\sim 4\%$ и корреляция максимумов углового распределения ШАЛ с направлением на центр Галактики [166]. В данном случае корреляция возникает, т.к. при $E \sim 10^{18}$ эВ средняя скорость частиц космических лучей слабо отличается от скорости света. А при более высоких, рекордных энергиях $E \sim 10^{19} - 10^{20}$ эВ анизотропия исчезает [166], хотя ожидалось обратное – нарастание анизотропии при росте энергии [177], поскольку внутригалактические магнитные поля тем сильнее рассеивают направления космических лучей, чем выше их энергия. Действительно, при росте энергии космических лучей анизотропия росла и отчётливо проявлялась для частиц сверхвысоких энергий [177]. А при дальнейшем росте энергии частиц (выше $E \sim 10^{19}$ эВ) анизотропия исчезала. Вероятно, это связано с тем, что энергии и скорости частиц ливня в десятки раз выше скорости света, что ведёт к ошибкам в определении направлений прихода лучей и, как следствие, к рассеянию направлений прихода по всей небесной сфере. Впрочем, иногда в литературе встречаются утверждения об открытии анизотропии у космических лучей сверхвысоких энергий с энергией $E > 10^{18}$ эВ [219].

Однако такая анизотропия обнаруживается лишь в рамках азимутальных измерений, когда измеряется азимут направления прихода ливня, причём для космических лучей, приходящих под значительными зенитными углами $\theta > 50^\circ$. При этом, во-первых, разброс космических лучей по зенитному углу вносит меньшую ошибку в определение направления, поскольку измеряется не зенитный угол, а азимут [219]. Во-вторых, для космических лучей, приходящих под столь значительными углами θ , очевидно, не выполняется условие $V \gg c$, и регистрируются уже лавина вторичных космических лучей с $V \sim c$, возникших после многократного рассеяния, за счёт значительной длины пути в атмосфере Земли. Соответственно, ошибка в определении направлений их прихода оказывается незначительной.

Сверхсветовую скорость космических лучей подтверждает и регистрация частиц, опережающих фронт ливня на доли секунды [185], что невозможно, если частицы летят с одинаковой скоростью $v \approx c$. Но если ливень, растратив энергию на пути к детектору, замедлится до скорости $V_2 \sim c$, то наиболее быстрые частицы с рекордной скоростью $V_1 \gg c$, приходя к детектору почти мгновенно ($L/V_1 \approx 0$), заметно опередят фронт ливня на время $\Delta t = L/V_2 - L/V_1 \sim L/c \sim 10^{-4}$ с, что и наблюдалось. Это же объясняет открытие в эксперименте «ВЭГА» серий из двух, трёх и более импульсов космических лучей, разделённых интервалами $\Delta t \sim 10^{-7}$ с. В рамках теории относительности это невозможно, поскольку, при одинаковой скорости частиц ливня $v \approx c$, это приводит к выводу о сверхсветовой скорости частиц, приходящих первыми [185], а для классической физики – это вещь возможная: если скорости разных групп частиц $V_1, V_2, V_3 \dots$ составляют порядка $10^3 c$, то $\Delta t = L/V_2 - L/V_1 \sim 10^{-7}$ с.

Не исключено, что последовательность импульсов создана сверхсветовыми частицами техногенного происхождения, переносящими информацию в форме импульсов «точек» и «тире» своего рода межзвёздного телеграфа [A15, A27]. Если сверхсветовые скорости частиц космических лучей и синхротронного излучения подтвердятся, их можно будет применить для сверхсветовой связи в космосе, незаменимой даже в Солнечной системе, а передача сообщений на межзвёздные расстояния вообще теряет целесообразность для сигналов, движущихся со скоростью меньшей или равной световой, ввиду того что интервалы между переда-

чей и приёмом таких сигналов занимали бы годы. Отметим, что идея расшифровки информации, «записанной» в космических лучах, выдвигалась уже А. Комптоном.

В пользу искусственной природы космических лучей свидетельствует также их состав. В космических лучах процентное содержание ядер лёгких элементов (Li, Be, B) аномально велико по сравнению с их содержанием в звёздах, метеоритном веществе и межзвёздном газе [247]. В случае искусственного происхождения космических лучей изобилие в них ядер лёгких элементов вполне естественно, поскольку ядра малой массы m при той же энергии $W = mV^2/2$ имеют более высокие скорости V и наиболее удобны для сверхсветовой передачи информации. В пользу искусственной природы космических лучей свидетельствует также обнаружение в их составе ядер трансураниевых элементов, не существующих в природе, например, ядра с номером $Z = 106$ (сиборгий, Sg) [247]. Учитывая, что среднее время распада таких ядер порядка минуты, а источники энергичных космических лучей располагаются на расстояниях в световые годы, ядра для достижения Земли должны были лететь со скоростью в миллионы раз выше световой. Если же предполагать образование ядер Sg уже в атмосфере Земли при бомбардировке её атомов более лёгкими ядрами, то вероятность таких событий исчезающе мала, т.к. даже при высокой плотности потока ядер, обстреливающих плотные мишени, в ускорителях образуются ничтожные количества атомов трансураниевых элементов.

Обнаружение в космических лучах короткоживущих ядер, а во вторичных космических лучах – короткоживущих мюонов можно объяснить в рамках СТО и растяжением времени жизни T быстро движущихся частиц по закону $T' = T_0\gamma$, где γ – фактор Лоренца, нарастающий при увеличении энергии частиц. Действительно, обнаружено, что мюоны, образующиеся во вторичных космических лучах, проходят до поверхности земли путь $S = cT_0\gamma$ много больший, чем путь $S_0 = cT_0$, который могли бы пройти за характерное время распада T_0 мюоны, движущиеся со скоростью c . Если в СТО этот факт интерпретируют как следствие растяжения времени жизни T' , ведущего к росту пути $S' = cT' = cT_0\gamma$, то в классической механике и баллистической теории, как показано в § 3.1, удлинение пути S' естественно объясняется тем, что при увеличении энергии частиц увеличивается их скорость $V = \gamma c$ до значений $V > c$. Соответственно, проходимый частицей до распада путь $S' = VT = cT_0\gamma$ [A37, A45], что совпадает с результатом опытов и выводом СТО. То есть критерием выбора между баллистической теорией и СТО опять же служит прямое измерение скорости космических лучей.

Таким образом, прямое измерение скорости и направлений прихода широких атмосферных ливней и частиц космических лучей позволит не только проверить баллистическую теорию, но и уточнить распределение на небе источников космических лучей для уверенной их ассоциации с активными галактическими и внегалактическими объектами. Прямое измерение скорости космических ливней можно осуществить, установив детекторы частиц не только на горизонтальной поверхности, но и на высоте, например, на склонах и вершинах гор (если установка размещена в горах, как, например, Тань-Шаньская станция). Также дополнительные детекторы можно разместить на мачте в центре сети детекторов. Это позволит напрямую измерять скорость ливня и точно определять направление его прихода.

Прямое подтверждение сверхсветовой скорости $V = \gamma c$ частиц в космических лучах и ускорителях в предложенных экспериментах имело бы и прикладное значение, позволяя осуществить сверхсветовую межпланетную и межзвёздную связь. Ускоритель электронов, установленный на корабле и выбрасывающий модулированный поток частиц со скоростью $V = \gamma c$, позволит (при $\gamma \sim 1000$) осуществлять связь со звёздными системами на расстоянии в несколько световых лет за времена не в годы, а в несколько суток. Кроме того, использование в качестве ракетных реактивных двигателей – ускорителей, выбрасывающих потоки сверхсветовых частиц, позволит по формуле Циолковского реализовать сверхсветовые космические корабли, преодолевающие межзвёздные дистанции не за годы, а за месяцы. Не исключено, что регистрируемые космические лучи представляют собой отчасти лучи космической связи, а отчасти – выхлопы космических кораблей и имеют техногенную природу. Это объясняет спектр космических лучей (его излом и аномальный рост числа частиц ультравысоких энергий), а также регистрацию частиц с энергией выше предела Зацепина. Такие частицы, согласно теории Зацепина, не могут достигать Земли,

ввиду потери ими энергии на расстояниях гипотетических естественных источников космических лучей. Однако такие лучи могут иметь искусственное происхождение.

§ 3.9. Выводы

Эксперименты в области физики высоких энергий, привлекаемые в качестве наиболее убедительного теста несостоятельности баллистической теории [8, 105–107], фактически, как показал анализ, не противоречат ей, если рассчитывать кинематические характеристики частиц и их излучения в рамках теории Ритца и учитывать эффект переизлучения средой. Такое определение скорости частиц в рамках классической физики позволяет не только истолковать ряд аномалий указанных экспериментов, но и рассматривать результаты таких экспериментов в качестве косвенного подтверждения баллистической теории. Двусмысленность в истолковании результатов опытов приводит к выводу о необходимости постановки новых экспериментов и дополнительных, контрольных измерений и уточнений к существующим схемам опытов. В первую очередь это – прямое измерение скорости частиц время-пролётным методом. Прямое измерение позволит уточнить истинную величину скорости частиц и характеристики космических лучей в ШАЛ, которые трудно объяснить в рамках релятивистского анализа скорости и энергии космических лучей.

Заключение

Проведённый в работе подробный анализ результатов вековых наблюдений и опытов в космосе (мегамире), в земных лабораториях (макромире) и физике высоких энергий (микромире) показывает, что на данный момент нет данных, однозначно свидетельствующих против баллистической теории. Напротив, ряд данных косвенно подтверждает баллистическую теорию. По крайней мере, эти данные находят более полное и точное описание в рамках баллистической теории, нежели в рамках гипотезы о постоянстве скорости света. Для однозначного решения вопроса о влиянии скорости источника на скорость света предложен ряд новых методов, критериев и схем экспериментов в космосе, в оптических лабораториях и на ускорителях. С одной стороны, эти усовершенствованные эксперименты позволят точнее решить вопрос о переменности скорости света. С другой стороны, они позволят проверить ряд следствий баллистической теории, включая эффект Ритца, и уточнить ряд неизвестных параметров, порождающих неоднозначность в интерпретации данных. Уточнение имеет и чисто практический интерес, в том числе в области радиолокации, генераторах синхротронного излучения и излучения неоптических диапазонов.

Таким образом, проверка баллистической теории и постоянства скорости света имеет не только теоретический, но и чисто практический, прикладной интерес. Более того, если некоторые следствия баллистической теории (например эффект Ритца) подтвердятся, это открывает принципиально новые возможности в плане преобразования видимого лазерного излучения в другие частотные диапазоны. То же самое можно сказать и в отношении других следствий баллистической теории, которые могут иметь огромное прикладное значение.

Итак, проверка баллистической теории света по указанным методикам и критериям представляется крайне актуальной и целесообразной.

Литература

1. Ritz W. // Ann. Chim. Phys. 1908. V. 13. P. 145–275.
2. Паули В. Теория относительности. М. Наука, 1991. 328 с.
3. Томсон Дж.Дж. Электричество и материя. М.-Л.: ОГИЗ, 1928. 264 с.
4. Ахманов С.А., Никитин С.Ю. Физическая оптика. М.: МГУ, 2004. 654 с.
5. Ельяшевич М.А., Кембровская Н.Г., Томильчик Л.М. // УФН. 1995. Т. 165. С. 457–480.
6. Ельяшевич М.А., Кембровская Н.Г., Томильчик Л.М. Вальтер Ритц и развитие бесполового подхода в электродинамике. Препринт № 710. Минск, 1997.
7. Роузвер Н.Т. Перигелий Меркурия от Лаверьё до Эйнштейна. М.: Мир, 1985. 246 с.
8. Fox J.G. // Am. J. Phys. 1965. V. 33. P. 1–17.
9. Малыкин Г.Б. // Оптика и спектроск. 2010. Т. 109. № 6. С. 1018–1034.
10. Moon P., Spencer D. Binary Stars and the Velocity of Light // JOSA. 1953. V. 43. №8. P. 635–641.
11. Малыкин Г.Б. // Оптика и спектроск. 2014. Т. 116, №1, С. 143–154.
12. Dingle H. // MNRAS. 1959. V. 119. N 1. P. 67–71.
13. Dickens R.J., Malin S.R.C. // Observatory. 1965. V. 85. P. 260–262.
14. Сверхсветовые в среде
15. Мельников О.А., Попов В.С. // в сб.: Некоторые вопросы физики космоса, сборник 2. М.: ВАГО АН СССР, 1974. С. 9.
16. Франкфурт У.И., Френк А.М. Оптика движущихся тел. М.: Наука, 1972. С. 113.
17. Льюэлли М. История физики. М.: Мир, 1970.
18. Филонович С.Р. Самая большая скорость. М.: Наука, 1983.
19. Wallace B.G. Radar Testing of the Relative Velocity of Light in Space // Spectroscopy Letters. 1969. V. 2. P. 361–367.
20. Wallace B.G. Radar Evidence that the Velocity of Light in Space is not c // Spectroscopy Letters. 1971. V. 4. P. 79–84.
21. Фундаментальные постоянные астрономии. М.: Мир, 1967. 382 с.
22. Петров Г.М. Радиолокационные исследования Венеры // Земля и Вселенная. 1982. № 1. С. 8–16.
23. Красинский Г.А., Питъева Е.В., Свешиников М.Л., Свешиникова Е.С. Некоторые результаты обработки радиолокационных, лазерных и оптических наблюдений внутренних планет и Луны // Докл. АН СССР. 1981. Т. 261. №6. С. 1320–1324.
24. Селезнёв В.П. Космический навигатор // Наука и религия. 1998. №5-6. С. 26–29.
25. Дёмин В.Н., Селезнёв В.П. Мироздание постигая. М.: Молодая гвардия, 1989. 267 с.
26. Дёмин В.Н., Селезнёв В.П. К звёздам быстрее света: русский космизм вчера, сегодня, завтра. М.: УРСС, 2011. 432 с.
27. Андерсон Дж., Лаинг Ф., Лау Э., Ньето М., Туришев С. // Земля и Вселенная. 2002. №5. С. 78–81.
28. Уоллес Б. Проблема пространства и времени в современной физике // Сборник "Проблемы исследования Вселенной", вып. 15. Проблемы пространства и времени в современном естествознании. СПб., 1991. с. 258–267.
29. Крюков П.Г. Фемтосекундные импульсы. М.: Физматлит, 2008. 208 с.
30. Ritz W. Œuvres. Gesammelte Werke. Paris, Gauthier-Villars, 1911.
32. Котельников В.А., Дубровин В.М., Морозов В.А. и др. Результаты радиолокации Венеры в 1961 г. // Радиотехника и электроника. 1962. Т. 7. №11. С. 1860–1872.
33. Котельников В.А., Аким Э.Л., Александров Ю.Н. и др. Измерения времени запаздывания и доплеровской поправки в радиолокационных наблюдениях Венеры в 1975 г. // Астрономический журнал. 1976. Т. 53. № 6. С. 1270–1277.
34. Котельников В.А., Дубровин В.М., Дубинский Б.А. и др. Радиолокационные наблюдения Венеры в Советском Союзе в 1962 году // Докл. АН СССР. 1963. Т. 151. № 3. С. 532–535.
35. Шурупов А.К. Радиолокация Венеры // Журнал научно-физического кружка им. М.В. Ломоносова. 1970. №8. март.
36. Секерин В.И. Теория относительности – мистификация века. Новосибирск, 1991. 56 с.

37. Котельников В.А., Дубровин В.М., Кузнецов Б.И. и др. Успехи планетной радиолокации // Природа. 1964. №9. С. 2–12.
38. Котельников В.А., Александров Ю.Н., Апраксин Л.В. и др. // Докл. АН СССР. 1965. Т. 163. № 1. С. 50–53.
39. Кислик М.Д., Колюка Ю.Ф., Котельников В.А. и др. Определение орбит Земли и Венеры, астрономической единицы и радиуса Венеры на основе радиолокационных наблюдений Венеры в 1962-1977 гг. // Докл. АН СССР. 1978. Т. 241. №5. С. 1046–1049.
40. Кислик М.Д., Колюка Ю.Ф., Котельников В.А. и др. Единая релятивистская теория движения внутренних планет Солнечной системы // Докл. АН СССР. 1980. Т. 255. №3. С. 545–547.
41. Прохождение Венеры по диску Солнца 8 июня 2004 г.: Наблюдения на Астрополигоне НИИФТРИ // [Электронный ресурс]. URL: http://astroclub-irk.narod.ru/Astroclub/Observations/TransitOfVenus20040608/TransitOfVenus20040608_r.html
42. Леушканов А. Планета, которая всех обманула // Русский Север. 9 июня 2004 г. С. 8. URL: <http://moscowaleks.narod.ru/galaxy226.html>.
43. Ходж П. Революция в астрономии. М.: Мир, 1972. С. 19.
44. Александров Ю.Н., Вышков А.С., Дубровин В.М. и др. Радиолокационные наблюдения Марса, Венеры и Меркурия на волне 39 см в 1980 г. // Докл. АН СССР. 1980. Т. 255. №6. С. 1334–1338.
45. Аким Э.Л., Степаньянц В.А. Численная теория движения Земли и Венеры по данным радиолокационных, оптических наблюдений и наблюдений за движением искусственных спутников «Венера-9» и «Венера-10» // Докл. АН СССР. 1977. Т. 233. №3. С. 314–317.
46. Селезнёва Н.В. Покорение космического пространства: эпопеи советского изобретателя. М.: Либроком, 2013. 360 с.
47. Zurhellen W. Zur Frage der Astronomischen Kriterien fur die Konstanz der Lichtgeschwindigkeit // Astr. Nachr. 1914. V. 198. P. 1–10.
48. Anderson J.D., Nieto M.M. Astrometric Solar-System Anomalies // [Электронный ресурс]. URL: <http://arxiv.org/pdf/0907.2469v2.pdf>
49. Anderson J.D., Laing P.A., Lau E.L., et al. Indication, from Pioneer 10/11, Galileo, and Ulysses Data, of an Apparent Anomalous, Weak, Long-Range Acceleration // Phys. Rev. Lett. 1998. V. 81. P. 2858–2861.
50. Anderson J.D., Lau E.L., Giampieri G. Improved Test of General Relativity with Radio Doppler Data from the Cassini Spacecraft // [Электронный ресурс]. URL: <http://arxiv.org/abs/gr-qc/0308010v1.pdf>
51. Turyshev S.G., Toth V.T., Kinsella G., et al. Support for the thermal origin of the Pioneer anomaly // Phys. Rev. Lett. 2012. V. 108. P. 241101–241105.
52. Порошин А.П. // Земля и Вселенная, №6, 2004, С. 79.
53. Van Flandern T. What the Global Positioning System Tells Us about Relativity // From the book «Open Questions in Relativistic Physics». Monreal: Apeiron, 1998. P. 81–90.
54. Дугин Н.А., Гавриленко В.Г., Нечаева М.Б. и др. РСДБ-эксперименты по приёму сигналов навигационных космических аппаратов // В кн.: Труды XVI-й научной конференции по радиофизике. 11–18 мая 2012 г. /Ред. С.М. Грач, А.В. Якимов. – Н. Новгород: Изд-во ННГУ, 2012. С. 66–67.
55. Gezari D.Y. Lunar Laser Ranging Test of the Invariance of c // [Электронный ресурс]. URL: <http://arxiv.org/abs/0912.3934>
56. Бронштэн В.А. Как движется Луна? М.: Наука, 1990. 208 с.
57. Сидоренков Н.С. // Вестник РАН. 2004. Т. 74. № 8. С. 701–715.
58. Горыня А.А. Постоянные физической либрации Луны. Киев: Наукова думка, 1969. 276 с.
59. Murphy T.W., Adelberger E.G., Battat J.B.R., et al. Laser ranging to the lost Lunokhod 1 reflector // Icarus. 2011. V. 211. P. 1103–1108.
60. Hatch R.R. Relativity and GPS // Galilean Electrodynamics. 1995. V. 6. N3-4. P. 51–57.
61. Подгорный В. Постоянна ли скорость света? // Техника-молодёжи. 2001. №4.

62. Соколов Г.Г., Соколов В.Г. Теория относительности и физическая реальность. URL: <http://pravislava.al.ru/rustheor.htm>
63. Месяц Г.А. // УФН. 1995. Т. 165. С. 601.
64. Месяц Г.А., Яландин М.И. // УФН. 2005. Т. 175. С. 225–245.
65. Вавилов С.И. Собрание сочинений, Т. 2. М.: АН СССР, 1952. 548 с.
66. Vanwell C.I., Farr C.C. // Proc. Roy. Soc. 1940. V. A175. P. 1–25.
67. Бонч-Бруевич А.М. // УФН. 2001. Т. 171. С. 1087–1090.
68. Бонч-Бруевич А.М., Молчанов В.А. // Оптика и спектроск. 1956. Т. 1. № 2. С. 113–124.
69. Kiefer D., Yeung M. et al. // Nature Communications, 23 April 2013. URL: http://www.mpq.mpg.de/cms/mpq/en/news/press/pdf/2013/PR_13_04_23.pdf (дата обращения 27.01.2014).
70. Brown B.C., et al. // Physical Review Letters, V. 30, №16, 1973.
71. La Rosa M. // Zs. f. Phys. **21**, 333, 1924.
72. Ганеев Р.А. // УФН. 2009. Т. 179. №1. С. 65–90.
73. Sciama D.W. Modern Cosmology and the Dark Matter Problem. Cambridge: Cambridge University Press, 1995. P. 101.
74. Cambes F. // Annu. Rev. Astron. Astrophys. 1991. V. 29. P. 195–237.
75. Эйгенсон М.С. Внегалактическая астрономия. М.: Физматгиз, 1960. 414 с.
76. Белопольский А.А. Астрономические труды. М.: Гостехиздат, 1954. 320 с.
77. Zwicky F. // Proc. National Acad. Sci. 1929. V. 15. N 10. P. 773–779.
78. Циолковский К.Э. Очерки о Вселенной. Калуга, 2001. 384 с.
79. Вавилов С.И. Собрание сочинений, Т. 4. М.: АН СССР, 1956. 470 с.
80. Джоунс Д. Изобретения Дедала. М.: Мир, 1985. С. 150.
81. Эйгенсон М.С. Внегалактическая астрономия. М.: Физматгиз, 1960. 414 с.
82. Devasia S. Ritz-type variable speed of light (VSL) Cosmology // Physics Essays. 2014, V. 27, P. 523–536. URL: http://faculty.washington.edu/devasia/Physics/Devasia_cosmology.pdf (дата обращения 27.11.2014).
83. Тропников А.Н. Смещение Доплера в гравитационном поле. URL: <http://www.astrolab.ru/cgi-bin/manager.cgi?id=40&num=1374> (дата обращения 27.01.2014).
84. Суреника А.А. // Apeiron. 2000. V. 7. № 1-2. P. 89–106. URL: <http://redshift.vif.com/JournalFiles/Pre2001/V07NO1PDF/V07N1CYR.pdf> (дата обращения 27.01.2014).
85. Minera H.A. // Advances in Chemical Physics, Part III (Modern Nonlinear Optics). V. 119. P. 335–385.
86. Струве О., Линдс Б., Пулланс Э. Элементарная астрономия. М.: Наука, 1967.
87. Henke B.L., Gullikson E.M., Davis J.C. X-ray interactions: photoabsorption, scattering, transmission, and reflection at $E = 50\text{--}30000$ eV, $Z = 1\text{--}92$ // Atomic Data and Nuclear Data Tables. July 1993. V. 54. №2. P. 181–342.
88. Крафт Р.П. Взрывные переменные как двойные звёзды. М.: Мир, 1965.
89. Perlmutter S. et al. // Astroph. J. 1999. V. 517. P. 565–586.
90. Шапиро И. // УФН. 1969. Т. 99. С. 319.
91. Победоносцев Л.А. и др. // ЖТФ, Т. 59, вып. 84, с. 124, 1989.
92. Hebrard G., Almenara J.-M., Santerne A. et al. KOI-200b and KOI-889b: Two Transiting Exoplanets Detected and Characterized with Kepler, SOPHIE and HARPS-N // Astronomy & Astrophysics. 2013. №554. A114. April 23. С. 1–10.
93. Секерин В.И. Теория относительности – мистификация XX века. Новосибирск: Арт-Авеню, 2007.
94. Масликов С.П. Новый вариант "баллистической теории" В. Ритца // "Инженер", 2007, №12; Физическая мысль России, №1, 1998.
95. Michaud M.F. // Compt. Rend. 1919. V. 168. P. 507–509.
96. Wesley J.P. // Physics Essays. 2003. V. 16. №3. P. 385–389.
97. Сивухин Д.В. Оптика. М.: Наука, 1980. 752 с.
98. Франкфурт У.И. Специальная и общая теория относительности. М.: Наука, 1968. 332 с.

99. *Sadeh D.* // Phys. Rev. Lett. 1963. V. 10. P. 271–273.
100. *Седов В.Л.* // УФН. 1968. Т. 94. №3. С. 417–438.
101. *Lo Savio M.* // Phys. Lett. A. 1988. V. 133. P. 176–178.
102. *Баранов А.Г.* // Эйнштейновский сборник-66. М.: Наука, 1966. 376 с.
103. *Kantor W.* // Spectr. Lett. 1971. V. 4. P. 245–253.
104. *Александров Е.Б.* Частное сообщение.
105. *Александров Е.Б., Александров П.А., Запасский В.С.* и др. // УФН. 2011. Т. 181. С. 1345.
106. *Александров Е.Б.* // Химия и жизнь. 2012. № 3. С. 16.
107. *Мазманишвили А.С.* // Электромагнитные явления. 2001. Т. 2. № 1. С. 124–130.
108. *Михайлин В., Тернов И.* Синхротронное излучение. М.: Знание, 1988. 64 с.
109. *Жук Н.А.* // в сб. «Фундаментальные проблемы естествознания и техники». СПб., 2002.
110. *Бузмаков И.В.* // Современные научные исследования и инновации. 2013. №10.
111. <http://math.ucr.edu/home/baez/physics/Relativity/SR/experiments.html>
112. *Винокуров Н.А.* // Наука из первых рук. 2010. Т. 33. вып. 3. С. 8–15.
113. *Фритциус Р.С.* // Тр. междунар. конф. «Ньютон и проблемы механики». СПб, 1993.
114. *Гапонов В.И.* Электроника. М.: Физматгиз, 1960.
115. *Суорц К.Э.* Необыкновенная физика обыкновенных явлений. Т. 2. М.: Наука, 1987.
116. *Никольский В.В., Никольская Т.И.* Электродинамика и распространение радиоволн. М.: Наука, 1989.
117. *Френкель В.Я.* Пауль Эренфест. М.: Атомиздат, 1977.
118. Справочник необходимых знаний. М., 2002.
119. *Саункевич И.С.* Современное экспериментальное подтверждение специальной теории относительности. Минск: Высшая школа, 1979.
120. *Brecher K.* // Phys. Rev. Lett. 1977. V. 39, 1051.
121. *Brecher K.* // Bulletin of Physics News. 2000. №484. May 11.
122. *Pietrzyński G., Thompson I.B., Gieren W., et al.* RR-Lyrae-type pulsations from a 0.26-solar-mass star in a binary system // Nature. 2012. V. 484. P. 75–77.
123. *Comstock D.F.* // Phys. Rev. 1910. V. 30, 267.
124. *Матвеев А.Н.* Механика и теория относительности. М.: ОНИКС, 2003.
125. *De Sitter W.* // Phys. Z. 14 429, 1267 (1913).
126. *Guthnik P.* // Astr. Nachr. 195 265 (1913).
127. *Freundlich E.* // Phys. Z. 14 935 (1913).
128. *Barr J.M.* // J. Roy. Astron. Soc. of Canada 2 70 (1908).
129. *Batten A.H.* Binary and Multiple Systems of Stars (Oxford: Pergamon Press, 1973) [Пер. на русск. яз.: Бэттен А. Двойные и кратные звёзды. М.: Мир, 1976.
130. *Бражникова Э.Ф., Бабинчук С.В.* // Астроном. журн. 1965, Т. 42, С. 678.
131. *Штерн Б.Е.* // Химия и жизнь, 2010. 8. С. 7.
132. *Born M., Wolf E.* Principles of Optics (New York: Pergamon Press, 1959) [Пер. на русск. яз.: Борн М., Вольф Э. Основы оптики (М.: Наука, 1973)].
133. *Михайлин В.В., Тернов И.М.* Синхротронное излучение. М.: Знание, 1988.
134. *Сивухин Д.В.* Термодинамика и молекулярная физика. М.: Наука, 1975.
135. *Newburgh R.G.* // Amer. J. of Phys., 1972, V. 40, №8, P. 1173.
136. *Комаров В.Н.* Увлекательная астрономия. М.: Наука, 1968.
137. *Завельский Ф.С.* Время и его измерение. М.: Наука, 1977.
138. *Коллин С.* // Квантовая электроника, Т. 40, №5, 2010, С. 421–424.
139. *Селезнёв В.П.* // Авиация и космонавтика. 1963, №7, С. 18.
140. *Kopal Z.* Close Binary Systems. Wiley&Sons Inc.: N.Y., 1959.
141. *Batten A.H.* // Journal of the Royal Astronomical Society of Canada, V. 77, 1983, №2, P. 95.
142. *Бражникова Э.Ф.* // Земля и Вселенная, №5, 1968.
143. *Бражникова Э.Ф.* О селекции при открытии спектрально-двойных звёзд и интерпретации В-эффекта // Астрономический журнал, 1970, Т. 47, вып. 1, С. 149.
144. *Бражникова Э.Ф., Дагаев М.М., Радзиевский В.В.* О галактической ориентации орбит // Астрон. журнал. 1975. Т. 52. вып. 3. С. 546–552.
145. *Куницкий Р.В.*, // Астрон. ж., 1924, V. 1, P. 2.

146. *Struve O., Huang S.-S.* Close binary stars. Occas. Notes, R. Astr. Soc. **3** (19), 1957, P. 161–188.
147. Приливные эффекты для двойных звёзд
148. *Баканов В.А.* Расширенный каталог орбит визуально-двойных звёзд с известными элементами и эффект Барра у этих систем // Учёные записки ГПИ. Сер. Физич. Наук., вып. 124, 1972 г., С. 50.
149. *Толстых В.И.* Эффект Барра и антиапексиальный эффект у затменно-двойных звёзд // Учёные записки ГПИ. Сер. физич. наук., вып. 124, с. 70, 1972 г.
150. *Чикин П.С.* // Актуальные проблемы современной науки, 2005, №2.
151. *Struve O.* // *Astrophys. J.*, 1944, V. 99, P. 295.
152. *Savedoff M.P.* // *Astron. J.*, 1951. V. 56, 1.
153. *Struve O.* // *Mon. Not. Roy. Astron. Soc.*, 1949. V. 109, 487.
154. *McNamara D.H.* // *Astrophys. J.*, 1951. V. 114, 513.
155. *Abhyankar K.D.* // *Astrophys. J. Suppl.*, Ser. 4, 1959. P. 157.
156. *Struve O.* // *Astrophys. J.* 1944, 99, P. 295.
157. *Алдушева В.Я.* // *Астрономический журнал*, 1987. **64**, P. 591.
158. *Росси Б.* Космические лучи. М.: Атомиздат, 1966.
159. *Бейль П.Ф., Бейсембаев Р.У., Вильданов Н.Г.* и др. Анализ методики исследования зенитного углового распределения ШАЛ // в сб. трудов 29-я РККЛ, Москва, 2006.
160. *Сацункевич И.С.* Современное экспериментальное подтверждение специальной теории относительности. Минск: Высшая школа, 2003.
161. *Сердюков А.Р.* Пётр Николаевич Лебедев. М.: Наука, 1978, с. 157.
162. *Околотин В.С.* Корпускулярная концепция полевых взаимодействий // в сб. Проблемы пространства и времени в современном естествознании, Вып. 15, СПб., 1991, стр. 412–420.
163. *Шакура Н.И.* и др. // *УФН*, Т. 183, №4, 2013.
164. *Брагинский В.Б., Полнарёв А.Г.* Удивительная гравитация. М.: Наука, 1985.
165. *Калмыков Н.Н., Куликов Г.В., Роганова Т.М.* Галактические космические лучи // в сб. "Модель Космоса", М.: Книжный дом «Университет», 2007, С. 1000.
166. *Nayashida et al*, 1999.
167. *Ходж П.* Галактики. М.: Наука, 1992.
168. *Зигель Ф.Ю.* Неисчерпаемость бесконечности. М., 1984
169. *Зигель Ф.Ю.* Звёзды ведут в бесконечность. М.: Наука, 1966.
170. *Левитт И.* За пределами известного мира. М.: Мир, 1978.
171. *Колесников А.И., Лютый В.М., Талызин И.В.* Наблюдательные факты и их интерпретация в астрофизике // Вестник ТвГУ. Серия "Физика". 2005. №9, Вып. 2. Стр. 124.
172. *Водопьянов А.С., Зрелов В.П., Тяпкин А.А.* // Письма в ЭЧАЯ. 2000. №2.
173. *Полякова Г.Д., Попов В.С., Шпитальная А.А.* О лучевой скорости эллиптической галактики А 2058+16
174. *Дуплищева О.М., Дуплищев А.М.* Наставник инженеров и учёных. Днепропетровск: АРТ-ПРЕСС, 2007.
175. *Дуплищева О.М., Дуплищев А.М.* М.И. Дуплищев. Теоретические и экспериментальные исследования явлений излучения и распространения света в пространстве. Днепропетровск: АРТ-ПРЕСС, 2012.
176. *Дёмин В.Н., Селезнёв В.П.* К звёздам быстрее света. Русский космизм вчера, сегодня, завтра. М., 1993 г.
177. *Красильников Д.Д.* Анизотропия космических лучей сверхвысоких энергий // Изв. АН СССР. Сер. Физ. 1975, Т. 39, №6, с. 1245–1248.
178. *Тихов Г.А.* 60 лет у телескопа. М.: Детская литература, 1959.
179. *Бунин В.А.* // *Астрономический журнал*, XXIX, вып. 4, с. 768, 1962 г.
180. *James J.F., Sternberg R.S.* // *Nature*, 1963, 197, P. 1192.
181. *Бергман П.Г.* Введение в теорию относительности. М.: Инлитгиз, 1947.
182. *Шкловский И.С.* Звёзды: их рождение, жизнь и смерть. М.: Наука, 1975.
183. *Физика космоса.* М.: Советская энциклопедия, 1986. 783 с.

184. *Петров В.М.* Мифы современной физики. М.: Либроком, 2012. 224 с.
185. *Баращенко В.С.* Антимир скоростей. Тахионы // Химия и жизнь. 1975. №3.
186. *Duncomb* – таблицы.
187. *Алёшкина Е.Ю.* Лазерная локация Луны // Природа. 2002. №9. С. 57–66.
188. *Горбацкий В.Г.* Космические взрывы. М.: Наука, 1972.
189. *Habs D., Gunther M.M., Jentschel M., Urban W.D.* The Refractive Index of Silicon at γ -Ray Energies. URL: <http://arxiv.org/pdf/1111.3608v2> (дата обращения 29.03.2014).
190. *Тарасов Л.В.* Лазеры: действительность и надежды.
191. *Цесевич В.П.* Переменные звёзды и способы их исследования. М.: Педагогика, 1970.
192. *Псковский Ю.П.* Новые и сверхновые звёзды. М.: Наука, 1974.
193. *Kantor W.* // Journal Of The Optical Society Of America, V. 52, № 9, 1962.
194. *Bertozzi W.* // American Journal of Physics, V. 32, №7, p. 551, 1964.
195. *Липунов В.М.* В мире двойных звёзд. М.: Наука, 1986.
196. *Cocconi V.T., Fazzini T., Fidencaro G. et al.* // PRL, V. 5, №1, P. 19.
197. *Фритциус* Пульсары. URL: .
198. *Пузиков Л.Д.* // Природа, 1960, №2, С. 80.
199. *Уилер Дж.А.* Предвидение Эйнштейна. М.: Мир, 1970.
200. *Денисов А.А.* Информационные основы управления. Л.: Энергоатомиздат, 1983.
201. *Фейнман Р.* // .
202. *Гапонов В.И.* Электроника. М.: Физматгиз, 1960.
203. Колебания блеска Полярной // Природа 2005, №7.
204. *Кокс Дж.П.* Теория звёздных пульсаций. М.: Мир, 1983.
205. Пульсирующие звёзды. М.: Наука, 1970.
206. Спектрофотометрия звёзд δ Цефея и η Орла и К-эффект для цефеид. Ленинград, 1950.
207. *Ландсберг Г.С.* Оптика. М.: Наука, 1976.
208. *Цесевич В.П.* Что и как наблюдать на небе. М.: Наука, 1984. 304 с.
209. *Бялко А.В.* Наша планета – Земля. М.: Наука, 1989. 240 с.
210. *Еремеева А.И.* Пионер отечественной астрофизики // Вестник РАН, 2004, Т. 74, № 6, С. 524–531.
211. *Бронштэн В.А.* Гипотезы о звёздах и Вселенной. М.: Наука, 1974.
212. *Крюков П.Г.* // УФН, 2013, Т. 183, №9. С. 897.
213. Циркулярно поляризованный фемтоимпульс.
214. *Угольников О.С.* Небо начала века. 2001-2012. М.: Сельянов А.Д., 2000. 320 с.
215. *Мамаев.* URL: .
216. *Фритциус* переменные звёзды. URL: <http://datasync.com/~rsf1> (дата обращения 18.08.2014).
217. Эфемериды Венеры – прохождение по Солнцу в 2004 г. URL: .
218. *Алексеев В., Минчин С.* Венера раскрывает тайны. М.: Машиностроение, 1975. 96 с.
219. *Михайлов А.А.* Поиск анизотропии космических лучей сверхвысоких энергий // Письма в ЖЭТФ, Т. 66, 1997, с. 289–292.
220. *Тяпкин А.А.* // Краткие сообщения ОИЯИ. 1993, №3[60]-93. С.26.
221. *Водопьянов А.С., Зрелов В.П., Тяпкин А.А.* // Письма в ЭЧАЯ. 2000. № 2[99].
222. *Ефремов Ю.Н.* В глубины Вселенной. М.: Наука, 1984.
223. *Силк Дж.* Большой взрыв. М.: Мир, 1982.
224. *Алеманов С.Б.* Волновая теория строения элементарных частиц. М.: Бинар, 2014.
225. Альфа и омега: Краткий справочник. Таллин: Валгус, 1987.
226. *Вихлинин А.А. и др.* Скопления галактик // УФН. Т. 184. 2014. №4.
227. *Тернов И.М., Михайлин В.В., Халилов В.Р.* Синхротронное излучение и его применения. М.: МГУ, 1985.
228. *Засов А.В.* Карликовые галактики. М.: Знание, 1984.
229. *Сысоев А.* // Вокруг света. 2013. №3.
230. *Силкин Б.И.* В мире множества лун. М.: Наука, 1982.
231. *Гегузин Я.Е.* Живой кристалл. М.: Наука, 1987.
232. *Ade P.A.R. et al.* Planck 2013 results // Astronomy and Astrophysics. **1303**: 5062.

233. *Мамаев А.В.* АРУС. URL: .
234. *Быстров Ю.А., Иванов С.А.* Ускорительная техника и рентгеновские приборы. М.: Высшая школа, 1983, С. 159.
235. *Alvager T., Farley F.J.M., Kjellman J., Wallin I.* Test of the Second Postulate of Special Relativity in the GeV Region // *Physics Letters*, 1964, V. 12, №3. P. 260–262.
236. Дискретное изменение мощности излучения от электрона
237. *Просин В.В.* Первые результаты, полученные на новой установке для изучения ШАЛ.
238. URL: <http://www.sciteclibrary.ru/texts/rus/stat/st6083.pdf> (дата обращения 18.08.2014).
239. *Лиангзао Фэн* // в сб. "Фундаментальные проблемы естествознания", СПб, 2010.
240. *Pribulla T., Rucinski S.M., Lu W., et al.* Radial Velocity Studies of Close Binary Stars. XI // *Astron. Journal*. 2006. V. 132. Is. 2. pp. 769–780.
241. *Queloz D., Anderson D., Cameron A.C. et al.* WASP-8b, a Retrograde Transiting Planet in a Multiple System // *Astronomy & Astrophysics*. 2010. April 12. P. 1–4.
242. *Lendl M., TriAUD A.H.M.J., Anderson D.R. et al.* WASP-117b: a 10-Day-Period Saturn in an Eccentric and Misaligned Orbit. URL: <http://arxiv.org/pdf/1406.6942v1> (дата обращения 29.06.2014).
243. *Howard A.W., Sanchis-Ojeda R., Marcy G.W. et al.* A Rocky Composition for an Earth-Sized Exoplanet // *Nature*. 2013. 503(7476). P. 381–384.
244. *Тухов Г.А.* Дисперсия в космическом пространстве // *ЖРФХО*. 1909. вып. 5. С. 176.
245. *Тухов Г.А.* Основные труды. Т. 1. Алма-Ата: Изд-во АН Казахской ССР, 1954. 336 с.
246. *Лайсл Дж.* Экзопланеты: неожиданные открытия // *Разумный замысел*. Июль 2011. №4–6 (21). С. 3.
247. *Бок Б., Бок П.* Млечный путь. М.: Мир, 1978.
248. *Рабинович М.И., Трубецков Д.И.* Введение в теорию колебаний и волн. М.: Наука, 1984. 432 с.
249. URL: <http://www.astronomy.ru/forum/index.php/topic,91249.0.html> (дата обращения 14.07.2014)
250. *Linder N., Rauw G., Sana H., et al.* The Struve-Sahade Effect in the Optical Spectra of O-Type Binaries. I. Main-Sequence Systems // *Astronomy & Astrophysics*. 2007. V. 474. P. 193–204.
251. *Chan T., Ingemir M., Winn J.N. et al.* The Transit Light-Curve Project. XIV. Confirmation of Anomalous Radii for the Exoplanets *Tres-4b*, *Hat-P-3b*, and *Wasp-12b* // *Astron. Journal*. 2011. V. 141. №6. 179. URL: http://iopscience.iop.org/1538-3881/141/6/179/pdf/1538-3881_141_6_179.pdf (дата обращения 20.07.2014).
252. *Laughlin G., Crismani M., Adams F.C.* On the Anomalous Radii of the Transiting Extrasolar Planets // *Astroph. J. Letters*. 2011. V. 729. №1. L7. URL: http://iopscience.iop.org/2041-8205/729/1/L7/pdf/2041-8205_729_1_L7.pdf (дата обращения 20.07.2014).
253. *Murad P.A.* Replicating Pulsar Behaviour to Create a Future Space Propulsor // *International Journal of Astronomy*. 2012. №1(5). P. 81–86.
254. *Gong Bi-Ping, Yan Z.Q.* Evidence of Residual Doppler Shift on Three Pulsars, PSR B1259-63, 4U1627-67 and PSR J2051-0827. URL: <http://arxiv.org/pdf/1401.6530v1> (дата обращения 20.08.2014).
255. *Ragos O., Haranas I., Gkigkitzis I.* Effects in the Anomalistic Period of Celestial Bodies due to a Logarithmic Correction to the Newtonian Gravitational Potential // *Astrophysics and Space Science*. V. 345, Is. 1. P. 67–72.
256. Эксперимент с часами на ракете // статья УФН.
257. *Гулиа Н.* В поисках энергетической капсулы. М.: Детская Литература, 1986. 143 с.
258. *Перельман Я.И.* Занимательная физика. М.: Наука, 1991.
259. *Бриллюэн Л.* Новый взгляд на теорию относительности. М.: Мир, 1972. 144 с.
260. *Паунд Р.В.* // УФН. 1960. Т. 72. С. 673.
261. *Александров Е.Б., Александров П.А., Запасский В.С., Корчуганов В.Н., Стирин А.И.* Измерение скорости света, испущенного ультрарелятивистским источником // *Письма в ЖЭТФ*, Т. 94, вып. 5, 2011. С. 374-376.
262. Сверхсветовой пульсар
263. *Пановский В., Филлипс М.* Классическая электродинамика. М.: Физматгиз, 1963, с. 260.

264. *Стрелков* Презентация по аттосекундам
265. Пространственная селекция гармоник аттосекунд.
266. *Мантуров В.* // Техника-молодёжи. 2006, №2.
267. *Witte H.* // *Berichte der Deutschen Physikalischen Gesellschaft*, 1914. 16, S. 755.
268. Жув Дарк // Дуэль
269. *Артеха*
270. *Смутьский*
271. Сплюснутая звезда // *Природа*, №4, 2001.
272. Кокон вокруг Полярной // *Природа*, №7, 2006.
273. Бобров М.С. Кольца планет. М.: Наука, 1970, 123 с.
274. Википедия LRO
275. *Бергманн* Опыт кантора
276. *Кулигин* Цилиндрические функции.
277. *Filippas T.A., Fox J.G.* // *Physical Review*. 1964. V. 135. №4B. P. B1071.
278. *Fox J.G.* // *JOSA*. 1967. V. 57., P. 967.
279. *Мазманишвили*. Частное сообщение.
280. *Копылов Г.И.* Всего лишь кинематика. М.: Наука, 1981.
281. *Петров В.М.* Мифы современной физики. М.: Либроком, 2012. 224 с.
282. *Сивухин Д.В.* Атомная и ядерная физика. Ч. 2. М.: Наука, 1989.
283. *Фритциус Р.С.* Хвост Миры Кита
284. *Зигель Ф.Ю.* Астрономическая мозаика. М.: Наука, 1987.
285. *Vodopianov A.S., Ivanshin Y.I., Lobanov V.I.* et al. // *Nuclear Instruments and Methods in Physics Research B*. 2003. V. 201. P. 266–275.
286. *Wallace B.G.* // *Spectroscopy Letters*. 1970. V. 3. P. 115–121.
287. *Baker R.H.* *Astronomy*. D. Van Norstrand Co.: N.Y.–Princeton, 1955.

Список публикаций по теме диссертации

- [A1] Семиков С.А. Космос русского Аристарха // История науки и техники. 2007. №1. С. 60–64.
- [A2] Семиков С.А. Об экспериментальной проверке баллистической теории света // Вестник ННГУ. 2013. №4(1). С. 56–63.
- [A3] Семиков С.А. Вариации скорости света как возможный источник ошибок космической навигации, радиолокации и лазерной локации // Журнал радиоэлектроники, 2013. №12. С. 1–32. URL: <http://jre.cplire.ru/jre/dec13/17/text.html> (дата обращения 28.06.2014).
- [A4] Семиков С.А. Об эффекте трансформации длины волны, длительности и мощности лазерных импульсов при рассеянии на ускоренно летящих частицах // Вестник ННГУ. 2014. №1(2). С. 180–185.
- [A5] Семиков С.А. Эффект трансформации частоты света при ускорении источника и критерии его экспериментальной проверки // Нелинейный мир. 2014. №6. С. 3–15.
- [A6] Семиков С.А. А.А. Белополюский – отец русской астрофизики // сб. трудов IX Российских чтений-конкурса памяти С.А. Каплана. 21–24 апреля 2006 г., Н. Новгород, 2007. С. 164–166.
- [A7] Семиков С.А. Строение Космоса по Циолковскому // сб. трудов X Российских чтений-конкурса памяти С.А. Каплана. 21–24 апреля 2006 г., Н. Новгород, 2008. С. 38–41.
- [A8] Семиков С.А. Звёздные парадоксы // сб. трудов XI Российских чтений-конкурса памяти С.А. Каплана. Н. Новгород, 2008. С. 70–73.
- [A9] Семиков С.А. А был ли Большой взрыв? // сб. трудов XI Российских чтений-конкурса памяти С.А. Каплана. Н. Новгород, 2009. С. 16–19.
- [A10] Семиков С.А. Космические лучи – путь к звёздам // сб. трудов XI Российских чтений-конкурса памяти С.А. Каплана. Н. Новгород, 2009. С. 42–45.
- [A11] Семиков С.А. Двойственность и вращение переменных звёзд как причина колебаний их блеска // сб. трудов XII Российских чтений-конкурса памяти С.А. Каплана. Н. Новгород, 2010. С. 164–166.
- [A12] Семиков С.А. Преобразование электромагнитных волн в поле ускорений // В кн.: Труды XIV-й научной конференции по радиофизике. 7 мая 2010 г. Н. Новгород: Изд-во ННГУ, 2010. С. 188–190.
- [A13] Семиков С.А. Генерация высоких гармоник при модуляции скорости источника // В кн.: Труды XVII-й научной конференции по радиофизике. 13–17 мая 2013 г. Н. Новгород: Изд-во ННГУ, 2013. С. 153–155.
- [A14] Семиков С.А. Баллистическая теория Ритца и картина мироздания. Н. Новгород: Пресс-контур, 2009. 612 с.
- [A15] Семиков С.А. Баллистическая теория Ритца и картина мироздания. Н. Новгород: Стимул-СТ, 2010. 612 с.
- [A16] Семиков С.А. Методы компрессии лазерных импульсов. Н. Новгород: ННГУ, 2011. URL: ... (дата обращения 27.01.2014).
- [A17] Семиков С.А. Об эффекте трансформации длины волны, длительности и мощности лазерных импульсов при рассеянии на ускоренно движущихся частицах // в сб. Форум молодых учёных. 16–18 сентября. Т. 1. Н. Новгород, 2013. С. 217–219.
- [A18] Семиков С.А. О возможных источниках вычислительных ошибок космической навигации, GPS и ГЛОНАСС, лазерной локации и радиолокации // сб. трудов 1-й российско-белорусской конференции «Элементная база отечественной электроники», Т. 1. Н. Новгород, 2013. С. 236–240.
- [A19] Семиков С.А. Сто лет СТО: есть ли альтернатива? // Инженер, №11, 2005.
- [A20] Семиков С.А. О природе электричества и магнетизма // Инженер, №1, 2006.
- [A21] Семиков С.А. Ключ к загадкам космоса // Инженер, №3, 2006.
- [A22] Семиков С.А. О природе массы и времени // Инженер, №5, 2006.
- [A23] Семиков С.А. Как устроены маяки Вселенной? // Инженер, №9, 2006.
- [A24] Семиков С.А. О вращениях небесных сфер // Инженер, №9, 2006.
- [A25] Семиков С.А. Из микромира в Космос // Инженер, №3, 2007.

- [A26] Семиков С.А. Циолковский и новая космология // Инженер, №9, 2007.
- [A27] Семиков С.А. Космические лучи – путь к звёздам // Инженер, №4, 2008.
- [A28] Семиков С.А. Структура света, или самое тёмное дело в истории физики // Инженер, №5, 2008.
- [A29] Семиков С.А. Баллистика и Космос // Инженер, №4, 2009.
- [A30] Семиков С.А. Альтернативная электродинамика // Инженер, №8-9, 2009.
- [A31] Семиков С.А. Критика как двигатель науки // Инженер, №11, 2009.
- [A32] Семиков С.А. Тайна гравитации и антигравитации // Инженер, №8, 2010.
- [A33] Семиков С.А. Справедливость баллистической теории в радиолокации // Инженер, №10, 2010. С. 6–8.
- [A34] Семиков С.А. Смещение без разбегания. Ритц против Доплера // Техника-молодёжи, №12, 2010.
- [A35] Семиков С.А. Трансформаторы спектра в космосе и на Земле // Инженер, №3, 2011.
- [A36] Семиков С.А. Однако ж прав упрямый Галилей!" Простая разгадка космических чудес // Техника-молодёжи, №6, 2011.
- [A37] Семиков С.А. Сверхсвет – легко! // Инженер, №11-12, 2011.
- [A38] Семиков С.А. Как украсть миллион электронвольт // Инженер, №3, 2012.
- [A39] Семиков С.А. Звёздный паноптикум // Инженер, №5-6, 2012.
- [A40] Семиков С.А. Баллистическая теория света против тёмных сил космоса // Техника-молодёжи, №6, 2012.
- [A41] Семиков С.А. Космические узоры и картины // Инженер, №№8-9, 2012.
- [A42] Семиков С.А. Упрямая загадка магнетизма // Инженер, №11-12, 2012.
- [A43] Семиков С.А. Экзопланетная экзотика: иллюзии и реальность // Техника-молодёжи, №1, 2013.
- [A44] Семиков С.А. Последняя загадка Сфинкса, или почему светят звёзды? // Инженер, №2-4, 2013.
- [A45] Семиков С.А. Сверхсветовая техника – прорыв в будущее // Инженер, №6-9, 2013.
- [A46] Семиков С.А. Неточности космической навигации и баллистические поправки // Инженер, №1, 2014.
- [A47] Семиков С.А. Пульсары, барстеры и другие космические стрелки // Инженер, №3-4, 2014.
- [A48] Семиков С.А. Баллистическая теория Ритца и картина мироздания. 3-е изд. Н. Новгород: Перспектива, 2013. 612 с.
- [A49] Семиков С.А. Через поля к экзопланетам // Техника-молодёжи, №6, 2014.
- [A50] Семиков С.А. Загадки и жемчужины космического океана // Инженер, №10, 2014. С. 14–18.
- [A51] Семиков С.А. Природа эффекта Барра у двойных звёзд и экзопланет.
- [A52] Семиков С.А. Свойства синхротронного и черенковского излучений в баллистической теории // В кн.: Труды XVIII-й научной конференции по радиофизике. 13–17 мая 2014 г. Н. Новгород: Изд-во ННГУ, 2014. С. 165–167.
- [A53] Семиков С.А. Преобразование частоты света эффектом Ритца в космосе и лаборатории // В сб. тр. 4-й Всероссийской конференции «Радиоэлектронные средства получения, обработки и визуализации информации». Н. Новгород, 2014. С. 47–51.

Доклады и выступления на семинарах и чтениях

1. Семиков С.А. Белопольский – пионер отечественной астрофизики // Российских чтений-конкурса памяти С.А. Каплана. 21–24 апреля 2006 г., Н. Новгород.
2. Семиков С.А. Звёздные парадоксы // Российских чтений-конкурса памяти С.А. Каплана. 21–24 апреля 2009 г., Н. Новгород.
3. Семиков С.А. Баллистическая теория Ритца // ННГУ, 7 июля 2009 г.
4. Семиков С.А. Баллистическая теория Ритца: проблемы и перспективы // ИПФ РАН 22 февраля 2011 г.
5. Семиков С.А. Баллистическая теория // НИФТИ
6. Семиков С.А. Основные положения баллистической теории // 32-е Научно-футурологические чтения НИФТИ 27 марта 2014 г.
7. Семиков С.А. Анализ систематических ошибок космической навигации, радиолокации и лазерной локации космических тел и аппаратов // 33-е Научно-футурологические чтения НИФТИ 24 апреля 2014 г.
8. Семиков С.А. Баллистическая теория Ритца и критерии её экспериментальной проверки // МОИП 23 мая 2014 г.
9. Семиков С.А. Критерии проверки баллистической теории в области физики высоких энергий // ИПФ РАН. 8 июля 2014 г.
10. Semikov S.A. Universal transformers of light frequency // IPHT (Институт Фотонных Технологий), Германия, Йена 14 декабря 2010.
11. Семиков С.А. Природа эффекта Барра у двойных звёзд и экзопланет // 36-е Научно-футурологические чтения ННГУ 8 августа 2014 г.
12. Семиков С.А. Сильные взаимодействия и баллистическая теория Ритца // 38-е Научно-футурологические чтения ННГУ 29 октября 2014 г.